

B.I.G

INSTITUTUL GEOLOGIC

DĂRI DE SEAMĂ  
ALE  
ŞEDINTELOR

VOL. LVI

1969 - 1970

1. MINERALOGIE - PETROLOGIE - GEOCHIMIE

BUCUREŞTI  
1971



Institutul Geologic al României



Institutul Geologic al României





INSTITUTUL GEOLOGIC

DĂRI DE SEAMĂ

ALE  
\$EDINTELOR

VOL. LVII  
(1969—1970)

1. MINERALOGIE — PETROLOGIE — GEOCHIMIE



BUCUREŞTI  
1971



Institutul Geological al României



## SUMARUL ȘEDINȚELOR

### Şedinţa din 19 decembrie 1969

Prezidează : M. Bleahu.

— Jipa D. — Cercetări sedimentologice în depozitele proterozoic-superioare din Dobrogea centrală<sup>1</sup>.

— Mureşan M. — O nouă ipoteză de lucru privind situaţia pârunei getice în partea de NW a Carpaţilor Meridionali (D.S. LVII/5).

— Mihăilă N., Marinescu Fl. — Limnocardium (Pannonicocardium) mihaili sp. n. în fauna cu Congeria Subglobosa din bazinul Crişului Repede (D.S. LVII/3).

### Şedinţa din 26 decembrie 1969

Prezidează : M. Bleahu.

— Bereia I., Bereia Elvira — Contribuţii la cunoaşterea geologiei regiunii Vatra Dornei-Iacobeni<sup>2</sup>.

— Mihăilă N. — Cercetări hidrogeologice şi hidrochimice în enclusul foilor Oradea şi Aleşd<sup>3</sup>.

— Proksch P. — Consideraţii pe baze statistico-matematice asupra unor anomalii geo chimice de la S de pîrul Novăt-Vişeu de Sus (Maramureş) (p. 163).

### Şedinţa din 9 ianuarie 1970

Prezidează : M. Bleahu.

— Ianovici V., Dimitriu Al., Andăr P. — Consideraţii chimico-statistice asupra genezei mineralizării de la Altîn Tepc (D.S. LVII/2).

<sup>1,2</sup> Se publică în *An. Inst. Geol.*, XXXVIII, Bucureşti.

<sup>3</sup> Se publică în *St. tehn. econ.*, E 9, Bucureşti.



— Năstaseanu S., Bițoianu Cornelia, Răzeșu Smărăndița — Considerații geologice și petrografice privind zăcămintele de cărbuni de la Codlea, Vulcan și Schela<sup>4</sup>.

— Mușat Al. I., Vasilescu Olimpia, Vancea St.

— Considerații petrografice și geochemice asupra unor mineralizații de sulfuri polimetale din rogiunea Mestecăniș-Fărăoane (muntii Bistriței — Carpații Orientali) (D.S. LVII/2).

### Ședință din 16 ianuarie 1970

Prezidează: M. Bleahu.

— Florea N. — Originea sărurilor din solurile, apele freatică și lacurile sărate din Câmpia Română din nord-est<sup>5</sup>.

— Asvadurov H., Conescu Adriana, Opris M. — Contribuții la cunoașterea solurilor amfibleice din cîmpia Someșului<sup>6</sup>.

— Asvadurov H., Atanasescu Ruxandra — Solul argiloiluvial nisipos, freatic-umed din pădurea Urziceni (cîmpia de est a Nirului)<sup>7</sup>.

— Asvadurov H., Volovici C., Niculescu Ana — Cernoziomurile levigate din cîmpia Careilor<sup>8</sup>.

### Ședință din 23 ianuarie 1970

Prezidează: M. Bleahu.

— Ianovici V., Silaș I. — Determinarea conținutului mediu în compoziții utili a rezervelor de substanțe minerale utile în funcție de legea de distribuție a elementelor chimice în zăcăminte (D.S. LVII/2).

— Petre I. — Considerații stratigrafice asupra Oligocenului mediu din bazinul Almașului (Transilvania de nord-vest) bazate pe date de foraje (D.S. LVII/4).

### Ședință din 30 ianuarie 1970

Prezidează: M. Bleahu.

— Iancu M., Parichi M. — Observații geomorfologice și pedologice în piemontul înalt al Lipovei (D.S. LVII/5).

— Asvadurov H., Atanasiu Georgea, Constantinescu M. — Solurile din culmea Brezei<sup>9</sup>.

<sup>4</sup> Se publică în *St. tehn. econ.* A 8, București.

<sup>5</sup>, <sup>6</sup>, <sup>7</sup>, <sup>8</sup>, <sup>9</sup> Se publică în *St. tehn. econ.* C 20, București.

— Parichi M. — Oîteva date privind condițiile pedogenetice și solurile din lunca Argeșului<sup>10</sup>.

— Asvadurov H., Dumitriu S., Enache D. — Observații pedologice în zona joasă a munților Tibleș<sup>11</sup>.

### Şedința din 6 februarie 1970

Prezidează: M. Bleahu.

— Papiu C. V., Minzatu Silvia, Iosof V., Udrescu Constanța, Giusea R. — Alcătuirea chimico-mineralogică a formațiunii bauxitifere din bazinul Hațegului (D.S. LVII/2).

— Kisgyörgy Z. — Despre un proces de eroziune în complexul cărbunos de la mina Virgiș (bazinul Baraolt) (D.S. LVII/2).

— Kalmár L. — Notă preliminară asupra stratigrafiei insulelor cristaline Preluca și Imău (județul Maramureș) (p. 73).

### Şedința din 13 februarie 1970

Prezidează: M. Sandulescu.

— Huică I., Hinculov Luciana, Babucea Yvonne, Koczur I. — Contribuții la cunoașterea Tortonianului și Sarmatianului din zona Minișu de Sus (bazinul Zarand)<sup>12</sup>.

— Lubeneșeu Victoria, Gheorghian Mihaela — Asupra prezenței Buglovianului în sudul depresiunii Transilvaniei (sud-est de Sibiu) (D.S. LVII/4).

— Edelstein O., Dragu Valentina, Docșanescu Florica, Stoicescu Florica, Stoicescu Gh. — Miocene din versantul sudic al vîrfului Vărătoci (munții Gutii) (D.S. LVII/4).

### Şedința din 20 februarie 1970

Prezidează: M. Sandulescu.

— Giivulescu R. — Asupra unor plante fosile din colecțiile Institutului Geologic din București (D.S. LVII/3).

— Savu H., Udrescu Constanța, Mindroiu Viorel — Distribuția Se, Ni, Co, Cr, V, Ba, Sr, Li în biotitele din unele sisturi cristaline și roci granitoide din munții Semenic (Banat) (p. 173).

— Kalmár L. — „Diapirismul” unor carbonatite cristaline în masivul Preluca (județul Maramureș) (p. 65).

<sup>10-11</sup> Se publică în *St. tehn. econ. C 20*, București.

<sup>12</sup> Nu se publică.

### Şedință din 27 februarie 1970

Prezidează: M. Bleahu.

— Papiu C. V., Mînzatu Silvia, Iosof V. — Geneza formațiunii bauxitifere din bazinul Hațegului (D.S. LVII/2).

— Bulgăreanu V. — Considerații geodinamice privind nisipurile eoliene holocene din nordul ostrovului Moldova Veche (Banat) (D.S. LVII/5).

— Zlatarova - Top Lozana, Mureșan M., Pitulea G. — Studiul unor roci gabbroide metamorfozate din seria de Ielova (zona Camenita — Banatul de SW) (p. 117).

### Şedință din 6 martie 1970

Prezidează: M. Bleahu.

— Peltz S. — Contribuții la cunoașterea formațiunii vulcanogen-sedimentare pleistocene din sudul munților Harghita și nord-estul bazinului Baraolt (D.S. LVII/5).

— Mușati Al. I., Vasilescu Olympia — Prezența unor roci carbonifere în munții Bistriței (Carpații Orientali) (p. 79).

— Semakava Al. — Matoniaceele fosile din România (D.S. LVII/3).

### Şedință din 20 martie 1970

Prezidează: D. Patruliș.

— Bordcea S. — Date stratigrafice și tectonice noi în zona Blăjeni-Buceș Vulcan (Munții Metaliferi) (D.S. LVII/4).

— Mureșan M. — Asupra prezenței unei forestre tectonice în zona șisturilor verzi din Dobrogea centrală (regiunea Altin Tepe) (D.S. LVII/5).

— Olteanu R. — Studiul ostracodelor din depozite pannonian-superioare (zona E) de la Groși (Banat) (D.S. LVII/3).

### Şedință din 27 martie 1970

Prezidează: M. Bleahu.

— Tufescu M. — Structura topografică a populațiilor de foraminifere din apele litorale românești (D.S. LVII/3).



— Istoceșcu D. — Studiul geologic al sectorului vestic al bazinului Crișului Alb și al ramei muntoase a munților Codru și Highiș<sup>13</sup>.

### Şedință din 3 aprilie 1970

Prezidează: M. Bleahu.

— Petreus I. — Studiul petrografic și mineralologic al rocilor magmatice din regiunea Măgura Poienilor-Gurguiatu (Maramureş) (p. 43).

— Lupu Denisa, Peza Luftulla — Fauna de radiolitide de la Mali Kanalit (Albania) (D.S. LVII/3).

— Lupu Denisa — Budăi maestrichtieni de la Brezoi — Carpații Meridionali centrali (Colectia Popescu-Voitești) (D.S. LVII/3).

— Ionesci Bica — Cercetări geologice în regiunea Horodnic-Volovăț-Burla (platforma moldovenească) (D.S. LVII/4).

— Gheorghian Mihaela Doina — Asupra prezenței genurilor Pseudotriplasia și Pavonitina (Foraminiferida) în Miocenul din Transilvania (D.S. LVII/3).

### Şedință din 10 aprilie 1970

Prezidează: M. Bleahu.

— Stănoiu I. — Notă preliminară asupra prezenței Silurianului fosilifer din Carpații Meridionali (D.S. LVII/4).

— Gheorghian Mihaela, Lubenescu Victoria, Olteanu R. — Contribuții la stratigrafia Miocenului din sudul Transilvaniei (D.S. LVII/4).

— Gheța N., Oncescu C. — Asociația micropaleontologică a depozitelor tortoniene de la Bicăcel (bazinul Beiuș) (D. S. LVII/3).

### Şedință din 15 aprilie 1970

Prezidează: N. Florea.

— Codarcea Venera — Studiul mineralologic al rocii și fracțiunii nisipoase dintr-un podzol format pe granit<sup>14</sup>.

— Stoica Elena, Florea N., Codarcea Venera, Vlad Lucia, Popescu Florica — Aspecte din geneza unor podzoluri humico-foriluviale montane<sup>15</sup>.

<sup>13</sup> Se publică în *St. tehn. econ.* J. 8, București.

<sup>14</sup> Se publică în *D. S. Inst. Geol.* LVIII/1, București (sub tipar).

<sup>15</sup> Se publică în *St. tehn. econ.* C. 20, București.



— Atanasescu Ruxandra, Ghîță Verona, Popescu Florica — Aspecte ale chimismului unor soluri de pajisti alpine<sup>16</sup>.

— Conescu Adriana, Cicotti M., Popescu Florica — Studiul chimic și mineralogic al unui sol brun de pajisti subalpine<sup>17</sup>.

— Asvadurov H., Atanasiu Georgea — Contribuții la cunoașterea unor soluri argiloiluviale podzolice cu fragipan<sup>18</sup>.

— Papadopol Catrinel, Atanasescu Ruxandra — Considerații asupra formelor de potasiu din principalele tipuri de sol din România<sup>19</sup>.

— Asvadurov II. — Observații pedogeografice în depresiunea Zalău<sup>20</sup>.

— Edelstein Dorothea, Popescu Florica — Date asupra compoziției chimice și mineralogice a unor smolnițe<sup>21</sup>.

### Şedință din 17 aprilie 1970

Prezidează: D. Patruliș.

— Iordan Magdalena, Rickards R. B. — Notă asupra graptoliilor din platforma moesică (D.S. LVII/3).

— Savu Gh. M. — Argumente paleontologice în favoarea susținerii existenței pînzei de Baraolt (D.S. LVII/4).

— Bandrabur T. — Geologia cîmpiei dunărene dintre Jiu și Olt<sup>22</sup>.

### Şedință din 22 aprilie 1970

Prezidează: I. Huber-Panu.

— Huber-Panu I., Georgescu B., Oprescu Angela, Borcea Maria — Cercetări privind valorificarea rocii cu sulf din zăcămîntul Gura Haitii-zona Pietricelul<sup>23</sup>.

— Pandeleșcu C., Policii Georgea, Borcea Maria — Cercetări privind valorificarea bauxitei din Ohaba-Ponor<sup>24</sup>.

— Dumitrescu Maria, Drăgulescu Adela — Cercetări privind prepararea minereului complex de la Băiuț-Coasta Ursului<sup>25</sup>.

<sup>16, 17, 18, 19, 20, 21</sup> Se publică în *St. tehn. econ.* G 20, București.

<sup>22</sup> Se publică în *St. tehn. econ.* J 9, București.

<sup>23, 24, 25</sup> Se publică în *St. tehn. econ.* B 46, București.

— Georgescu B., Mușeteanu Cr., Dumitrescu Maria, Ene I., Borcea Maria — Cercetări privind prepararea minereului complex auto-argentifer de la Almașul Mare<sup>26</sup>.

#### Şedința din 24 aprilie 1970

Prezidează: M. Bleahu.

— Lemne Marioara-Mia — Contribuții privind distribuția elementelor radioactive în formațiunile cristalofiliene din Carpații Meridionali (p. 151).

— Ștefănescu M. — Structura geologică a regiunii dintre valea Talea și valea Ialomița (D.S. LVII/5).

— Mantea Gh., Bordea Josefina, Tocorjescu Maria — Structura geologică a regiunii cuprinsă între valea Mică-Ciungi-Tăuți (bazinul văii Ampoiului — Munții Metaliferi) (D.S. LVII/5).

— Istoceșcu D. — Asupra prezenței unor roci bazice pe marginile bazinului Beiuș, la E de Lunca Sprie și S de Fiziș (D.S. LVII/5).

#### Şedința din 29 aprilie 1970

Prezidează: M. Bleahu.

— Ghenea Ana, Ianc Rozeta — Cercetări hidrogeologice în sectorul Gura Ocnitei-Bilciurești-Ploiești vest<sup>27</sup>.

— Giurgea P. — Contribuții la cunoașterea hidrogeologiei depozitelor pannoniene și cuaternare din bazinul Ierului<sup>28</sup>.

— Marele S. — Date noi pentru geologia și paleogeografia Munților Apuseni — Turonianul de la Sălcia și Senonianul de la Bistra (Tara Moților)<sup>29</sup>.

— Bucur I. — Observații privind nomenclatura tectonică în flișul cretacic și paleogen din Carpații Orientali (D.S. LVII/5).

— Bucur I. — Noi date faunistice și structurale în flișul cretacic și paleogen de la nord de depresiunea Brețcu-Târgul Secuiesc (D.S. LVII/4).

#### Şedința din 8 mai 1970

Prezidează: M. Bleahu.

— Bleahu M., Istoceșcu D., Diaconu M. — Formațiunile preneogene din partea vestică a Munților Apuseni și poziția lor structurală (D.S. LVII/5).

<sup>26</sup> Se publică în *St. tehn. econ.* B 46, București.

<sup>27</sup> <sup>28</sup> Se publică în *St. tehn. econ.* E 10, București.

<sup>29</sup> Se publică în *D. S. Inst. Geol.* LVII/5, București (sub tipar).



— Stancu Josefina, Gheorghian Mihaela Doina, Popescu A. — Studii stratigrafice asupra Miocenului din versantul nordic al Dunării, între Dubova și Pojejena (Carpații Meridionali) (D.S. LVII/4).

— Istoicescu D., Gheorghian Mihaela Doina — Date micropaleontologice privind Miocenul superior din bazinul Crișului Alb (D.S. LVII/3).

— Antonovici Suzana, Acsintovici I. — Cîteva date mineralogice și spectrografice asupra bournonitului din România (p. 29).

— Antonovici Suzana — Contribuții la studiul boulangeritului de la Baia-Mare (p. 21).

#### Şedință din 15 mai 1970

Prezidează: M. Bleahu.

— Patruliș D. — Unitatea de Vălani: un nou element structural al sistemului pînzelor de Codru (Munții Apuseni) (D.S. LVII/5).

— Popa Elena — Amoniti din zona Bifrons în Toarcianul din grabenul Remeți (Munții Apuseni) (D.S. LVII/3).

— Savu H., Schuster A. C. — Structura și petrologia șisturilor cristaline din regiunea Șinca Nouă-Holbaș (munții Făgăraș) (p. 89).

— Orășanu T., Marinescu Fl., Potocean Elena, Olteanu R. — Biostratigrafia depozitelor neogene de pe rama nord-vestică a munților Poiana Rusă (D.S. LVII/4).

— Dimitriu Al., Peltz Margareta — Unele utilizări ale mașinilor SAM în cercetările geomatematice (cu exemple din geo-chimie) (p. 139).



GEOLOGIA MATEMATICĂ — O NOUĂ RAMURĂ A  
ȘTIINȚELOA GEOLOGICE<sup>1</sup>

DE

VIRGIL IANOVICI<sup>2</sup>, ALEXANDRU DIMITRIU<sup>3</sup>

Matematizarea științelor, fie științe ale naturii sau chiar umanistice, reprezintă — cum este bine cunoscut — una dintre trăsăturile caracteristice ale dezvoltării cunoașterii științifice în secolul nostru.

Unele dintre progresele înregistrate de aproape fiecare știință în parte sunt datorate perfectionării produse în metodologia de cercetare prin utilizarea matematicii.

În ceea ce privește științele geologice, influența matematicii s-a dovedit mai însemnată decât pentru multe alte științe.

Studiul complex al scoarței pământului, al rocilor și al mineralelor care o alcătuiesc, beneficiază astăzi din plin de instrumentul matematic, alături de acela fizic și chimic, introdus și generalizat cu mult înainte, ceea ce a determinat apariția unei noi ramuri a științelor geologice : geologia matematică. Congresul al XXIII-lea Internațional al Geologilor ținut la Praga în august 1968 a consacrat această nouă ramură oficializând-o prin aprobarea constituirii Asociației Internaționale de Geologie Matematică.

Dacă întregirea cunoștințelor asupra formelor vechi de viață, animale și plante, a condițiilor lor de dezvoltare a determinat formarea paleontologiei și paleoecologiei, iar descifrarea migrației elementelor chimice, stabilirea legilor ei — a geochimiei, iar studiul propagării proprietăților fizice în roci și minereuri — a geofizicii, caracterul stochastic al proceselor geologice a permis utilizarea creatoare a teoriei probabilităților și a teoriei statisticice matematice, conducind la constituirea geologiei matematice.

<sup>1</sup> Comunicare în ședință din 24 ianuarie 1969.

<sup>2</sup> M.M.P.G. Str. Mendeleev nr. 34, București.

<sup>3</sup> Institutul Geologic, Șos. Kiseleff nr. 55, București.

Rezultatele obținute în cercetările geologice cu ajutorul matematicii, și care atestă matematizarea geologiei drept o nouă știință, sunt numeroase și de o largă varietate.

Într-o comunicare personală, unul dintre geologii cu o veche simpatie pentru matematică, I. P. Sarapov (a cărui carte dedicată „Utilizării statisticice matematice în geologie” a apărut recent în limba română), ne-a declarat că evidența sa bibliografică asupra studiilor geologice în care s-au aplicat metodele matematice cuprinde peste 7.000 de titluri. Desigur, unele dintre acestea reprezintă simple încercări, doar o reformulare a observațiilor geologice în limbaj matematic fără a modela și testa procesele geologice, însă chiar la o selecție exigență — așa cum a făcut-o recent A. B. Vistelius (Leningrad), ales la Praga Președinte al Asociației Internaționale de Geologie Matematică — sunt totuși peste 700 de studii care se impun ca deosebit de importante, reprezentative. Ne referim la Biblioografia recomandată de geologia matematică editată de Academia de Științe a Uniunii Sovietice (Leningrad, 1968).

În ultimii zece ani, în deosebi, utilizarea matematicii la fundamentează și elucidarea problemelor geologice a înregistrat un avânt impresionant, care de-a lungul întregii istorii a geologiei n-a fost atins de nici o altă știință ajutătoare. Caracterul de universalitate al matematicii, ea operind cu numere fără a ține seama de semnificația lor fizică, a deschis drum aplicațiilor în orice ramură a geologiei în care mărimile sunt măsurabile.

Importanța deosebită acordată matematicii, în deosebi statisticii, este subliniată aproape cu fiecare apariție a periodicelor geologice. A devenit quasi-imposibil ca deschizând o revistă, la întimplare, să nu se găsească cel puțin un rezultat fondat și pe utilizarea matematicii. De altfel, în ultimii ani, aplicațiilor statisticii în geologie și problemelor de calcul li s-a dedicat în Canada revista lunară „Geocom Bulletin”, iar în S.U.A. publicația periodică „Computer Contribution”. Au fost tipărite cîteva zeci de cărți, culegeri de articole, care prezintă tratarea matematică a unor probleme geologice importante, și cel puțin zece monografii.

Tot mai numeroase colective de cercetători din străinătate se ocupă în mod special de lărgirea sferei de aplicare a matematicii în geologie. O serie de simpozioane, având această tematică, au avut loc în S.U.A. (începînd din anul 1958), în U.R.S.S. (începînd din anul 1964), în R.D.G. (în anul 1967). Referitor la amploarea acestor cercetări precizăm că, de exemplu, la Simpozionul de la Alina Ata din anul 1968 au fost prezentate

peste 300 lucrări, iar la Simpozionul ținut la Novosibirsk, doar cu un an înainte (1967), peste 250 de lucrări.

Constituirea Asociației Internaționale de Geologie Matematică va da un impuls acestei activități, propunându-și, printre altele, organizarea sistematică de simpozioane și ședințe de lucru. Primul simpozion a și fost programat pentru luna septembrie la Londra.

Se pune întrebarea : care este obiectul geologiei matematice și perspectivele extinderii matematicii în geologie ?

Geologia matematică este acea disciplină științifică care se ocupă cu stabilirea „modelelor matematice” cu privire la procesele geologice ; procesele geologice sunt clasificate după tipul proceselor stochastice care — avind ca obiectiv fundamental investigația geologică prin matematică — prezintă funcțiile unor distribuții probabilistice cu valori convenabil alese în scopul urmărit.

Dacă plecăm de la definiția obiectului geologiei „ca știință care cercetează schimbările succesive care au avut loc în domeniul organic și anorganic al naturii, pătrunzând cu cercetarea în cauzele acestor schimbări și în influența pe care ele au exercitat-o în modificarea structurii externe a planetei noastre cît și în structura mantalei și a sâmburelui acesteia”, atunci se poate afirma că obiectivele geologice de investigare sunt :

1. Interesul pentru un proces necunoscut care s-a desfășurat în timp și pentru care nu avem decât fapte de observație actuale ;
2. Rezultatele procesului, după ce el a fost reconstituit din studierea părților care îl compun, nu sunt, de regulă, conexate cu istoria procesului studiat ;
3. Deoarece natura procesului nu este dinainte cunoscută, observația se face pe probe întimplătoare, punctele de probare fiind determinate de condițiile locale și cel mai adesea lipsite de legătură cu procesul urmărit.

Un exemplu : scopul principal al studiului geochemical nu este de a număra particulele — ioni, atomi, molecule — care intră în compoziția unei formațiuni mai apropiată sau mai adincă față de suprafața scoarței pământului, ci este acela de a reconstitui procesele care au precedat actuala redistribuire a particulelor respective. Dar pentru a rezolva această problemă nu dispunem decât de observațiile asupra produsului actual al procesului evolutiv. Problema care se pune se referă la aprecierea și reținerea descrierii faptelor de observații și de măsură, care să ne fie utile la reconstituirea procesului, de a separa cu cât mai multă precizie esențialul de neessențial.



În acest scop, matematica ne pune la dispoziție, prin folosirea teoriei probabilităților, instrumentul de selecționare și de interpretare a datelor de observație și de măsură pentru a deschide evoluția unui proces geologic.

Dar, teoria probabilităților nu se ocupă de natura reală a observației. Pentru aplicarea practică a acestei teorii este necesar să se pună în evidență corelația între probabilitățile care pot fi cunoscute prin diferite metode, sau care nu țin seama, în primul rînd, de numărul observațiilor, de mijloacele acumulărilor, de corespondența cu datele inițiale, care se referă la procesul analizat.

Corelarea este un proces matematic pentru calcularea produsului reconstituirii unui proces prin datele lui inițiale.

Geologul trebuie să folosească teoria probabilităților în scopul reconstituirii proceselor geologice pentru că datele pe care el le cercetează au un caracter stochastic, dar el trebuie să se sprijine și pe datele concrete de observație pentru a trage concluzii valabile. Este deci necesar să se realizeze o legătură strinsă între parametrii teoriei probabilităților și observație; la acest rezultat conduce statistica matematică care este disciplina care îți arată cum să ajungi la o concluzie în condițiile unei incertitudini. Cu alte cuvinte, statistica matematică ne permite să folosim metodele teoriei probabilităților în situațiile nedeterminate, pe care geologii le întâlnesc adesea în practică.

Stadiul cunoștințelor noastre despre procesele geologice este de așa natură încât intuiția joacă un rol esențial; informația, rezultată din observație și din interpretarea datelor diverselor analize fizice sau chimice, este obținută prin studierea tuturor datelor în mod simultan.

Cunoșcind din experiență proprie sau din experiența altora o anumită roca sau complex de roci dintr-o regiune dată, mineralele și/sau fosilele care o alcătuiesc, geologul este în măsură să pună în evidență, prin deducție, procesele care au produs roca sau complexul respectiv, dar îl este imposibil să dea criterii obiective care să poată conduce la validarea sau invalidarea concluziilor sale asupra proceselor deduse, mai bine zis imaginate.

Pentru a se formula astfel de concluzii, bazate pe criterii obiective, este necesară folosirea matematicii. Teoria matematică, în geologie ca și în toate celelalte științe ale naturii, constă în construirea unor notații simbolice, în reprezentarea sub formă de modele matematice a proceselor ipotetice respective.

Un model matematic trebuie să fie construit de geologul însuși, deoarece modelul are rostul să controleze presupunerile care se nasc în mintea geologului din cercetările sale; dacă un proces geologic nu poate fi

concepțut, imaginat, atunci nu poate exista nici „modelul matematic”. Desigur, complexitatea și calitatea modelelor variază și depinde de cunoștințele geologice ale aceluia care construiește modelul.

Acest concept al geologiei matematice este rezultatul unei activități îndelungate în acest domeniu, care preocupă intens pe geologii din alte țări, în ultimele trei-patru decenii. Printre protagoniștii de seamă trebuie citate numele lui A. B. Vistelius în U.R.S.S. și a lui W. C. Krumbein în S.U.A.

Dificultățile de calcul i-au speriat totdeauna pe geologi, iar persoanele care au folosit matematica în geologie au avut mari dificultăți din cauza calculelor necesare, acestea fiind foarte laborioase, necesitând timp și perseverență. Mașinile de calcul mecanizate și mașinile electronice de calcul vin în sprijinul eliminării acestui impediment, astfel de mașini efectuând calculurile în secunde, minute sau ore, față de procesul clasic al calculelor care durează zile, luni sau ani de muncă istovitoare. Geologia matematică este destul de complexă, având nevoie de luarea în considerare concomitent a mai multor factori sau indicatori pentru a se justifica folosirea mașinilor electronice de calcul în rezolvarea problemelor legate de natura proceselor geologice.

În vederea folosirii cu succes a mașinilor electronice de calcul, este necesară întocmirea de programe cu obiect specific geologic, programul care să imprime „memoria” necesară mașinilor pentru a rezolva cazurile similare cu acela care a stat la baza întocmirii unui program anumit; pentru că programul să fie util scopului urmărit, să reprezinte o realitate obiectivă, el trebuie să fie rezultatul colaborării nemijlocite între geolog și matematician, geologul reprezentind gîndirea geologică și matematicianul, realizatorul transformării acestei gîndiri în formule și indicatori valorici, care să constituie împreună elementele de memorizare ale mașinii. Trebuie să reținem că, atât că gîndirea omenească este transpusă unei mașini electronice, atât ne redă „memoria” mașinii pentru cazuri similare; deci cu că va fi mai intelligent realizat modelul matematic și cu că mai complet va fi întocmit, pe baza acestuia, programul de lucru al unei mașini electronice de calcul, cu atât va fi mai mare succesul în obținerea imaginii procesului geologic pe care urmărим să-l descriem.

Să exemplificăm construirea și analizarea unui model stochastic în geologie: modelul de magmă granitică.

Problema originii granitelor și a proceselor de formare a acestor roci a fost o preocupare continuă a petrografulor de la începutul științelor geologice pînă în prezent.

Considerațiile fizico-chimice, folosite de O. F. Tuttle și N. L. Bowen, la întocmirea diagramelor cu privire la originea granitelor în lumina studiilor experimentale a sistemului albit-ortoză-apă, i-au condus pe aceștia la imaginea unui model care se potrivește cu parametrii formării granitului. Din analiza acestui model, construit pe considerații fizico-chimice, rezultă că procesul de formare a granitului trece prin mai multe stadii: în primul stadiu se separă un singur mineral, în al doilea se separă două, iar în al treilea se separă trei minerale; în fiecare stadiu continuă separarea mineralelor care au început să se separe în stadiile anterioare. Constatînd această succesiune, ne este însă imposibil să evaluăm numărul granulelor de minerale care într-o rocă dată s-au dezvoltat în fiecare stadiu în parte. Greutatea, în rezolvarea problemei complexe a cristalizării granitelor, constă în faptul că nu cunoaștem presiunea inițială a magmei, durata cristalizării în diferitele stadii depinzind de presiunea inițială și de variația acestui factor în timp. Un alt factor necunoscut în procesul de cristalizare a magmei granitice într-un anumit rezervor magmatic este cantitatea totală de compoziții volatili, care intervin de asemenea în evoluția procesului.

Pentru rezolvarea problemei de corelare între granulele care s-au format în diferitele stadii s-a încercat realizarea unui model stochastic pe baza următoarelor axiome:

a) Germanii de cristalizare ai unui mineral unic, care cristalizează într-un stadiu, nu trebuie să aibă contact între ei; se pare că trecerea de la o granulă a unui mineral la granula altui mineral, generată în același stadiu, este constantă și depinde numai de mineralul în direcția căruia are loc tranziția.

b) Cristalizarea se produce conform cu diagrama realizată pe considerații fizico-chimice de O. F. Tuttle și N. L. Bowen, cu formarea entecticului ternar în fază finală a procesului de solidificare a magmei granitice.

c) Nu trebuie să se producă o tulburare a magmei, din care se produce cristalizarea, în timpul procesului.

Aceste trei axiome sunt socotite suficiente pentru a ne permite să determinăm mersul cristalizării și relațiile actuale cu privire la structura granulară a unui granit luind în considerare cuarțul, ortoza și plagioclazul care intră în compoziția acestuia. Aplicarea modelului acesta la masive granitice din foarte variate regiuni a condus la verificarea valabilității lui.

Pînă în prezent modele stochastice au fost elaborate numai pentru cîteva procese geologice, dar aplicarea acestora în practică a demonstrat eficiența geologiei matematice; au fost realizate: modelele mecanismelor de formare a stratelor și a porozității formațiunilor sedimentare, domeniu deosebit de interesant în prognosticarea terenurilor posibil petrolifere și în separarea pe faze a sedimentărilor ritmice cum ar fi cazul în diferite tipuri de fliș; modelul stabilității activității vulcanice care a confirmat teoria lui A. Rittmann asupra succesiunii proceselor vulcanice; modelul de reproducere a procesului de sedimentare eoliană; modelul acumulării metalelor rare în roci și minereuri cu o vădită aplicabilitate în procesul de prospectare și explorare geologică a zăcămintelor de minereale rare și disperse; modele privind repartiția mineralizației și a metalelor în zăcămintele prin care se urmărește îmbunătățirea gradului de cunoaștere a rezervelor de substanțe minerale utile într-un zăcămînt explorat.

În multe cazuri nu se poate ajunge la soluții mai complete din cauza complexității matematice a problemelor, cazuri în care modelul trebuie exprimat numeric. Soluțiile numerice, care de obicei necesită calcule foarte laborioase, se obțin cu ajutorul mașinilor electronice de calcul folosind metodele statistice de investigare.

Prin analogie, avînd modelul stochastic al unei situații geologice sau caracteristicile ei statistice, este posibil să se construiască prin metode de calcul un experiment simulat care să reproducă condițiile corespunzătoare apariției și dezvoltării fenomenului. În felul acesta este posibil să se reconstituiască, din estimările statistice, diferite variante ale unui facies zonal sau a distribuției elementelor chimice într-un zăcămînt de minereuri etc.

Cele mai numeroase rezultate obținute prin utilizarea matematicii în geologie revin prelucrării observațiilor prin metode statistice. Si în acest caz se adoptă un model bazat pe caracterul aleator al mărimilor măsurate, cu deosebire însă că el nu este construit pe baza procesului intuit în scopul validării sale. Asemenea modele constituie o reprezentare idealizată a problemei cercetate, obținută cu mijloacele statisticii matematice, din care derivă metode de lucru în vederea stabilirii *in situ* a aspectelor esențiale.

Aceste modele, denumite „modele statistice”, nu sunt altceva decît teoria matematică a metodelor statistice.



Succesul în această direcție constă în găsirea modelului statistic corespunzător situației cercetate, adică în aplicarea metodei care răspunde cel mai bine la sarcina geologică.

Această activitate matematică este relativ simplă, se reduce la o chestiune de calcul, în caz că modelele statistice și metodele cunoscute corespund problemelor puse de cercetările geologice. Ne referim la stabilirea tipului de distribuție, corelația și regresia dintre două sau mai multe caracteristici, asemănarea a două sau mai multe obiecte, variația în timp a unor caracteristici etc.

Lucrurile se complică atunci cind statistică matematică nu are în „arhivă” modele care se potrivesc situațiilor întâlnite în geologie. Așa s-a întâmplat cu cercetarea variabilității spațiale a proprietăților rocilor, pentru care a fost necesară elaborarea unui model nou, care a generat analiza regresiei pe coordonate geografice, cunoscută sub numele de „analiza tendinței în suprafață”. La fel, și în cazul stabilirii limitelor stratigrafice ale formațiunilor lipsite de laună caracteristică sau selecției indicatorilor informativi, cărora li s-a dat cîte un model și, respectiv, metode de lucru bazate pe analiza multidimensională. De asemenea, problema stabilirii consanguinității produselor magmatice a fost soluționată recent, într-o primă variantă, printr-un model statistic.

Prezentîndu-vă aceste probleme ale geologiei matematice — prin aplicațiile căreia se urmărește nu numai rezolvarea unor speculații teoretice, dar și deosebire găsirea unor soluții practice fundamentate prin metode matematice — sperăm să intereseam un număr cît mai mare de geologi care să fie atrași spre această nouă ramură a geologiei.

MINERALOGIE

CONTRIBUȚII LA STUDIUL BOULANGERITULUI DE LA  
BAIA-MARE<sup>1</sup>

de

SUZANA ANTONOVICI<sup>2</sup>

**Abstract**

Contributions to the Study of the Baia-Mare Boulangerite. In this paper the author presents a study of the boulangerite whose specimens may be examined in the collections of the Geological Institute of Bucharest. The mineral described proceeds from the Herja mine, Baia-Mare locality. Its study yields new data related to the results of the macroscopical and microscopical research work referring both to this mineral and its paragenesis. Spectral and chemical analyses supplement this study. The genetical considerations expounded in relation to the Herja deposit contain the succession of the deposition of minerals, inclusively of the boulangerite.

În colecția de minerale a Institutului Geologic se află cîteva eșanțioane care conțin boulangerit, un mineral mai rar, din grupa sulfo-sărurilor de plumb și stibiu.

**Istorie.** Boulangeritul a fost descris pentru prima dată de Boulanger în anul 1835 (Ann. mines 1835, 7, 575; Pogg. Ann. 1835, 36, 485). Mineralul provine din zăcămîntul Molières (Gard). Denumirea de „boulangerit” a fost dată mai tîrziu de Thaumow (Pogg. Ann. 1837, 41, 216). Pe parcurs mineralul a primit diverse alte denumiri care au rămas însă numai ca numiri locale: epiboulangerit, embritit, plumbostib, plumbostibit, antimonbleiblende, federerz, mullanit (Hünziger, 1904).

<sup>1</sup> Comunicare în ședință din 8 mai 1970.

<sup>2</sup> Institutul Geologic, Sos. Kiseleff nr. 55, București.



Boulangeritul este descris în diverse zăcăminte și parageneze dar mai puțin în țara noastră. Nu am găsit un studiu amănunțit asupra acestui mineral sau asupra paragenezelor în care el apare.

Dintre lucrările mai recente care amintesc de boulangerit menționăm lucrarea lui Krause (1964) asupra zăcământului de la Sakibala(Iran) unde în parageneză cu mineralul predominant care este galena, se găsește și boulangerit depus în mase neregulate. Acestea minerale li se mai asociază tetraedrit, blendă, pirită, calcopirită, pirotină și uneori minerale secundare : covelină, calcozină, malachit.

În mina Avala (Iugoslavia) într-un zăcămînt de plumb și cupru este descrisă următoarea parageneză : blendă, pirită, marcasită, bornit, calcozină, cubanit, covelină, tetraedrit, falkmannit și boulangerit, ca un mineral mai nou (Cissarz, Rakic, 1957).

În parageneze asemănătoare și ca un mineral care apare destul de rar, boulangeritul mai este descris de Gavelin (1936); Hiller (1955); Walenta (1957); Jambor (1967); Knauer, Richter (1968); Pöschl (1968); Sidney (1968).

În parageneza mineralului de la Baia Borșa este descris și boulangeritul asociat cu semseyit, jamesonit, calcopirită (Szöke, Steclaci, 1962).

Rădulescu, Dimitrescu (1966), în „Mineralogia topografică a României”, dau asociația în care se găsește boulangeritul la noi în țară.

**Locația zăcământului.** Eșantioanele studiate de noi provin din mina Herja, Baia-Mare. Ele sunt înregistrate în colecția Institutului Geologic cu nr. L-18140.

Zăcământul metalifer Herja este situat în NW Transilvania, în apropierea centrului minier Baia-Mare. În timp ce toate celelalte zăcăminte sunt exploataate pentru sulfuri complexe, zăcământul Herja este bogat în minereuri de plumb și zinc. Zăcământul Herja este un zăcămînt filonian hidrotermal, a cărui formare este în legătură cu erupțiile de andezite din regiune. Filoanele sunt orientate E - W și mai rar NE - SW și au o grosime ce variază între 2-3 cm și 4-5 m.

Minerul este constituit în majoritate din galenă și blendă, la care se adaugă în cantități mici pirită, calcopirită, marcasită, pirotină, stibină, acestea din urmă neconstituind minerale exploataabile din cauza cantității mici. De asemenea o serie de sulfo-săruri se găsesc accidental și în cantități foarte mici : jamesonit, boulangerit, freieslebenit, semseyit,

tetraedrit. Mineralele de gangă sunt reprezentate prin cuart, calcit, siderit, dolomit.

**Proprietăți fizice ale mineralului.** Boulangeritul se prezintă sub formă columnară ca prisme lungi, aciculare, tabular după a (100), în cristale alungite, cu striații verticale: uneori sub formă de mase grăunțoase, mai mult sau mai puțin fine, mase fibroase aciculare, uneori chiar păloase, cu facies plumozitie, ca un puf; de culoare cenușiu de plumb sau cenușiu-albăstrui, adesea acoperit cu pete galbene de oxidație, cu luciu metalic. Se întâlnește rar cristale izolate, de obicei se găsește sub formă de agregate microgranulare sau fibroase întrețesute. Aceasta este o caracteristică a mineralului. De asemenea urma brun-roșcată puțin negricioasă îl deosebește de alte minerale. Este destul de asemănător cu alte sulfosulfantimonuri dar prin analize chimice și prin determinări microscopice se poate identifica. Boulangeritul cristalizează în sistemul monoclinic, clasa prismatică.

În eșantioanele studiate de noi boulangeritul este fixat de obicei pe galenă, în asociatie cu care sunt blenda, calcopirita, pirita. Adesea boulangeritul înlocuiește galena sau blenda astăzi încit el aparține sigur formațiunilor metalifere tinere. Mineralul nu se găsește în concentrații mari încit să poată forma zăcăminte; acest mineral numai local și în cazuri rare formează minereul de plumb, cum este cazul zăcămintelor Gard, Wolfsberg, Pribram, Sala, Nertschinsk (Hintze, 1904).

Parageneza boulangeritului de la Herja este asemănătoare cu cea descrisă de Krause (1964), în zăcămîntul de la Sakibala (Iran).

Microscopic boulangeritul se asemănă mult cu jamesonitul prin proprietățile optice. Se prezintă sub formă aciculară (vezi pl., fig. 1,2), relativ bine dezvoltat. Uneori cristalele sunt astăzi de fine încit o examinare în secțiuni este destul de greu de făcut mai ales dacă ele sunt izolate și lipsesc mineralele de comparație. Pleocroismul boulangeritului este mai slab ca la stibină, semseyit și plagonit, la fel efectele de anizotropie. În culoare predomină tonuri de cenușiu sau cenușiu-albăstrui. A fost pus în evidență în cursul atacului cu reactivi, deoarece rămine neatacat atât cu HCl cît și cu KOH. Se observă frecvent înlocuirea mineralelor mai vechi prin boulangerit.

Mineralele cu care se găsește în asociatie sunt: galena și blenda, pe care le mulează adesea și calcopirita.

**Compoziția chimică.** Studiul chimic al boulangeritului a fost făcut încă din 1839 de Abendroth în luerarea lui Bammelsberg

TABELUL 1  
*Eлементе мајоре*

Nr. crt.	Zăcământul	Ph	Sb	Fc	S	Zn	Cu	Ag
		%	%	%	%	%	%	%
1	Gard	49,00	23,20	1,1	16,90	—	0,8	—
2	Nasafjeld	55,57	24,60	—	18,86	—	—	—
3	Nertschinsk	56,28	25,03	—	18,21	—	—	—
4	Nertschinsk	53,87	23,66	1,78	19,11	—	—	0,05
5	Oberlahr	55,60	25,40	—	19,05	—	—	—
6	Oberlahr	51,74	24,50	0,59	18,88	—	—	—
7	Wolfsberg	55,15	25,94	—	18,91	—	—	—
8	Lucca	57,42	23,98	0,73	17,71	1,00	1,31	—
9	Lucca	53,15	26,08	0,35	17,99	1,41	1,24	—
10	Lucca	55,30	26,74	0,23	17,82	0,09	1,25	—
11	Pribram	54,32	24,46	urme	19,77	—	—	—
12	Pribram	54,32	26,81	urme	18,74	—	—	—
13	Pribram	57,69	21,87	0,84	18,89	0,47	—	0,25
14	Pribram	55,06	24,31	1,46	18,64	—	—	—
15	Pribram	55,96	24,17	—	18,47	—	0,22	0,84
16	Pribram	58,13	22,81	0,57	17,60	—	—	—
17	Pribram	57,28	22,91	1,35	17,95	0,34	—	0,06
18	Pribram	57,42	25,11	urme	17,74	—	—	—
19	Pribram	48,38	27,72	3,47	20,49	—	—	—
20	Marronena	54,82	26,85	0,42	17,91	—	—	urme
21	Mayen	55,82	22,93	—	18,62	—	—	—
22	Mayen	56,14	25,65	—	—	—	—	—
23	Altenberg	58,73	20,96	2,18	18,51	—	—	—
24	Nertschinsk	59,30	21,47	—	18,08	—	0,80	—
25	Nertschinsk	59,64	19,49	—	18,04	—	0,88	—
26	Nertschinsk	59,44	21,48	—	18,14	—	—	—
27	Westfalla	58,62	23,31	urme	18,18	—	—	—
28	Suedia	55,22	25,54	—	18,91	0,08	—	—
29	Betzdorf	57,23	23,82	—	18,23	—	—	—
30	Altenberg	63,73	16,26	—	17,53	—	2,42	—
31	Altenberg	66,06	14,63	—	16,83	—	2,34	—
32	Oberlahr	58,58	22,69	—	18,76	—	—	—
33	California	59,01	22,76	—	18,22	—	—	—
34	Oberlahr	54,44	24,55	—	18,98	—	—	—
35	Idaho	53,23	24,67	1,47	18,11	—	—	—
36	Montana	55,05	25,71	urme	18,82	—	—	—
37	Idaho	55,52	23,63	0,43	19,36	—	—	—
38	Idaho	53,79	23,83	0,41	18,11	—	—	—
39	Peru	54,34	25,33	0,47	18,51	—	—	—
40	Pribram	55,08	24,38	urme	18,85	—	—	—
41	Herja	54,00	30,80	—	15,20	—	—	—

1, Boulanger (1835); 2, Thanlow (1837); 3, Bromeis (Haussmann, 1839); 4, Brügel (1839); 5, Abendroth (la C. F. Rammelsberg, 1839); 6, Abendroth (la C. F. Rammelsberg, 1839); 7, C. F. Rammelsberg (1846); 8–10, E. Bechi (1852); 11–12, F. Boricky (la V. v. Zepharovich, 1867); 13–19, F. Boricky (la V. v. Zepharovich, 1867); 20, F. A. Gentz (1868); 21–22, G.v. Rath (1869); 23, M. Welsky (1896); 24–26, A. Frenzel (1870); 27, T. Haage (1887); 28, R. Mauzelius (la H. J. Sjögren, 1897); 29, C. Guillemain (1898); 30–31, C. Guillemain (1898); 32, C. Guillemain (1898); 33, C. Guillemain (1898); 34–40, E. V. Shannon (1921); 41, V. Iosof (la Suzana Antonovici, 1970).



(Pogg. Ann. 1839, 47, 493). În decursul anilor acest studiu a continuat, în momentul de față existând analize chimice din mai multe zăcăminte (Doeleter, 1926). Aceste analize le prezentăm în tabelul 1, pe care îl

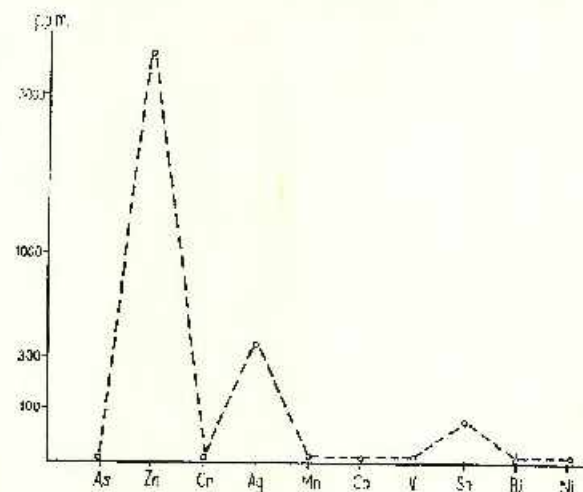


Fig. 1. Variația elementelor minore la boulangerit (proba 18.140/1).

Variation des éléments mineurs de la boulangérite (échantillon 18.140/1).

completăm cu rezultatele obținute asupra boulangeritului de la Herja. Analiza a fost făcută de Iosof<sup>3</sup>. Sunt de altfel primele date chimice ce se cunosc asupra boulangeritului din acest zăcămînt.

După cum reiese din tabelul 1, conținutul în plumb al boulangeritului de la Herja este apropiat de al boulangeritului din alte zăcăminte, în schimb conținutul în stibiu depășește cu cîteva procente cel mai mare conținut cunoscut.

Această variație a elementelor majore componente se datorește caracteristicii pe care o au sulfo-sărurile de a hidroliza destul de ușor. În urma acestui fenomen sulful precipită și se depune sau este antrenat de apă sub formă de sulf coloidal sau se degajă ca  $\text{SO}_2$ , ceea ce determină o îmbogățire în plumb și stibiu.

**Elemente minore.** Pentru cunoașterea elementelor minore ce intră în constituția boulangeritului, s-au făcut analize spectrale<sup>4</sup>. Determinarea elementelor minore a fost făcută pe cristale pure de boulangerit. S-a stabilit prezența următoarelor elemente minore: As, Zn, Ag, Cr, Mn, Co, Ni, V, Sn, Bi. Rezultatele acestor analize, cît și variația elementelor minore sunt date în tabelul 2 și în figurile 1, 2.

<sup>3</sup> Institutul Geologic, Șos. Kiseleff nr. 55, București.

<sup>4</sup> I. Acsintovici întreprinderea Geologică de Prospecții, Cal. Griviței nr. 64, București.

Se constată că în afara zincului care apare în cantități mari (3000 p.p.m.), elementul ce trebuie luat în considerare este argintul (300 p.p.m.) și într-o măsură mai mică staniul (30–100 p.p.m.).

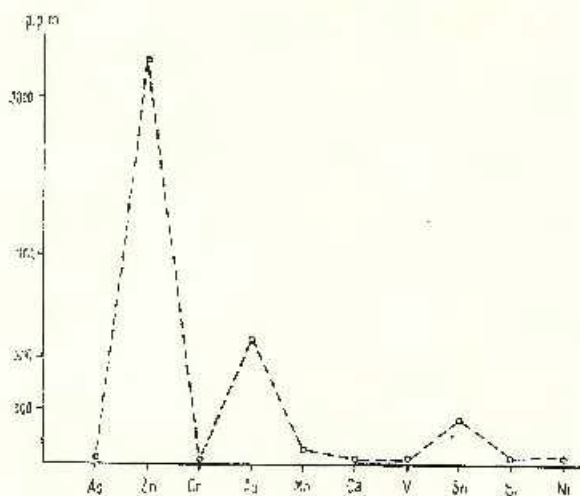


Fig. 2. — Variația elementelor minore la boulangerit (proba 18.140/2).

Variation des éléments mineurs de la boulangerite (échantillon 18.140/2).

Mentionăm că rezultatele obținute asupra elementelor minore sunt primele date ce se referă la boulangeritul de la Herja.

TABELUL 2  
Elementele minore (p.p.m.) din boulangerit

Nr. probei	As	Zn	Ag	Cr	Mn	Co	Ni	V	Sn	Bi
18140/1	sld	> 3000	> 300	sld	30	sld	sld	sld	30-100	sld
18140/2	sld	> 3000	> 300	sld	30	sld	sld	sld	30-100	sld

**Considerații genetice.** Boulangeritul este întâlnit în zăcăminte hidrotermale de minereuri de plumb și zinc, asociat cu sulfo-antimoniti de plumb și cupru, galenă, blendă, pirită, mispichel.

În eșantioanele studiate de noi cristalele de boulangerit sunt concrescute pe galenă sau fixate pe zonele externe ale cristalelor. Uneori mulează cristalele de galenă formând pe ele o crustă. Din această formă de prezentare se vede că boulangeritul s-a format după cristalizarea galenei, deci într-o fază hidrotermală de temperaturi joase cind plumbul apare de obicei sub formă de sulfo-săruri. De asemenea înaintea galenei și blendei

s-a format calcopirita, pirita, mispichelul, pirotina. În orice caz, cristalizarea sulfo-sărurilor de stibiu și plumb începe după apariția completă a mineralelor principale (blenda, galena etc.).

În ceea ce privește geneza zăcămîntului de la Herja se pot distinge deci două perioade de mineralizație (Petrulan, 1934) : perioada de mineralizație hipogenă și perioada de mineralizație supergenă.

Boulangeritul s-a format în perioada de mineralizație hipogenă, care este caracterizată prin prezența pirotinei, mineral ce se formează la temperaturi foarte ridicate. Această perioadă începe cu pirita singură, apoi însotită de blendă, pirotină, galenă ; urmăză mispichelul și calcopirita. Stibina se știe că se formează la temperaturi mult mai scăzute. Această perioadă de mineralizație se încheie cu sulfo-săruri : tetraedrit, semseyit, jamesonit, boulangerit, freieslebenit.

Succesiunea vîrstei mineralelor în mina Herja este următoarea : pirită-blendă-pirotină-mispichel-calcopirită-galenă-stibină-tetraedrit-boulangerit-jamesonit-semseyit-freieslebenit.

## BIBLIOGRAFIE

- Cissarz A., Rakic S. (1957) Die Blei und Zinklagerstätte des Crveni Breg am Avala-  
berge bei Belgrad. *N. Jb. Min.* 90, 1, Stuttgart.
- Döelter C., Leitmeyer H. (1926) Handbuch der Mineralchemie, IV/1, Leipzig.
- Gavellin S. (1936) Aufreten und Paragenese der Antimominerale in zwei Sulfidvor-  
kommen in Skellefteåfjelde Nordschweden. *Sveriges Geologiska Undersökning, Ser.*  
*C-404*, Stockholm.
- Hiller J. E. (1955) Über den Falkmanit und seine Unterscheidung von Boulangerit.  
*N. Jb. Min. Mh.* 1, Stuttgart.
- Hintze C. (1901) Handbuch der Mineralogie. Abt. I/1, Leipzig.
- Jambor L. J. (1967) New lead sulfantimonides from Madoc, Ontario.
- Knauer E., Richter P. (1968) Neue Beobachtungen zur Erzmineralführung der Gold-  
Quarz-Gänge bei Brandholz im Fichtelgebirge. *N. Jb. Min. Mh.* 12, Stuttgart.
- Krause H. (1964) Zur Kenntnis der Erzvorkommens von Sakibala, Iran. *N. Jb. Min. Mh.*  
4, Stuttgart.
- Petrulan N. (1934) Étude chalcographique du gisement de plomb et de zinc de Herja.  
*An. Com. Géol.* XVI, București.
- Pöschl A. (1968) Die Pb-Ag-Erzlagerstätten des Rio Ribeira de Jguape Bezirkes (Süd-  
brasilién). *N. Jb. Min. Mh.* 1/2, Stuttgart.
- Rădulescu D., Dimitrescu R. (1966) Mineralogia topografică a României. Ed.  
Acad. R.S. România, București.



- Sidney A. W. (1968) Complex silver ores from Morey, Nevada. *The Canadian Mineralogist*, 9/4, Ontario.
- Szöke A., Steclaci Livia (1962) Regiunea Toroiaga-Baja Borsa. Ed. Acad. R.P.R., Bucuresti.
- Walentz K. (1957) Die antimonführenden Gänge des Schwarzwaldes. *Jb. Geol. Landesamt Baden-Württemberg*, 2, Berlin.

## CONTRIBUTIONS À L'ÉTUDE DE LA BOULANGÉRITE DE BAIÀ-MARE

### (Résumé)

Dans la collection de minéraux de l'Institut Géologique il y a toute une série d'échantillons qui contiennent à côté d'autres espèces minérales, de la boulangérite aussi. C'est à Baià-Mare dans la mine Herja que ce matériel a été récolté.

Dans cet ouvrage on présente l'étude de ce minéral et de sa paragenèse. La boulangérite a été décrite pour la première fois en 1835 par Boulanger, dans le gisement Molieres.

Le gisement métallifère de Herja est situé au NW de la Transylvanie; il est exploité pour son minerai de plomb et de zinc. C'est un gisement filonien hydrothermal dont la formation se rapporte aux éruptions d'andésites de la région.

La boulangérite se présente sous forme de colonne ou sous forme aciculaire, fixée d'habitude sur galène; parfois elle forme des masses grenues, fibreuses, aciculaires, quelquefois même à aspect de feuille, en faciès phimostique, gris plombé ou gris-bleuâtre à éclat métallique.

C'est Ahrendroth qui a fait son étude chimique (dans l'ouvrage de Raamme Isberg, 1939). De diverses études chimiques sur certains gisements à boulangérite ont suivi à ceinture. Une analyse chimique de la boulangérite de Herja indiquerait les teneurs suivantes: Pb = 54%; Sb = 30,80%; S = 15,20%.

Les analyses spectrales indiquent la présence des éléments suivants: Zn > 3000; As = s.l.d.; Ag > 300; Cr = s.l.d.; Mn = 30; Co = s.l.d.; Ni = s.l.d.; V = s.l.d.; Sn = 30-100; Bi = s.l.d.

Au microscope, la boulangérite présente des formes aciculaires, relativement bien développées, à pleochroisme faible (plus faible que chez la stibine, la semseyite et la plagiophite); de même pour les effets d'anisotropie. Pour ce qui est du coloris, se sont le gris et le gris-bleuâtre qui prédominent. Elle n'est attaquée ni par le HCl, ni par le KOH. On observe fréquemment le remplacement des minéraux anciens par la boulangérite.

En ce qui concerne sa période de minéralisation, on peut affirmer que la boulangérite s'est constituée, ainsi que les autres sulfosels, dans une phase plus tardive à température basse, qui a succédé à la phase des sulfures. On a réussi à établir le suivant ordre de sédimentation des minéraux: pyrite-blende-pyrrothine, mispickel-chalcociprite galène-stibine-tétradrérite-boulangérite-jamesonite-semseyite-freicsiébénite.

## EXPLICATIA PLANSEI



Institutul Geologic al României

## EXPLICATIA PLANSEI

Fig. 1. — Boulangerit (a) asociat cu blandă (b). Se distinge bine limita dintre cele două minerale.

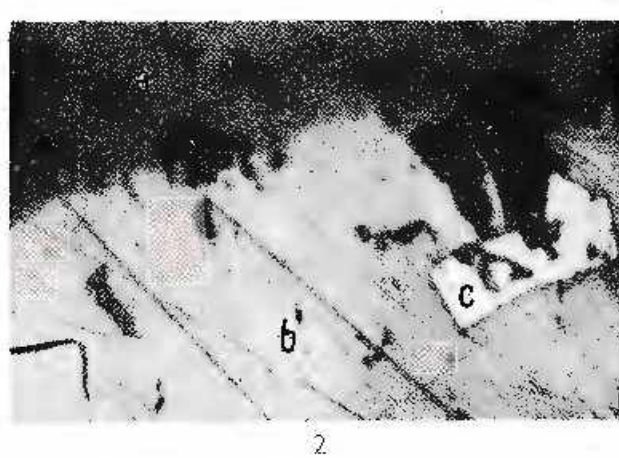
Boulangérite (a) associée de blandie (b). La limite entre les deux minéraux est bien distincte.

Fig. 2. — Blandă (a) și boulangerit (b), în care este inclus un cristal de pirolină.

Blandie (a) et boulangérite (b), où se trouve inclus un cristal de pyrrhotine.



S. ANTONOVICI Contribuții la studiul boulangeritului - Baia-Mare.



Institutul Geologic, Dări de seismă ale ședințelor, vol. LVII/1.

MINERALOGIE

**CÎTEVA DATE MINERALOGICE ȘI SPECTROGRAFICE  
ASUPRA BOURNONITULUI DIN ROMÂNIA<sup>1</sup>**

de  
SUZANA ANTONOVICI<sup>2</sup>, ION ACSINTOVICI<sup>3</sup>

**Abstract**

Some Mineralogical and Spectrographical Data on the Bournonite of Romania. This paper presents a mineralogical and spectrographical study of the bournonite in Romania. The mineral described proceeds from the following deposits: Dealul Cracii, Baia Sprie, Iodna Veche, Săcălămb, Capnic. This study provides data resulted from the macroscopical and microscopic researches related both to the bournonite and its paragenesis. Data so far known as to this mineral are supplemented by its spectral study carried out on the basis of numerous tests from the deposits mentioned above, and also the variation diagrams of minor elements.

**Istorie.** Bournonitul, descris pentru prima dată de Bournon (Phil. Trans. 1804) ca o sulfură triplă de Sb, Pb și Cu, a fost denumit de Jameson (Syst. Min. 1805) după numele autorului care l-a descoperit. Mineralul a fost colectat din zăcămîntul Huel Boys la Endellion în Cornwall.

Sinonimii: endellionit (după localitate), Antimonbleikupferblende, spießglanzbleierz, schwarzspießglanzerz (spießglascerz), rädelerz (denumire locală în Cornwall).

De-a lungul anilor bournonitul a fost amintit în diverse parogeneze cu alte minerale sau în diferite studii asupra unor zăcăminte de sulfuri, unde este dată și o descriere a mineralului, uneori numai macroscopică, alteleori și microscopică. Astfel este amintit în zăcămîntele de la Oberharz, Rammelsberg, Bliesenbach și Oberlahr, Enis și Holzappel în Rheinland, Bayerland în Waldsassen, Pockau-Lengefeld, Saxonia, Sulitelma, Gilpin, Colorado, Colquechaca, Huanchaca, Bolivia, Coreea (Hintze, 1904).

<sup>1</sup> Comunicare în ședință din 8 mai 1970.

<sup>2</sup> Institutul Geologic, Șos. Kiseleff nr. 55, București.

<sup>3</sup> Întreprinderea Geologică de Prospecții, Cal. Griviței nr. 64, București.



De asemenea este întlnit la noi în țară în diverse asociații în mai multe zăcăminte (Hawley, 1952; Helke, 1938; Latiu, 1930).

Descrieri mai recente asupra bournonitului din România sunt date de următorii cercetători :

Socolescu (1952) în mineralizația filoniană de sulfuri complexe din masivul Toroiaga (Baia Borșa) descrie în filonul Emeric următoarea parageneză : pirită, mispichel, uneori pirotină masivă, mai rar calcopirită, benzi de blendă și tetraedrit, ochiuri de galenă, cristale de bournonit, fire de plumozit și cristale de stefanit.

În studiul zăcămîntului de sulfuri polimetallice de la Gemenea, Iancovici et al. (1957) amintesc alături de pirită, mispichel, blendă, calcopirită, tetraedrit și galenă și bournonit, care străbate tetraedritul ca o retea.

În zona minieră Baia-Mare, bournonitul este amintit de Cotta, Fallenberg (1862). De asemenea a fost studiat de Zirkel (1862), Tokody (1941). În studiul făcut de Maniliu et al. (1965) asupra zăcămîntului de la Baia Sprie, bournonitul este descris ca un mineral ce se întlniește sporadic în geode, fixat pe cristale de pirită, blendă sau galenă și numai la orizonturile XI și XII.

După afirmațiile lui Cotta, Fallenberg (1862) și Tokody (1941), rezultă că bournonitul a fost întlnit și deasupra acestor orizonturi. C. Stoenescu l-a întlnit la orizontul XIV și intermediar, tapisind împreună cu pirita peretii geodelor filonului principal.

Rădulescu, Dimitrescu (1966) în „Mineralogia topografică a României”, pe baza unui material bogat, consemnează date privind caracteristicile fizice și chimice ale bournonitului și indică localitățile din România unde apare acest mineral.

**Studiul mineralului.** În lucrarea de față ne propunem ca după prezintarea proprietăților fizico-chimice și optice ale mineralului, să redăm pe baza analizelor spectrale conținutul și variația elementelor minore și să facem o comparație între variația conținuturilor pe elemente la cîteva zăcăminte din țară.

**Proprietăți fizice.** Bourronitul se prezintă în cristale cu habitus tetragonal, cu formă columnară scurtă pînă la tabulară. Cristalele se găsesc mai rar izolate, de obicei sunt maclate sub diverse forme (dispuse în grupuri unele lîngă altele, maclate ciclic — Rädelerz — și formînd agregate în roî dințate, formă de cruce, forme polisintetice și ciclice repetate, care sunt

caracteristică prin forma rindurilor paralele legate intim). Suprafețele prismelor sunt adesea stiate vertical și mai bine stiate orizontal. Bournonitul se prezintă uneori și în agregate grăunțoase pînă la agregate compacte.

Mineralul are culoare cenușiu-negricioasă cu luciu metalic viu și urmă cenușie de oțel spre cenușiu-neagră sau neagră cu striații puternice dispuse longitudinal. Clivajul imperfect după b (010) mai puțin clar după a (100) și c (001). Are săpături neregulate și este destul de casant. Durritate 2 pînă la 3, iar greutatea specifică 5,7–5,9.

Materialul pe care l-am avut la dispoziție pentru studiu provine din mai multe zăcăminte : Dealul Crucii, Capnic, Baia Sprie, Săcărimb, Rodna și este înregistrat în colecția Institutului Geologic cu nr. L–19728, L–19729, L–20001–20436. Vom da descrierea mineralului și parogeneza pe fiecare zăcămînt în parte (fig. 1).

*Dealul Crucii* (16 piese). Bournonitul se prezintă în cristale mici de 2–8 mm lungime, izolate sau grupate sub diverse forme și fixat de obicei pe blendă. Mai rar se găsește fixat și pe pirită sau chiar pe cuarț în mici druze. Este asociat cu plomozit, pirită, calcopirită, calcit, destul de rar calcozină și covelină. Nu am observat în asociație cristale de galenă.

*Capnic* (3 piese). Cristalele de bournonit, de dimensiuni foarte mici (2 mm) se prezintă de obicei grupate sub diverse forme și fixate pe cuarț care are o peliculă fină de calcit. În asociație se găsesc blendă și destul de rar cristale de calcopirită și ace de plomozit.

*Baia Sprie* (84 piese). Cristalele de bournonit se prezintă cu habitus columnar scurt pînă la prismatic, cu dimensiuni de 7–12 mm lungime. De obicei cristalele sunt dispuse în grupuri, fiind crescute unele lingă altele, tăindu-se sub diverse unghiuri, uneori grupuri dispuse perpendicular, cristale maclate ciclic sau dispuse sub formă de cruce. Forma columnară se distinge intotdeauna foarte bine și o parte din fețe. Cind cristalele sunt fixate vertical se distinge bine față „c”. De obicei cristalele de bournonit sunt fixate pe blendă, care este asociată cu pirită, calcopirită, plomozit, cuarț. Uneori cristalele sunt fixate pe pirită, care este asociată cu cuarț, blendă, galenă, calcopirită, alteleori bournonitul este fixat pe cuarț în mici druze, asociat cu pirită, calcopirită, blendă, covelină, calcozină, destul de rar și galenă. Cristalele de bournonit mai pot fi fixate pe plomozit sau pe calcit care îmbracă cristalele de cuarț. Rare cristalele de bournonit sunt acoperite cu o pulbere roșiatică de limonit.

*Săcărîmb* (2 piese). Bournonitul se prezintă sub formă de cristale mici (1,5—5 mm), fixate pe cuart și de obicei grupate. În asociatie se găsește blendă.

*Rodna* (276 piese). Cristalele de bournonit de dimensiuni cuprinse între 2—12 mm lungime sunt fixate de obicei pe blendă și mai rar pe pirită.

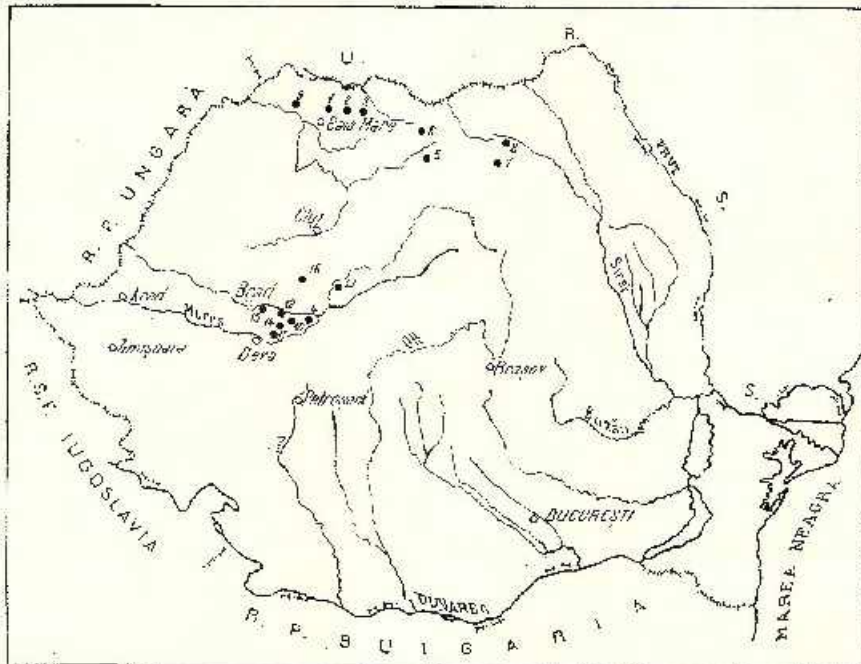


Fig. 1. — Harta R.S. România, cu ocoarene bournonitului.

1. Dealul Cruci; 2. Capnic; 3. Baia Sprie; 4. Săcărîmb; 5. Rodna Veche; 6. Baia Borsa; 7. Crucea; 8. Gemenea; 9. Ilba; 10. Hondon; 11. Flise; 12. Hărăgan; 13. Baia de Ariciu; 14. Trestia; 15. Ruda-Barza; 16. Stânița.

Carte de la R.S. de Roumanie indiquant les affleurements avec bournonite.

1. Dealul Cruci; 2. Capnic; 3. Baia Sprie; 4. Săcărîmb; 5. Rodna Veche; 6. Baia Borsa; 7. Crucea; 8. Gemenea; 9. Ilba; 10. Hondon; 11. Flise; 12. Hărăgan; 13. Baia de Ariciu; 14. Trestia; 15. Ruda-Barza; 16. Stânița.

În majoritatea cazurilor se observă cristale sub formă de grupări neregulate. Fețele cristalelor se disting destul de greu, în afară de fața „c”. Bournonitul este asociat cu plomozit, blendă, calcopirită, mai rar tetraedrit. Când cristalele de bournonit sunt fixate pe pirită, aceasta este în asociatie cu calcopirită și cuarț. Uneori bournonitul este asociat cu plomozit și fixate împreună pe pirită, care este asociată cu calcopirită și blendă și mai rar galenă și cuarț. Într-un număr destul de mic de eșantioane am întâlnit bournonitul asociat cu tetraedrit și fixat pe pirită.

Alteori cristalele de bournonit sint asociate cu plomoziit și dispuse în mici druze, unde se mai găsesc calcopirită și blendă. Tot asociat cu plomoziit, bournonitul mai este fixat pe o crustă formată din asociația blendă, calcopirită și rare cristale de tatraedrit sau din asociația calcopirită, covelină, blendă. În cazuri destul de rare am găsit bournonitul fixat pe calcit, care este asociat cu pirită, calcopirită și blendă. Bournonitul mai poate fi fixat pe cuarț în mici druze și asociat cu blendă și pirită. Într-un singur esantion am întîlnit în asociația bournonit, plomoziit, calcopirită, calcozină, blendă și gips, acesta din urmă prezentându-se sub formă de rozetă și fixat pe plomoziit.

Bournonitul din România apare în : 1, filoane hidrotermale neogene ; 2, filoane hidrotermale legate de magmatismul mezozoic ; 3, zăcăminte metamorfozate din șisturi cristaline.

În prima categorie intră zăcărintele de la Dealul Crucii, Capnic, Baia Sprie, Rodna Veche, Săcărîmb, în parageneza dată mai sus. De asemenea în această categorie mai pot fi considerate zăcărintele Ilba (bournonit cu calcopirită, pirită, blendă, galenă) ; Hondol (bournonit cu baritină pe cuart) ; Fizeș (bournonit cu blendă pe cuart) ; Hărțăgani (bournonit cu pirită, blendă, galenă) ; Baia de Arieș (bournonit cu stibină, calcit, pirită, blendă) ; Trestia, Ruda-Barza și Stânișa.

În categoria a 2-a, este considerat zăcărintul Gemenea, unde bournonitul apare împreună cu sulfuri polimetallice.

Categoria a 3-a cuprinde zăcărintele Baia Borșa-Burloaia (bournonit cu pirită și calcopirită) și Crucea (bournonit cu pirită, calcopirită, blendă și galenă).

*Forma cristalină.* Bournonitul cristalizează în sistemul rombic, clasa rombohipramidală. Cristalele au habitus pseudotetragonal sau tabular. Formele cristalografice la bournonitul studiat de noi sunt lung-prismatică sau scurt-prismatică. Am căutat forme căt mai apropiate de cele perfecte, care au fost desenate la camera clără și care sunt prezентate în figurile 2 și 3. După cum se observă, la toate cristalele fața cea mai bine dezvoltată este fața „c”. De asemenea, la majoritatea cristalelor se disting fețele m, f și b, mai rar am putut deosebi fețele a și o (la Dealul Crucii și Baia Sprie) iar fața „n” am observat-o numai la două din cristalele studiate, acestea fiind din esanțioanele de minereu de la Baia Sprie.

*Aspecte microscopice.* Microscopic, bournonitul se prezintă în agregate cu forma granulelor mai mult poligonală. Se disting prin culoare alb-slab verzuie, foarte apropiată de a galenei, prin pleocroism slab, anizotropic moderat, dezvăluind măce polisintetice după două direcții.

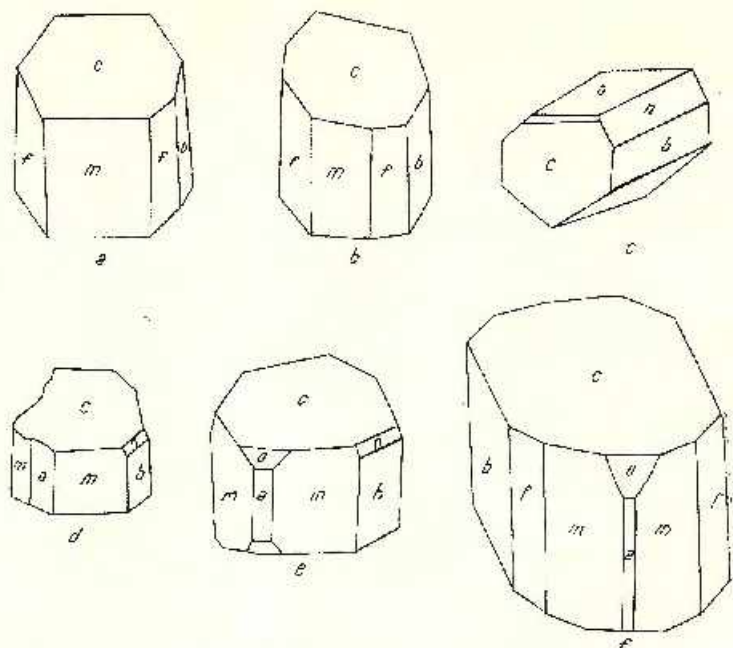


Fig. 2. (a, b, c, d, e, f). — Forma cristalelor de bournonit la Baia Sprie : c (001); f (120); m (110); b (010); a (100); n (011); o (101).

Forme des cristaux de bournonite de Baia Sprie : c (001); f (120); m (110); b (010); a (100); n (011); o (101).

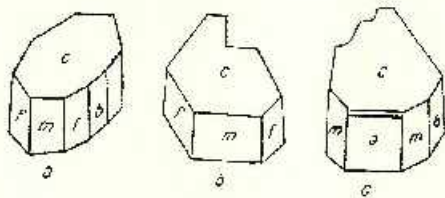
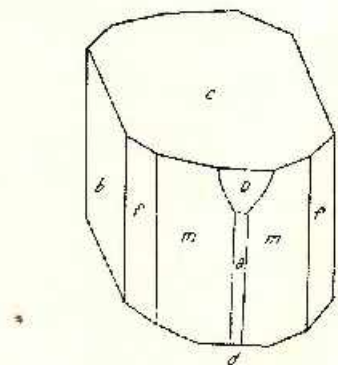


Fig. 3 (a, b, c, d). — Forma cristalelor de bournonit la Dealul Crucii : c (001); f (120); m (110); b (010); a (100); o (101).



Forme des cristaux de bournonite de Dealul Crucii : c (001); f (120); m (110); b (010); a (100); o (101).

Proprietățile optice ale bournonitului sunt puțin remarcabile, încât este nevoie de determinări precise. Efectele de anizotropie cu nicolii în cruce sunt slabe în aer și numai la limita dintre granule fenomenul este clar. Față de boulangerit cu care se asemănă foarte mult se poate recunoaște prin macărare și prin lipsa atacului cu  $\text{NO}_3\text{H}$ , ca și printr-o oarecare izometrie iar cristalele nu sunt aciculare. În secțiuni (Rodna Veche), (pl. I, fig. 1, 2), bournonitul apare asociat cu blendă, pirită, calcopirita, cuarț, plomoziit, destul de rar tetracodrit. Blenda corodează calcopirita, fiind la rîndul ei corodată de bournonit.

La Baia Sprie bournonitul apare asociat cu blendă și galenă ce se insinuează pe fisuri. În cele mai multe cazuri blenda și galena conțin incluziuni de bournonit, care sunt sub formă de granule alotriomorfe. Bournonitul mai este asociat cu pirită, calcopirita, plomoziit, cuarț, mai rar covelină și calcozină. Uneori bournonitul străbate galena sub formă de filonașe depunându-se și pe contactul dintre galenă și pirită, ori galenă și calcopirita.

La Dealul Cruei, bournonitul apare asociat cu blendă, pirită, calcopirita, plomoziit, cuarț, uneori calcit, destul de rar covelină și calcozină, care sunt formate ca produse intermediare.

*Date chimice.* Asupra compoziției chimice a bournonitului posedăm cîteva date ale analizelor efectuate, ale căror rezultate le dăm mai jos într-un tabel comparativ (Pintze, 1904).

TABELUL 1  
Compoziția chimică a bournonitului

Nr. crt.	Zăcămîntul	Pb	Cu	Sb	Fe	S	As	Mn	Zn
		%							
1	Baia Sprie	42,07	12,82	23,80	0,20	19,78			
2	Capnic	40,98	14,75	22,42	0,81	19,37	0,41		
3	Săcărîmb	43,85	12,87	18,43	0,51	20,22	3,18	0,26	0,20
4	Ilarz	35,52	9,06	24,28		19,87	3,22		
5	Westfalia	32,75	7,68	21,88		20,39	6,58		
6	Hørhansen	27,55	7,46			20,94			
7	Nassau	5,13	1,33	19,53		16,56	28,00		
8	Bayern	17,83	4,40	13,75		18,43	20,51		
9	Bräunsdorf	26,13	4,55			16,45			

1, L. Sipocz (1886); 2, K. Hidegh (1881); 3, L. Sipocz (1886); 4, Zirkel (1862); 5, Haage (1887); 6, Groth (1878); 7, Groth (1878); 8, Gimbæl (1879); 9, Frenzel (1874).



*Elemente minore.* Pentru determinarea elementelor minore ce intră în constituția bournonitului au fost făcute analize spectrale. Este primul studiu spectral ce se face asupra bournonitului din România.

Materialul ales pentru analize a constat din cristale pure de bournonit. În eșantioanele pe care le-am avut la dispoziție cristalele de bournonit nu sunt totdeauna curate, de aceea porțiunile cele mai pure au fost deatașate din eșantioane și separate de alte minerale cu care se găsesc asociate sau de mineralele de gangă. Cantitatea de material folosit pentru o analiză a fost de 30-60 mg și provine din zăcămintele Dealul Crucii, Baia Sprie, Capnic, Rodna Veche, Săcăriub. Numărul probelor a variat între 1 și 26, în funcție de materialul pe care l-am avut la dispoziție.

Rezultatele analizelor (în p.p.m.) sunt date în tabelele 2, 3, 4, 5, 6. Ele arată prezența următoarelor elemente: Zn, Ni, Cr, Ag, Co, Mn, V, As, Sn, Bi, dintre care multe pot avea legătură cel puțin în parte cu incluziunile foarte fine.

TABELUL 2  
*Dealul Crucii — Elemente minore (p.p.m.)*

Nr. probel	Zn	Ag	Cr	Mn	Co	As	V	Sn	Bi	Ni
19728										
A	> 3000	> 300	sld	300	sld	2000	sld	10	10	sld
B	> 3000	> 300	sld	1000	sld	2000	sld	3	sld	sld
C	3000	> 300	sld	> 3000	sld	2000	sld	20	20	sld
D	3000	> 300	sld	> 3000	sld	3000	sld	3	30	sld
E	> 3000	> 300	sld	2000	sld	1000	sld	3	30-100	sld
F	> 3000	> 300	sld	3000	sld	1000	sld	6	30	sld
G	3000	> 300	sld	300-1000	sld	1000	sld	3	30	sld
H	3000	> 300	sld	1000	sld	1000	sld	30	30	sld
I	3000	> 300	sld	300	sld	1000	sld	2	30	sld
J	> 3000	> 300	sld	30	sld	3000	sld	3	sld	sld
K	> 3000	> 300	sld	> 3000	sld	3000	sld	2	30	sld
L	> 3000	> 300	sld	> 3000	sld	3000	sld	2	30	sld
M	> 3000	> 300	sld	> 3000	sld	2000	sld	3	sld	sld
N	> 3000	> 300	sld	3000	sld	2000	sld	2	sld	sld

Cu datele pe care le-am obținut la analize am încercat să redăm variația (sau media variației) elementelor minore la fiecare zăcămînt în parte (pl. II, fig. 1, 2, 3, 4, 5) și variația anumitor elemente (Mn, As, Sn, Bi) la diversele zăcămînte (pl. II, fig. 6, 7).

Din cercetarea figurilor enumerate mai sus se vede că elementul cu conținutul cel mai ridicat este zincul (3000 p.p.m.). Urmează arsenul,



conținutul lui fiind 1000–3000 p.p.m., la majoritatea probelor, mai rar 3000 p.p.m. și numai la câteva între 300 și 1000 p.p.m., iar la două din probe el este sub limita detectabilă (1–3 p.p.m.). Conținutul în argint este constant la toate probele și în toate zăcămintele, el depășind 300 p.p.m. Conținutul în mangan este destul de variabil, oscilând între 30 și 2000

TABELUL 3  
*Baia Sprie – Elemente minore (p.p.m.)*

Nr. probiei	Zn	Ag	Cr	Mn	Co	As	V	Sn	Bi	Ni
19729										
1	> 3000	> 300	sld	30	sld	> 3000	sld	3	sld	sld
2	3000	> 300	sld	> 1000	sld	1000	sld	6	10	sld
3	3000	> 300	sld	30	sld	> 3000	sld	sld	sld	sld
4	3000	> 300	sld	10	sld	3000	sld	sld	10	sld
5	> 3000	> 300	sld	300	sld	> 3000	sld	sld	sld	sld
6	> 3000	> 300	sld	30	sld	> 3000	sld	3	sld	sld
7	> 3000	> 300	sld	400	sld	> 3000	sld	sld	sld	sld
8	> 3000	> 300	sld	> 3000	sld	1000	sld	2	10-30	sld
9	2000	> 300	sld	30	sld	> 3000	sld	700	sld	sld
10	3000	> 300	sld	10	sld	> 3000	sld	2	10	sld
11	> 3000	> 300	sld	> 3000	sld	3000	sld	8	60	sld
12	> 3000	> 300	sld	200	sld	> 3000	sld	2	60	sld
13	2000	> 300	sld	20	sld	> 3000	sld	sld	3000	sld
14	> 3000	> 300	sld	> 3000	sld	> 3000	sld	2	10	sld
15	> 3000	> 300	sld	30	sld	> 3000	sld	sld	30	sld
16	> 3000	> 300	sld	30	sld	1000	sld	3	30	sld
17	> 3000	> 300	sld	30	sld	> 3000	sld	2	sld	sld
18	3000	> 300	sld	10	sld	> 3000	sld	sld	sld	sld
19	3000	> 300	sld	10	sld	300-1000	sld	6	3	sld
20	3000	> 300	sld	100	sld	3000	sld	sld	sld	sld
21	3000	> 300	sld	200	sld	1000	sld	sld	30	sld
25001										
1	> 3000	> 300	sld	30-100	sld	> 3000	sld	2	200	sld
10	> 3000	> 300	sld	30-100	sld	1000	sld	300	3000	sld
30	> 3000	> 300	sld	30-100	sld	> 3000	sld	3	1000	sld
38	> 3000	> 300	sld	200	sld	> 3000	sld	sld	sld	10
46	> 3000	> 300	sld	300	sld	2000	sld	20	3000	sld

p.p.m., ajungând uneori la 3000 p.p.m., alteleori fiind 10 p.p.m. Alt element care merită a fi luat în considerare este staniul, al cărui conținut variază între 1 și 6 p.p.m., la majoritatea probelor. O singură probă are conținutul 10 p.p.m., câteva 30 p.p.m. și numai una 700 p.p.m. (Baia Sprie). De asemenea bismutul este un element cu oscilații mari, conținutul lui fiind în unele probe de 1–3 p.p.m., în altele 30–100 p.p.m., precum și între 1000 și 3000 p.p.m. Într-o singură probă el apare mai mare de 3000 p.p.m.

TABELUL 4

*Rodna Veche – Elemente minore (p.p.m.)*

Nr. probel	Zn	Ag	Cr	Mn	Co	As	V	Sn	Bi	Ni
20436										
17	> 3000	> 300	sld	30	sld	3000	sld	20	1000	sld
19	> 3000	> 300	sld	1000	sld	1000	sld	20	3000	sld
30	> 3000	> 300	sld	2000	sld	2000	sld	30	1000	sld
31	> 3000	> 300	sld	200	sld	2000	sld	20	1000	sld
49	3000	> 300	sld	300	sld	1000	sld	20	60	sld
50	> 3000	> 300	sld	2000	sld	3000	sld	60	2000	sld
58	> 3000	> 300	sld	30	sld	> 3000	sld	30	2000	sld
61	> 3000	> 300	sld	20	sld	sld	sld	30	3000	sld
71	> 3000	> 300	sld	20	sld	1000	sld	30	2000	sld
79	> 3000	> 300	sld	3000	sld	sld	sld	20	1000	sld
85	> 3000	> 300	sld	30	sld	3000	sld	50	30	sld
89	> 3000	> 300	sld	60	sld	> 3000	sld	2	100	sld
91	> 3000	> 300	sld	20	sld	3000	sld	30	300	sld
109	> 3000	> 300	sld	60	sld	1000	sld	30	2000	sld
139	> 3000	> 300	sld	60	sld	2000	sld	50	2000	sld
151	> 3000	> 300	sld	30	sld	2000	sld	60	3000	sld
169	> 3000	> 300	sld	60	sld	1000	sld	60	3000	sld
211	> 3000	> 300	sld	300-1000	sld	3000	sld	50	3000	sld

TABELUL 5

*Capnic – Elemente minore (p.p.m.)*

Nr. probel	Zn	Ag	Cr	Mn	Co	As	V	Sn	Bi	Ni
20003 3	3000	300	sld	30-100	sld	3000	sld	2	300	sld

TABELUL 6

*Săcărâmb – Elemente minore (p.p.m.)*

Nr. probel	Zn	Ag	Cr	Mn	Co	As	V	Sn	Bi	Ni
20005 2	3000	300	sld	100	sld	3000	sld	2	300	sld



Restul elementelor detectate : Ni, Cr, V, Co, apar în toate probele cu conținut sub limita detectabilă (1-3 p.p.m.).

Ar fi fost interesant de urmărit variația elementelor minore atât pe lungime cât și în adâncime la fiecare zăcămînt dar din lipsa datelor suficiente (pe etichetele esantioanelor n-a fost indicat de unde zăcămîntul fără a se preciza exact locul de colectare), nu putem trage concluzii în acest sens.

## BIBLIOGRAFIE

- Cotta B.v., Fallenberg L.v. (1862) Die Erzlagerstätten Ungarns und Siebenbürgens Freiberg.
- Hawley L. E. (1952) Spectrographic studies of pyrite in gold mines. *Econ. Geol.* 47, Lancaster.
- Heelke A. (1938) Die jungvulkanischen Gold-und-Silber-Erzlagerstätten des Karpathenbogens. *Archiv. Lagerstättforsch.*, 66, Berlin.
- Hintze C. (1804) Handbuch der Mineralogie. Leipzig.
- Ianevici V., Giușcă D., Stiopol Victoria, Minzăraru Lidia (1957) Studiu fizico-geologic al zăcămintului de sulfuri polimetalice de la Gemenea. *Anal. Univ. C. I. Parhon*, 16, București.
- Lăziu V. (1930) Contribuții la studiul calcografic al minereurilor din filoanile metalifere ale Transilvaniei. Asociațiile paragenetice de la Rodna Veche. *Rev. Muze.*, 3, 2, Cluj.
- Manilici V., Giușcă D., Stiopol Victoria (1965) Studiul zăcămintului de la Baia Sprie. *Mem. Com. Geol.*, VII, București.
- Rădulescu D., Dimitrescu R. (1966) Mineralogia topografică a României. Ed. Acad. R.S. România, București.
- Socolescu M. (1952) Asupra geologiei regiunii Bâile Borșa. *D. S. Com. Geol.*, XXXVI, București.
- Tokody L. (1941) Über den Kupferkies, Bournonit und Fahlerz von Felsőbánya. *Centralblatt f. Min. Geol. Pal. Abt. A.*, Stuttgart.
- Zirkel J. (1862) Versuch einer Monographie des Bournonit. *Sitzungsber. Akad.*, 45, Wien.

## QUELQUES DONNÉES MINÉRALOGIQUES ET SPECTROGRAPHIQUES SUR LA BOURNONITE DE ROUMANIE

(Résumé)

Dans la collection de minéraux de l'Institut Géologique, il y a toute une série d'échantillons qui comprend parmi d'autres espèces des minéraux de bournonite aussi.

On y présente une étude minéralogique et spectrale de ce minéral. Le matériel étudié provient des gisements : Dealul Crucii, Capnit, Baia Sprie, Săcărimb, Rodna Veche.

La bournonite se présente en cristaux à habitus tétragonal, ayant une forme prismée courte jusqu'à tabulaire. Parfois les cristaux sont isolés. Mais le plus souvent ils sont macrés sous formes diverses : en groupes joints, macrés cycliquement — Rädelerz — et formant des agrégats en roues dentées, en croix, en formes polysynthétiques et cycliques répétées qui se caractérisent par la forme des stries parallèles intimement liées. Les faces des prismes sont souvent striées verticalement et horizontalement (stries plus prononcées). Parfois la bournonite se présente aussi sous forme d'agrégats grenus jusqu'à compactes.

Le minéral est gris-noirâtre à éclat métallique vif et la trace grise d'acier est gris-noirâtre ou noire à stries profondes longitudinales. Le clivage est imparfait après b (010), moins distinct après a (100) et c (001). La bournonite présente des cassures irrégulières et elle est assez cassante.

Les minéraux de sa paragenèse sont les suivants : la pyrite, la plumbosite, la chalcopyrite, la calcite, parfois la coveline et la calcosine (Dealul Crucii); la blonde, la chalcopyrite, la plumbosite (Capuie); la blonde, la chalcopyrite, la pyrite, la galène, la plumbosite, le quartz (Baia Sprie); la blonde, la plumbosite, la chalcopyrite, la pyrite, parfois le tétраédrite (Rodna Veche). Hormis ces gisements la bournonite apparaît aussi en Roumanie à : Ilba, Hondon, Fizes, Hărăgani, Baia de Arieș, Trestia, Ruda-Barza et Stănița. De même dans les gisements de Gemence, Baia Borsă-Burloaia et Crucea à côté d'autres sulfures et sulfosels.

Au microscope la bournonite se présente en agrégats à graniés plutôt polygonaux. Elle se caractérise par son caloris blanc faiblement verdâtre ressemblant à celui de la galène, par son pleochroïsme faible, par une anisotropie modérée qui présente des macles polysynthétiques selon deux directions.

L'étude spectrale de la bournonite a indiqué la présence des éléments suivants : Zn, Ni, Cr, Ag, Co, Mn, V, As, Sn, Bi. À partir des données des analyses, on a essayé d'établir la variation (ou la moyenne de la variation) des éléments pour chaque gisement et la variation de certains éléments (Mn, As, Sn, Bi) pour de divers gisements.

L'élément avec la plus haute teneur c'est le zinc (> 3000), suivi par l'arsénium. La teneur de celui-ci pour la grande majorité des échantillons est de 1000 jusqu'à 3000, plus rarement 3000, pour quelques-uns de 300 à 1000 et pour deux échantillons seulement au-dessous de la limite détectable (1 à 3). La teneur en argent est constante pour tous les échantillons et pour tous les gisements (> 300). La teneur en manganèse est assez variable (de 30 à 2000) pouvant être parfois 3000, mais aussi bien 10.

Un autre élément c'est l'étain, dont la teneur varie de 1 à 6 pour la plupart des échantillons, un seul échantillon ayant la teneur 10, quelques autres 30 et un dernier 700 (Baia Sprie). Le bismuth présente de grandes oscillations, les valeurs de sa teneur étant de 1 jusqu'à 3, de 30 jusqu'à 100, ainsi que de 1000 jusqu'à 3000. Dans un seul échantillon elle dépasse 3000. Les autres éléments mis en évidence (Ni, Cr, V, Co) présentent dans tous les échantillons des teneurs non-détectables (de 1 à 3). Il faut mentionner que toutes les teneurs sont données en p.p.m.

Il serait intéressant d'étudier la variation des éléments mineurs tant en largeur qu'en profondeur pour chaque gisement mais il manque de données suffisantes (on n'a indiqué sur les échantillons que le gisement sans y préciser le lieu d'où l'on les avait recueillis) on ne peut pas conclure dans ce sens.

### EXPLICATION DE LA PLANCHE

#### Planche II

Moyenne de la variation des éléments mineurs du bournonite de Roumanie.

1, moyenne de la variation des éléments mineurs à Dealul Crucii; 2, moyenne de la variation des éléments mineurs à Haia Sprie; 3, moyenne de la variation des éléments mineurs à Bodna Veche; 4, variation des éléments mineurs à Capnic; 5, variation des éléments mineurs à Săcărâmb; 6, courbes de la variation du manganèse et de l'arsenic du bournonite dans certains gisements de Roumanie: 1, Mn; 2, As; 7, courbes de la variation de l'étain et du bismuth du bournonite dans certains gisements de Roumanie: 1, Sn; 2, Bi.





## PLANŞA I



Institutul Geologic al României

## PLANŞA I

- Fig. 1. — a, Bournonit (macă polisintetică); b, blendă.  
a, Bournonite (macă polysynthétique); b, blonde.
- Fig. 2. — Cristale de bournonit.  
Cristaux de bournonite.

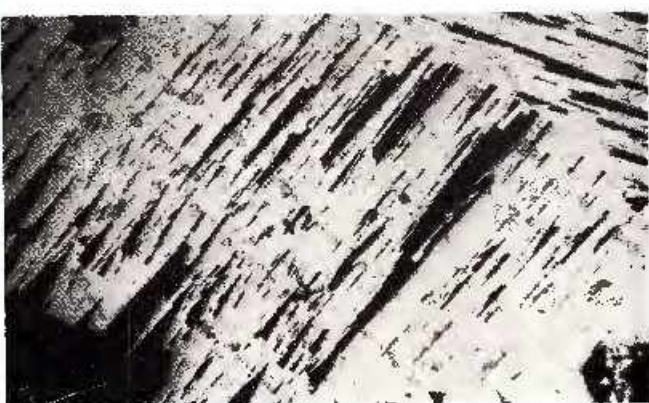


Institutul Geologic al României

S. ANTONOVICI, I. ACSINTOVICI. Date mineralogice și spectrografice  
asupra bournonitului. Pl. I.



1



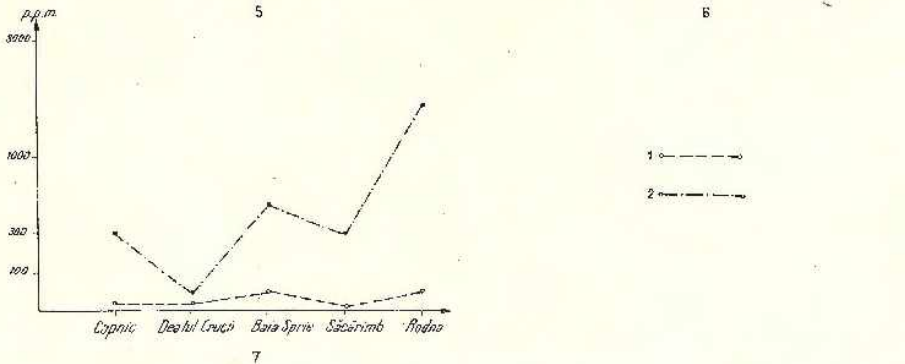
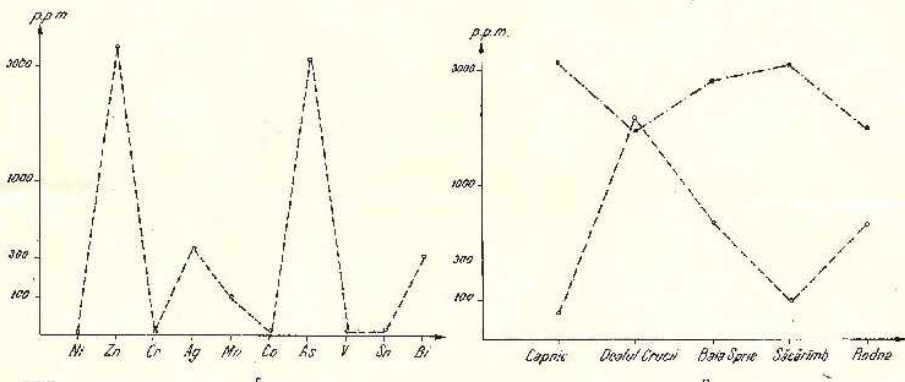
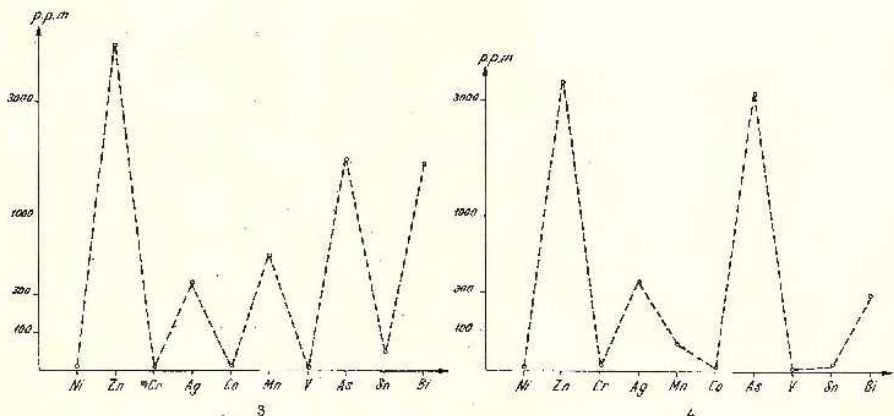
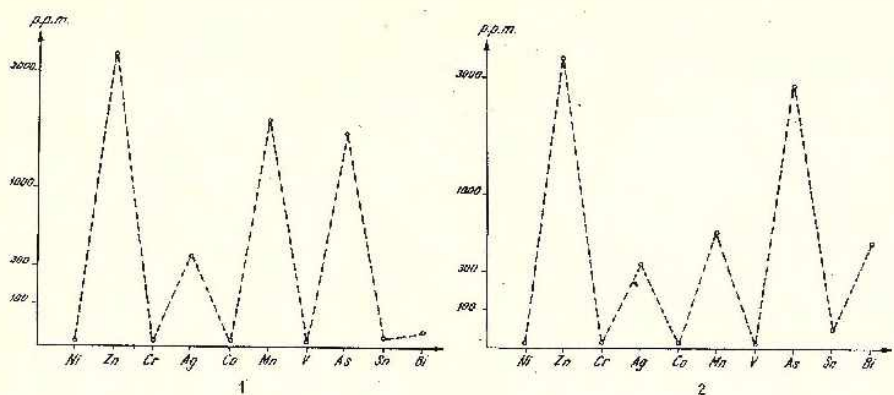
2

Institutul Geologic. Dări de seamă ale ședintelor, vol. LVII/1.

# MEDIA VARIATIEI ELEMENTELOR MINORE A BOURNONITULUI DIN ROMANIA

SUZANA ANTONOVICI, I. ACSINTOVICI. Media variației elementelor minore la bournonitul din România

Pl. II



PETROLOGIA ROCILOR MAGMATICE

**STUDIUL PETROGRAFIC ȘI MINERALOGIC AL ROCILOR MAGMATICE DIN REGIUNEA MĂGURA [POIENILOR-GURGUJALU (MARAMUREŞ)]<sup>1</sup>**

DE

ION PETREUŞ<sup>2</sup>

**Abstract**

Petrographic and Mineralogic Study of the Igneous Rocks in the Măgura Poienilor-Gurguiatu Region (Maramureş). At the Eastern outermost part of the Oaş-Gutî volcanic massif, numerous small-sized hypabyssal bodies forming necks, dykes and laccoliths crop out; lava flows are likewise to be found. The igneous rocks are represented by augite-andesites, hypersthene-andesites, green hornblende-biotite-andesites, pyroxene-microdiorites and pyroxene-diorites. Around the igneous bodies contact aureoles are developed under the albite-epidote facies. Outside of these zones, zones displaying „spotted slates” do occur. The contact metasomatic metamorphism of the largely developed igneous rocks leads to secondary formation of quartzites in the mon quartzitic facies.

Regiunea este situată în depresiunea Maramureșului, în partea de mijlocie a ramei sale de sud-vest. În ceea mai mare parte perimetru comunelor Botiza, Poienile Glodului și Glod, regiunea se înscrie aproape de cumpăna apelor dintre bazinul hidrografic al Izei și al Lăpușului. Strîns legate de structurile vulcanice ale Băii-Mari, vulcanitele în discuție formează extremitatea estică a acestora.

Regiunea a fost menționată în cîteva rapoarte geologice mai vechi (I. Atanasiu, 1935; M. Socolescu, 1935; Jurea, 1939). În cursul său de geologie Atanasiu (1946), prezintă o schită de hartă care cuprinde partea de vest a regiunii de care ne ocupăm. Autorul atrage

<sup>1</sup> Comunicare în ședința din 3 aprilie 1970.

<sup>2</sup> Universitatea „Al. I. Cuza”, Facultatea de Biologic-Geografie, Catedra de Mineralogie-Geochimie, Str. 23 August nr. 23 A, Iași.

atenția în mod special asupra silicifierilor. Lucrări mai recente, care abordează vulcanismul neogen, consemnează existența în regiune a andezitelor negre sub formă de curgeri de lave, aparținând ultimelor manifestări ale vulcanismului din masivul eruptiv al Băii-Mari (Giusea, 1960; Manilici, Lupeni, 1954; Dimitrescu, 1954; Paucă, 1955; Pavelescu, 1954; Motas, 1956; Mutihac, 1956).

Perimetrele imediat vecine regiunii, la care ne referim au fost studiate în special în perioada 1950—1957. Astfel, regiunea Capnic-Jereapă a fost cercetată de Dimitrescu (1954). În același timp regiunea Capnicului a fost urmărită de către Pavelescu (1954), iar regiunea Băiuțului de către Dimitrescu, Bleahu (1955).

Cîteva dintre corporile eruptive la care ne vom referi apar conturate pe hărțile geologice alcătuite de către Mutihac (1956), Motas (1956).

Deși există numeroase cercetări de detaliu asupra vulcanitelor din regiunea Baia-Mare, legate mai ales de zonele care încorporează zăcăminte de minerale utile, asupra regiunii Măgura Poienilor-Gurguiatu nu avem pînă în prezent o lucrare tipărită care să se refere la rocile magmatice.

Intenția noastră este ca prin cercetările de teren și mineralogice de laborator pe cca 200 secțiuni subțiri, să lămurim forma de zăcămînt și natura petrografică a rocilor magmatice din regiunea menționată. Vom prezenta de asemenea descrierea petrografică amănunțită a tipurilor de roci magmatice. Vom insista asupra compozitiei și relațiilor de mișcă a plagioclazilor și piroxenilor. Dintre formațiunile sedimentare vor fi urmărite numai tufurile dacitice tortoniene.

### I. Depozite sedimentare

Formațiunile sedimentare au fost amănunțit cartate și descrise de către Mutihac (1956), Motas (1956).

Sonorianul reprezentat prin marne roșii cu faună de inocerami are răspindire foarte limitată.

Eocenul, dezvoltat în „adevăratul facies de fliș” (Dimitrescu, 1957), cuprinde mai mult de jumătate din suprafața regiunii. Este format din argile și marne, iar spre partea superioară din grosii micacee în bancuri groase. În depozitele eocene Mutihac a determinat o faună cu *Happlophragmoides eggeri*, *Globotruncana* sp., *Lagenaria* sp., *Ammodiscus* sp.

Oligocenul este reprezentat prin argile nisipoase, marne și bancuri groase de gresii. Lipsa formațiunilor bituminoase este o caracteristică pentru Oligocenul acestei regiuni.

**T**ortoniianul începe cu tufuri dacitice (sat Botiza, Poienele Glodului, Pirul Sasului, Dealul Dreianului) de culoare verde, verde-albăstruie, cenușie uneori albă. Tuful are un aspect cavernos cu mici geode umplute cu cristale fine de quart, fiind străbătut în același timp, de numeroase diaclaze subțiri de quart. În tuful compact din baza seriei se văd cu ochiul liber cristale de quart și biotit împlinirea într-o masă fundamentală cenușiu-albăstruie. Unele tufuri prezintă o stratificație fină determinată de participarea cantitativ variabilă a masei fundamentale. În tabelul 1,

TABELUL 1

*Analiza planimetrică a tufurilor vulcanice din Dealul Dreianului*

Nr. crt.	Componentul mineral %	Secțiunile subțiri planimetrate				
		W-2	W-3	W-3b	W-4	W-5
1	Feldspat potasic	20,61	21,00	2,60	0,93	2,29
2	Feldspat plagioclaz	6,60	12,14	2,42	1,52	2,50
3	Quart	5,52	14,22	3,78	1,05	7,61
4	Biotit	—	4,54	0,49	—	—
5	Calcit	31,06	13,70	34,07	19,83	0,10
6	Zircon	0,24	—	—	—	—
7	Minerale opace	2,11	—	0,43	12,67	0,31
8	Sticla	34,20	32,98	53,55	63,96	86,23

sunt date analizele planimetrice pentru cinci secțiuni subțiri luate sistematic de la baza spre partea superioară a orizontului de tufuri (deschiderea verticală de 15 m).

Variația procentuală a componentelor mincrale în această succesiune, evidențiată de scăderea cantității de sticla de la partea superioară spre partea inferioară, și compensată de creșterea cantității de calcit, subliniază modul de sedimentare a materialului vulcanic, în special acțiunea selectivă a gravitației.

Compoziția feldspațiilor plagioclazi este în medie 30 % An. Un plagioclaz zonat arată un nucleu cu 30 % An și o singură zonă exterioară mai lată, cu 28 % An. Structura rocii variază pe profil de la cristalo-clastică la vitroclastică.

Peste tufuri repauzează un complex marno-gipsos care suportă, la rindul său marne cu sare, gresii calcaroase și marne cenușii în care Motas (1956) citează exemplare de *Spirialis*.

Sarmatiianul apare numai în partea de nord a regiunii fiind reprezentat prin marne cenușii, gresii friabile, un orizont de tufuri dacitice și conglomerate.



## II. Rocă magmatice

**A) Descrierea corpurilor magmatice.** Cercetări geologice anterioare (Motăş, 1956; Muthac, 1956) care se referă la formațiunile sedimentare amintesc existența în regiune a unor neckuri și filoane strat. Dimitrescu (1954) și Dimitrescu, Bleahu (1955) menționează curgeri de lave care formează platouri pe toată culmea înaltă Gutii-Vărătec. Autorii semnalază, de asemenea, resturi ale acestor lave, sub formă de petece, păstrate pe versantul maramureșean al acestei culmi.

După datele noastre forma de zăcămînt a rocilor magmatice din regiune este dată, pe lîngă curgerile de lave menționate, de corpuri sub-vulcanice: neckuri, mici lacolite și dyke-uri.

**1. Corpul eruptiv Scărișoara.** Este cuprins între Valea Fundoaia, la sud și vest, și pîrul Cioroialui, la nord. Eruptivul Scărișoarei determină un relief împinător cu versanți abrupti și un profil N-S asimetric.

Corpul eruptiv Scărișoara este un neck pus în loc în formațiuni sedimentare miocene, formate din marne și gresii (seria șisturilor cu radiolari). Versantul nordic, bine deschis, lasă să se observe cuarțite secundare larg dezvoltate de-a lungul versantului drept al pîrului Cioroi. Versantul sudic, foarte abrupt, este dat de andezite cu piroxeni, iar la contact, de marne și gresii termometamorfozate.

Petrografic, eruptivul Scărișoara este format din andezite cu piroxeni în care augitul predomină față de hipersten. În partea de nord-est a

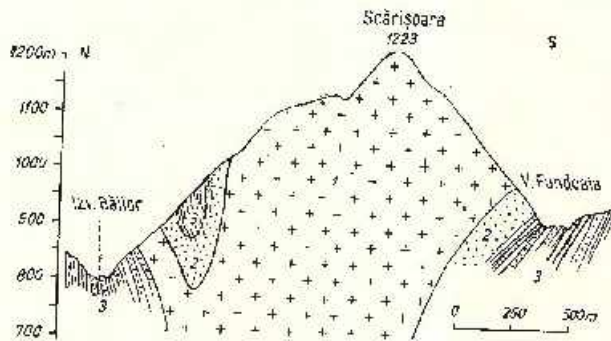


Fig.1. Profil geologic prin neckul Scărișoara.

1. roci eruptive; 2. metamorfism de contact; 3. depôts sedimentaires.

Coupe géologique à travers le neck de Scărișoara.

1. roches éruptives; 2. métamorphisme de contact; 3. dépôts sédimentaires.

corpului eruptiv s-a semnalat prezența unui andezit cu piroxeni și hornblendă brună.

**2. Peștera Peleingării.** Este un corp eruptiv de dimensiuni reduse situat la sud-est de Scărișoara. Rocile magmatice sunt reprezentate

prin andezite cu piroxeni și hornblendă brună precum și prin microdiorite cu piroxeni.

**3. Dealul Boruncii.** Situat între Valea Chiselor la nord și Valea Glodoasei la sud, corpul eruptiv este un mic neck pus în loc în marne și gresii miocene. Metamorfismul de contact, dezvoltat pe 2—5 m de la corpul eruptiv, este reprezentat prin marne cornificate, foarte dure, și prin corneene cu clorit și epidot. Rocile eruptive sunt andezite cu augit și hipersten.

**4. Dealul Ticera.** Este un corp eruptiv care aflorează pe o suprafață foarte redusă fiind situat între Valea Secături la sud, și partea superioară a văii Mincea la nord.

Aflorimentele rare și nesigure ale rocilor eruptive au lăsat o oarecare indoială asupra prezenței unui corp eruptiv *in situ*. Totuși, prezența, alături de acestea, a marnelor cornificate și a unor gresii miocene termometamorfozate arată prezența unui corp eruptiv ascuns. Au fost surprinse sub microscope trecerile de la andezite cu augit și hipersten cu pastă holocristalină, la microdiorite cu piroxeni.

**5. Dealul Perșii.** Este situat la est de vîrful Vărătecului, la izvoarele pîrului Rupturilor și Pîrului Rece. Are formă conică cu versanții abrupti și o dezvoltare redusă în suprafață. La contact, feldspați gresiilor miocene sunt sericitizați și caolinizați. Rocile eruptive care alcătuiesc acest neck sunt andezite cu hipersten și augit.

**6. Măgura Poienilor.** Situată la sud de Glod și la vest de Poienele Glodului, Măgura Poienilor se inscrie în relief ca un martor de eroziune rar și impunător. Altitudini absolute de 600—700 m din imediata sa apropiere contrasteză cu o cupolă de aproape 1000 m, cu versanți foarte abrupti, chiar vertical (versantul sudic). Aтанасiu (1946) a atribuit acest corp unor silicificeri larg dezvoltate. Motas (1956), în studiul său asupra formațiunilor sedimentare, este de părere că andezitele negre formează aici filoane strat puternice, intercalate în depozite sarmatiene.

Primită în plan, Măgura Poienilor are formă de triunghi sferic echilateral cu latura (la baza corpului) de aproximativ 1 km. În teren, privită de la distanță, arc aspect de dom pe suprafața căruia se conturează trei creste care formează planele de simetrie ale triunghiului echilateral amintit. Întreaga cupolă este formată din corneene și roci coapte de culoare neagră, foarte dure, cu aspect bazaltic înselător. Urmărind cele trei creste, în masa corneenelor și a marnelor termometamorfozate se întâlnesc apofize de andezite cu grosime variabilă, situate la distanțe

relativ mari unele de altele (fig. 2). Planul apofizelor este perpendicular pe direcția crestelor. Rocile provenind din aceste apofize sunt andezite cu augit și hipersten. La extremitatea vestică a Măgurii Poienilor afloreează diorite cu piroxeni. Pe versantul sudic au fost întâlnite cîteva iviri de cuarțite secundare cenușii, uneori rubanate. Observațiile de mai sus se pun mai bine de acord cu conceptul de lacolit (D a l y, 1933; B u b n o f f,

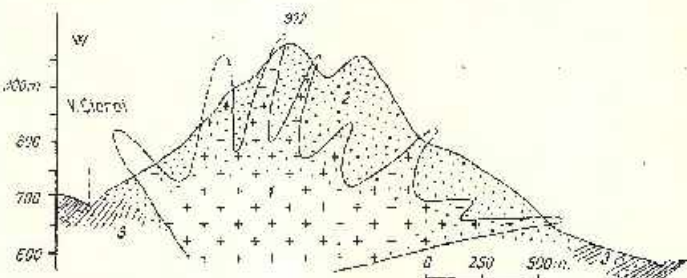


Fig. 2. — Profil geologic prin Măgura Poienilor.

1, roci eruptive; 2, marne cornificate și corneene; 3, depozite sedimentare.

Coupe géologique à travers Măgura Poienilor.

1, roches éruptives; 2, marnes en voie de se transformer en cornéennes et cornées; 3, dépôts sédimentaires.

1963; Holmes, 1963; Korjinski, 1965) pe care îl găsim potrivit să corespundă actualci interpretării a formei de zăcămînt a corpului magmatic din Măgura Poienilor. Străbătând cu ușurință sedimentele paleogene (balanța presiunii în sistemul magma-roci din acoperiș fiind satisfăcută), magma a ajuns în depozite marnoase miocene cu plasticitate ridicată, pe care însă nu le-a străbătut, boltindu-le sub formă de dom. În plasticitatea ridicată a formațiunilor marno-argiloase s-a adăugat, desigur, sensibilitatea crescentă a acestora la termometamorfism. Din această cauză magma exotică s-a acumulat subcrustal și s-a răspândit orizontal. Sedimentele miocene marnoase din acoperiș, metamorfozate la contact cu o magmă bazică au suferit subsecvent împingeri, în ele au apărut crăpături de tensiune în care magma încă fluidă a patruncu consolidindu-se sub formă de apofize de andezite care ajung în prezent pînă la suprafață. Deși acumularea subcrustală este obișnuită pentru magmele mai acide, mai viscoase (Holmes, 1965), volumului aşa de mare de corneene cu biotit și roci coapte, în comparație cu cele cîteva apofize de andezite, nu-i putem găsi o altă explicație plauzibilă decît o acumulare subcrustală a magmelor. Aflorimentul de diorite cu piroxeni menționat este un argument în plus.

Sintem în prezență unui corp subvulcanic cu „o pălărie” de marne cornificate și cencene cu biotit, care s-a conservat împotriva eroziunii și s-a izolat contrastant de formațiunile sedimentare adiacente.

**7. Dosul Miresului.** Situat la vest de Botiza, între valea Miresului și valea Vițclarului, corpul eruptiv aflorăză pe o suprafață redusă. Marnele cenușii cu intercalării de gresii calcaroase au fost termometamorfozate la contact, determinând o aureolă de roci negre, foarte dure cu spărtură aşchieasă, cu o suprafață de două ori mai mare decât aflorimentul eruptiv propriu-zis.

Rocile eruptive sunt reprezentate prin andezite cu augit (în general uralitizat și cloritizat) și o cantitate redusă de piroxen rombic. Notăm cantitatea ridicată a fenocristalelor de plagioclaz.

**8. Gurguiatu.** Dintre aflorimentele de roci eruptive care formează mai multe neckuri mici la sud de valea Secului, Gurguiatu se înscrie în relief cel mai impunător. Este cuprins între izvorul Gurguiatului la vest, pârâul Roatei la nord și pârâul Botizei la est și sud-est. A fost pus în loc în marne argiloase cu intercalării de gresii (Eocen); acestea au fost metamorfozate și trecute în marne cornificate negre la contactul cu magma, iar mai departe de corpul eruptiv în sisturi pătate. Aureola de contact este foarte largă lăsând pentru rocile eruptive aflorimente cu suprafețe restrinse. Masivitatea corpului eruptiv, versanții foarte abrupti, precum și aspectul său izolat sunt datorate, nu atât rocilor eruptive, ci, mai ales aureolei de contact, în sensul arătat deja în cazul corpului Măgura Poienilor.

Rocile eruptive din Gurguiatu sunt andezite cu augit și microdiorite cu augit.

**9. Carierea valea Rugului.** Pe versantul drept al văii Secului (fig. 3), aproape de confluența cu valea Rugului aflorează lenticular un corp în care apar două tipuri de roci: andezite cu augit și hipersten, cu pasta holocristalină, și andezite cu piroxeni, biotit și rare cristale de hornblendă verde și quart. Pe harta lui Mutihac (1956), corpul eruptiv apare ca un dyke secționat transversal de firul văii Secului. Urmărind însă cu atenție dezvoltarea rocilor eruptive se observă că acest corp aflorează numai în versantul drept al văii Secului. Ceea ce apare, de altfel pe o suprafață redusă, în versantul stîng, reprezintă roci sedimentare termometamorfozate.

**10. Alte corpuri eruptive.** La aproximativ 1 km SSE de corpul eruptiv valea Rugului, aproape de cumpăna apelor dintre izvorul Gurguiatului și pârâul Rugului, apare un corp eruptiv de dimen-

siuni reduse. Aici aflorează un andezit cu piroxeni, hornblendă verde, biotit și o cantitate de quart (sub 10%).

Marne și gresii termometamorfozate, de culoare verde, foarte dure, care își păstrează stratificația inițială, precum și sisturi pătate, apar pe întreaga jumătate superioară a pîrului Rugului ca și pe tot cursul

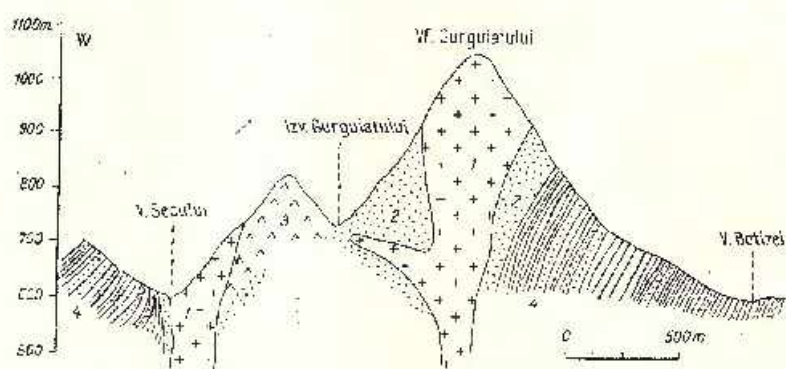


Fig. 3. — Profil geologic prin dealul Gurguiatu.

1. roci eruptive; 2. marne corăficate și cornene; 3. quartzite secundare; 4. roci sedimentare.

Coupe géologique à travers la colline de Gurguiatu.

1. roches éruptives; 2. marnes et rots de se transformer en cornéennes et cornéennes; 3. quartzites secondaires; 4. roches sédimentaires.

singurului său affluent de dreapta. La capătul acestui affluent aflorează în albic un dyke cu o grosime de aproximativ 20 m format din andezite cu augit în care fenocristalele de plagioclaz au 2–3 mm, iar pasta holocristalină apare puternic impregnată cu pirită.

La aproximativ 400 m amonte de singura confluență dreaptă a pîrului Rugului, în versantul său stîng, apare un andezit cuartifer mineralizat.

La aproximativ 750 m de la vîrsarea pîrului Rugului, pe un torrent de dreapta (la 350 m amonte pe torrent) aflorează un mic corp de andezit cu augit. În versantul drept al părții superioare a pîrului Rugului, aproape de cumpăna apelor apare un dyke cu direcția NE-SW, a cărui grosime nu a putut fi apreciată, format din andezite cu piroxeni, hornblendă verde și biotit.

**11. Ourgeri de lave.** Pe creasta dintre vîrful Sermeteșului și vîrful Văratoacului apar petece pseudostratificate de andezit cu augit și hipersten care au fost menționate de către Dimitrescu (1954). În dealul Clifelor, vîrful Păltinișului și în alte cîteva puncte, aproape de

cărarea care trece prin vîrful Păltinișului spre N, se observă curgeri de andezite negre pseudostratificate în pachete de 25—50 cm grosime. Caracteristice acestor andezite sunt desprinderile după coloane cu secțiunea hexagonală, comune consolidării magmelor bazice neomogene.

B) *Clasificarea și descrierea rocilor eruptive.* Cercetarea microscopică a secțiunilor subțiri cuprinzînd rocile eruptive ale regiunii Măgura Poienilor-Gurguiatul a condus la următoarea clasificare: andezite cu augit și hipersten; andezite cu hipersten și augit; andezite cu piroxeni și hornblendă brună; andezite cu piroxeni și biotit; andezite cu piroxeni, biotit și hornblendă verde; andezite cu artifere; diorite și mierodiorite cu piroxeni.

Masa fundamentală a andezitelor este variabilă: holocrystalină, pilotaxitică, lialopilitică și sticioasă.

**Andezite cu piroxeni.** Sub acest termen vom cuprinde andezitele cu augit și hipersten și andezitele cu hipersten și augit. Separarea macroscopică, pe teren, a acestor două varietăți este dificilă, motiv pentru care ele au fost cuprinse de alți autori sub denumirea de andezite negre pirovenice, andezite bazaltoide sau simplu, andezite negre. Caracteristic pentru aceste roci este culoarea închisă și coloanele de consolidare cu secțiunea mai mult sau mai puțin hexagonală. Andezitele cu hipersten și augit au culoare neagră mată, în general sunt microcristaline, compacte, cu spărtură concoidală, așchioasă. Nici un element leucoecrat nu se distinge cu ochiul liber. Spre deosebire de acestea, andezitele cu augit și hipersten au culoare neagră spre cenușie. Roca are spărtură neregulată dar nu așchioasă. Cu ochiul liber pot fi distinse acum cristalele de plagioclaz cenușii închise sau verzu-negre, strălucitoare.

Acestea sunt caracterele generale care rezultă din compararea între ele a andezitelor cu piroxeni. Ele vor fi influențate, de la caz la caz, de proporția și caracterul pastei și de raportul minereale leucocratică/minerale melanocrate.

Mineralele melanocrate se disting cu greutate pe fondul negru al masei fundamentale. Totuși, piroxenii pot fi văzuți uneori sub formă de prisme scurte, negre, strălucitoare, sau ca secțiuni izometrice negre, mate. Se observă de asemenea aglomerări locale de piroxeni sau de piroxeni și plagioclaz.

Masa fundamentală a rocii are culoare neagră de smoală, în cazul andezitelor cu hipersten și augit și o nuanță mai deschisă în cazul andezitelor cu augit. În spărtură alterată masa fundamentală a cîștigat o nuanță verzuie.

Sub microscope s-au separat varietăți în funcție de natura fenocristalelor de piroxeni și de natura masei fundamentale. Andezitele cu augit și hipersten cu pastă holocristalină au o răspindire tot așa de mare ca și andezitele cu augit și hipersten cu pastă pilotaxitică. Analiza planimetrică a andezitului cu augit și hipersten (efectuată la masa electrică de integrare) arată următoarea compoziție mineralogică cantitativă.

TABELUL 2

Nr. crt.	Componenți	%
1	Plagioclaz	24,7
2	Augit	11,9
3	Hipersten	0,2
4	Zircon	0,1
5	Minerale secundare	0,6
6	Minerale opace	1,1
7	Pastă	61,2

Feldspații plagioclazi sunt idiomorfi și în general proaspeți. După frecvența legilor de macă, macă albitalui predomină. Compoziția medie în anortit este de 55 %. Plagioclazii zonati sunt de asemenea destul de frecvenți. Raporturile de macă și compoziția în anortit pentru un complex maclat și crescut de cristale pot fi văzute în figura 1. În andezitele cu hipersten și augit plagioclazii au o compoziție medie de 62 % An.

Fenocristalele de hipersten prezintă forme cristalografice perfecte în secțiunile alungite din zona [001] și secțiuni octagonale după pinacoidul bazal. Cristalele prismatice au clivaj bun și crăpături neregulate umplute,

TABELUL 3  
Valorile  $2V$  și proporția  $FeSiO_3$  pentru piroxenii rombici

Nr. secțiunii	Locul de proveniență	(-)2V (media)	$FeSiO_3$ %	Numărul determinărilor
117	Pirul Băilor	62°	34	5
52	Vîrful Scărișoara	69°	27	3
56	Vîrful Scărișoara	63°	33	6
73	Vîrful Perșii	68°	26	2

ea și urmele de clivaj, cu minerale opace. În zona [001] extincția e;  $Ng = 0^\circ$ . Valorile unghiului  $2V$  pentru hiperstenul din diferite corperi eruptive sunt redate în tabelul 3.

Determinarea proporției de ferosilit s-a făcut cu ajutorul curbei din diagrama imbuinătățită a lui Hess (Deer, Howie, Zussmann, 1963). Augitul apare sub formă de cristale idiomorfe și hipidiomorfe. Este deseori maclat după (100) și (110).  $c : Ng = 43^\circ$ . Unghiuțul axelor optice variabil:  $2V = 43^\circ - 58^\circ$ .

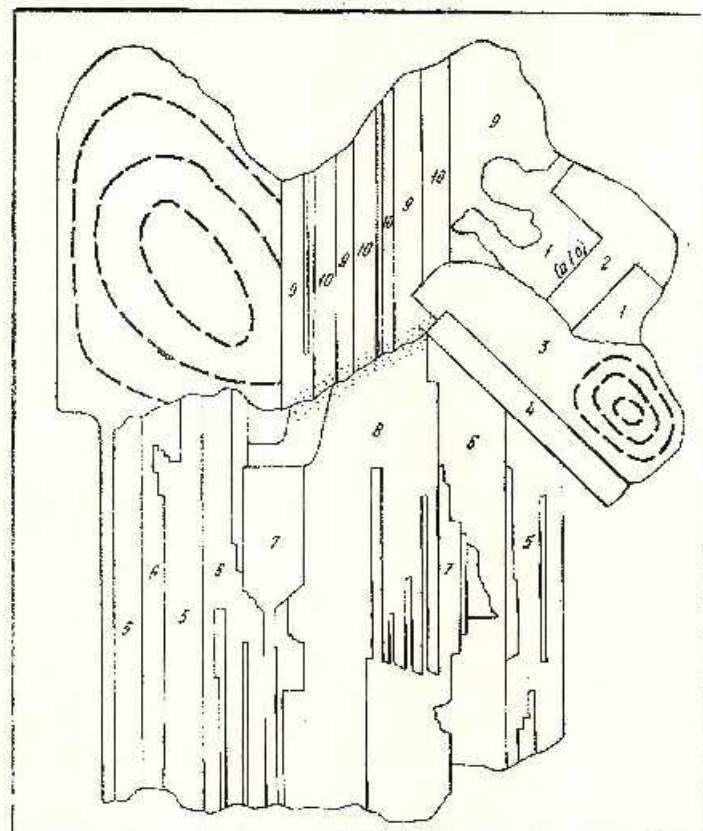


Fig. 4. -- Plagioclazi maclăți și zoneți din andezite cu augit și hipersten.  
Dealul Scărăsoara.

Plagioclases maclés et zones dans des andésites à augite et hyperssthène.  
Colline de Scărăsoara.

1-2, Albite = 51 % An; 1-3, Mansbach-Aklin = 55 % An; 1-4, Albite-Alto = 51 % An; 2-3, Albite-Alto = 53 % An; 3-4, Mansbach-Alto = 54 % An; 4-5, Mansbach = 54 % An; 5-6, Albite = 51 % An; 6-7, Karlsbad A = 40 % An; 7-8, Albite = 58 % An; 5-7, Karlsbad A = 40 % An; 5-8, Karlsbad A = 59 % An; 8-9, Albite-Karlsbad = 49 % An; 9-10, Albite = 60 % An.

Masa fundamentală a rocii variază de la holocristalină la sticloasă. Deseori conține enclave de roci sedimentare. În cazul pastei hialopilitice, microlitele de plagioclaz arată o slabă textură fluidală. Deși nu în toate

cazurile, dar în majoritatea lor, acest ultim aspect este valabil pentru andezitele descrise mai sus la curgeri de lave.

**A ndezite cu piroxeni și hornblendă brună.** Macroscopic nu pot fi deosebite de andezitele cu piroxeni descrise mai sus. După culoare și spărtură se apropie de andezitele cu hipersten și augit. Aceste roci au răspindire restrânsă și nu au fost găsite sub formă de corpori magmatische individualizate. Sub microscop s-au separat varietățile cu pastă hialopilitică și pilotaxitică. Fenocristalele de plagioclaz (2,05/0,41 mm) apar maclate și adesea cu structuri zonale. Conținutul de anortit variază de la 48 la 56 %. Hiperstenul, subordonat angitului, apare sub formă de prisme cu clivaj gros caracteristic. Unghiul axelor optice ( $-$ )  $2V = 62^\circ$ , corespunde la 34 %  $\text{FeSiO}_3$ . Augitul se prezintă sub formă de cristale idiomorfe, prismatice sau octogonale. În secțiunile bazale se recunosc macle după (100) și (110) iar în secțiuni prismatice macle polisintetice (fig. 5). Hornblenda brună, în cantitate mult subordonată piroxenilor, apare sub formă de cristale mici (0,54/0,27 mm) cu pleocratism puternic, caracteristic, în nuanțe brune. Totdeauna cristalele sunt mărginite de o aureolă de minerale opace.

**A ndezite cu piroxeni și biotit.** Spre deosebire de andezitele negre, descrise mai sus, andezitele cu piroxeni și biotit au culoare cenușie închisă. Macroscopic se disting cristale translucide cenușii închise de plagioclaz. Se văd de asemenea pachete de foile brune pseudohexagonale, strălucitoare, de biotit, cu diagonala de 2 mm. Prisme scurte, negre, strălucitoare de piroxeni ca și numeroase enclave enalogene, colțuroase, centimetrice, pot fi văzute de asemenea cu ochiul liber.

Sub microscop, fenocristalele de plagioclaz maclate apar rareori zonate. Compoziția în anortit variază între 38–52 %, cu frecvență maximă la 42 %. An. Augitul, în cristale idiomorfe apare de asemenea maclat polisintetic după prismă (3–4 indivizi). În secțiuni pinacoidale, după planul de alipire s-au separat maclele reprezentate în figura 5. Cu toate că această planșă înfățișează sinteza datelor din secțiunile cu angit din regiune, menționăm că majoritatea maclelor au fost reproduse după augitul din andezitele cu piroxeni și biotit. Frevența cea mai mare o au maclele după (100) și (110). Unele cristale de augit apar zonate; un nucleu central este înconjurat de zone proporțional dezvoltate. Unghiul  $2V = 48^\circ - 58^\circ$ , extincția e :  $\text{Ng} = 35^\circ - 40^\circ$ . Hiperstenul mult subordonat augitului apare sub formă de cristale prismatice largi. Unghiul ( $-$ )  $2V = 63^\circ$ , care corespunde la 33 %  $\text{FeSiO}_3$ . Piroxenii apar de multe ori ura-

litizați și cloritizați. Uneori apar structuri celulare caracteristice prin cloritizarea parțială a piroxenilor.

Biotitul apare sub formă de cristale largi alungite sau pseudo-hexagonale. Pe clivaje și crăpături apare adesea clorit secundar.

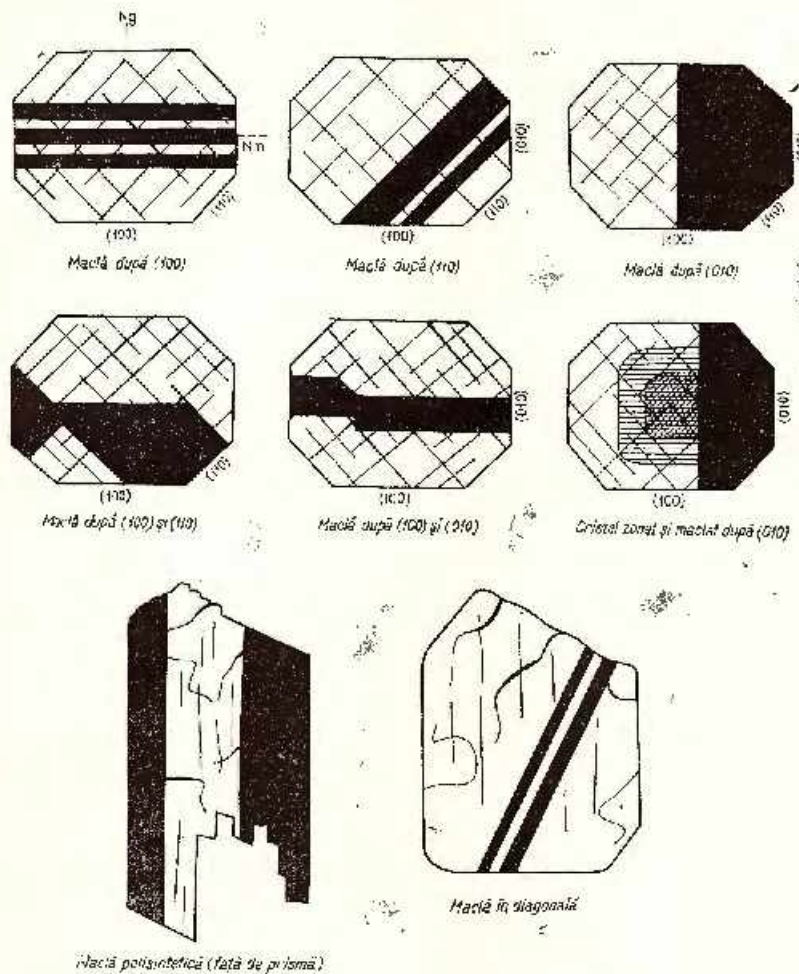


Fig. 6. — Tipuri de macle la fenocristalele de augit din rocile eruptive ale regiunii Măgura Poienilor-Gurguiatu.

Types de macles des phénocristaux d'augite des roches éruptives de la région de Măgura Poienilor-Gurguiatu.

Analiza planimetrică a andezitului cu piroxeni și biotit arată compoziția procentuală dată în tabelul 4.

Sunt prezente de asemenea cîteva granule de cuară hipidiomorf de obicei corodat. Masa fundamentală a rocii este holocristalină formată din microlite de plagioclaz, piroxeni și biotit.

TABELUL 4

*Andezit cu piroxeni și biotit – analiza planimetrică*

Nr. crt.	Componenti	%
1	Plagioclaz	23
2	Augit	4
3	Hipersten	±
4	Biotit	4
5	Cuară	1
6	Minerale opace	1
7	Pastă	67

Andezite cu piroxeni, biotit și hornblendă verde. Formind corpuri eruptive individualizate, aceste roci apar în bazinul superior al văii Rugului și în cariera valea Rugului. Culoarea cenușie deschisă le deosebește net de andezitele descrise pînă aici. Cu ochiul liber se văd pachete brune închise, pseudohexagonale de biotit și cîteva prisme alungite (3-4 mm), negre mate, de hornblendă. Încă și mai bine se văd cristalele largi (5-7 mm), cenușii sau albe, cu fețe de clivaj strălucitoare ale feldspațiilor plagioclazi. Masa fundamentală are o culoare cenușie mai mult sau mai puțin închisă, uneori gălbuiu.

Sub microscop roca apare holocristalină porfirică. Fenocristalele largi de plagioclaz apar maclate și uncoi zonate. Zonarea este de obicei normală; apar de asemenea și cristale cu zonare oscilatorie normală (fig. 6). Relațiile de maclă ca și compoziția în anortit ale unui complex maclat pot fi urmărite în figura 7.

Piroxenii sunt reprezentați prin augit și cîteva cristale de piroxeni rombici. În majoritatea cazurilor piroxenii sunt uralitizați. Uneori uralitizarea este însotită de eloritizare. Atunci cînd eloritizarea nu este totală apar structuri celulare caracteristice. Biotitul apare în cristale mari (2-3 mm) uneori eloritizat. Hornblenda verde apare ca prisme alungite idiomorfe. Are pleocroismul: Ng – verde-brun, Nm – verde, Np – verde-galben închis. Unghiul de extincție c : Ng = 15°. În majoritatea cazurilor hornblenda apare maclată. Mai frecvente sunt maclele după (100) și maclele în diagonală. În această rocă apar de asemenea și rare granule de cuară corodat.

Diorite și microdiorite cu piroxeni. Au fost separate în legătură cu corporile subvulcanice erodate la nivele diferite sau ca faciesuri marginale, aşa cum s-a menționat deja într-un capitol precedent.

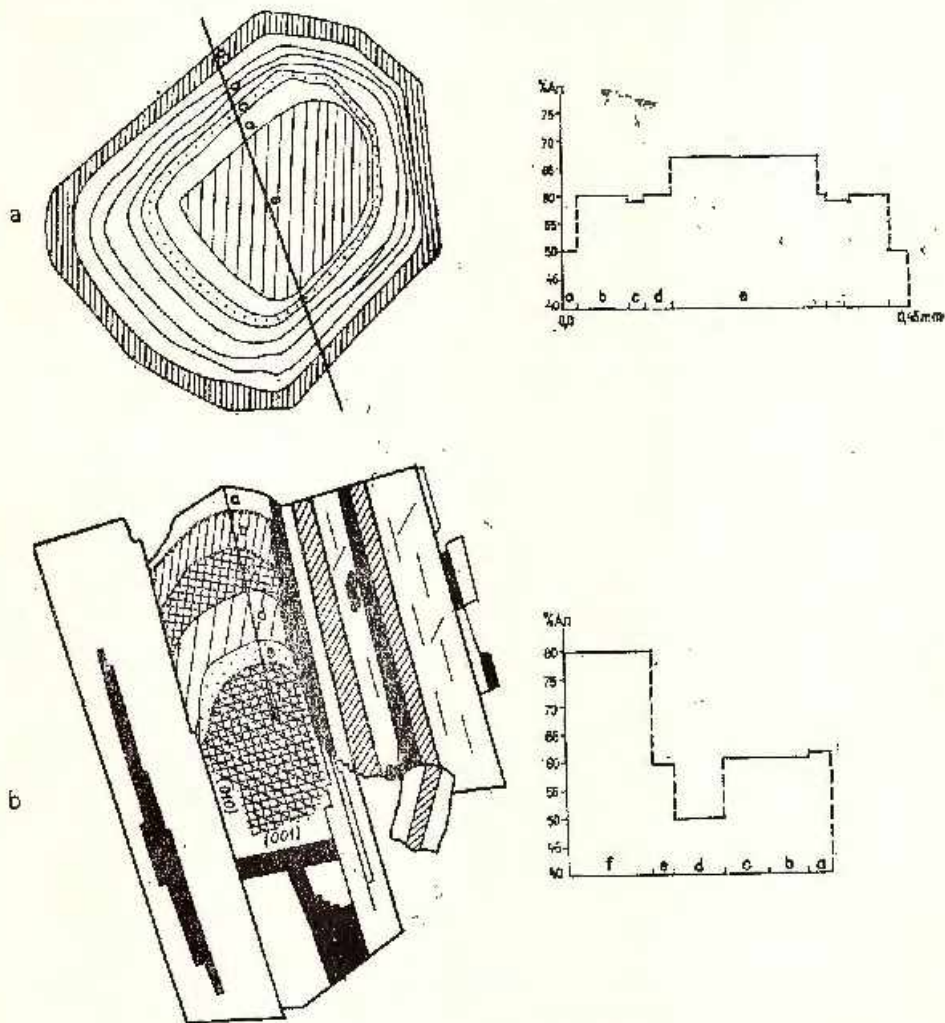


Fig. 6. - Feldspați plagioclazi zonați.

Feldspaths plagioclases zonés.

Dioritele apar ca roci holocristaline de culoare închisă și textură masivă. Cu ochiul liber se disting cristale cenușii de plagioclaz în concreștere cu cristale negre de piroxeni. Analiza planimetrică efectuată la masa

electrică de integrare arată următoarea compoziție mineralogică cantitativă (tab. 5).

Feldspații plagioclazi sub formă de cristale idiomorfe sau hipidiomorfe apar în concreșteri caracteristice între ei, și cu cristale de piroxeni.

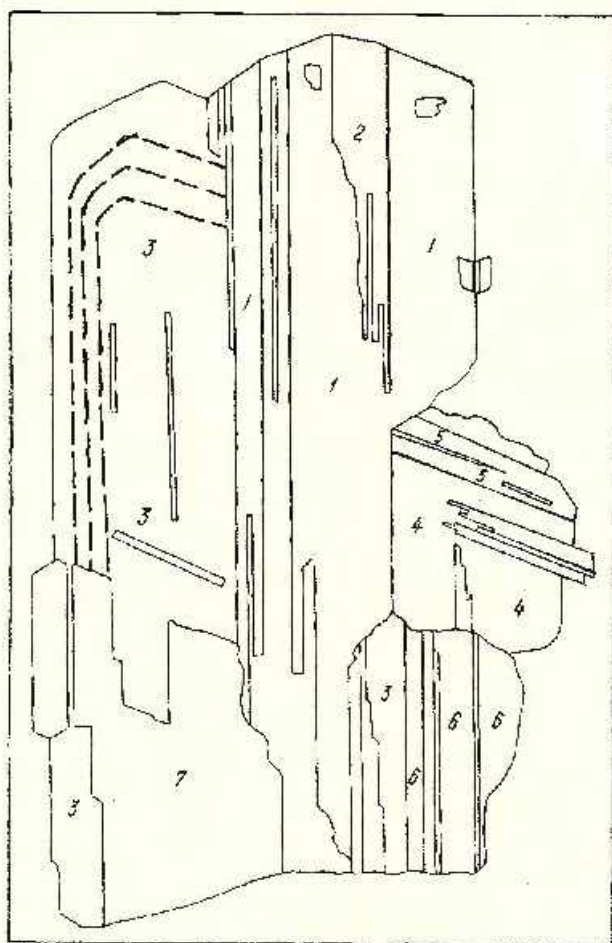


Fig. 7.—Relațiile de macă și conținutul în An într-un complex de plagioclazi din andezite cu piroxeni, hornblendă verde și biotit. Cariera valea Rugului.

Relations de macle et teneur en An dans un complexe de plagioclases dans des andésites à pyroxènes, hornblende verte et biotite. Carrière de vallée Rugului.

1-2, Albit = 42 % An; 1-4, Karsbad A = 41 % An; 1-3, Albit-Karsbad = 43 % An; 2-3, Karsbad A = 44 % An; 3-4, Albit = 48 % An; 3-6, Albit = 43 % An; 3-7, Albit = 43 % An; 4-5, Bayano drept = 18 % An.

Compoziția în anortit este cuprinsă între 55-65%. Relațiile de macăea și compoziția în anortit a unor cristale de plagioclaz din diorite cu piroxeni pot fi urmărite în figura 8. În roca alterată plagioclazul este parțial transformat în calcit, epidot și cuarț.

TABELUL 5

*Diorit cu piroxeni — analiza planimetrică*

Nr. crt.	Componenți	%
1	Plagioclazi	67,6
2	Piroxeni	29,5
3	Minerale opace	2,1
4	Cuarț secundar	0,8

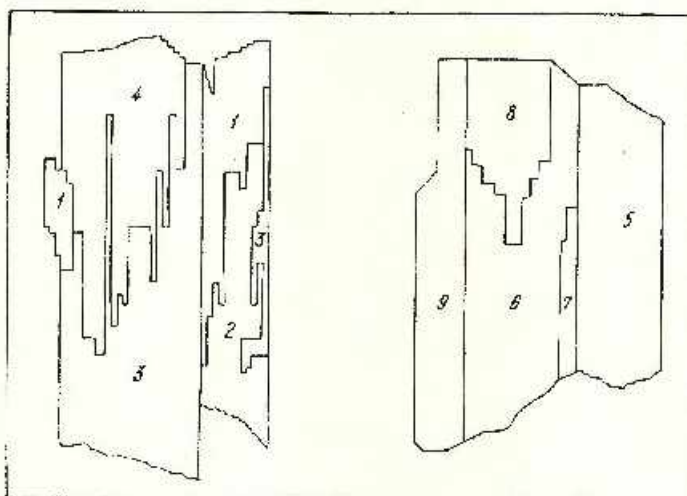


Fig.8. — Feldspăti plagioclazi macleați din diorite cu augit și hipersten.  
Vîrful Măgura.

Feldspaths plagioclases macleés dans des diorites à augite et hypersténie.  
Sommet Măgura.

1-2, Albite = 60 % An; 1-2-3, Albite = 64 % An; 3-4, Albite = 63 % An; 1-5, Karlsbad  
A = 59 % An; 1-4, Albite-Karlsbad = 63 % An; 2-4, Karlsbad A = 63 % An; 5-6, Karlsbad  
A = 55 % An; 6-7, Albite = 53 % An; 5-7, Karlsbad A = 53 % An; 6-8, Albite = 54 %  
An; 5-9, Albite-Karlsbad = 55 % An.

Dintre piroxeni predomină augitul care apare sub formă de cristale idiomorfice în secțiuni prismatice și pinacoidale. Unghiul de extincție c : Ng = 45°. Subordonat, apar cristale prismatice de hipersten. Unghiul axelor optice, 2V = 63°, corespunzind la 33% FeSiO<sub>4</sub>.

c) *Vîrsta corporilor magmatische.* Formațiunile sedimentare în care sunt cuprinse în prezent corporile magmatice aparțin Paleogenului și Neogenului. În bazinul văii Secului rocile magmatische sunt incorporate în gresii calcaroase și argile roșii eocene. În bazinul văii Sasului, unde am descris corporile Scărișoara, Ticera, dealul Boruncii, Măgura Poienilor, sedimentele cele mai noi aparțin Sarmățianului. Aceste sedimente sunt metamorfozate la contactul cu corporile magmatische. Rezultă că relațiile cu rocile sedimentare nu pot fi luate în considerare pentru a încadra punerea în loc a corporilor magmatische, în ansamblul manifestărilor din masivul eruptiv al Băii-Mari.

Asociația de roci descrise, predominant piroxenice (andezite, microdiorite, diorite), alături de unele andezite cu hornblendă verde și biotit, și andezitele conținând o cantitate redusă de cuarț, exprimă un stadiu determinat al evoluției magmelor. În bun acord cu criteriul asociațiilor de roci cu caracter petrochimic proprii (Rădulescu, Boreoș, 1968), punerea în loc a corporilor magmatische descrise s-a putut produce către sfîrșitul ciclului II, în intervalul andezite de Jereapă-andezite bazaltoide, corespunzînd Pannonianului.

### III. Concluzii

La capătul de est al masivului vulcanic Oaș-Gutii, în regiunea Măgura Poienilor-Gurguiat, rocile magmatische formează corpuri subvulcanice de dimensiuni mici puse în loc în formațiuni sedimentare paleogene și neogene. Rocile sedimentare formate în cea mai mare parte din marne calcaroase, marne argiloase și mai puține gresii și calcare, au jucat un rol important în acumularea subcrustală a unor magme bazice.

Rocile magmatische formează dyke-uri, neckuri și mici lacolite. Forma de zăcămînt (controversată) a corpului din Măgura Poienilor este privită în această luerare ca un lacolit pus în loc în sedimente miocene.

Alături de corporile subvulcanice există de asemenea și cîteva aflorimente de curgeri de lave pe culmea dintre vîrful Sermeteșului și vîrful Văratecului.

Sub microscop au fost separate: andezite cu augit și hipersten; andezite cu hipersten și augit; andezite cu piroxeni și hornblendă brună; andezite cu piroxeni și biotit; andezite cu piroxeni, biotit și hornblendă verde; andezite cuarțifere; diorite și microdiorite cu piroxeni.

Feldspații plagioclazi ai andezitelor cu piroxeni apar maclați și zonați. După frecvență, predomină macla albitalului. Zonarea feldspaților este normală, uneori cu slabe recurențe. Compoziția medie în anortit

a plagioclazilor acestor roci este de 55 %. În andezitele cu hipersten plagioclazul are o compoziție medie de 62 % An. În andezitele cu piroxeni, biotit și hornblendă verde compoziția medie în anortit a plagioclazilor este de 43 %.

Piroxenii, reprezentați prin augit și bronzit-hipersten, sunt mineralele melanocrate principale ale tuturor rocilor descrise. Augitul apare de obicei maectat după (100) și (110). Au fost descrise de asemenea cristale de augit zonate și maectate după (010).

Piroxenii rombici au fost determinați cu ajutorul curbei care folosește valoarea unghiului 2V. Pe această cale s-a stabilit variația conținutului în ferosilit, de la 26-34 %.

În jurul corpurilor magmatice apar zonele metamorfismului termic dezvoltate pe scania marnelor miocene și cocene, în faciesul albit-epidotic și al șisturilor pătate. Metamorfismul metasomatic de contact al rocilor magmatice este dezvoltat în faciesul monocuarțitic al cuarțitelor secundare. Fenomenele metamorfice de contact (termice și metasomatic) privind corpurile magmatice descrise în lucrarea de față constituie subiectul unei lucrări în pregătire.

## BIBLIOGRAFIE

- Aianasiu I. (1946) Curs de geologie generală. Partea I. Fenomene magmatice. București.
- Aianasiu L., Dimitrescu R., Semaka A.I. (1956) Studiu petrografic al erupti-  
vului din Munții Birgăului. *D. S. Com. Geol.* XL, București.
- Bubnoff S. V. (1963) Fundamentals of Geology. Oliver & Boyd, Edinburgh and London.
- Cioflica G. (1956) Studiu geologic și petrografie al formațiunilor eruptive din regiunea  
Baia (Baia Mare). *Anal. Univ. Cl. Parhon, serie st. nat.* XI, București.
- Daly R. A. (1933) Igneous Rocks and the Depths of the Earth. New York.
- Deer W. A., Howie R. A., Zussman J. (1963) Rock-Forming Minerals. 2, Long-  
mans, London.
- Dimitrescu R. (1954) Cercetări geologice în regiunea Capnic-Jereapă (Baia Mare).  
*D. S. Com. Geol.*, XXXVIII, București.
- Bleahu M. (1955) Cercetări geologice în regiunea Băiuț (Baia Mare). *D. S. Com. Geol.* XXXIX, București.
- Gheorghie I. (1962) Studiu geologic al minei Vărătec (Baia Mare). *D. S. Com. Geol.* XLV, București.
- Dumitrescu I. (1957) Asupra faciesurilor și orizontării Cretacicului superior și Paleoge-  
nului din bazinul Lăpușului (nordul depresiunii Transilvaniei). Luer. I.P.G. III, București.
- Giușcă D. (1960) Adularizarea vulcanitelor din regiunea Baia Mare. *Acad. R.P.R. Stud.  
cerc. geol.* V, 3, București.
- (1960) Evoluția vulcanizma în raione Baia Mare. *Mat. Karp.-Balc. Asoc.* 2, Kiev.

- Harker A. (1932) Metamorphism. London.
- Holmes A. (1920) Petrographic Methods and Calculation. London.
- (1965) Principle of Physical Geology. Thomas Nelson (Printers) Ltd. London and Edinburgh.
- Korjinski D. S. (1965) Abriss der metasomatischen Prozesse. Akademie Verlag, Berlin.
- Maier O. (1962) Geologia și petrografia masivului Hudin (Munții Tibleș). *D. S. Com. Geol.* XLV, București.
- Manilici V., Lupel N. (1954) Studiul geologic al sectorului Baia Sprie-Capnic (Reg. Bala Mare). *D. S. Com. Geol.* XXXVIII, București.
- Măldărescu I., Măldărescu Maria (1965) Asupra unor probleme privind alterările hidrotermale din regiunea Bala Mare. *Anal. Univ. București, serie șt. nat. geol. geogr.* București.
- Minzăraru Lidia (1965) Studiul mineralogic și petrografic al corpuriilor subvulcanice din partea de NW a munților Mărgăru. *St. tehn. econ.* I, 1, București.
- Mîrza I. (1962) Contribuții la petrografia tufului de Ghiriș. *Stud. cerc. geol.* VII/1, București.
- (1965) Date noi privind petrografia, originea și culoarea tufului de Dej. *Stud. cerc. geol.* 10/1, București.
- Motăș I. (1956) Contribuții la studiul geologic al Maramureșului (Bazinul V. Izef). *D. S. Com. Geol.* XL, București.
- Mutihac V. (1956) Cercetări geologice în regiunea Dragomirești-Botiza (Maramureș). *D. S. Com. Geol.* XI, București.
- Năstăseanu S. (1956) Contribuții la cunoașterea Miocenului din regiunea Sighet-Ocna Șugatag. *D. S. Com. Geol.* XL, București.
- Nichita O. (1940) Étude sur le plagioclase provenant du diorite-porphyr de Vf. Haitei (Mons Călimani-Carpates Orientales). *An. Sci. Univ. Jassy*, 26, Iași.
- Păucea M. (1955) Sedimentarul din regiunea eruptivă de la nord și est de Bala Mare. *D. S. Com. Geol.* XXXIX, București.
- Pavelescu L. (1954) Cercetări geologice și petrografice în regiunea Capnic. *D. S. Com. Geol.* XXXVIII, București.
- Petreuș I. (1967) Iviri mineralizate în zona Glod-Botiza (Maramureș). *Anal. Univ. Al. I. Cuza*, II, XIII, Iași.
- Rădulescu D. (1958) Studiul petrografic al formațiunilor eruptive din regiunea Selini-Ialba-Nistru (Bala Mare). *An. Com. Geol.* XXXI, București.
- (1965) Determinarea minerealelor cu ajutorul masei universale Fedorov. *St. tehn. econ.* I, 2, București.
- Pătrolescu C. (1961) Contribuții la cunoașterea modului de alterare a rocilor magmatische sub acțiunea agentilor exogeni. I. Andezitele. *Acad. R.P.R. Stud. cerc. geol.* VI/3, București.
- Borcea M. (1968) Vedere de ansamblu asupra desfășurării vulcanismului neogen în România. *An. Com. Stat. Geol.* XXXVI, București.
- Winchell A. N. (1933) Elements of Optical Mineralogy. II. Description of Minerals. New York.
- \* \* \* (1961) Ghidul excursiilor (A) Bala Mare.

## ÉTUDE PÉTROGRAPHIQUE ET MINÉRALOGIQUE DES ROCHES MAGMATIQUES DE LA RÉGION DE MĂGURA POIENILORE-GURGUIATU (MARAMUREŞ)

### (Résumé)

À l'extrême orientale du massif volcanique de Oaş-Gmii, dans la région de Măgura Poienilor-Gurguiatu, les roches magmatiques forment des corps subvolcaniques de petites dimensions, mis en place dans les formations sédimentaires paléogènes et néogènes. Les roches sédimentaires, formées pour la plupart de marnes calcaires, marnes argileuses et moins de grès et de calcaires, ont joué un rôle important dans l'accumulation „subcrustale“ de certains magmas basiques.

Les roches magmatiques forment des dykes, des necks, et de petits laccolites. La forme de gisement (controversée) du corps de la Măgura Poienilor est considérée, dans le présent ouvrage, comme un laccolite mis en place dans les sédiments miocènes.

À côté des corps subvolcaniques il y a aussi quelques affleurements de coulées de laves sur la crête s'étendant entre le sommet Sermeteşul et le sommet Văraticul.

Au microscope on a séparé : des andésites à augite et hypersthène ; andésites à hypersthène et augite ; andésites à pyroxènes et hornblende brune ; andésites à pyroxènes et biotite ; andésites à pyroxènes, biotite et hornblende verte ; andésites quartzifères ; diorites et microdiorites à pyroxènes.

Les feldspaths plagioclases des andésites à pyroxènes sont macleés et zonés. D'après la fréquence, c'est la macle de l'albite qui prédomine. La structure en zones des feldspaths est normale, quelquefois à faibles récurrences. La composition moyenne en anorthite des plagioclases de ces roches est de 55 %. Dans les andésites à hypersthène, le plagioclase a une composition moyenne en anorthite de 62 %. Dans les andésites à pyroxènes, biotite, et hornblende verte la composition moyenne en anorthite des plagioclases est de 43 %.

Les pyroxènes, représentés par l'augite et la bronzite hypersthène sont les minéraux mélanocrates principaux de toutes les roches décrites. L'augite apparaît d'habitude macleée notamment au-delà de (100) et (110). Des cristaux d'augite macleés au-delà de (010) et zones ont été aussi décrits.

Les pyroxènes rhombiques ont été déterminés à l'aide de la courbe qui utilise la valeur de l'angle 2V. Par cette voie on a établi la variation de la teneur en ferrosilite de 26 à 34 %.

Les diorites et les microdiorites à pyroxènes ont été séparées en liaison avec certains corps d'andésites à pyroxènes, comme faciès marginaux.

Autour des corps magmatiques apparaissent les zones de métamorphisme thermique qui se sont développées sur le compte des marnes miocènes et écologiques, dans le faciès albito-épidotique et celui des schistes tachetés. Le métamorphisme métasomatique de contact des roches magmatiques est développé dans le faciès monoquartzitique des quartzites secondaires.



PETROLOGIA ROCILOR METAMORFICE

„DIAPIRISMUL” UNOR CARBONATITE CRISTALINE ÎN MASIVUL PRELUCA (JUDEȚUL MARAMUREȘ)<sup>1</sup>

DE

IOAN KALMÁR<sup>2</sup>

**Abstract**

„Diapirism” of Some Crystalline Carbonatic Rocks in the Preluca Massif (Maramureș District). Anticlinal folds showing a piercing core, and which are built up of limestones and crystalline dolomites, are pointed out. Their formation may be explained by their difference of density and by the competence with respect to the tectonical strain due to the possibility of a plastic folding through displacement along reticular planes, as well as to the dissolution and redeposition frequently observed at such rocks.

Cercetările geologice amănunțite efectuate de noi în cuprinsul masivului cristalin al Prelucii<sup>3</sup> au condus paralel cu stabilirea unei succesiuni stratigrafice<sup>4</sup>, la identificarea unor tipuri structurale noi, necitate în literatura geologică și anume anticlinale cu simbure de străpungere constituit din carbonatite cristaline.

În mare, cristalinul insulei Preluca este constituit din trei serii mezometamorfice (facies amfibolic, subfacies sillimanitic și almandin-staurolitic). În cadrul termenului cel mai vechi denumită de noi „Seria de Răzoare”, peste paragnaise cu sillimanit urmează un complex carbonatic, ce însumează aproape 700 m grosime în zonele de maximă dezvoltare.

<sup>1</sup> Comunicare în ședința din 20 februarie 1970.

<sup>2</sup> Întreprinderea Geologică de Prospecționi, Str. Caransebeș nr. 1, București.

<sup>3</sup> I. Kalmár. Prospecționi geologice pentru muscovit, cuarț și feldspat în Munții Preluca — Maramureș, 1967. Arh. M.I.M.G. București.

I. Kalmár. Prospecționi geologice pentru minerale nemetalifere și roci utile în munții Preluca-Lăpuș (jud. Maramureș). 1968. Arh. M.I.M.G. București.

<sup>4</sup> I. Kalmár. Notă preliminară asupra stratigrafei cristalinului din munții Preluca și Inău (județul Maramureș). În acest volum.

Complexul este constituit dintr-o alternanță de calcare și dolomite cristaline, la scară decimetrică sau milimetrică. În partea bazală și terminală predomină calcarele; în partea mediană, dolomitice. Tipurile intermedii (calcar dolomitic, dolomit calcaros și.a.) sunt puțin frecvente. Roca este constituită din cristale mari (1-2 mm) intens maclate, de carbonat; sporadic apar granule elipsoidale de cuart, zone tremolitice lenticulare, intercalații de cipolin biotitic și pulbere grafitoasă în special în partea superioară a complexului. În apropierea filoanelor de pegmatite și plagiaplite apar cipolini cloritice și filonașe de azbest: faza hidrotermală postmetamorfică sau mai recentă a condus la silificieri (opalizări), argilizarea rocilor pegmatitice și la dedolomitizări cu formarea făinii dolomitice.

Peste carbonatitele cristaline se dispune, discordant și transgresiv, seria de Preluca. Caracterul de termen nou, dispus peste un fundament vechi metamorfozat este atestat de traseul oblic al limitei cartografice, prezența unui metaconglomerat basal care remaniază elemente din funda-ment printre care și carbonatite aparținând primei serii.

Pe flancurile unui anticlinoriu cu simbure de paragnaise urmărate de carbonatite cristaline se grefează o serie de anticlinale de ordin doi, delimitând albi sinclinali NE-SW cu umplutura constituță din rocile aparținând complexelor bazale ale seriei de Preluca (complexul metaconglomeratorilor, complexul flișoid inferior).

Pe măsură ce ne îndepărțăm spre NW de axul structurii majore, crestele anticlinale devin din ce în ce mai înguste ajungîndu-se „*in extremis*” la cîteva lame de 5-10 m (valea Domoșei, Copalnic).

Cercetătorii precedenți dau interpretări diferite acestor iviri de carbonatite. Hofmann (1887) stabilește existența unui orizont (sublinierea noastră) de „dolomite principale grăunțoase” (körnige Haupt-dolomit) formind flancurile unui anticlinial precum și a altor intercalații.

Kräutner (1937) în schimb plăsează „calcarele și dolomitele seriei superioare” în sinclinali pensate, interpretare reluată de Stančiu (1956) și Lăzărescu\*. Dimitrescu (1963) admite prezența unui orizont carbonatic dar nici el nu face diferență între lamele de carbonatite din crestele anticlinialelor și intercalațiile de calcare cristaline asociate cu amfibolite, din scria superjacentă.

Acest lucru a devenit posibil doar printr-o cartare foarte atentă și efectuarea unui mare număr de analize – chimice și microscopice.

\* V. Lăzărescu. Cercetări geologice între Someș și Lăpuș, la NW de Dej. Lucrare de disertație. Inst. Petrol Gaze și Geologie, București.

În cele ce urmează ne vom referi în special la aflorimentele situate pe perciții impozanți ai defileului străbatut de rîul Lăpuș.

La gura văii Afinișului (Dealul Corbului) se observă terminația pericinală (fig. 1) a unui anticlinal simetric cu flancurile normale, inclinând spre NW și SE cu 15-55°. Peste calcarele și dolomitele cristaline repauzează sernifite cu elemente intens budinate de cuart alb.

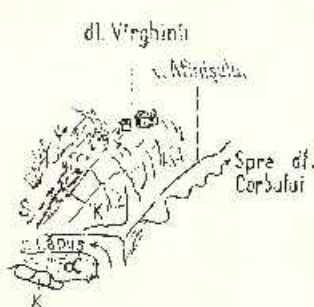


Fig. 1. — Gura văii Afinișului, dealul Corbului.

x, alunuri; s, sernifite; k, calcar și dolomite cristaline.

Embouchure de la vallee d'Afiniș, colline Corbu.

n, alluvions; s, serniphiles; k, calcaires et dolomies cristalinis.

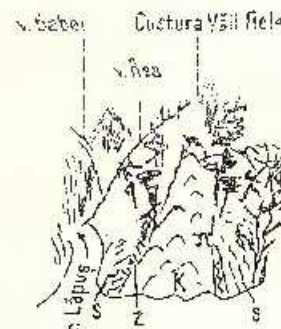


Fig. 2. — Gura Văii Rele, Aspra.

k, calcar și dolomite cristaline; s, sernifite; z, zona de zdrobire; π, pegmatite.

Embouchure de Văii Rele, Aspra.

k, calcaires et dolomies cristalines; s, serniphiles; z, zone d'érastement; π, pegmatites.

Urmind în jos rîul, din dreptul gurii Văii Rele pînă aproape de gura văii Românești vom întîlni o serie de anticlinale din ce în ce mai pensate, majoritatea avind planul axial inclinat cu 60°-70° spre NW. În timp ce anticlinialul de la gura Văii Rele (fig. 2) se „împănează” doar în sernifite, cele de la Aspra (fig. 3) și Românești străbat sernifitele și o bună parte a complexului flișoid inferior apropiindu-se de baza complexului amfibolitic. Anticlinialul din amonte de gura văii Românești este pensat la nivelul rîului Lăpuș (fig. 4) și dezvoltat în evantai pe custură. În extremis procesul merge pînă la detasarea părții superioare a anticlinialului (fig. 5) formîndu-se lentile cu aspect de picătură și la efilarea flancurilor, ajungîndu-se la pseudointercalații în masa rocilor flișoide (Buteasa, fig. 6).

Studiul atent al rocilor înconjurătoare precum și examenul carbonatitelor atestă prezența unor mișcări efective în flancurile anticlinale. Pe 15-80 cm, sernifitele sunt adesea înlocuite prin micașisturi cu granați



Fig. 3. — Versantul drept al defilului Lăpușului, Aspra.

K, carbonatite cristaline; m, schisturi quartizitice cu schistozitate ritmica; z, zona de micaschistri.

Versant droit des gorges du Lăpuș, Aspra.

K, carbonatites cristallines; m, schistes quartzitiques laissant voir une schistosité rythmique; z, zone à micaschistes.

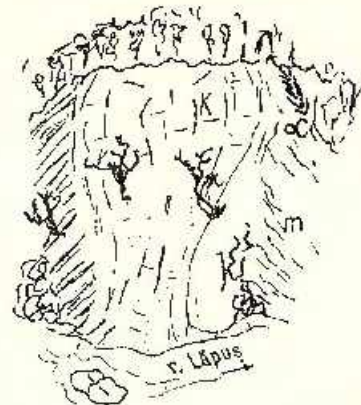


Fig. 4. — Defileul Lăpușului, în amonte de gura văii Româneștilor.

K, carbonatite cristaline; m, schisturi quartizitice; x, amfibolite.

Gorges du Lăpuș, en amont de l'embouchure de la vallée de Românești. K, carbonatites cristallines; m, schistes quartzitiques; x, amphibolites.

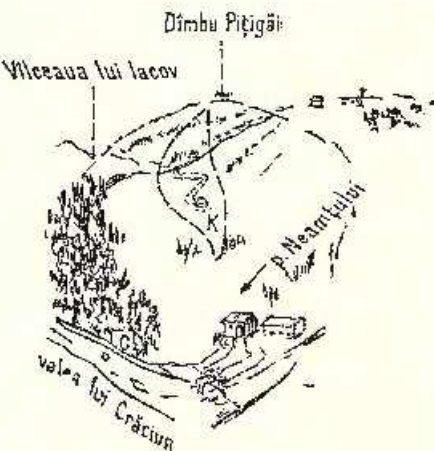


Fig. 5. — Dimbu Pițigăi.

Lambeau de calcar dolomitique (K) în sisturi quartizitice (m).

Dimbu Pițigăi.

Lambeau de calcaire dolomitique (K) dans des schistes quartzitiques (m).

în care microscopul pune în evidență rotirea sincinematică a porfiroblastelor de almandin (milonit metamorfozat ?). Urmează apoi o zonă de 15-60 m în care elementele de sernifite : cuarțul alb sau cenușiu și

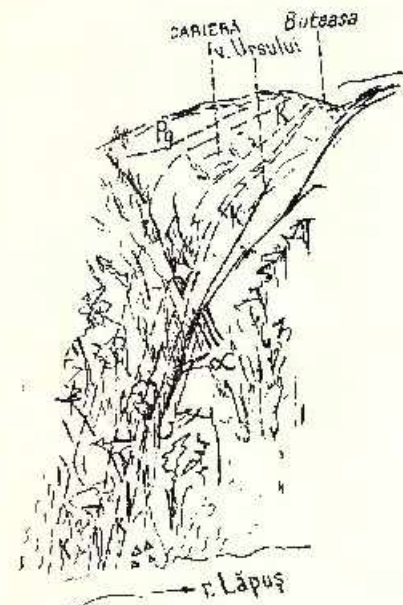


Fig. 6. — Ivire de marmură (k) de pe valea Ursului-Buteasa.

k, sistări cuarțitice iserică metafizică inferioră; α, amfibolite; Pg, Paleogeac.

Affleurement de marbre (k) dans la vallée Ursu-Buteasa.

k, schistes quartzitiques isericé du métamorphisme inférieur; α, amphibolites; Pg, Paleogeac.

puternic contorsionate, rupte sau alipite ; în matrice apar de asemenea granați paracrystalizați. În alternanță de micașisturi, cuarțite și sisturi cuarțitice din complexul flișoid inferior, se constată o „întoarcere” bruscă a sistrozității, adesea transversal pe granoclasarea cuarțitelor (fig. 7) ; sunt prezente filonașele și lentilele de pegmatit intruse pe contact (Valea Rea, fig. 3).

În masa carbonatitelor se observă — grație levigării diferențiale actuale — o microucutare extremă comparativă cu cea din masivele de sare, o reorientare și supracreștere a cristalelor de tremolit și o intensă

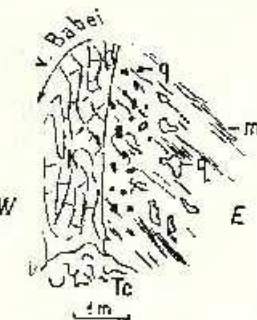


Fig. 7. — Detaliu la limita cu carbonatitele cristaline, Valea Babei, Aspra.

q, quartz; g, granați; m, mica; K, carbonat cristalin; Tc, tuf calcaros recent.

Détail à la limite avec les carbonatites cristalines, Valea Babei, Aspra.

q, quartz; g, granats; m, micas; K, carbonatites cristallines; Tc, tuf calcaire récent.



Fig. 8. — Lentilă de calcit larg cristalizat în sărnierea anticinalului din figura 4.

Lentille de calcite largement cristallisée dans la charnière de l'anticinal de la figure 4.

maclare polisintetică a carbonatului. Unele cristale prezintă urme evidente de supracreștere. În zonele de boltă sunt frecvente lentilele centimetrice sau decimetrice de calcit larg cristalizat (fig. 8).

Din cele de mai sus rezultă că simbolii antielinidelor au străpuns stratele superjacente în timpul metamorfozării seriei de Preluca. Rămâne de explicat modul în care carbonatitele — exemple de roci competente la efortul tectonic — au putut să se comporte ca sare, anhidritul etc.

Analizând comportarea tectonică a unor roci, Maška (1954) atrage atenția că noțiunile de „competență” și „incompetență” sunt relative. Sitter (1969) reproduce un exemplu în care calcarul prins în cherturi s-a comportat drept rocă incompetență atrăgind totodată atenția asupra importanței deplasărilor reticulare și a recristalizărilor care predomină în cazul cintării calcarelor în opoziție cu deplasările la nivel granular, caracteristic rocilor cuarț-feldspatici.

Un factor important subliniat de Rittmann (1968) este „timpul de relaxare”: un stress care acționează asupra unei roci va provoca o deformare plastică atunci cînd viteza de deplasare provocată nu depășește viteza de rearanjare a rețelei cristaline pe noua direcție. În caz contrar roca se rupe. Timpul, necesar rearanjării ionilor din rețea în forma inițială, „timpul de relaxare” este de ordinul a  $10^{10}$ — $10^{11}$  sec<sup>-1</sup>, în condițiile metamorfismului ceca ce limitează viteza cutărilor plastice la cîțiva cm/an.

Așadar, calcarile și dolomitele cristaline, care au constituit probabil niște culmi puțin proeminente în apropierea taluzului geosinclinal, au fost ingropate sub conglomeratele bazale ale seriei de Preluca. În fază de cutare și metamorfism, regenerarea fundamentalului vechi s-a manifestat prin antrenarea acestor proeminente într-un proces de cutare intensă. Diferența de densitate (2,00 față de 2,5) și o incompetență accentuată față de rocile cuarțitice a făcut ca lamele de carbonatite să „fănească” în sus, străpungind acoperișul. Mobilitatea mare a carbonatitelor se explică tomai prin ușurința lor de a se măla (deplasări reticulare) și prin capacitatea de a se dizolvă și de a se redespune cu ușurință.

Dacă carbonatitul inițial a avut granulație predominantă de Ø 1 mm și mălația (observată în secțiuni) a condus la alungirea prin mălație după [0112] de 1,8 mm și grosimea celor două complexe străbătute de cută diapiră este de 500 m, dintr-o proeminență inițială înaltă de 200 m vom obține prin cutare o lamă de 360 m, restul de 140 m alungire fiind dată de dizolvări și recristalizări. De notat prezența obligatorie a stării crista-

line cu granulație mare fără de care nu pot fi imaginat mișcări atât de avansate având drept cauză deplasări la nivel reticular.

Intrucât aspectul entelor și mecanismul lor de formare este similar cu cel al unor domuri ascensionale de sare din regiuni cunoscute, considerăm că se poate vorbi de un fenomen de „diapirism” și în cazul carbonatitelor cristaline, proces particular al unei cutări ejective<sup>6</sup>.

## BIBLIOGRAFIE

- Dimitrescu R. (1963) Asupre șisturile cristaline din nord-vestul Transilvaniei. *Bul. Soc. St. Nat. Comunicări de geol.* II (1960—1961), București.
- Hofmann K.v. (1887) Geologische Notizen über die kristallinische Selicserinsel von Preluka und über das nördlich und südlich anschliessende Tertiärland. *Jahrsb. d.k. ung. geol. Anst.* f. 1885, Budapest.
- Krämer Th. (1937) Révision des schistes cristallins du massif de Preluca (Munții Lăpușului). *C.R. Inst. Géol. Roum.* XXI (1932—1933), București.
- Măska M. (1954) Analiza tectonică a cristalinului. (Traducere I.D.T.), Praga.
- Rittmann A. (1968) Vulcanii și activitatea lor. Ed. tehnica, București.
- Sittler de L. U. (1969) Geologie structurală. Ed. tehnica, București.
- Stanciu V. (1956) Contribuții la tectonica cristalinului Preluca (M. Lăpușului). *D. S. Com. Geol.* XXXIX, București.

## LE „DIAPIRISME” DE CERTAINES ROCHES CARBONATÉES CRISTALLINES DANS LE MASSIF PRELUCA (MARAMUREȘ)

### (Résumé)

C'est au centre du massif Preluca, tout spécialement le long du défilé de Lăpuș, que des plis tout à fait particuliers, jamais décrits dans la littérature de spécialité, apparaissent.

Les termes basaux d'une série cristalline plus récente (Dinbu Pișigăi) se disposent au-dessus d'un sous-basement ancien (la série de la vallée Arșița) constitué de paragneiss et de roches carbonatées cristallines. Toutes les deux appartiennent à la mésozone en faciès amphibolitique.

Vers le nord-ouest, les roches carbonatées cristallines forment les noyaux des anticlinaux de plus en plus aiguillés. Les calcaires et les dolomies percent les semi-schistes et les schistes quartzitiques de dessus. La preuve d'un mouvement effectif est faite par la présence des milionites (?) intensément métamorphisées dans les roches environnantes, par les mâcles intenses des cristaux de carbonate ainsi que par des lentilles de calcite recristallisées.

<sup>6</sup> Precizări de terminologie la sugestia lui M. Sandulescu.

Le mouvement différenciel des roches carbonatées est dû à la différence de densité et à leur incompétence. À son tour, l'incompétence est applicable si l'on tient compte des mouvements au niveau du plan réticulaire (plan des mâcles [0112]) et de la facilité avec laquelle des dissolutions et reprécipitations se produisent dans de telles roches.

En tenant compte des processus de soulèvement des dômes de sel, l'auteur se prononce aussi pour l'emploi du terme "diapirisme" dans le cas des roches carbonatées cristallines.



PETROLOGIA ROCILOR METAMORFICE

**NOTĂ PRELIMINARĂ ASUPRA STRATIGRAFIEI INSULELOR CRISTALINE PRELUCA ȘI INĂU (JUDEȚUL MARAMUREȘ)<sup>1</sup>**

de

JOAN KALMÁR<sup>2</sup>

**Abstract**

Preliminary Note on the Stratigraphy of the Crystalline Islands Preluca and Inău (Maramureș District). Within the crystalline islands Preluca and Inău the presence of three series, namely the Băzoare series, the Preluca series and the Someș series are pointed out. The amphibolic rocks are of a magmatogenic origin. The existence of some metablastic migmatites is set forth.

Lucărările de cercetare geologică întreprinse în ultimii ani<sup>3</sup> aduc o serie de precizări în legătură cu stratigrafia și structura șisturilor cristaline din munții Preluca și Inău.

Regiunea cercetată de Pošepny (1862), Hofmann (1887), Kräutner (1937), Stanciu (1956), Dimitrescu (1963) se localizează pe cursul mediu al râului Lăpuș, desemnându-se ca o zonă morfologică elevată în mijlocul depozitelor paleogene și neogene.

Cartările amănunțite au condus la separarea a șapte complexe petrografice, repartizate în trei unități cronostratigrafice cu grad de serie.

<sup>1</sup> Comunicare în ședință din 6 februarie 1970.

<sup>2</sup> Întreprinderea Geologică de Prospecționi. Str. Caransebeș nr. 1, București.

<sup>3</sup> I. Kalmár. Prospecționi geologice pentru minerale nemetalifere — mica — în Preluca-Lăpuș. 1968. Arh. M.I.M.G. București.

I. Kalmár. Prospecționi geologice pentru muscovit, cuarț și feldspat în munții Preluca, Maramureș. 1967. Arh. M.I.M.G. București.

I. Kalmár. Prospecționi geologice pentru minerale nile nemetalifere și roci utile în munții Preluca-Lăpuș (jud. Maramureș). 1968. Arh. M.I.M.G. București.

### A) Stratigrafia

1. *Seria de Răzoare*, care cuprinde grupa roilor metamorfozate în subfaciesul sillimanitic, este alcătuită din două complexe: unul inferior, cu paragnaise cu biotit, bogate în lentele cuarțo-feldspatică cu structură poichiloblastică și cuburi mici de sillimanit și altul, superior, constituit din carbonatite (calcare, dolomite) cristaline, cu intercalații lenticulare tremolitice.

Este caracteristic gradul avansat de cristalinitate, sistemul multiplu de microcute (NNE-SSW și NE-SW) și prezența unor microstructuri de înlocuire biotit-muscovit respectiv granați-biotit (inceput de metamorfism regresiv în cadrul același facies amfibolitic).

2. *Seria de Preluca* se dispune discordant peste unitatea precedentă, depășind transgresiv carbonatitele (bine vizibil la Preluca Veche și în special la Răzoare unde repauzează direct peste paragnaise). În partea de SW, NW și central-nordică (într-o mică măsură și în cristalinul Tinăului) este afectat de fenomene de retrömorfism; șisturile cristaline din subfaciesul almandin-staurolit tind să treacă în subfaciesul amfibol-epidotic sau – în extremis – în facies albit-cloritic: pe seama granațiilor, biotitului, amfibolilor și a oligoclazului se formează, în aceeași ordine, biotit respectiv clorit sau fengit, epidot, zoizit și albit. Peste procesele de retrömorfism se suprapune și metasomatoza hidrotermală prezentă în apropierea unor zone fracturale.

a) Seria începe printr-un complex discontinuu b l a s t o p s e - f i t i c , deosebit de bine vizibil în cheile Lăpușului la Aspra, Românești și Boiu Mare. În baza acestui complex apar remaniate numeroase blocuri (metaolistolite) de calcare dolomitice proprii seriei de Răzoare, precum și lentele de calcare blastodetritice în care se observă fragmente de paragnaise remaniate din fundament (valea Hotarului-Răzoare, valea Tisei-Aspra).

b) Urmează un complex de cuarțite albe, cenușii, enarțite micacee și șisturi cuarțitice cu rare intercalații de micașisturi muscovitice, cu o șistozitate ritmică evidentă, în care la microscop se pune în evidență o granoclasare relictă. Am numit acest pachet de roci „c o m p l e x u l i n f e r i o r f l i ș o i d ”.

c) Complexul următor, de grosime mult mai redusă se caracterizează prin prezența, în același context petrografic, unor baneuri decimetrice sau metrice de a m f i b o l i t e asociate cu lentele de calcare cristaline, cuarțite negre, micașisturi cu granați, mici lentele de magnetit și impregnații piritoase. Ivirile de amfibolit, foarte numeroase, se pot raporta

la 2-5 nivele. Studiul mineralogie și chimic pune în evidență legătura lor de consangvinitate cu micile corpuri de metatrotolite din valea Dobricelului și a Inăului, semnalate pe harta geologică 1 : 100.000 (Ioia Tg. Lăpuș, 1961). În cadrul localității Răzoare, la nivelul stratigrafic corespunzător se localizează lentilele de cuarțite negre purtătoare de mineralizație (carbonatată și silicată) de mangan și fier.

După opinia noastră, complexul amfibolitelor marchează un episod al magmatismului simatic în geosinclinalul în curs de umplere în care s-au pus în loc și produsele halimirolitice ale unor erupții submarine (silicolite, carbonatite, argile feruginoase).

d) Peste acesta s-a depus ultimul complex al seriei și anume „complexul superior Ilișoiid”, care, spre deosebire de cel dintâi este mai micaceu iar muscovitul predomină net asupra biotitului.

e) În seria de Preluca am identificat prezența unor migmatite mătăbastică (gnaise oculare biotitice cu porfiroblaste de granati) înconjurate de o aureolă de micașisturi cu granati. Ivirile cele mai importante se întâlnesc la Butescu, în defileul Lăpușului și Dosul Codrului. Alte mici iviri apar în Cheile Borcutului (cristalinul Inăului). Prezența lor pare să fie legată de magmatismul sinorogen profund.

3. Seria de Someș apare în împrejurimile Butescu (valea Cărbunărișilor, valea Boilă, Creanga Rea, La Grajduri) pe o suprafață mică și într-o situație morfologică deosebit de dificilă. Este reprezentat prin micașisturi satinate cu granati idioblastici, staurolit și 2 generații de biotit, sisturi cuarțitice fine, gnais albe, calcare cristaline fine, amfibolite epidotice și sisturi grafitoase. Se pare că stau, geometric vorbind, deasupra sistemelor cristaline ale seriei precedente, fără să putem preciza dacă e vorba de o transgresiune sau o situație tectonică. Din punct de vedere litologic se asemănă pînă la identitate cu rocile care apar în munții Ticău, Bie, Măgura Șimleului și Mezeș.

Nu e exclus ca petecele de micașisturi cu granati, staurolit și relicte de disten de la gura Dobricelului (Răzoare) să reprezinte continuarea spre est a seriei de Someș, la fel și micașisturile cu granati cloritizați din sondă de la Lăpușu Românesc.

### B) Tectonica

Cercetările noastre confirmă prezența unui anticlinoriu central Sălăția-Stoiceni, avind în simbore paragnaisele și pe flancuri, carbonatitele cristaline.



Pe aceste flancuri (în special pe cel de NW) se grefează numeroase cufe de ordin II, în simburele cărora apar carbonatitele sub formă unor lame puternic strivite, cu aspect particular.

Apar de asemenea numeroase falii direcționale și transversale, unele din ele fiind reactivate în Terțiар.

### C) Considerații asupra vîrstei șisturilor cristaline

Pe baza microflorei determinate de Adina Visarion într-un calcar cristalin grafitos (asociat cu amfibolite), vîrsta seriei de Preluca poate fi datată în primă aproximație drept proterozoic-superioară. Observația concordă cu schema generală de dezvoltare a ciclurilor tectono-magmatice prealpine (Giuşcă et al., 1969)<sup>4</sup>.

Prezența masivă a rocilor carbonatici în cadrul seriei de Răzoare ne îndeamnă să facem o apropiere între aceasta și seria de Bistrița-Bârnar din Carpații Orientali<sup>5</sup>. Cum seria de Someș are o constituție petrografică comparabilă cu partea superioară a acestei serii (Kräutner, 1968) rămîne ca cercetările viitoare să conducă la precizarea echivalentului seriei de Preluca în Carpații Orientali și la semnificația celor două discordanțe.

### D) Pegmatitele

Neavînd nici o indicație (de teren sau chimică) asupra legăturii filoanclor pegmatitice și aplitice din Preluca cu imaginatismul sinorogen profund am considerat necesar să amintim prezența lor într-un subcapitol separat. Ipoteza formării lor prin segregăție metamorfică în accepția lui Daly (1932) și Ghika-Budești (1927) este confirmată de compoziția chimică și mineralogică a lor, dar relațiile structurale, în special aureola de contact cu roca înconjurătoare pune un semn de întrebare. Se pare că formarea lor a avut loc anterior retromorfismului părții vestice a seriei de Preluca, retromorfism care afectează și unele filoane de pegmatit.

<sup>4</sup> Expunere verbală la ședința de deschidere a comunicărilor științifice a Societății de Științe Geologice din R.S.R., februarie 1969.

<sup>5</sup> Subliniată de M. Muresan (comunicare verbală, 1969).

## BIBLIOGRAFIE

- Daly A. R. (1930) Igneous rocks and the depth of the Earth. New York.
- Dimitrescu R. (1963) Asupra șisturilor cristaline din nord-vestul Transilvaniei. *Bul. Soc. St. Nat. Comunicări de geol.* II (1960–1961), București.
- Chikat-Budești řt. (1934) Études géologiques et pétrographiques dans les Muntii Lotrului. *An. Inst. Geol. Rom.* XVI, București.
- Giușcă D., Savu H., Bercia I., Kräutner H. G. (1969) Sequence of tectono-magmatic pre-alpine cycles on the territory of Roumania. *Acta Geol. Ac. Sc. Hung.* 13, Budapest.
- Hofmann K.v. (1887) Geologische Notizen über die kristallinische Schieferinsel von Preluca und über das nördlich und südlich anschliessende Tertiärfeld. *Jahrsb. d.k. ung. geol. Anst. f.* 1885, Budapest.
- Kräutner Th. (1937) Révision des schistes cristallins du massif de Preluca (Munții Lăpușului). *C.R. Inst. Geol. Roum.* XXI, București.
- Kräutner H. G. (1968) Vederi noi asupra masivului cristalin al Rodnei. *Stud. cerc. geol. geogr. seria geol.* 13, 2, București.
- Pölsperny F. (1862) Geologische Verhältnisse des mittleren Lápos Gebietes. *Jahrsb. d.k.u.k. geol. R. A.* Wien.
- Stanetiu V. (1956) Contribuții la tectonica cristalinului Preluca (M. Lăpușului). *D. S. Com. Geol.* XXXIX, București.

## APERÇU PRÉLIMINAIRE SUR LA STRATIGRAPHIE DES ÎLES CRISTALLINES PRELUCA ET INĂU (MARAMUREȘ)

(Résumé)

A la suite des recherches entreprises par l'auteur dans les îles Preluca et Inău, les horizons des terrains cristallins de ces massifs ont été établis de la manière suivante : la série de Răzoare, la série de Preluca et la série de Someș.

La série de Răzoare représente un ancien noyau régénéré, constitué de roches à cristallinité avancée (paragneiss, roches carbonatées cristallines) : elle est comparable à la série de Harnar-Bistrița.

La série de Preluca est représentée par quatre complexes : le complexe basal métaconglomératique, le complexe flyschoidé inférieur, le complexe amphibolitique et le complexe flyschoidé supérieur. Elle est discordante et transgressive sur les dépôts précédents. Ce sont les phénomènes rétromorphes qui sont très répandus à l'ouest de cette série. Son âge protérozoïque supérieur a été établi à partir des critères microfloristiques.

La série de Someș comprend des schistes quartzo-micacés, identiques à ceux des monts Bic et Tieău.

Les amphibolites de la série de Preluca représentent les produits du magmatisme initial. Le magmatisme synorogène a eu pour effet la formation d'une zone de migmatites métablastiques à Butecasa.



Les pegmatites de Preluca et Inău se sont constituées durant le métamorphisme de la série de Preluca, antérieurement au retroréférencement.

## EXPLICATION DE LA PLANCHE

Carte géologique des massifs de Preluca-Inău (échelle au 1/100.000<sup>e</sup>).

1, dépôts sédimentaires ; 2, série de Someș ; 3, série de Preluca ; 4, série de Răzoare (a, paragneiss ; b, carbonatites cristallines) ; 5, migmatites métablastiques ; 6, failles.

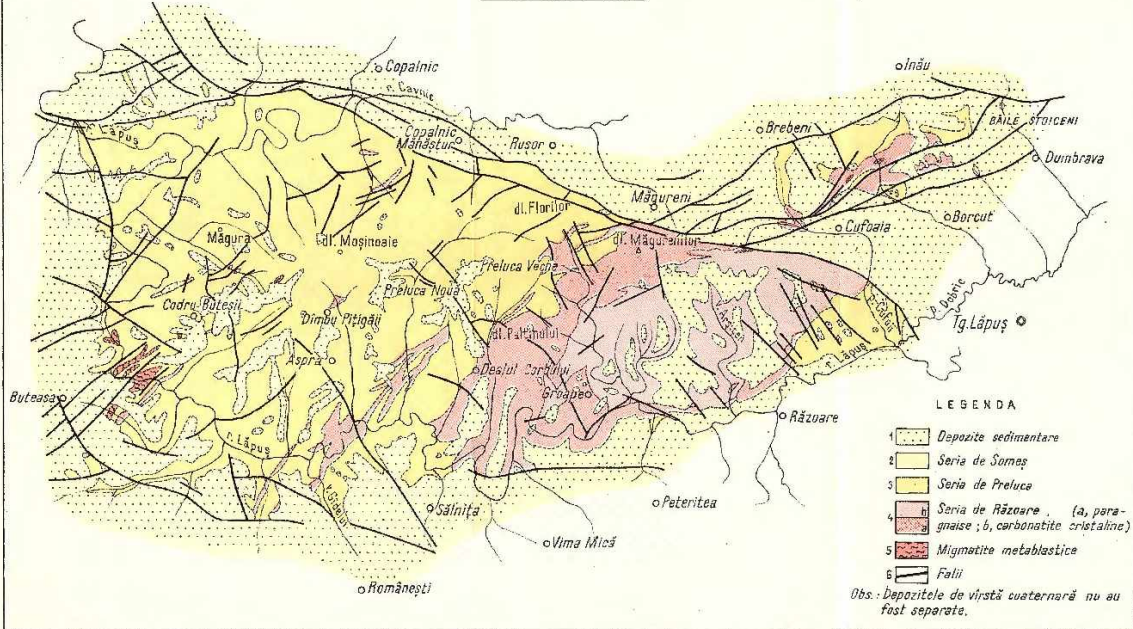
Remarque. On n'a pas séparé les dépôts d'âge quaternaire.



I. KALMÁR. Notă preliminară asupra stratigrafiei insuflor cristaline Preluci și Inău (Județ Maramureș).

IOAN KALMÁR  
HARTA GEOLOGICĂ A MASIVELOR PRELUCA - INĂU.

0 2 4 Km.



**PETROLOGIA ROCILOR METAMORFICE**

**PREZENȚA UNOR ROCI CARBONIFERE ÎN MUNTII BISTRITÉI  
(CARPAȚII ORIENTALI)<sup>1</sup>**

DE

ALCIBIADE IOAN MUȘAT, OLIMPIA VASILESCU<sup>2</sup>

**Abstract**

Presence of Some Carboniferous Rocks in the Bistrița Mountains. In this paper the authors mention – for the first time in this zone – the presence of rocks showing a slight metamorphism, and which occur under the shape of outliers within the crystalline series of the Bistrița Mountains. These rocks are assigned to the Carboniferous formations on the basis of lithological, petrographical and palaeontological data. They have been always observed in the neighbourhood of the tectonized zones. Pointing out the carboniferous formations in this region will contribute to obtain a general image as regards the existence of a horizon with such rocks in the East Carpathians.

În cursul cercetărilor cu caracter de prospecție geologică, efectuate între anii 1966–1969, în cadrul seriei cristalofiliene a muntelui Bistriței, am întîlnit unele roci cu aspect deosebit, atât față de sisturile cristaline, cât și față de rocile sedimentare ce repauzează peste ele.

Pozitia, aparent incertă în succesiunca stratigrafică, ca și aspectul lor au impus cercetarea atenționată atât în teren, cât și în laborator, iar aceasta a condus la concluzia, că avem de-a face cu sisturi carbonifere.

Ele apar pe ambele versanți ai muntelui Fărăoane, pe Bitca Domnească, Bitca Tîrșului, valea Suhârzelui Marc, Runcul Ciocăneștilor, Obcina Arsenesei etc., întotdeauna în poziție tectonică.

În masivul muntelui Bistriței au mai fost cotate roci sau formațiuni considerate de vîrstă paleozoică sau carboniferă (Savu, 1954; Stefan, Vasilescu, Cosma, 1956<sup>3</sup>; Mușat, Vasilescu, Gridan,

<sup>1</sup> Comunicare în ședință din 6 martie 1970.

<sup>2</sup> Întreprinderea Geologică de Prospecție, Str. Curanșeș nr. 1, București.

<sup>3</sup> R. Stefan, L. Vasilescu, St. Cosma. Contribuții la studiul petrografic și geologic structural al Cristalinului din zona Panaci-Șarul Dornei-Argeșu. Netipicită.



Nedelea, 1968<sup>4</sup>; Muşat, Vasilescu, 1970; Kräutner, Mirăuţă, 1970; Bercia, Bercia, 1970; Muşat, Vasilescu, Paraschivescu, Pâslaru, 1969<sup>5</sup>).

Savu (1954), care le observă și citează pentru prima dată în munții Bistriței, la nord de perimetruul la care ne referim noi, consideră că „ele constituie un nivel de sedimentare superior stratelor din care s-au format șisturile de Bretila”, peste care le-a și găsit de altfel și le descrie sumar ca „o serie de șisturi negre cu pigment cărbunos”, sau „cîteodată avînd chiar caracterul conglomerat prin elementele de cuart ce le conțin sau ca „șisturi fine, mate, cu pete albe și urme de limonit în pseudomorfoză după pirită”.

Ştefan, Vasilescu, Cosma (1956) prezintă în lucrare tipurile de roci întlnite, separind seria cristalină mezozonală (tip Bretila) diaforitică, seria mezozonală migmatică (zona estică) și seria epizonală. Pe baza unor roci strivite (filonite) și a unor conglomerate slab metamorfozate, precum și a raporturilor de discordanță, se consideră că seria epizonală și cea mezozonală „vestică” (tip Bretila) sunt în raporturi tectonice, în baza epizonei situîndu-se filonitele, care marchează suprafața de încălcare a acesteia peste mezozonă. Mezozona estică considerată migmatică este de asemenea în raporturi tectonice cu epizona, pe planul unei fracturi puțin inclinată față de verticală — fractură pusă în evidență pentru prima dată de către Savu.

Muşat, Vasilescu, Gridan, Nedelea (1968) le citează și stabilesc vîrstă pe baze litologice, petrografice și palinologice și le fixează aparițiile în raportul geologic și harta respectivă.

Muşat, Vasilescu (1970) le citează ca roci sedimentare cu un slab metamorfism, de vîrstă carboniferă, ce apar în pete ce pe ambi versanți ai muntelui Fărăoane (munții Bistriței).

În regiunea Vatra Dornei-Iacobeni, Bercia, Bercia (1970) consideră formațiunea sernifitică, descrisă în Carpații Orientali de Savu (1954), Ştefan, Vasilescu, Cosma (1956), ca reprezentând un complex detritic filonitizat de vîrstă Paleozoic superior, care apare într-o unitate alpină separată pentru prima oară în zona cristalino-mezo-

<sup>4</sup> AI. I. Muşat, Olimpia Vasilescu, T. Gridan, N. Nedelea. Raport asupra prospecțiunilor pentru minereuri neferoase în zona Mestecăniș-Fărăoane, Munții Bistriței, Carpații Orientali. 1968. Arh. M.I.M.G. București.

<sup>5</sup> AI. I. Muşat, Olimpia Vasilescu, C. Paraschivescu, C. Pâslaru. Raport asupra prospecțiunilor geologice pentru minereuri neferoase în Munții Bistriței (Mestecăniș-Fărăoane). 1969. Arh. M.I.M.G. București.

zoică. Această unitate ocupă o poziție intermedieră spațial între unitatea de Bretila-Tacobeni și pinza de Bistrița. Se consideră că partea superioară a seriei de Tulgheș ar putea să reprezinte ca vîrstă, un corespondent al seriei de Repedea (Permo-Carbonifer).

Cercetările efectuate în ultima vreme de către autorii acestei lucrări au pus în evidență o arie mai largă de răspândire a acestor roci.

Megascopice aceste roci sunt de culoare negricioasă, negricioș-cenușie, cu aspect mat, dure, se sparg în plăci după planele de șistozitate, uneori cu diaclaze umplute cu calcit și sulfuri de fier limonitizate. Ele apar în facies ardezie, argilitic sau ca șisturi argilo-cărbunoase fine, ori ca gresii fine cărbunoase, siltite sau grauwacke.

Deși faciesurile sub care apar sunt destul de variate, rocile sunt întotdeauna bine stratificate, au pigment cărbunos, uneori au lamele vizibile de muscovit sau biotit pe fețele de clivaj și prezintă întotdeauna aspectul unor roci sedimentare ce au suferit un ușor metamorfism, datorită căruia structura originală a rocii sedimentare a fost foarte vag păstrată sau ștearsă complet.

Pentru determinarea lor — căci poziția aparent incertă în succesiunea stratigrafică o impunea — și deci pentru stabilirea vîrstei și poziției lor în raport cu șisturile metamorfice de diverse tipuri din regină, am întreprins un studiu amănunțit și complex (petrografie, litologic, chimic, palinologic, termic-diferențial etc.).

Sub microscop, rociile acestea se pot încadra în trei mari grupe, după cum urmăză: filite cărbunoase; șisturi cuarțitice cu nice și feldspați (de asemenea cărbunoase); siltite.

*Filite cărbunoase.* Sunt roci fin granulare, alcătuite dintr-un fond cuarțo-granoblastic, mărunt, pe care se disting mineralele micacee sub forma unor siruri fine ce subliniază caracterul șistos al rocii. Întreaga rocă este impregnată de un pigment cărbunos, concentrat îndeosebi pe planele de clivaj, forfecare și crăpăturile rocii. Microstructura variază în funcție de preponderența mineralelor dezvoltate granoblastic sau lepidoblastic. Structura rocii este blasto-psamitică.

Metamorfismul a dus la zdrobirea și recristalizarea cuarțului, a feldspațiilor și formarea unor minerale noi (pirofilit).

Cuarțul, unul din principali compoziți ai rocii, apare sub formă de granoblaste foarte alungite, cu contururi sinuoase, crenelate și cu incluziuni de pulbere fină cărbunoasă. Cel remaniat se prezintă în granule rotunjite sau subangulare și nu are pigmentul cărbunos.

Feldspații plagioclazi sunt de două generații. Cei remaniati de regulă maclați polisintetici și mai rar albīt-Karlsbad, cu compoziții de 25-30 % An sau și mai rar „schachbrettalbit”, apar sfârîmați și în parte sericitizați. Cei de neoformare nu sunt maclați polisintetici sau albīt și au întotdeauna inclusă substanță cărbunoasă (mai veche), dispusă în benzi după fețele de clivaj sau față de maclă Karlsbad, ceea ce și accentuează aceste discontinuități cristaline.

Mineralele micacee apar în lamele fine alungite, solzi și mai rar snopi, asociate în șiruri mai mult sau mai puțin continue.

Muscovitul, cel mai frecvent și mai larg dezvoltat, se găsește în foile dispuse paralel cu sistozitatca.

Biotitul, subordonat, în foile pseudohexagonale sau lamele alungite, frecvent clorizat.

Cloritele sunt de tipul penin sau clinoclor.

Pirofilitul s-ar părea să se fi dezvoltat în foile sau snopi neregulat dispuse printre celelalte mici.

Mineralele grele prezente sunt sfenul și zirconul. Sfenul apare în indivizi fisurați și alterați în urma solicitărilor tectonice.

*Sisturi cuarțitice cu mici și feldspați.* Apar sub forma unor filonite tipice (William, Turner, Gilbert, 1958), constituite dintr-o masă de cuarț mărunt zdrobit, pe fondul căreia se intercalează feldspații plagioclazi și benzi fine micacee, aspect observat și de către Berecăia, Berecăia în regiunica Iașobeni-Argestru (1970).

Contururile cuarțului zdrobit și alungit arată orientarea indivizilor conformă cu planele de clivaj ale rocii. În zonele unde este recristalizat, apare larg dezvoltat și foarte aparatizat.

Plagioclazii tot de două generații apar încadrați în benzile de cuarț. Cei remaniati au compoziția oligoclaz-andezit (cca 30 % An) sunt maclați polisintetici, zdrobiți și parțial sericitizați. Cei de neoformare sunt mai larg cristalați, în general nemaclați, sau rareori maclați Karlsbad și au o compoziție mai bazică (10 % An).

Mineralele micacee, asociate în benzi largi, ondulate și cu flexuri mai mult sau mai puțin paralele, sunt constituite din muscovit (varietatea ferofengit), care apare în procentul cel mai ridicat și clorite. Foilele cu contururi difuze, sau mai rar lamele bine individualizate, colorate verzui-pal, cu culoarea de birefringență violet-cenușie (de ordinul 1), indică peninul. Uneori apar foile de forma unor fascicule flexurate, dispuse anarhic, ceea ce ne face să credem că ar putea fi pirofilit.

Biotitul apare rar, în stare destul de proaspătă.

Mineralele grele sunt reprezentate prin magnetit limonitizat, în cristale cubice sau octaedrice, izolate, mai rar în aggregate cu aspect poliklitic (având indivizi de cuart angular ca incluzuni) și zircon în indivizi mici și rari.

*Siltite.* Rocile apar constituite dintr-un amestec intim de material argilos fin și unul ceva mai grosier, reprezentat prin cuart, printre care se găsesc lainele fine sau aggregate de sericit și mai rar granule de feldspați. În masa roci se mai distinge titanitul fin-granular, sub forma unor aggregate cu aspect de pete.

Cuartul apare în granule mărunte, colțuroase (angulare).

Muscovitul se găsește în lamele fine, uneori trecut în hidromuscovit (fără culori de birefringență).

Sericitul se întâlnește în aggregate fin solzoase.

Întreaga masă a roci, constituită din aggregatele minerale de mai sus, apare uneori fără orientare, alteori foarte ușor orientată. Roca este străbătută de o serie de fisuri ce se întrelapă sub diferite unghiuri, în care se găsește depus calcit și cuart de origine secundară.

Calcitul se află în centrul fisurii, iar cuartul la periferie, dispus perpendicular pe peretii ei, sub forma unor dinți de pieptene.

Prezența mineralelor dure, sfârimate (cuart, plagioclazi, sfen etc.) în toate aceste roci, stergerea parțială sau totală a structurii originale, apariția unor plane de clivaj și de forfecare, ca și a mineralelor de neoformăție (pirofilit, ferofengit, plagioclaz, cuart), indică nu numai diagenezarea sedimentelor (Correns, 1950, „prin noțiunea de diageneză nu se înțelege transformarea provocată de alterare, ci ecca ce suferă un sediment între sedimentare și metamorfism”), ci chiar începutul unui metamorfism în faciesul sisturilor verzi (Winkler, 1967).

Distanța dintre planele de clivaj ale roci este de la microscopică la milimetrică, în funcție de dimensiunile actuale ale granulelor componente. Aranjamentul paralel al acestora imprimă rociștozitatea și rubauarca specifică. Culoarea negricioasă sau negru-cenușie le este de asemenea caracteristică și se datorează pulberii cărbunoase, dispusă pe planele de clivaj ale roci și ale mineralelor de neoformăție.

Prezența biotitului și a plagioclazului mai bazic (cca. 40 % An) în aceste roci sunt efectul metamorfismului hidrotermal suprapus peste metamorfismul termodinamic. Un alt argument în favoarea influenței soluțiilor hidrotermale asupra acestor roci carbonifere este și faptul

că le-am găsit întotdeauna în vecinătatea zonelor tectonizate și metamorfozate hidrotermal, unde influența acestor soluții nu s-a limitat numai la cle, ci a afectat și rocile din jur. Reamintim că rocile carbonifere sunt străbătute de fisuri, pe care s-au depus calcit, cuarț și sulfuri (acum limonitizate).

Din punct de vedere litologic, rocile acestea se asemănă, uneori pînă la identitate cu faciesul grezos (filitic) al seriei de Schela (comparația materialului și a secțiunilor subfiri și discuție personală cu Paliuc, 1965<sup>6</sup>, 1966<sup>7</sup>). De asemenea am comparat materialul nostru și secțiunile din el cu descrierile din literatură (Manolescu, 1933; Răileanu, Năstăseanu, Mutihac, 1957; Răileanu, Năstăseanu, 1958; Ciorniei, 1970; Kräutner, 1968; Kräutner, Mirăuță, 1970).

Analiza termică diferențială efectuată pe un material bine omogenizat a pus în evidență prezența pirofilitului (între 550°-640°C), foarte greu de observat sub microscope (fig. 1).

Analiza chimică a indicat prezența materiei organice cărbunoase. Lipsa grafitului, dar prezența unui cărbune superior, ca și în șisturile considerate grafitoase în regiune, ne oferă anumite indicații cu privire la gradul de metamorfism suferit de roca.

Analizele palinologice<sup>8</sup> ne-au indicat prezența unor spori, ca: *Laevigatosporites cf. densus* Alp., *Laevigatosporites vulgaris* Ibr., *Variourisporites plicatur* Alp., cîtați de B. Alpern în Carboniferul mediu-superior. Aceste forme, în cazul formațiunilor de care ne ocupăm, sunt asociate și cu altele menționate ca preponderente în Paleozoic și care se continuă cu o intensitate scăzută și în Mezozoic.

Pozitia acestor roci în succesiunea stratigrifică din regiune arată că ele s-au depus atît peste formațiunile mezometamorfice, cît și epimetamorfice, dar au fost deranjate din poziția inițială, în urma mișcărilor tectonice, care au avut loc începînd de la Carbonifer în sus (fig. 2).

Compoziția mineralologică a rocii ne oferă indicații, atît asupra naturii materialului original, cît și a locului de depunere care — după părerea noastră — trebuie să fi fost în apropierea tărmului.

<sup>6</sup> G. Paliuc. Raport privind documentarea mineralologică și petrografică asupra lucrărilor executate în șantierul ISFM — Viezurol. 1965. Arh. M.I.M.G. București.

<sup>7</sup> G. Paliuc. Raport privind documentarea mineralologică și petrografică asupra lucrărilor executate în șantierul Viezurol. 1966. Arh. M.I.M.G. București.

<sup>8</sup> Analizele palinologice au fost efectuate de Adina Visarion de la laboratorul Palinologie, Întreprinderea Geologică de Prospecționi, București.

Prezența pirofilitului, ferofengitului, albitalui de neoformare etc., indică o temperatură destul de mare, care să li putut afecta sedimentele inițiale, la o adâncime mică și la o presiune tangențială foarte mare. Poziția lor actuală, numai lîngă roci mai competente tectonice (gnaise,

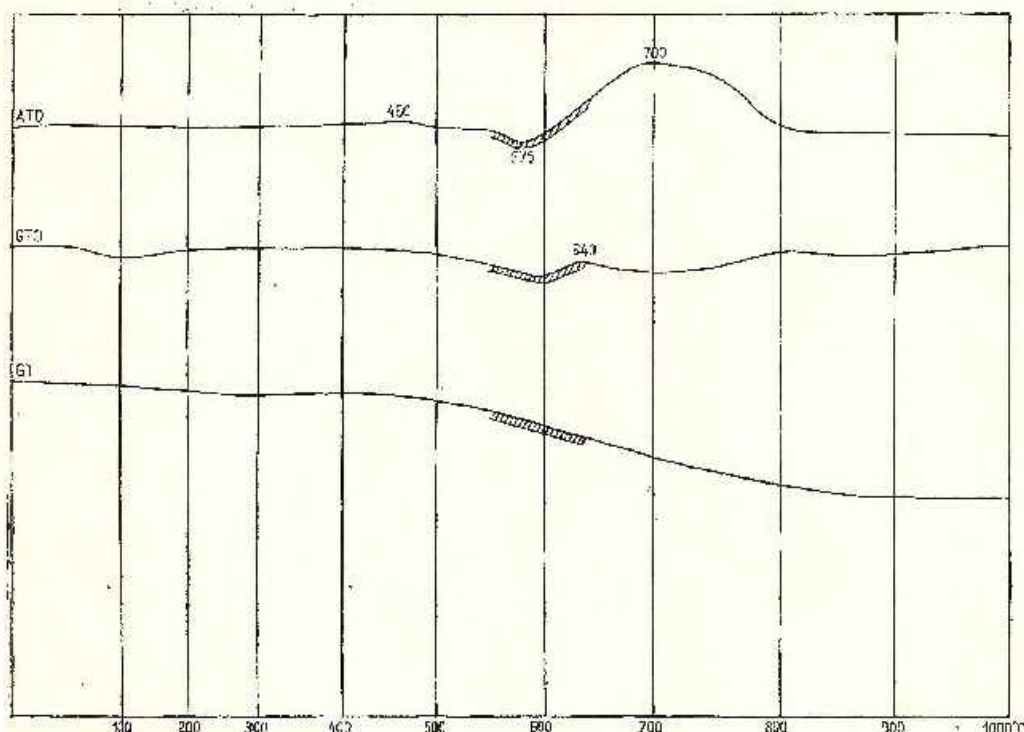


Fig. 1. — Derivatogramma termică a probei 521.

ATD, analiza termică diferențială; GTD, gravimetrică termică sau viteza de schimb a greutății; GT, gravimetria termică sau pierderă la calcinare; 460°C, oxizi liberi de fier; 575°C, quart cuplat cu pirofilit (indice pierderă la greutate mină la 540°C); cca 700°C, substanță organică de natură carbunose.

Dérivatogramme thermique pour l'échantillon 521.

ATD, analyse thermique différentielle; GTD, gravitation thermique ou vitesse d'échange du poids; GT, gravimétric thermique ou perte par calcination; 460°C, oxydes fibres de fer; 575°C, quartz couple à la pyrophyllite (indique la perte en poids jusqu'à 540°C); environ 700°C, substance organique de nature charbonneuse.

dolomite etc.) și ele influențate de către mișcările tectonice (diafitorizate) și de alte cauze, explică transformarea lor pe de o parte și prezența numai în petece, rămase exclusiv lîngă ele, pe de altă parte.

Ciornei (1970) arată în lucrarea sa că în partea centrală a cristalinului Vaserului, în zona șisturilor mezometamorfice, apare seria de Jneapăni, constituită din roci slab metamorfozate, reprezentate prin

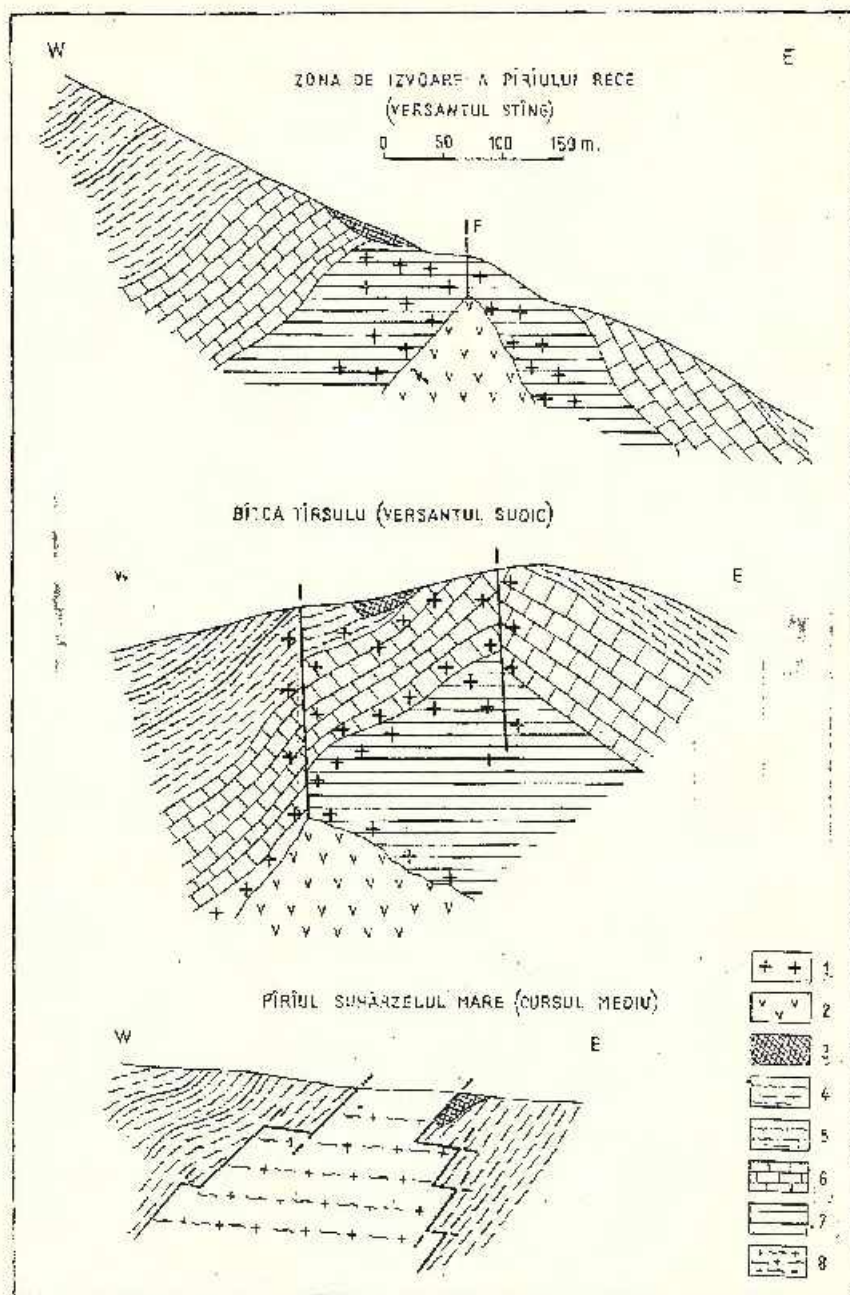


Fig. 2

metapsamite și metapelite, considerate de autor ca fiind de vîrstă Carbonifer inferior. În cadrul șisturilor mezometamorfice, această serie are o dezvoltare mult mai redusă, fiind caracterizată prin solzi (în poziție discordantă). Cercetările efectuate de autorul citat precizează pentru prima dată existența Carboniferului în partea nordică a Carpaților Orientali.

În încheiere, credem că punerea în evidență a acestor roci, pentru prima oară în regiunea citată de noi, va contribui la lămurirea problemelor geologice de aici și poate și la obținerea unei imagini de ansamblu în ceea ce privește existența unui orizont de roci carbonifere în Carpații Orientali.

## BIBLIOGRAFIE

- Bercia I., Bercia Elvira (1970) Contribuții la cunoașterea geologiei regiunii Vatra Dornei-Iacobeni (Carpații Orientali). *An. Inst. Geol.* XXXVIII, București.
- Ciornei P. (1970) Vivire generală asupra mineralizațiilor din bazinul Văii Vaserului (Maramureș). *D.S. Com. Stal. Geol.* LIV/1, București.
- Codarcea-Dessila Marcela (1968) Asupra terenurilor metamorfice din Carpații Orientali. *Acad. R.S.R. Stud. cerc. geol. geof. geogr. seria geol.* 2, 13, București.
- Correns C. (1950) Geochimica et Cosmochimica Acta. I.
- Kräutner Florentina, Mirăuță Elena (1970) Asupra prezenței Devonian-Carboniferului în cristalinul Carpaților Orientali. *D.S. Inst. Geol.* LV/1, București.
- Kräutner H. G. (1968) Vederi noi asupra masivului cristalin al Rodnei. *Acad. R.S.R. Stud. cerc. geol. geof. geogr. seria geol.* 13/2, București.
- Manolescu G. (1933) Das Alter der Schela-Formation. *Bul. Soc. Rom. Geol.* I, București.
- Mușat A. I., Vasilescu Olimpia (1970) Mineralizațiile de sulfuri de la Fărăoane și Arșița (mușii Bistriței - Carpații Orientali). *D. S. Inst. Geol.* LV/2, București.
- Papu V. C. (1960) Petrografia rocilor sedimentare. Ed. științifică, București.
- Rădulescu D. (1965) Petrografia rocilor sedimentare. Ediția a II-a. Ed. didactică și pedagogică, București.

Fig. 2. – Secțiuni geologice ipotetice în zonele unde aflorează Carboniferul, scara 1:5.000. Zona de izvoare a Pârâului Rece (versantul stîng), Bîcă Tîrșului (versantul sudic), Pârâul Suhărzelul Mare (cursul mijlociu).

1. roci afectate hidrotermal; 2. roci bazice intrusiv; 3. roci carbonifere; 4. schisturi chlorito-sericitice ± cuasfittice; 5. schisturi chlorito-sericitice ± cuarțitice ± feldspatice; 6. dolomite; 7. rochi mezometamorfice; 8. gneiss porfiroidal de Pietrosu.

Coupes géologiques hypothétiques dans la zone où affleure le Carbonifère, échelle au 1/5.000<sup>e</sup>. Zone des sources de Pârâul Rece (versant gauche), Bîcă Tîrșului (versant méridional) Pârâul Suhărzelul Mare (cours moyen).

1. roches affectées par les schématites hydrothermales; 2. roches basiques intrusives; 3. roches carbonifères; 4. schistes chlorito-séricitiques = quartzitiques; 5. schistes chlorito-séricitiques ± quartzitiques + feldspathiques; 6. dolomites; 7. roches métamorphiques; 8. gneiss porphyroïde de Pietrosu.



- Răileanu Gr., Năstăseanu S., Mălăcă V. (1957) Cercetări geologice în regiunea Anina-Doman (zona Reșița-Moldova Nouă, Banat). *Bul. Șt. Acad. R.P.R. secția geol.-geogr.*, II/2, București.
- Năstăseanu S. (1958) Contribuții la orizontărca Paleozoicului superior din regiunea Cindanovița-Lupac (Banat). *An. Univ. Parhov*, 18, București.
- Savu M. (1954) Cercetări geologice în regiunea Cirlibaba (Bucovina). *D. S. Inst. Geol.* XXXVIII, București.
- Williams H., Turner J. F., Gilbert M. Ch. (1958) Petrography. Freeman and Company, San Francisco.
- Winchell A. N., Winchell H. (1951) Elements of optical mineralogy. John Wiley et Sons, New York.
- Winkler H. G. F. (1967) Die Genese der Metamorphen Gesteine. Springer Verlag, Berlin.

## SUR LA PRÉSENCE DE CERTAINES ROCHES CARBONIFÈRES DANS LES MONTS DE BISTRITA (CARPATES ORIENTALES)

(Résumé)

Les auteurs signalent — pour la première fois dans cette zone — la présence de certaines roches sédimentaires à métamorphisme faible, qui affleurent comme lambeaux à position tectonique dans la série cristallophyllitique des monts de Bistrița.

On leur attribue l'âge carbonifère à partir des analyses lithologiques, pétrographiques et palinologiques. Ces roches apparaissent en faciès très variés, à savoir : ardoisier, argileux, schistes argileux charbonneux fins, siltites ou grauwackes, toujours à pigment charbonneux. Leur métamorphisme a atteint le degré de début du faciès des schistes verts.



***PETROLOGIA ROCILOR METAMORFICE***

**STRUCTURA ȘI PETROLOGIA SISTURILOR CRISTALINE DIN  
REGIUNEA ȘINCA NOUĂ-HOLBAV  
(MUNTII FĂGĂRAȘ)<sup>1</sup>**

DE

MIHAI LAMBIE SAVU, ALFRED C. SCHUSTER<sup>2</sup>

**Abstract**

Structure and Petrology of the Crystalline Schists from the Șinca Nouă-Holbaș Area (Făgăraș Mountains). The Upper Ante-proterozoic crystalline schists from the Șinca Nouă-Holbaș region pertain to two metamorphic series: the Gumpăna mesometamorphic series and the Făgăraș epimetamorphic series. The first series includes several complexes of crystalline rocks. Owing to pre-Baikalian movements the crystalline schists from this zone located within the Carpathian Bend have marked a folding under the control of two directions of tectonical transport. The first has determined folds parallel with the structural axis of the Carpathian range, whereas the second led to the formation of some hemianticinal and synclinal structures perpendicular to the same axis, and which predominate in the inner side of the Bend. Under the control of the regional metamorphic factors, which has displayed in temperature conditions ranging from 450 to 600°C and pressure from 4 to 6 Kb, four metamorphic zones which may be distinguished by their metamorphism isogrades, have formed and namely: the biotite zone, the almandine zone, the staurolite zone and the staurolite-kyanite zone each with parageneses of characteristic minerals. The migmatization processes which have displayed at lower levels show a metasomatic origin, and have been determined by solutions rich in K, that have migrated from the deep anatexis zones where the granitoid magma had formed, the latter generating small scale intrusions of synorogenic granodiorites which occur within the eye migmatite complex. The retrometamorphism processes belong to two different types: an autoretromorphism process determined by late pre-Baikalian metamorphic solutions, and an allometretromorphism process determined by Hercynian movements. The crystalline schists are crossed by Mesozoic vein rocks.

<sup>1</sup> Comunicare în ședință din 15 mai 1970.

<sup>2</sup> Institutul Geologic, Șos. Kiseleff nr. 55, București.



### Introducere

Regiunea Șinca Nouă-Holbay este situată în extremitatea nord-estică a munților Făgăraș. Primele observații, în general cu caracter informativ, asupra șisturilor cristaline din această regiune au fost făcute de Meschendorfer (1860), Hauner și Stache (1863) și Wachner (1915). În lucrările de sinteză asupra munților Făgăraș, Primics (1884), Reinhard (1910) și Ghika-Budești (1940) cuprind în ansamblu cercetărilor întreprinse regiunea de la vest de cea studiată de noi.

În anul 1930, Schmidt efectuează cercetări mai detaliate în partea de nord-est a munților Făgăraș, separând trei serii de șisturi cristaline. În concepția sa, formațiunile epimetamorfice ale seriei de Ciuta, care formează sinclinalul de Șinca Nouă, cuprind și depozite sedimentare laminate, ca gresii, conglomerate, calcare și dolomite de vîrstă eventual permō-triasică.

Manilici (1956) reia cercetările geologice în această regiune, acordind o atenție deosebită rocilor eruptive filoniene mezozoice. În șisturile cristaline separă seria de Holbay care ar cuprinde zona gnaiseelor oculare, gnaisele și micașisturile și seria epimetamorfică de Ciuta în care deosebește filite, șisturi cloritoase și cuarțite grafitoase.

În 1964, Dimitrescu cercetează regiunea situată la vest de Șinca Nouă, în care regăsește serile metamorfice de Cumpănu și Făgăraș separate de Ghika-Budești (1940) mai la vest și seria de Ciuta stabilită de Schmidt (1930).

Depozitele sedimentare postmetamorfice și tectonica alpină a regiunii au fost studiate amănumit de Sandulescu (1966).

În ultimii ani, Micu<sup>3</sup> și Micu, Paraschivescu<sup>4</sup> efectuează cercetări cartografice și petrografice mai detaliate în regiunea Poiana Mărului-Holbay-Șinca Nouă. Acești cercetători mențin denumirile celor două serii de Holbay și de Ciuta, în ultima cuprinzind însă,

<sup>3</sup> C. Micu. Raport asupra prospecțiunilor geologice pentru minereuri neferoase și pământuri rare în zona Poiana Mărului-Șinca Nouă (partea de nord-est a Munților Făgăraș). 1966. Arh. Inst. Geol. București.

<sup>4</sup> C. Micu, C. Paraschivescu. Raport asupra prospecțiunilor geologice pentru minereuri neferoase și metale rare în regiunea Poiana Mărului-Holbay (partea de nord-est a Munților Făgăraș). 1967. Arh. Inst. Geol. București.

atât rociile epimetamorfice, cît și pe cele mezometamorfice diafitorizate. În cadrul seriei de Holbaș ei separă din punct de vedere petrografic mai multe grupe de roci.

În vederea întocmirii hărții geologice la scara 1 : 50.000, foaia Codlea, noi am efectuat în anul 1969 cercetări detaliante privind stratigrafia, tectonica primară și petrologia șisturilor cristaline din regiunea Șinca Nouă-Holbaș, aspecte care nu fuseseră abordate în lucrările cercetătorilor anteriori. Scopul lucrării de față este de a prezenta rezultatele acestor cercetări și de a stabili unele concluzii de ordin mai general, privind condițiile de metamorfism din această regiune în comparație cu procesele metamorfice din alte regiuni ale Carpaților Meridionali.

### Stratigrafia șisturilor cristaline

Șisturile cristaline precambriene sunt cele mai vechi formațiuni geologice din regiune. Acestea suportă discordant în partea de nord depozite permiene, care în timpul mișcărilor hercinice finale au fost prinse sub o importantă falie de încălcătoare (pl. III). În ciclul alpin regiunea a fost acoperită de depozite sedimentare mezozoice și neozoice. Mișcările alpine au determinat o serie de fracturi care au adus șisturile cristaline în raporturi tectonice cu depozitele sedimentare mezozoice (Sandulescu, 1966), atât în partea de est, cît și de nord a regiunii.

Șisturile cristaline din regiune aparțin, după cum au arătat și cercetătorii anteriori, la două serii metamorfice: seria mezometamorfică de Cumpăna și seria epimetamorfică de Făgăraș (pl. III). Menționăm că în vederea uniformizării și a posibilităților de corelare, pentru denumirea seriilor metamorfice separate am adoptat denumirile seriilor echivalente din vestul munților Făgăraș, care au început să fie utilizate mai frecvent în ultimul timp, indicând alături și vechea denumire.

A) *Seria de Cumpăna* cuprinde formațiunile echivalente stratigrafice cu cele separate de Ghika-Budești (1940) și Dimitrescu (1964) în vestul munților Făgăraș și înglobează în cea mai mare parte șisturile cristaline înădrăute de cercetătorii anteriori la seria de Holbaș. În cadrul acestei serii noi am separat trei complexe de roci metamorfice:

a) Complexul migmatitelor de Cumpăna-Holbaș (1800 m grosime) cuprinde formațiunile metamorfice cele mai infe-

rioare, la zi, ale seriei mezometamorfice. Acest complex se dezvoltă în partea de sud-est a regiunii, între Măgura Codlei, dealul Stîmbavului și localitatea Holbav și constă în principal din migmatite oculare — oftalmite (fig. 1) și migmatite lenticulare, în care se intercalează rar gnaise



Fig. 1. — Migmatite oculare pe valea Holbavului, în sat.

Migmatites ocellées dans la vallée d'Holbav, dans le village.

cuarțo-feldspatice și mici lentile de granodiorite sau de separații aplitice paralele.

b) **C o m p l e x u l g n a i s e l o r**, cu o grosime de 1500 m, urmează peste complexul migmatitelor și se dezvoltă spre nord-vest pînă la fâlia majoră pîrul Lupului (pl. III) care îintrerupe succesiunea stratigrafică a seriei. Acest complex este destul de heterogen, fiind alcătuit dintr-un orizont de gnaise cuarțo-feldspatice situat în bază, în care se intercalează paragnaise cu muscovit și biotit, paragnaise biotitice, migmatite oculare fine (gnaise noduloase) și cîteva lentile de amfibolite; urmează un orizont de paragnaise cu biotit și muscovit care prezintă la rîndul său intercalări de gnaise cuarțo-feldspatice, rar micașisturi și gnaise amfibolice; în continuare succede un orizont format din micașisturi cu staurolit și disten.

c) **C o m p l e x u l p a r a g n a i s e l o r și m i c a ș i s t u r i l o r** urmează la nord-vest de fâlia pîrul Lupului și se dezvoltă pînă în virful Ciuta. Acest complex este, de asemenea, foarte variat din punct de vedere litologic, fiind alcătuit din alternanțe dese de paragnaise cu muscovit și biotit — care predomină — și micașisturi cu staurolit și disten în partea sa inferioară, micașisturi cu staurolit în partea mediană și micașisturi cu granat în partea superioară. Apăr subordonat și intercalări de gnaise cuarțo-feldspatice cu muscovit și biotit, euarțite și cuarțite micacee și subordonat ortoamfibolite și sisturi amfibolice.

B) *Seria de Făgăraș*. Peste complexul superior al seriei de Cumpăna urmează în continuare formațiunile mai slab metamorfozate ale seriei de Făgăraș, cu o grosime de 250 m. Aceste formațiuni considerăm că sunt echivalente, stratigrafic, cu cele din baza seriei de Făgăraș descrise de Ghika-Budești (1940) și Dimitrescu (1964) la vest de Șinca Nouă. Seria cuprinde formațiunile slab metamorfozate atribuite de Schmidt (1930), Manilici (1956), Micu<sup>5</sup> seriei de Ciunta, exclusiv formațiunile sedimentare și roile retrometamorfozate și lamine. Această serie se dezvoltă pe o suprafață restrinsă în axul sinclinalului Șinca Nouă, formațiunile sale fiind răspândite în bazinul părăielor Mesteacănnului și Fluenșteilor, la nord-vest de vîrfurile Ciunta și Tilfa. Ea este alcătuită predominant din sisturi micacee fine cu biotit și clorit, în care apar intercalări subțiri de sisturi cuarțitice micacee și cîteva lentile de cuarțite grafitoase negre.

În ceea ce privește vîrstă acestor două serii cristaline, pînă în prezent nu sunt date sigure. Constatăm însă, că stratigrafia lor este foarte asemănătoare cu aceea a celorlalte serii cristaline din Carpații Meridionali, în special cu cele din munții Semenic (Savu, 1970 a) și deci, ele trebuie să aibă aceeași vîrstă ante-proterozoic — superioară ca și aceasta. Bazați pe considerente de ordin stratigrafic și de vîrstă absolută, Giuşcă et al. (1969) au arătat că aceste serii cristaline s-au format într-un ciclu tectono-magmatic prebaicalian-postcarelian.

Pe baza litologiei acestor serii se poate stabili că în vechiul geo-sinclusal s-au depus la început depozite terigene, în general psamitice și psamo-pelitice, iar în partea finală au predominat cele pelitice. Orto-amfibolitele și sisturile amfibolice reprezintă produsele metamorfozate ale magmatismului inițial al acestui ciclu, iar miciile lentile de granodiorite gnaisice din complexul migmatitelor sunt indicațoare ale activității unui magmatism sinogen acid.

### Teotonica primară a sistemelor cristaline

Sub influența mișcărilor diastrofice de la sfîrșitul ciclului prebaicalian, în timpul cărora are loc și procesul de metamorfism al celor două serii cristaline, formațiunile din partea de sud-est a regiunii sunt cutate paralel cu orientarea axului tectonic major al catenei carpatice în zona de curbură. Formațiunile din partea de nord-vest a regiunii, situate la interiorul curburii arcului carpatice, sunt antrenate într-o serie de struc-

<sup>5</sup> Op. cit. pet. 3.

turi hemianticlinale și sinclinală orientate pe direcția WNW-ESE, diferită de orientarea axului catenei carpatică (pl. III, secțiunea II). Între acestea distingem sinclinalul Șinca Nouă-Stimbaș în axul căruia se situează formațiunile seriei de Făgăraș. La nord de acesta se remarcă un hemianticlinal și un sinclinal orientate paralel cu el dar mai puțin importante.

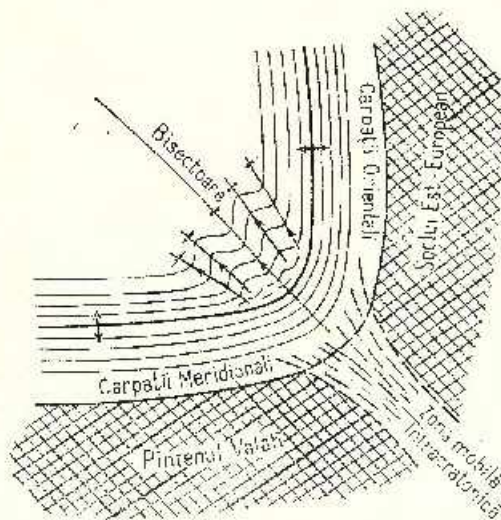


Fig. 2. — Efectul de curbură asupra stilului de cutare al formațiunilor metamorfice prebaicaliene.

Effet de la courbure des Carpates sur le style de plissement des formations métamorphiques prébaïkalienne.

O structură hemianticlinală se mai schițează și la sud-vest de bazinul văii Șinca Nouă.

Această structură complicată a șisturilor cristaline prebaicaliene de la interiorul curburii Carpaților a fost determinată de existență în timpul cutărilor a două direcții de transport tectonic, determinate la rîndul lor de impingerile socului continental arhaic-carelian, est-european și de pintenul valah al acestuia, situat la sud. Sub influența acestor impingeri, cutarea formațiunilor a avut atât tendința de a se orienta paralel cu marginile socului continental, respectiv paralel cu axul structural major al catenei carpatică, cît și de a forma cută orientate pe direcția WNW-ESE, care reprezintă rezultante ale celor două forțe (fig. 2). Acestea din urmă se orientează paralel cu o linie bisectoare care, separând curbura Carpaților, s-ar continua spre WNW prin zona mediană a Munților Apuseni, linie aproximativ similară cu linia Someșului imaginată de Stille (1953).

Tendința de orientare a structurilor pe direcția axului major al catenei carpatică a fost predominantă în zona axială a catenei și la exteriorul său, în timp ce tendința de orientare pe direcția WNW-ESE a fost

mai accentuată la interiorul catenei, intensitatea acesteia din urmă crescând cu cît ne îndepărăm de axul structural major al catenei. În ambele zone însă, se resimt ambele mișcări, astfel că în zona internă cutile principale ( $l_1$ ), orientate pe direcția WNW-ESE, sunt intersectate de cuti secundare ( $l_2$ ) orientate pe direcția NNE-SSW (pl. III, secțiunea I).

Fig. 3.—Foliația ( $S_1$ ) paralelă cu stratificația micaștiurilor și paragnaiselor microcruțate de pe valea Șinca Nouă.

Foliation ( $S_1$ ) parallèle à la stratification des micaštistes et des paragneiss microplissés de la vallée Șinca Nouă.



Axele  $b$  ale acestor cuti și microcuti (fig. 3), proiectate pe diagramele structurale demonstrează clar aceste fenomene (fig. 4).

Maximele de pe diagramele pentru liniații din complexul superior al seriei de Cumpăna și din seria de Făgăraș, situate la vest de fâlia pîrului Lupului, în zona de la interiorul catenei carpatici, pun în evidență un sistem de liniații ( $l_1$ ) orientate pe direcția N  $74^\circ$ W, care se afundă cu  $26^\circ$  spre WNW (fig. 4 a) și un al doilea sistem de liniații ( $l_2$ ) orientate pe direcția N  $22^\circ$ E, afundindu-se cu  $44^\circ$  spre SSW (fig. 4 b).

Pe diagrama structurală pentru liniații din aria de dezvoltare a complexelor inferioare ale seriei de Cumpăna, situată în zona axială a catenei carpatici, la est de fâlia pîrului Lupului (fig. 4 c), liniații sunt distribuite astfel:  $l_1$  prezintă o concentrare pe direcția NW, iar  $l_2$  se grupează pe direcția NNE, direcții în care se și afundă. Aceste orientări marchează un paralelism evident cu liniații de la interiorul curburii.

Fisurile măsurate în toată regiunea cercetată formează pe diagrama din figura 4 d trei maxime importante: unul din maxime corespunde fisurilor orientate pe direcția N  $11^\circ$ E/ $75^\circ$ S care ar reprezenta un sistem  $ac$  în raport cu structurile  $l_1$ , respectiv  $bc$  în raport cu structurile  $l_2$  și două maxime, unul corespunzînd fisurilor orientate pe direcția N  $35^\circ$ W/ $76^\circ$ N, și altul corespunzînd fisurilor orientate pe direcția N  $76^\circ$ E/ $63^\circ$ N, reprezentând sisteme diagonale față de ambele structuri.

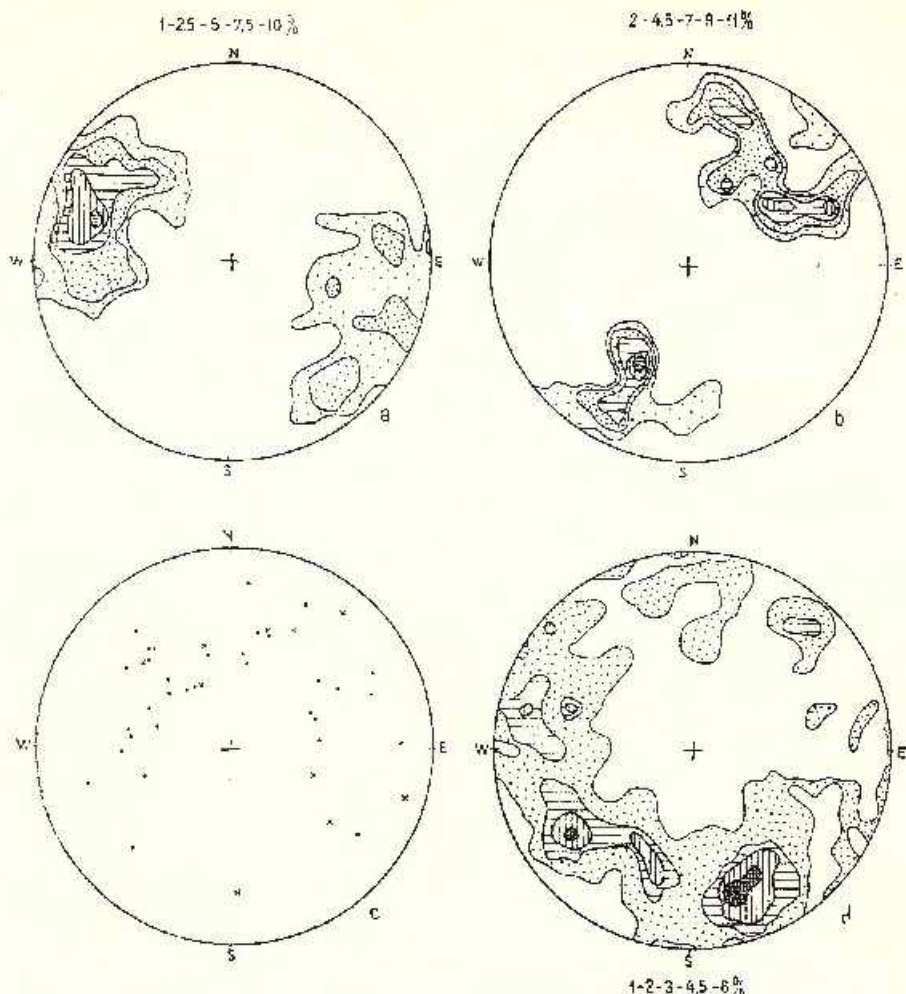


Fig. 4. — Diagramme structurale.

a. diagramme des biotites  $I_1$  (114  $I_1$ ) de la zone interne à la courbure caténée parallèles isolines : 1-2,5-5-7,5-10 % ; b. diagramme des lepidites  $I_2$  (44  $I_2$ ) de la zone externe ; isolines : 2-4,5-7-9-11 % ; c. diagramme des lepidites  $I_2$  (•) et  $I_2$  (×) de la partie de sud-est, située dans la zone axiale de la chaîne carpathique ; d. diagramme des fissures (242 fissures) de la région Sinaia-Nord-Holbav ; isolines : 1-2-3-4,5-6 %.

#### Diagrammes structuraux.

a. diagramme des biotites  $I_1$  (114  $I_1$ ) de la zone interne de la courbure des Carpates ; isolines : 1-2,5-5-7,5-10 % ; b. diagramme des lésédites  $I_2$  (44  $I_2$ ) de la même zone ; isolines : 2-4,5-7-9-11 % ; c. diagramme des lésédites  $I_2$  (•) et  $I_2$  (×) de la partie de sud-est, située dans la zone axiale de la chaîne carpathique ; d. diagramme des fissures (242 fissures) de la région de Sinaia-Nord-Holbav ; isolines : 1-2-3-4,5-6 %.

### Zone de métamorphisme

Sub controlul factorilor metamorfismului regional, formațiunile celor două serii au fost metamorfozate în condițiile faciesului albit-epidot-

amfibolitic și ale faciesului amfibolitelor cu almandin, lăudă naștere mai multe zone metamorfice, determinate pe baza distribuției mineralelor – index. Cercetările noastre nu le săn expuse în prezent decit zona cu biotit, zona cu almandin, zona cu staurolit și zona cu staurolit și disten, separate între ele prin izogradele de metamorfism (pl. III).

a) Zona cu biotit, cu o grosime de aproximativ 200 m, se suprapune peste cea mai mare parte a seriei de Făgăraș. În cuprinsul ei apar roci cu cristalinitate redusă și cu aspect de filite, în care sunt caracteristice paragenezele de mai jos.

Micașisturi și sisturi cuarțitice :

1. Cuarț-plagioclaz-biotit (elorit)-muscovit-epidot;
2. Cuarț-biotit (elorit)-muscovit.

Cuarțite grafitoase :

3. Cuarț-grafit-muscovit.

Biotitul, mineralul critic al acestei zone, se prezintă în lamele cu următorul pleocroism : Ng = Nm – brun-verde oliv; Np – galben. El este înlocuit sau concrește cu un elorit de tipul sheridanit. Epidotul este un pistătit care formează cristale fine, idiomorfe sau cu contur neregulat, slab pleocroice. Plagioclazul ( $An_{10-12}$ ) apare în cantitate mică, sub formă de cristaloblaste maclate polisintetic și slab sericitizate. Ca minerale accesorii apar zircon, turmalină și magnetit.

b) Zona cu almandin, de 1800 m grosime, se suprapune peste partea inferioară a seriei de Făgăraș și peste partea superioară a complexului paragnaiselor și micașisturilor din seria de Cumpăna. Cristalinitatea rocilor rămâne în general fină. Sunt caracteristice paragenezele următoare :

Micașisturi :

4. Cuarț-plagioclaz-granat-biotit-muscovit (-grafit).

Sisturi cuarțitice :

5. Cuarț-plagioclaz-granat-biotit-muscovit;
6. Cuarț-plagioclaz-muscovit.

Cuarțite :

7. Cuarț-biotit-muscovit (-caleit).

Paragnaise :

8. Cuarț-plagioclaz (-granat)-biotit-muscovit.

Mineralul critic pentru această zonă este granatul care se prezintă în porfiroblaste de 2-3 mm diametrul. Acestea prezintă frumoase structuri și determinate de incluziunile de cuarț, mica și un praf fin de minerale

opace, care demonstrează rotirea granatului în timpul cristalizării sincinematice. În paragnaise el crește peste foliația rocii incluzând granule de cuarț, eventual lamele de micaș, orientate paralel cu sistozitatea rocii ( $Se$ ), determinând tipul de structură helicitică ce arată că structura mai compactă a gnaisului nu a permis rotirea granatului. Pe fisuri, granatul este înlocuit cu clorit, mai ales în zona de diaforeză.

Plagioclazul ( $An_{12-15}$ ) se prezintă în cristale maclate polisintetic.

Biotitul formează lamele bine dezvoltate, asociate cu lamele de muscovit, cu care formează împreună benzi paralele sau microcutate în rocile acestei zone. Pleocroismul său este  $Ng - Nm -$  brun;  $Np -$  gălbui. În zonele afectate de retromorfism prezintă separații de sagenit, iar cind este înlocuit de clorit (penin) separă granule opace de oxizi de fier.

Ca minerale opace menționăm zircon, turmalină uneori cu structură zonară și magnetit.

În rocile bazice de origine magmatogenă, cum sunt ortoamfibolitele, s-a format următoarea parageneză :

#### 9. Plagioclaz-hornblendă-cuarț-sfen.

Plagioclazul formează cristale cu contur neregulat, maclate polisintetic și slab sericitizate. Hornblenda se prezintă în cristale alungite pe direcția lineației rocii, având incluziuni de sfen. Prezintă următoarele proprietăți optice:  $Ng -$  albastru-verzui;  $Nm -$  verde-slab bruniu;  $Np -$  gălbui-verzui;  $e: Ng = 23^\circ$ .

c) Zona cu staurolit, cu o grosime de 1000 m, se suprapune peste partea mediană a complexului gnaiselor și micașisturilor din seria de Cumpăna (pl. III). În cuprinsul ei se găsesc micașisturi și paragnaise a căror cristalinitate mai avansată indică deja condițiile de metamorfism ale faciesului amfibolitelor cu almandin. În această zonă sunt caracteristice diferite parageneze formate în funcție de compoziția materialului inițial.

#### Micașisturi :

10. Cuarț-plagioclaz-granat-staurolit-biotit-muscovit;
11. Cuarț-plagioclaz-granat-biotit-muscovit;
12. Cuarț-plagioclaz-biotit-muscovit.

#### Micașisturi cuarțitice și cuarțite :

13. Cuarț-plagioclaz (-granat)-biotit-muscovit.

#### Paragnaise și gnaise fine biotitice :

14. Cuarț-plagioclaz (-microclin-granat)-biotit-muscovit.

Staurolitul, mineralul critic în această zonă, se dezvoltă ca și granatul în porfiroblaste de 2-3 mm diametrul, care conferă micașisturilor structură porfiroblastică sau în cristale fine, având în general următorul

pleocroism : Ng — galben-auriu ; Nm — galben ; Np -- incolor-slab gălbui. Uneori este înlocuit cu lamele fine de muscovit. După cum rezultă din paragenezele de mai sus, staurolitul nu apare decât în rocile a căror compoziție chimică a permis formarea lui ; el lipsește în general în unele micașisturi, paragnaise și cuarțite, roci mai sărace în fier, magnezin și aluminiu.

Plagioclazul ( $An_{12}$ ) apare în cristale oblate cu contur neregulat, uneori și sub formă de porfiroblaste maclate polisintetic și cu structură poichiloblastică, inclusiv în creșterea sa cuarț, granat și lamele de biotit dispuse paralel cu foliația rocii, ceea ce arată că el s-a format în stadiul final al cristalizării. Este uneori slab sericitizat. În unele gnaise în care apare și microclin, în contact cu acest mineral plagioclazul formează cu cuarțul concreșteri mirmekitice fine.

Granatul se prezintă în cristale hipidiomorfe, cu structură de atol sau scheletiforme și în general cu incluziuni de granule fine opace, cuarț și mice. În unele micașisturi incluziunile de cuarț alcătuiesc în granat o structură și orientată diferit de foliația rocii ( $Se$ ). Uneori este slab cloritizat pe fisuri sau pe margini.

Biotitul prezintă incluziuni de zircon cu aureole pleocroice și separații de sagenit. În unele roci apare un fenomen de recristalizare a lamelelor mari de biotit în lamele mai fine, determinat probabil de soluțiile care migrau din zona de formare a migmatitelor oculare, situată la 3-4 km mai jos. Uneori este slab cloritizat.

Unele roci din această zonă, cu structură blastoporfirică, au aspect de porfiroide, deși au suferit un metamorfism mai avansat decât cel al porfiroidelor clasice cunoscute în faciesul șisturilor verzi. Ele reprezintă probabil tufuri sau tufite acide metamorfozate și constau dintr-o masă fundamentală șistoasă, constituită din cuarț, plagioclaz și biotit, în care apar cristale oblate mai mari de cuarț, feldspat potasic și plagioclaz.

Mineralele accesorie din rocile acestei zone sunt reprezentate prin zircon, apatit, turmalină, rutil și magnetit sau ilmenit.

d) Zona cu staurolit și disten, cu o grosime de 4000 m, se suprapune peste formațiunile din baza complexului gnaiselor și micașisturilor de la vest de Ialia pîrului Lupului, precum și peste complexele gnaiselor și migmatitelor. Rocile din această zonă prezintă cristalinitatea cea mai avansată și pe alocuri intense fenomene de migmatizare. Cele mai caracteristice parageneze minerale din rocile silico-aluminoase sunt următoarele :

Micașisturi :

15. Cuarț-plagioclaz-staurolit-disten-granat-biotit-muscovit ;

16. Cuarț-plagioclaz-disten-granat-biotit(-muscovit).

Micașisturi cuarțitice :

17. Cuarț-plagioclaz-staurolit-granat-biotit-muscovit.

Paragnaise :

18. Cuarț-plagioclaz (-granat)-biotit(-muscovit).

Gnaisse cuarțo-feldspatice :

19. Cuarț-plagioclaz-microclin(-granat)-biotit-muscovit.

Mineralele critice pentru accastă zonă sunt atât staurolitul cît și distenul. Distenul formează cristaloblaste lungi de 5-6 mm, orientate paralel cu axul  $b$  al structurilor  $I_1$  și intercalate în benzile mai bogate în micaș, fiind uneori indoite în jurul porfiroblastelor de granat (pl. I, fig. 1). El lipsește în rocile mai sărace în aluminiu. Staurolitul apare cu aceleași caracteristici ca și în zona anteroioară. De remarcat că în paragenezele unor micașisturi el lipsește, indiferent de poziția acestora în cuprinsul zonei metamorfice. Plagioclazul ( $An_{14-20}$ ) maectat polisintetic după legile albit, albit-Karlsbad și periclin, formează cristaloblaste cu contur neregulat, uneori alungite.

În gnaisele cuarțo-feldspatice, roci leucocrate provenite probabil din metamorfozarea unor gresii cu caracter arcozian sau a unor tufite sau tufuri acide, apare frecvent și microclinul, în cristale cu contur neregulat și cu structură caracteristică (pl. I, fig. 2).

Granatul se prezintă fie în cristale mai fine, scheletiforme sau cu structură de atol (pl. I, fig. 3), fie în porfiroblaste cu diametrul de 3-5 mm. El este de obicei întesat cu un praf fin opac și include pe margini sau în interior granule de cuarț, lamele de micaș și cristale de rutil brun. Incluziunile formează în partea internă a cristalelor structuri și care arată că aceasta a crescut în timpul mișcărilor de cutare, în timp ce pe marginile porfiroblastelor cu contur neregulat incluziunile de praf opac sunt dispuse în mod regulat, în zone paralele cu fețele cristalografice virtuale, demonstrând astfel că marginile cristalelor s-au format în condiții relativ statice, cind mișcarea incetase sau era foarte slabă; uneori și incluziunile de cuarț marginale sunt dispuse zonar (pl. I, fig. 4).

Lamelele de biotit sunt mai larg dezvoltate în această zonă metamorfică și se asociază cu muscovit. Pleocroismul biotitului este în general mai închis decât în celelalte zone metamorfice: Ng — Nm — brun închis; Np — galben. Pe alocuri biotitul prezintă separații de sogenit sau este eloritizat, separind granule opace de oxizi de fier.

Printre mineralele accesoria din rocile silico-aluminoase semnalăm zirconul, apalitul, turmalina, rutitul, rutilul ferifer și magnetitul.

Rocile bazice de origine magmatogenă sau tufitogenă prezintă paragenezele de mai jos.

**Amfibolite :**

20. Plagioclaz-hornblendă-biotit-euarț.

Gnaisc cu amfibol și biotit :

21. Plagioclaz-hornblendă-granat-biotit-euarț.

Fig. 5. — Caracterul selectiv al procesului de migmatizare care afectează mai intens unele străzi de roci (dreapta) și mai slab altele (stinga).

Valea Holtavutui.

Caractère selectif du processus de migmatisation qui a affecté d'une manière plus intense certaines couches de roches (à droite) et d'une manière moins intense d'autres (à gauche).

Vallée d'Holtavut.



Plagioclazul ( $An_{57}$ ) din ambele parageneze este mai bazic decât în restul formațiunilor din regiune. Se prezintă în cristaloblaste măcicate polisintetic, uneori slab alterate. Hornblenda este o varietate comună măciată după față 100, cu următoarele caracteristici optice:  $Ng$  — albastru-verzui;  $Np$  — verde-brun;  $Np$  — gălbui;  $e$ :  $Ng = 24^\circ$ . Biotitul apare în ambele parageneze, dar este mai bogat în gnaisele cu amfiboli de origine tufitogenă, în care atinge aproximativ aceeași proporție ca și amfibolul. Cantitatea de euarț este de asemenea mai ridicată în aceste gnaisce.

În nivelele mai profunde ale acestei zone metamorfice se dezvoltă fenomene de migmatizare. În complexul gnaiselor procesul este mai slab, astfel că pe substratul gnaisic (paleosoma) se formează mici fenoblaste de feldspat potasic, rezultând gnais nodulară, ale căror parageneze ambiguie au rezultat din mineralele paleosomei la care se adaugă feldspatul potasic de origine metasomatică. Uneori se separă și mici benzi leuco-crucate cu aspect aplitic, caracteristice mai ales în gnaisele euarț-feldspatic sau filonașe aplitice discordante.

Fenomenul de migmatizare este foarte avansat în complexul migmatitelor oculare, situat în partea inferioară a zonii și se manifestă de

obicei selectiv (Mehnert, 1968), aşa cum reiese din figura 5. Rezultă roci cu următoarea parageneză mixtă :

**22. Quarț-microclin-plagioclaz-biotit-muscovit.**

Paleosoma migmatitelor oculare constituuită din quart, plagioclaz, microclin, biotit și muscovit este ondulată în jurul megablastelor de feldspat potasic, demonstrând că acestea din urmă s-au format în timpul

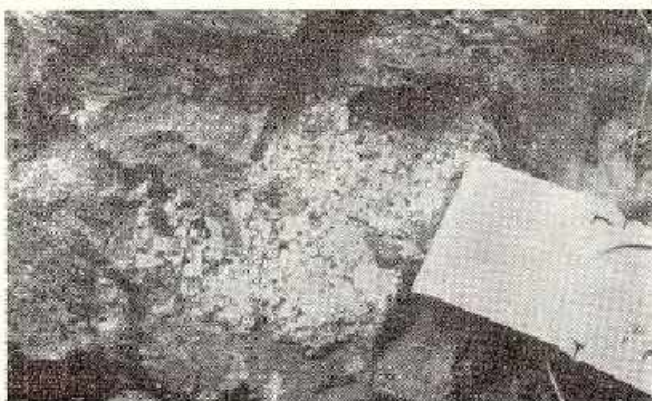


Fig. 6. — Cumuloblaste de feldspat potasic, quart și albite-oligoclase în migmatitele de la Holbav.

Cumuloblastes de feldspath potassique, quartz et albite-oligooclase dans les migmatites de Holbav.

cristalizării paleosomei în condiții sincinematice. Plagioclazul ( $An_{12}$ ), care apare în cristale cu contur neregulat, formează numeroase concreșteri mirmekitice (pl. II, fig. 1).

Megablastele de feldspat potasic prezintă structura în grătar a microclinului mai ales pe margini, de unde aceasta pătrunde neregulat în interior. În unele cazuri, fenoblastele mai mici sunt maclate după legea Karlsbad și prezintă structură pertitică (pl. II, fig. 2), de unde rezultă că aceste proprietăți ale feldspatului potasic nu se formează numai în condiții magmatice, ci și în condițiile unui proces metasomatic care are loc probabil la temperatură mai mare de  $660^{\circ}\text{C}$  și presiune înaltă. Uneori feldspatul potasic formează împreună cu quartul și plagioclazul acid cumuloblaste (fig. 6) sau lenticile și benzi parallele cu foliația migmatitelor.

În apropiere de Holbav, în migmatitele oculare apar și mici corpuri lenticulare de granodiorite sinorogene cu textură gnaisică, ce conțin un biotit puternic colorat în brun-roșcat.

**Condițiile termodinamice care au controlat procesele de metamorfism și migmatizare**

În cursul metamorfismului celor două serii cristaline separate în regiune, condițiile termodinamice au variat în limite largi. Ele au determinat formarea mai multor zone metamorfice dintre care patru sunt

expuse cercetării noastre — zona cu biotit, zona cu almandin, zona cu staurolit și zona cu staurolit și disten, care se încadrează în faciesul albit-epidot-amfibolitic și faciesul amfibolitelor cu almandin (Eskola, 1939; Turner, 1968). Este evident că deasupra zonei cu biotit trebuie să fi existat o zonă a cloritului, care a fost însă eroată. Nu cunoaștem, de asemenea, grosimea totală a zonei cu staurolit și disten care în munții Semenicului este de 15000 m (Savu, 1969, 1970 a) și nici ce se găsește sub aceasta, eroziunea răminind în prezent doar la nivelul pe care îl cunoaștem.

Analizind grosimea celor patru zone metamorfice, adâncimea și presiunea corespunzătoare la care au luat naștere, precum și temperatura apreciată pe baza temperaturii la care se formează în laborator mineralele index care definesc zonele (Aithaus, 1967; Horschek, 1967) și pe baza cărora am stabilit cele trei izograde de metamorfism figurate pe hartă (pl. III), obținem parametrii condițiilor termodinamice care au controlat metamorfismul progresiv (Tab. 1). Se constată o mare asemănare

TABELUL 1

*Zonile metamorfice și condițiile termodinamice care au controlat genza lor*

Serile cristaline	Faciesurile metamorfice	Zonile metamorfice	Grosimea m	Adâncimea km	Presiunea Kb	Temperatura °C
Seria de Făgărăș	Sisturilor verzi	Zona cu clorit (eroată)	13000-14000	0-14	0-4	0-450
	Albit-epidot-amfibolic (facies de tranziție)	Zona cu biotit	200	14-14,200	≥4	450-470
	Amfibolitelor cu almandin	Zona cu almandin	1800	14,200-16,000	≥4-4,3	470-545
Seria de Gumpăna	Amfibolitelor cu almandin	Zona cu staurolit	1000	18-17	4,3-4,8	545-600
		Zona cu staurolit și disten	≥4000	17-21	4,8-≥6	600-≥600

între condițiile de formare a zonelor metamorfice din această regiune și cele din provincia metamorfică a munților Semenic (Savu, 1969, 1970 a), asemănarea mergeând pînă acolo, încit zonele cu staurolit din ambele regiuni au grosimea de aproximativ 1000 m. Aceste condiții de PT și paragenezele formate în șisturile cristaline caracterizează condițiile termodinamice ale provinciei baroviene din munții Grempian (Scotia)

și se încadrează la seria de faciesuri standard disten-sillimanit de presiune finală (Miyashiro, 1961) ca și provincia din munții Semenicului.

Asemănarea dintre aceste două provincii metamorfice din Carpații Meridionali reiese clar din diagrama condițiilor termodynamice construită pentru munții Semenic (1969), pe care sunt traseate curbele gradientului PT pentru ambele regiuni (fig. 7). Cele două curbe pornesc din zona cu

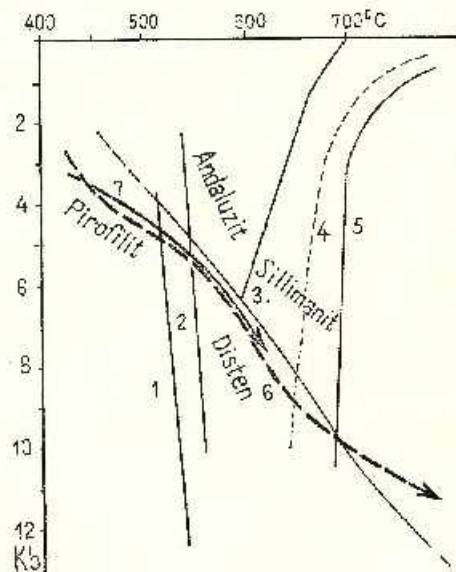


Fig. 7. — Diagrama condițiilor termodynamice.  
1, limite de lăze bi reacția pirofilit = disten + quart + apă (Al + k + a, 1967); 2, limite de lăze în reacția chloritoid + Al-silicat = staurolit + quart + apă (Löschek, 1967); 3, punctul ternar (Al + k + a, 1967); 4, curba de topire a granitului (Tuttle și Bowen, 1958); 5, curba de topire a gnezelor (Winkler, 1960); 6, curba gradientului PT pentru provincia metamorfică din munții Semenic (Savu, 1969); 7, curba gradientului PT pentru provincia metamorfică din munții Făgăraș.

Diagramme révélant les conditions thermodynamiques.

1, limites des phases quant à la réaction pirophilit = diéthite + quartz + eau (Al + k + a, 1967); 2, limites des phases quant à la réaction chloritoïde + Al-silicate = staurolite + quartz + eau (Löschek, 1967); 3, point ternaire (Al + k + a, 1967); 4, courbe de la fonte du granite (Tuttle et Bowen, 1958); 5, courbe de la fonte des gneiss (Winkler, 1960); 6, courbe du gradient PT concernant la province métamorphique des monts Semenic (Savu, 1969); 7, courbe du gradient PT concernant la province métamorphique des monts Făgăraș.

biotit formată la temperatura de aproximativ  $450^{\circ}\text{C}$  și presiunea de 4 Kb și merg paralel cu curbele de stabilitate disten-andaluzit și disten-sillimanit, fiind suprapuse în zona cu almandin și zona cu staurolit, pînă în zona cu staurolit și disten, la temperatura de aproximativ  $600^{\circ}\text{C}$  și presiunea de 6 Kb, respectiv la adîncimea de 21 km.

În regiunea Șinec Nouă-Holbaș, unde eroziunea nu a pătruns decît pînă la zona cu staurolit și disten, curba PT se oprește la nivelul acestor condiții, pe cînd în munții Semenic ea continuă la nivele mai profunde.

Alura curbelor condițiilor termodynamice din ambele provincii metamorfice arată că gradientul geotermic din aria geosinclinalului prebaicalian a fost de  $20\text{-}25^{\circ}/\text{km}$ .

Procesele de migmatizare din regiune s-au manifestat în timpul metamorfismului prebaicalian în aceste condiții termodynamice. După cum rezultă din diagrama din figura 7, în regiunea Șinec Nouă-Holbaș curba gradientului PT nu a ajuns să intersecteze curbele de topire a gra-

nitelor, respectiv nivelele de manifestare a proceselor de anatexie, cum se poate observa în cazul curbei pentru munții Semenic, unde aceste procese sunt frecvente în zonele metamorfice de sub zona cu staurolit și disten. După cum au arătat Winkler (1966) și von Platen (1965), procesul de anatexie începe să se manifeste evident la aproximativ  $625^{\circ}\text{C}$ , temperatură care abia dacă este atinsă în munții Făgăraș în zona cu staurolit și disten.

Înind seamă de procesele intense de migmatizare, de caracterele megablastelor de feldspat potasic din migmatitele oculare, precum și mai ales de prezența în cuprinsul lor a unor lentile de granodiorite sinorogene, ajungem la concluzia că migmatitele din complexul de Cumpăna-Holbaș s-au format prin procese metasomaticice, idee exprimată sub altă formă de Ghikă-Budești (1940) și Dimitrescu (1964) pentru „gnaisicele oculare” din partea de vest a munților Făgăraș. Ele s-au format în condiții sincinematice și au fost generate de soluțiile bogate în  $\text{K}$  ce migrau spre suprafață din zona de anatexie profundă, la nivelele inferioare ale scoarței prebaicaliene, unde se forma magma granitoidă din care au rezultat intruziunile sinorogene acide ale acestui ciclu. Aceste intruziuni au rămas însă în munții Făgăraș la nivele mai inferioare, mici corpuri de granodiorite gnaissice care apar în zona cercetată de noi, ca și mai în vest în valea Vilsanului unde au fost semnalate de Balintoni<sup>6</sup>, sint indicatoare ale acestor intruziuni. Frontul migmatic sincinematic se deplasează în fața intruziunilor granitoide, fiind însoțit de mici injecții de magmă acidă. Este probabil că presiunea tangențială facilitează circulația soluțiilor bogate în  $\text{K}$  pe planele  $S_1$ , pe care se formează megablaste de microclin, în jurul căror paleosoma este ondulată (fig. 1, pl. II, fig. 3).

### Procese de retrometamorfism

După cum s-a arătat în capitolele anterioare, fenomene de înlocuire a mineralelor primare prin altele secundare se întâlnesc aproape în toată regiunea. Observăm însă că aceste transformări au loc în două împrejurări: procese de retromorfism care nu sunt însoțite de modificări mecanice ale rocilor și procese de retromorfism însoțite de fenomene de milonitzare a acestora.

Primul proces este determinat de soluțiile metamorfice eventual și migmatice tîrziu, generate de însuși metamorfismul prebaicalian, care au circulat prin porii și fisurile rocilor, determinând înlocuirea parțială

<sup>6</sup> Comunicare verbală.

a granatului și biotitului cu clorit, a staurolitului cu muscovit și sericităza slabă a plagioclazului, structura și textura rocilor conservindu-se. Acest proces a fost denumit în muntii Semenic autoretromorfism (Savu, 1969, 1970 a). Efectele autoretromorfismului nu au fost marcate pe hartă.

Al doilea tip de retromorfism se dezvoltă în partea de nord-vest a regiunii (pl. III), în lungul faliei hercinice tîrzii — presupusă anterior de Săndulescu<sup>7</sup> — care determină încălcarea șisturilor cristaline peste formațiunile permiene. Sunt afectate discordant atât șisturile din zonele metamorfice mai profunde, cit și cele din zona cu biotit. Fiind un proces postmetamorfic determinat de mișcările hercinice, eventual și alpine, iar apa necesară transformărilor mineralogice fiind furnizată de alte formațiuni decât cele prebaicaliene, acest proces apare ca un alloretromorfism (Savu, 1970 b). În această zonă de alloretromorfism rocile suferă fenomene de recutare, torsionare (pl. II, fig. 4), laminare și milonitzare. Menționăm că așa-zisele conglomerate metamorfozate semnalate de unii cercetători la est și sud de vîrful Ciuta ca fiind situate în baza seriei cu același nume, analizate microscopic ele s-au dovedit a fi brocii formate în aceste condiții pe scâna gnaiselor și micașisturilor din complexul superior al seriei de Cumpăna. Mineralele melanocrate din diferitele zone metamorfice afectate de acest proces sunt înlocuite adesea complet cu clorit — separându-se granule opace de oxizi de fier — staurolit și plagioclazul cu sericit, iar cuarțul suferă fenomene de recristalizare. Un praf fin, opac, invadează uneori rocile milonitizate.

### Roci eruptive mezozoice

Petrografia și petrochimia rocilor filoniene mezozoice care străbat șisturile cristaline (fig. 8) au fost studiate foarte amănușit de Maniliici (1956), care a separat diabaze, diferite varietăți de bostonite, sienite, sienite porfirice, porfire sienitice, aplite sienitice, trahite și porfire cuarțifere, roci pe care le-am întîlnit și noi cu ocazia cercetării șisturilor cristaline. Aceste roci sunt însoțite de mineralizații de sulfuri complexe<sup>8</sup> (Maniliici, 1956) care alcătuiesc în regiune un district metalogenetic caracteristic. Noi nu vom insista asupra acestor aspecte, ci vom încerca să prezintăm distribuția și originea acestor roci.

În regiunea cercetată, cele mai multe filoane de roci eruptive se grupă într-o arie alungită NE-SW, paralel cu falia pîrului Lupului

<sup>7</sup> Comunicare verbală.

<sup>8</sup> D. Giusea. Raport asupra mineralizațiilor plumbu-zincifere din regiunea Șinea Nouă-Zărnești. 1942. Arh. Inst. Geol. București.



(pl. III). O altă zonă mai puțin importantă de răspândire a acestor roci, orientată de asemenea pe această direcție, este situată în bazinul pâraielor Ruda Mare și Ruda Mică. Cu tot paralelismul care există între direcția de alungire a acestor arii și direcția faliei pârâului Lupului, observăm că nu toate filoanele se orientează paralel cu falia (fig. 9). Rezultă că această



Fig. 8. — Filoane concordante și discordante de campitonit în gneisurile de pe valea Holbayului.

Filoans concordants et discordants de campotonite dans les gneiss rencontrés dans la vallée d'Holbay.

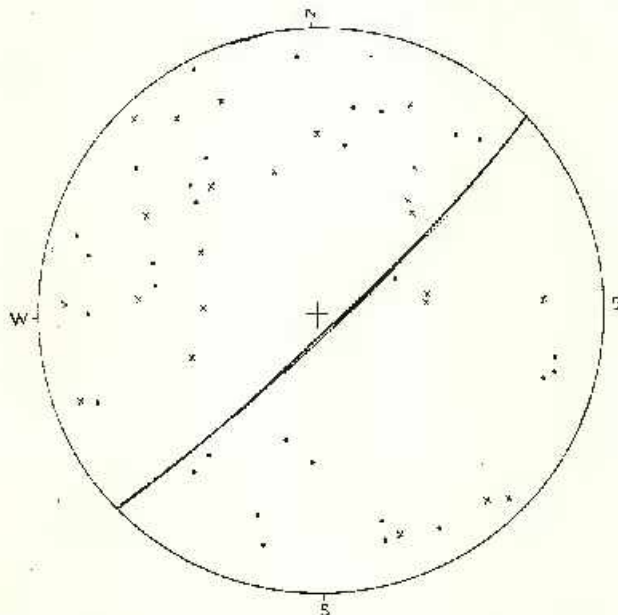


Fig. 9.—Diagramma pentru 22 plane de falie (x) și 29 filoane (.) de roci eruptive mezozoice din regiunea Șinca Nouă-Holbay. Cu linie plină este proiectat planul faliei pârâului Lupului.

Diagramme de 22 plans de faille (x) et 29 filons (.) de roches éruptives mésozoïques de la région de Șinca Nouă-Holbay. En traits continus on a projeté le plan de la faille du ruisseau Lupu.

falie profundă și altele paralele cu ea au servit drept cale de acces a magmelor din adîncime, dar în apropierea suprafeței acestea s-au distribuit în lungul unor falii asociate și probabil, pe cele două sisteme de fisuri primare din sis-

turile cristaline, deoarece cimpurile de concentrare a filoanelor (fig. 9) se suprapun în parte peste maxiinile fisurilor din figura 4 d. Remarcăm în partea de nord-est a regiunii un dyke de sienite porfirice (ortofire), intrus paralel cu falia pîrîul Lupului pe care în extremitatea sa nordică o și străbate, demonstrînd astfel că a fost pus în loc după formarea acesteia. Filoane din același tip de rocă apar în continuare la vest de falie, pînă la confluența văilor Găunoasa și Holbaș, eventual și mai la sud.

Deoarece Maniliici și Vîlcoleanu (1963) au stabilit că roci filoniene sunt de vîrstă mezozoică (liasică), rezultă că falia pîrîul Lupului, pe care acestea o străbat, aparține unui sistem de fracturi de distensiune mai vechi, probabil de la începutul ciclului alpin.

În ceea ce privește originea diferitelor tipuri de roci, este clar că diabazele (bazaltele), bostonitele, ortofirele și chiar porfirele cuarțifere reprezintă produsele magmatismului inițial al ciclului alpin. Prezența în aceeași regiune a sienitelor cuarțifere și a camptonitelor arată că magmatismul inițial a fost urmat în această parte de la curbura Carpaților de o activitate magmatică intrusivă alcătină și acidă ce se încheie cu filoane de lamprofire. Intruziunile posibile produse de această activitate magmatică sunt situate probabil în adâncime, dyke-urile sienitice reprezentând doar apoizile ale lor.

### Concluzii

Sisturile cristaline ante-proterozoic—superioare din regiunea Șinca Nouă-Holbaș aparțin la două serii metamorfice: seria mezometamorfică de Cumpăna (Holbaș) și seria epimetamorfică de Făgăraș (Ciuta). În cadrul primei serii se deosebesc mai multe complexe de roci metamorfice.

În timpul mișcărilor prebaicaliene sisturile cristaline din această zonă de la curbura Carpaților s-au cutat sub acțiunea a două direcții de transport tectonic. Una din acestea a determinat structuri paralele cu axul structural al catenei carpatice predominante în partea de sud-est a regiunii, iar a doua a condus la formarea unor structuri hemianticliniale și sinclinale orientate pe direcția WNW-ESE, perpendicular pe primele, care predomină la interiorul curburii. În ambele zone însă, se resimt efectele celor două direcții de transport tectonic, efectul complimentar fiind slab.

Sub acțiunea metamorfismului regional care s-a manifestat în condiții care au variat între temperaturile de 450-600°C și presiunile de 4-6 Kb, în sisturile cristaline expuse cercetării noastre s-au format patru zone me-

tamorfice : zona cu biotit, zona cu almandin, zona cu staurolit și zona cu staurolit și disten, fiecare cu parageneze de minerale caracteristice și separate între ele prin izogradele de metamorfism.

Procesele de migmatizare, ce s-au manifestat la nivelele inferioare, sunt de origine metasomatică și au fost determinate de soluțiile bogate în K care migrau din zona de anatexie profundă, unde se forma magma granitoidă din care au rezultat mici intruziuni sinorogene de granodiorite care apar în complexul migmatitelor oculare.

Procesele de retromorfism aparțin la două tipuri diferite : un proces de autoretromorfism determinat de soluțiile metamorfice târziu prebaicaliene cu conservarea texturii rocilor și un proces de alloretromorfism determinat de mișcările hercinice tardive și care este însoțit de modificarea mecanică a texturii rocilor.

Rocile filoniene mezozoice, care străbat șisturile cristaline, sunt legate de un sistem de fracturi orientat pe direcția NE-SW. Ele constau din roci bazice și alcaline aparținând magmatismului inițial alpin, care a fost urmat de roci cu caracter intrusiv și filoane de lamprofire.

## BIBLIOGRAFIE

- Aithaus E. (1967) Experimentelle Bestimmung des Stabilitätsbereiches von Disthen (Cyanit). *Naturwissenschaften*, 54, 2.
- Dimitrescu R. (1961) Studiu geologic și petrografic al părții de est a masivului Făgăraș. *An. Com. Geol.* XXIII, București.
- Eskola P. (1939) Die metamorphen Gesteine. In: Barth, Gorrens, Eskola: Die Entstehung der Gesteine. 1939, Berlin.
- Ghikas-Budești S.L. (1940) Les Carpates méridionales centrales (Recherches pétrographiques et géologiques entre le Parang et le Negoi). *An. Inst. Geol.* XX, București.
- Giuseacă D., Savu H., Berejă I., Kräutner H. (1969) Sequence of tectono-magmatic pre-alpine cycles on the territory of Romania. *Acta Geol. Acad. Sci. Hung.* 13.
- Hauer F., Stache G. (1863) Geologie Siebenbürgens. Wien.
- Hoschek G. (1967) Untersuchungen zum Stabilitätsbereich von Chloritoid und Staurolith. *Contr. Mineral. Petrol.* 14, 2.
- Manilici V. (1956) Studiu petrografic al rocilor eruptive, mesozoice, din regiunea Polana Măruhi - Șinca Nouă. *An. Com. Geol.* XXIX, București.
- Vileanu P. (1963) Contribuții la studiul rocilor eruptive din bazinul Codlea. *Asoc. Geol. Carp.-Balc. Congr.* V, 1961, II, București.
- Mehnert K. R. (1968) Migmatites and the origin of granitic rocks. Elsevier, Amsterdam.
- Meschendorfer J. (1860) Die Geburtsarten des Burzenlandes. Brașov.

- Miyashiro A. (1961) Evolution of metamorphic belts. *Journ. Petrology*, 2.
- Platen H. von (1965) Experimental anatexis and genesis of migmatites. In: Controls of Metamorphism. W. S. Pitcher and G. W. Flinn edit. Edinburgh and London.
- Primics G. (1884) Die geologischen Verhältnisse der Fagarascher Alpen und der benachbarten rumänischen Gebirge. *Jahrb. Ung. Geol. Ausl.* VI.
- Reinhard M. (1910) Șisturile cristaline din Munții Făgărașului. *An. Inst. Geol.* III, I.
- Savu II. (1969) Sur les conditions thermodynamiques qui ont contrôlé la genèse des zones métamorphiques des monts Semenic. *Acta Geol. Acad. Sci. Hung.* 13.
- (1970 a) Stratigrafia și izogradele de metamorfism din provineia metamorfică prebaicaliană din munții Semenicului. *An. Inst. Geol.* XXXVIII, București,
  - (1970 b) Structura plutonului granitoid de Șușita și relațiile sale cu formațiunile antihorizontului danubian (Carpății Meridionali). *D.S. Inst. Geol.* LVI/5, București.
- Săndulescu M. (1966) Structura geologică a terenurilor mezozoice de la exteriorul masivului cristalin al Făgărașului. *D.S. Csm. Stat. Geol.* LII/2, București.
- Schmidt O. (1930) Cercetări geologice în ramificațiile nord-estice ale Munților Făgăraș. *D.S. Inst. Geol.* XV, București.
- Stille H. (1953) Der geologische Werdegang der Karpathen. *Geol. Beihefte*, VIII, Hanover.
- Turner F. J. (1968) Metamorphic Petrology, McGraw-Hill, New York.
- Tuttle O. F., Bowen N. L. (1958) Origin of granite in the light of experimental studies in the system  $\text{NaAlSi}_3\text{O}_8 - \text{KAlSi}_3\text{O}_8 - \text{SiO}_2 - \text{H}_2\text{O}$ . *Geol. Soc. America, Mem.* 71.
- Wachner H. (1915) Die Verbindung des Fogaraser und Persanyer Gebirges. *Földt. Közl.* XLV, Budapest.
- Winkler H. G. F. (1966) Der Prozess der Anatexis: seine Bedeutung für die Genese der Migmatite. *Tscherm. min. petrogr. Mitt.* XI, 3-4.

## STRUCTURE ET PÉTROLOGIE DES SCHISTES CRISTALLINS DE LA RÉGION ȘINCA NOUĂ-HOLBAV (MONTS FĂGĂRAȘ) (Résumé)

La région Șinca Nouă-Holbaș est située dans la zone de courbure de la chaîne carpathique, comprenant l'extrême NE du cristallin des monts Făgăraș. Le massif cristallin d'âge anté-protérozoïque supérieur est marginalement recouvert par des dépôts sédimentaires permiens et mésozoïques. Les formations cristallines appartiennent à deux séries métamorphiques : la série mésométamorphique de Cumpăna et la série épimétamorphique de Făgăraș.

A) La série de Cumpăna (la série de Holbaș) comprend trois complexes importants de schistes cristallins : a) Le complexe des migmatites de Cumpăna-Holbaș (1800 m d'épaisseur), situé à la base de la série, se développe au SE de la région et il consiste en principal dans des migmatites ocellées-ophtalmites (fig. 1) et des migmatites lenticulaires à faibles intercalations de gneiss quartzo-feldspathiques et de petits corps lenticulaires de granodiorites. b) Le complexe des gneiss (1500 m d'épaisseur), plus hétérogène, est constitué d'un horizon de gneiss quartzo-feldspathiques qui supporte un horizon de paragneiss à muscovite et biotite, sur lequel se superpose vers le NW, jusqu'à la faille du ruisseau Lupului, un horizon à micaschistes à staurolite et dyssthène; les orthoamphibolites apparaissent plus rarement. c) Le



complexe des paragneiss et des micaschistes qui se développe au NW de la faille du ruisseau Lupului, est lui-aussi très varié comme lithologie, étant constitué d'alternances de paragneiss à muscovite et biotite (prédominantes) et de micaschistes à staurolite et dysthène à la base, de micaschistes à staurolite et de micaschistes à almandin à la partie supérieure. Des intercalations de gneiss quartzo-feldspathiques, des quartzites et des quartzites micacés, parfois des orthoamphibolites y apparaissent aussi.

B) La série de Făgărăș repose en concordance au-dessus de la série de Cumpăna. Celle-là a une épaisseur de 250 m, et se situe dans le synclinal Sinca Nouă, comprenant des schistes micacés à biotite et chlorite et intercalations de quartzites micacés et graphiteux.

Les deux séries métamorphiques ont pris naissance dans une zone géosynclinale du cycle prébaicalien, où des dépôts psammiques et psammo-pétitiques se sont premièrement sédimentés, suivis de dépôts pétitiques. Les orthoamphibolites représentent les produits métamorphisés du magmatisme initial de ce cycle tectono-magmatique, et les corps lenticulaires de granodiorites indiquent la faible activité d'un magmatisme synorogène.

Sous l'influence des mouvements diastrophiques prébaicaliens, les schistes cristallins ont été soumis à un processus de plissement complexe, déterminé par les poussées du socle archaïque est-européen et de son éperon valaque, qui ont eu pour effet l'action de deux directions de transport tectonique dans cette région de courbure des Carpates (planche III). Dans ces conditions, le plissement des formations, au SE de la région a eu la tendance de s'orienter parallèlement à l'axe structural majeur de la chaîne, et, à l'intérieur, de former des structures hémianticliniales et synclinales orientées de WNW à ESE, perpendiculaires sur l'axe de la chaîne, autrement dit parallèles avec une bissectrice de la courbure des Carpates (fig. 2). Les deux mouvements ont été ressentis par les deux zones, de telle façon que dans la zone interne par exemple, les structures  $I_1$  (fig. 3) sont croisées par des plis secondaires ( $I_2$ ), orientés NNE-SSW (planche III, section I). Ces deux directions de plissement synchrone sont très bien mises en évidence par l'orientation des éléments linéaires sur les diagrammes structuraux de la zone interne (fig. 4 a, b), ainsi que de la zone axiale (fig. 4 c). Les fissures mesurées appartiennent à trois systèmes (fig. 4 d): le premier représente un système ac en rapport avec  $I_1$ , respectivement bc en rapport avec  $I_2$ , et les deux autres sont des systèmes diagonaux en rapport avec les deux structures plicatives.

Contrôlées par les facteurs du métamorphisme régional, les formations de ces deux séries cristallines sont métamorphisées dans les conditions du faciès albite-épidote-amphibolitique et almandin-amphibolitique et donnent naissance à plusieurs zones métamorphiques, délimitées par les isogrades de métamorphisme (planche III). Se sont seulement quatre de ces zones qui sont au jour et qui font l'objet de notre étude: la zone à biotite, la zone à almandin, la zone à staurolite et la zone à staurolite et dysthène.

La zone à biotite (200 m d'épaisseur) se superpose pour la plupart aux formations de la série de Făgărăș, ayant l'aspect de schistes fins, dans lesquels apparaissent les paragnèses (1)-(3). La biotite, le minéral critique de cette zone, est pléochroïque dans les couleurs brun et vert olive. Le feldspath plagioclase est un albite-oligoclase ( $An_{10-12}$ ).

La zone à almandin (1800 m d'épaisseur) se superpose sur la partie inférieure de la série de Făgărăș, ainsi que sur la partie supérieure du complexe des paragneiss et des micaschistes de la série de Cumpăna; les paragnèses qui prennent naissance dans les roches silico-allumineuses de cette zone sont (4)-(8). Le minéral critique pour cette zone c'est le grenat qui dans les micaschistes présente de belles structures  $St$ , déterminées par les inclusions de quartz, de micas et d'une poussière fine de minéraux opaques, ce qui indique un mouvement.

circulaire pendant la cristallisation; des structures hélicitiques (*SiHS*) apparaissent dans le grenat des paragneiss, indiquant une cristallisation plus ou moins statique. Le plagioclase ( $An_{12-15}$ ) est plus basique que celui de la zone antérieure, et la biotite est brun clair. La paragenèse, qui se forme dans des orthoamphibolites (9), comprend une hornblende bleu-vertâtre qui est caractéristique.

La zone à staurolite (1000 m d'épaisseur) se superpose sur la partie médiane du complexe des gneiss et des micaschistes de la série de Campâna (planche II). Dans les roches de cette zone, ayant une cristallinité plus avancée, se sont formées les paragenèses (10)–(14). Le minéral critique — la staurolite — forme des porphyroblastes tout comme le grenat, et il est pleochroïque dans les couleurs jaune-jaune doré; il est parfois remplacé par la séricite. Le plagioclase ( $An_{15}$ ) est faiblement stérilisé tout comme dans les autres zones métamorphiques. Le grenat est parfois squellettiforme ou à structure „d'atoll”; autrefois, il présente des structures *Si* différemment orientées par rapport à la foliation de la roche (*Se*). La biotite forme des lamelles qui dans certains cas présentent des phénomènes de recristallisation dans des lamelles plus fines, déterminés probablement par les soliflows qui quittaient la zone de migration.

La zone à staurolite et dysthène (4000 m d'épaisseur) comprend les formations de la base du complexe des gneiss et des micaschistes, ainsi que les complexes des gneiss et des migmatites ocellées. Les roches silico-allumineuses qui présentent une cristallinité typique de mésozone et qui sont affectées par des phénomènes de migmatisation, contiennent les paragenèses (15)–(19). Les minéraux critiques sont tant la staurolite que le dysthène. Celui-ci se présente sous forme de cristaux allongés parallèlement à l'axe *b* des structures *I*<sub>1</sub> (planche I, fig. 1). Le plagioclase ( $An_{14-20}$ ) est maclé, comme dans les autres zones aussi, d'après les lois albite, albite-Karlsbad et parfois péricline. Dans les gneiss quartzo-feldspathiques, provenus des grès areostiens ou des roches tuffogéniques acides, c'est la microcline qui apparaît aussi comme minéral autochtone (planche I, fig. 2). Les porphyroblastes de grenat à contour irrégulier présentent parfois une structure „d'atoll” (planche I, fig. 3) ou des structures *Si* déformées seulement à la partie interne des cristaux, tandis que sur leurs bords les inclusions fines de minéraux opaques reposent régulièrement, dans des zones parallèles aux faces cristallographiques virtuelles, démontrant ainsi que les parties marginales de ces porphyroblastes s'étaient formées dans des conditions relativement statiques lorsque les mouvements avaient cessé, ou ils étaient très faibles (planche I, fig. 4). La biotite de cette zone est brun clair.

Les paragenèses (20) et (21) apparaissent dans les orthoamphibolites et les gneiss tuffitogéniques. Le plagioclase ( $An_{22}$ ) est plus basique que dans toutes les autres zones, tandis que la hornblende commune ( $eNg = 24^\circ$ ) est pleochroïque dans les couleurs bleu-vert et vert-brun.

Les phénomènes de migmatisation à caractère sélectif (fig. 5) se développent aux niveaux plus profonds de cette zone métamorphique. Des phénoblastes ou cumuloblastes (fig. 6) de feldspath potassique prennent naissance sur le substratum de gneiss (la paléosome); il en résulte des roches à associations de minéraux ambiguës comme la paragenèse (22) l'indique. Le plagioclase ( $An_{18}$ ) présente des enchaînements mirmétitiques (planche II, fig. 1). Les mégablastes de feldspath potassique présentent marginalement la structure de la microcline. Dans certains cas, on a aussi observé des phénoblastes à structure pertillique (planche II, fig. 2) ou maclés d'après la loi Karlsbad qui démontre que ces caractéristiques du feldspath potassique n'apparaissent pas seulement dans des conditions magmatiques, mais aussi dans les conditions d'un processus métasomatique qui se manifeste probablement à température plus haute que  $660^\circ\text{C}$  et à haute pression.

Au cours du métamorphisme de ces deux séries les conditions thermodynamiques ont enregistré de grandes variations et ont déterminé la formation de ces quatre zones métamorphiques décrites ci-dessus et, évidemment, d'une zone à chlorite, à présent érodée. On ne peut pas connaître de nos jours l'épaisseur totale de la zone à staurolite et dysthène et d'autant plus ce qu'on trouve au-dessous de cette zone, l'érosion n'avancant que jusqu'au niveau de cette dernière zone.

En analysant l'épaisseur de ces quatre zones métamorphiques, la profondeur et la pression qui ont présidé à leur naissance, ainsi que la température indiquée par les minéraux-index, on obtient les paramètres des conditions thermodynamiques qui ont contrôlé le métamorphisme régional progressif (tableau 1), conditions qui caractérisent la province métamorphique barowienne et la série de facies standard dysthène-sillimanite. Les conditions thermodynamiques qui ont contrôlé la formation de la province métamorphique des monts Făgărăș sont similaires à celles qui ont engendré la province des monts Semenic ayant le même âge. Cette ressemblance résulte clairement de l'allure des courbes du gradient PT de ces deux provinces (fig. 7), qui indique que le gradient géothermique a été de 20° à 25° /km. On remarque que la courbe PT pour la région Șinca Nouă-Holbaș, où l'érosion n'a avancé que jusqu'au niveau de la zone à staurolite et dysthène, s'arrête à une température d'environ 600° C et à une pression de 6 Kb, ce qui indique une profondeur d'à peu près 21 km.

Les processus de migmatisation syncinématique se manifestent dans ces conditions thermodynamiques. En considérant le fait que dans la région Șinca Nouă-Holbaș la courbe PT n'a pas atteint les courbes de fusion du granite (fig. 7), respectivement les niveaux de manifestation intense des processus d'anatexie, on peut affirmer que la migmatisation n'est pas de nature anatectique et donc elle ne s'est pas formée *in situ*. Compte tenant de l'intensité de la migmatisation et des caractères des mégablastes de feldspath potassique, les auteurs arrivent à la conclusion que les migmatites de Cumpăna-Holbaș ont pris naissance par métasomatose. Elles se sont constituées dans des conditions syncinématiques (planche II, fig. 3) et ont été engendrées par les solutions riches en K qui passaient vers la surface venant de la zone d'anatexie totale. Celle-ci se situait dans les niveaux profonds de l'écorce prébaïkalienne et c'est là que le magma granitique prenait naissance. Les intrusions synorogènes, aidées du cycle prébaïkalien ont résulté justement de ce magma. Les intrusions principales sont restées en profondeur et les petits corps de granodiorites qui apparaissent dans la zone migmatitique ne sont probablement que leurs apophyses. Le front migmatitique se déplaçait devant ces intrusions, le déplacement des solutions dans les plans  $S_1$  étant probablement facilité par la pression tangentielle.

Les processus de rétrométamorphisme qui ont lieu dans la région sont engendrés par deux causes. La première — l'autorétromorphisme — est déterminée par les solutions métamorphiques prébaïkalienes, éventuellement migmatiques tardives, qui circulaient à travers les pores des roches, en causant la substitution des minéraux primaires par d'autres secondaires, mais en conservant la structure et la texture des roches.

Le second processus — l'allorétromorphisme — se manifeste localement, le long de la faille de chevauchement hercynienne tardive du N de la région (planche III). Durant ce processus l'eau nécessaire à la transformation des minéraux primaires est probablement fournie par les formations permianes. Hormis les phénomènes de substitution des minéraux primaires, les roches sont aussi soumises à des processus mécaniques de replissement, torsion (planche II, fig. 4) laminage et milonitisation.

Les schistes cristallins prébaïkaliens sont traversés par de nombreux filons de roches éruptives mésozoïques (fig. 8) : des diabases (des basaltes), de diverses variétés de bostonites,

syénites, syénites porphyriques, syénites aplittiques, porphyres syénitiques, accompagnés de minéralisations de sulfures polymétalliques. Toutes se groupent dans une aire qui se développe le long de la faille mésozoïque — ruisseau Lupului et dans une autre aire située plus à l'W (planchette III). Les filons se disposent soit dans les failles principales, soit dans des failles associées aux premières, ou bien dans les fissures primaires des schistes cristallins (fig. 9), ce qui prouve que les failles ont été des voies d'accès pour les magmas. Les auteurs considèrent que les diabases (les basaltes), les bostonites, les orthophyres et même les porphyres quartzifères représentent les produits du magmatisme initial alpin, suivi d'une activité à caractère intrusif, qui a mis en place de petits corps de syénites quartzifères. Cette activité se termine par les filons de lamprophyres (les campotonites).

## EXPLICATION DE LA PLANCHE

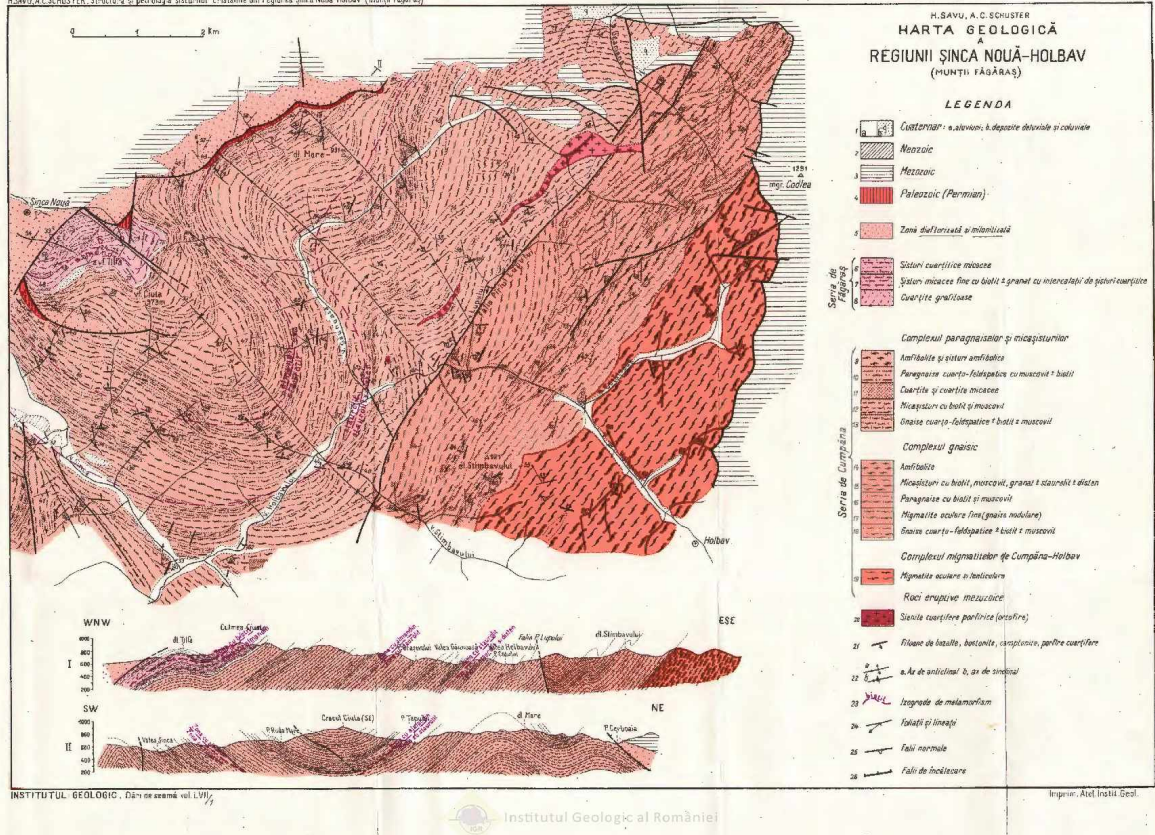
### Planche III

Carte géologique de la région de Șinca Nouă-Holbav (monts Făgărăș).

1, Quaternaire : a, alluvions; b, dépôts déluviaux et colluviaux; 2, Néozoïque, 3, Mésozoïque; 4, Paléozoïque (Permien); 5, zone rétrométamorphisée et milonitisée. Série de Făgărăș : 6, schistes quartzitiques micacés; 7, schistes micacés fins à biotite  $\pm$  grenat avec intercalations de schistes quartzitiques; 8, quartzites graphitiques. Série de Cumpăna. Complexe des paragneiss et des micaschistes : 9, amphibolites et schistes amphiboliques; 10, paragneiss quartzo-feldspathiques à muscovite  $\pm$  biotite; 11, quartzites et quartzites micacés; 12, micaschistes à biotite et muscovite; 13, gneiss quartzo-feldspathiques +biotite  $\pm$  muscovite. Complexe gneissique : 14, ampliolithes; 15, micaschistes à biotite, muscovite, grenat +staurorite  $\pm$  disthène; 16, paragneiss à biotite et muscovite; 17, migmatites œillées fines (gneiss noduleux); 18, gneiss quartzo-feldspathiques  $\pm$  biotite  $\pm$  muscovite. Complexe des migmatites de Cumpăna-Holbav : 19, migmatites œillées et lenticulaires. Roches éruptives mésozoïques : 20, syénites quartzifères porphyriques (orthophyres); 21, filons de basaltes, bostonites, campotonites, porphyres quartzifères. 22 a, axe d'anticlinal; 22 b, axe de synclinal; 23, isogrades de métamorphisme; 24, foliations et linéations; 25, failles normales; 26, failles de chevauchement.



H.SAVU, A.C.SCHUSTER, Structura și petrologia sistemelor cristaline din regiunea Șinca Nouă-Holbaș (muntii Făgăraș)



## **PLANŞA I**

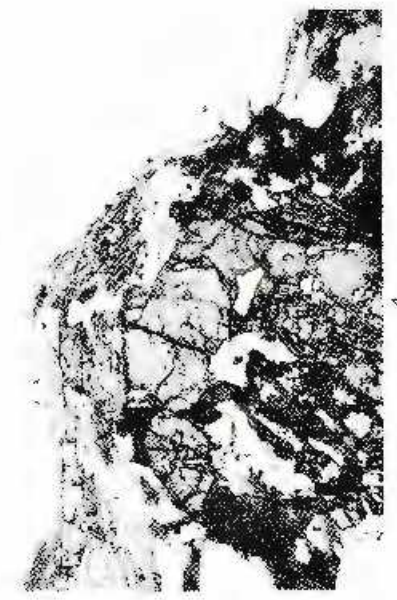


Institutul Geologic al României

## PLANSĂ I

- Fig. 1. — Porphyroblast de granat cu incluziuni de cuarț și biotit, înconjurat de un cristal de diștean (sns), Valea Găunoasa. N II;  $\times 30$ .  
Porphyroblaste de grenat avec inclusions de quartz et de biotite, entouré d'un cristal de disthène (en haut). Vallée Găunoasa. N II;  $\times 30$ .
- Fig. 2. — Gneis cuarțo-feldspatic în cărul parageneză apără și microcline (în centrul fotografiei). Valea Găunoasa. N +;  $\times 60$ .  
Gneiss quartzo-feldspathique dans la paragenèse duquel apparaît aussi du microcline (au centre de la photo). Vallée Găunoasa. N +;  $\times 60$ .
- Fig. 3. — Granat cu structură de „atoll” într-un paragnais de pe pârâul Cotului. N II;  $\times 98$ .  
Grenat avec structure „d'atoll” dans un paragneiss rencontré dans la vallée du ruisseau Cotu. N II;  $\times 98$ .
- Fig. 4. — Porphyroblast de granat cu incluziuni fine de minerale opace aşezate paralel cu fețele cristalografice, Valea Găunoasa. N II;  $\times 45$ .  
Porphyroblaste de grenat avec inclusions fines de minéraux opaques orientées parallèlement aux faces cristallographiques. Vallée Găunoasa. N II;  $\times 45$ .





1



2



3



4

## PLANŞA II

Fig. 1. — Concreşteri mirmekitice între plagioclazul acid și cuarțul din migmatitele oculare de pe valea Găunoasa. N + ;  $\times 50$ .

Enchevetements mirmekitiques du plagioclase acide et du quartz des migmatites œillées rencontrés dans la vallée Găunoasa. N + ;  $\times 50$ .

Fig. 2. — Structura perlitică a fenoblastelor de feldspat potasic dintr-un migmatit ocular de pe valea Cetăjeaua. N + ;  $\times 50$ .

Structure perlitique des phénoblastes de feldspath potassique d'une migmatite œillée rencontrée dans la vallée Cetăjeaua. N + ;  $\times 50$ .

Fig. 3. — Migmatit ocular cu fenoblaste de feldspat potasic, în jurul cărora paleosoma este ondulată. Valea Cetăjeaua. N II;  $\times 2$ .

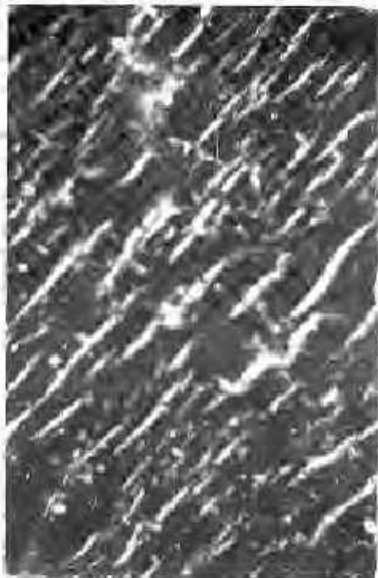
Migmatite œillée avec phénoblastes de feldspath potassique, autour desquels la paleosome est ondulée. Vallée Cetăjeaua. N II;  $\times 2$ .

Fig. 4. — Micășist retromorfozal și afectat de fenomene de reculare și milonitizare în zonă de diaforză. Valea Ursuia. N II;  $\times 2,5$ .

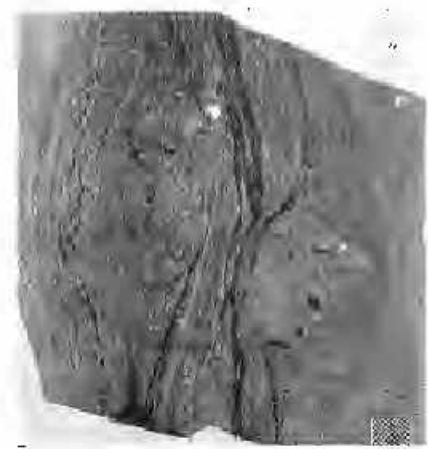
Micăschiste rétromorphosé et affecté par des phénomènes de replissement et de milonitisation dans la zone de rétrométagmophose. Vallée Ursuia. N II;  $\times 2,5$ .



1



2



3



4

PETROLOGIA ROCILOR METAMORFICE

**STUDIUL UNOR ROCI GABBROIDE METAMORFOZATE DIN SERIA DE IELOVA (ZONA CAMENTĂ – BANATUL DE SW)<sup>1</sup>**

DE

LOZANA ZLATAROVA-TOP<sup>2</sup>, MIRCEA MUREȘAN<sup>3</sup>, GHEORGHE PITULEA<sup>2</sup>

**Abstract**

Study of Some Metamorphosed Gabbroid Rocks in the Ielova Series (Camenă Zone – SW Banat). The gabbroid rocks dealt with proceed from the mesometamorphic Ielova series pertaining to the Danubian Unit in the southwestern part of Banat (South Carpathians). The evolution of mineralogical associations during the processes of regional metamorphism, which took place under the conditions of the staurolite-quartz subfacies, is analysed. Subsequently these rocks underwent the diaphoresis process in the course of the Hercynian and alpine movements. These rocks, representing the products of the initial magmatic phase, show a calco-alkaline character and proceed from a gabbroid magma.

Rocile care constituie obiectul studiului de față provin dintr-un punct situat la cca 7km nord de localitatea Cozla, amplasată pe malul stâng al Dunării (fig. 1).

Fundamentalul regiunii este alcătuit din formațiuni metamorfice care aparțin domeniului danubian peste care, la Cozla, se dispun transgresiv depozite slab metamorfozate, de vîrstă devonian–carbonifer-inferioară (Răileanu, Rusu, 1962; Năstăseanu, Bîtoianu, 1970) precum și depozitele paleozoice și mezozoice ale zonei Sîrnia.

Dintre cercetătorii care au descris unele aspecte petrografice ale formațiunilor metamorfice din regiune, menționăm pe Böckh (1879), Schafarzik (1912), Streckeisen (1933). Mai tîrziu Codarecă (1937, 1940) grupează formațiunile metamorfice ale autohtonului sub

<sup>1</sup> Comunicare în ședință din 27 februarie 1970.

<sup>2</sup> I.F.I.G.S. B-dul N. Bălcescu nr. 26, București.

<sup>3</sup> Institutul Geologic, Sos. Kiseleff nr. 55, București.

numele de „cristalinul danubian” care la vest este înălțat de „cristalinul getic”. În regiune rocile metamorfice ale autohtonului au fost repartizate de autor „zonei de Ielova retromorfozată”, care cuprinde fâșia de șisturi situată între linia șariajului getic (linia Rudăria) și zona de înălțare locală

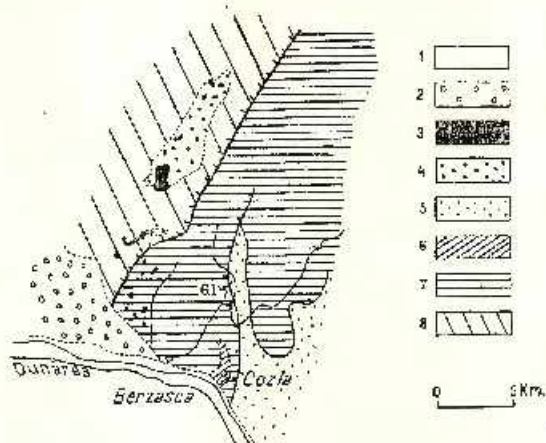


Fig. 1. Schiță geologică a zonei Cozla și a împrejurimilor sale (după harta geologică a României scara 1 : 500.000).

1. Châtiner; 2. Teriar; 3. diamictite; 4. Crétacé supérieur; 5. Paléozoïque (post-Carbonifère inférieur) și Mésozoïque; 6. Carbonifère inférieur-Dévonien; 7. schisturi cristaline ale domeniului danubian (serie de Ielova); 8. schisturi cristaline ale domeniului getic; GL. galeria I.I.F.L.G.S. (de unde provin rochii magmato-sene bazice metamorfozate studiate).

Esquisse géologique de la zone de Cozla et de ses environs (selon la carte géologique de la Roumanie échelle au 1/500.000<sup>e</sup>).

1. Quaternaire; 2. Tertiaire; 3. Diamictites; 4. Crétacé supérieur; 5. Paléozoïque (post-Carbonifère inférieur) et Mésozoïque; 6. Carbonifère inférieur-Dévonien; 7. schistes cristallins du domaine danubien (série de Ielova); 8. schistes cristallins du domaine géto-étage; GL. galerie I.I.F.L.G.S. (lieu de prélèvement des roches magmatiques basiques métamorphosées, étudiées).

a șisturilor cristaline peste sedimentele paleozoico și mezozoico din zona Cozla-Camenița, de la vest. După Codarcea, în cadrul zonei Ielova retromorfozată intră gnais verzi cloritizate, gnais granitice cu biotit cloritizat, amfibolite, serpentinite și calcare cristaline.

În Ghidul excursiei 49 AC al celui de-al XXIII-lea Congres Geologic International precum și în memoriu explicativ al foli scara 1 : 200.000

Baia de Aramă, L. Berecă consideră că rocile bazice din seria de Ilova reprezintă produse ale magmatismului inițial, metamorfozate ulterior în condițiile subfaciesului staurolit-cuarț.

În texte explicative ale foilor geologice scara 1 : 200.000, Turnu Severin, Baia de Aramă și Reșița, H. Săvău, L. Berecă, au atribuit seria de Ilova ciclului proterozoic superior-paleozoic. Recent, seria menzionată a fost incastrată în ciclul tectono-magmatic prebaicalian (Giuşcă et al., 1969).

Începând din 1959 s-au făcut lucrări de cercetare și explorare pentru cărbunii mezozoici din zona Camenița, urmărite îndeaproape de către Pitulea (1960, 1963, 1964)<sup>4</sup>.

#### A) Caracterele petrografice ale rocilor gabbroide metamorfozate

Rocile studiate provin din galeria 1 Camenița (I.F.L.G.S.) amplasată în versantul stîng al văii Camenița, la cca 270 m în aval de confluența acesteia cu Ogașul lui Manole. Galeria (cu o lungime totală de 590 m), orientată E-W, traversează pe primii 116 m șisturi cristaline (din seria Ilova) care, înspre est, vin în contact tectonice cu depozitele mezozoice (Liasic inferior, Dogger, filiș cretacic) ce aparțin ramurii sedimentare Cozla-Camenița. Formațiunile metamorfice străbătute sunt constituite mai ales din roci gabbroide (amfibolite).

Macroscopic, metagabbrourile, care constituie obiectul acestei lucrări, prezintă o culoare verde inchis, au o textură masivă, uneori orientată și chiar șistoasă; cu ochiul liber se pot deosebi indivizi de hornblendă (cu dimensiuni variabile de la 1 mm pînă la 8 mm lungime), feldspat, mai rar epidot și pirită (grăunți — sub 1 mm — sau mici filonașe). Uneori, în cadrul acestor roci, apar intercalării de șisturi amfibolitice care prezintă alternanțe frecvente de strătulete albe constituite în principal din feldspati și strătulete predominant amfibolice; aceste roci sunt frecvent șistoase; acestea ar putea reprezenta metatufuri bazice metamorfozate.

Deoarece compoziția mineralogică calitativă a rocilor gabbroide este aceeași, variind numai proporțiile mineralelor constitutive, în cele ce urmează se va face o singură descriere mineralogică, a patru tipuri reprezentative menționind acolo unde este cazul deosebirile existente între aceste probe care au fost analizate și chimic.

<sup>4</sup> Gh. Pitulea. Rapoarte geologice privind sectorul Camenița. 1960, 1963, 1964. Arh. M.I.M.C. București.

Microscopic se constată că rocile înalte în considerare sunt alcătuite în principal din amfiboli și plagioclazi. Raporturile cantitative dintre acestea variază invers proporțional, ceea ce determină treceri de la o rocă bogată în amfiboli, aproape hornblendit (proba 38), la o rocă în care plagioclazul domină asupra mineralului melanocerat (proba 10); probele 37 și 1 (prima mai bogată în amfiboli ca cea de-a doua) ocupă o poziție intermediară. În afara celor două componente principale menționate, mai apar în cantități variabile: biotit, clorit, epidot, zoizit, caleit, sericit, cuarț, magnetit, ilmenit, titanit, pirită, apatit și zircon.

Această compoziție mineralogică complexă reprezintă de fapt o asociere de minerale primare (existente în rocile inițiale) și minerale secundare rezultate în urma unor procese de transformare a primelor, sub influența unor procese de metamorfism. Această afirmație este susținută de structura relictă gabbroidă, de relațiile mutuale dintre mineralele observate la microscop, de aspectul acestora și de analizele chimice.

a) Piroxenii inițiali au fost total transformați, actualmente neobservându-se reliete din aceste minerale. Ei au fost înlocuiți prin hornblendă verde (c: ng = 18°-20°; ng = verde inchis; nm = verde; np = galben pal). Trecerea completă a piroxenilor în hornblendă verde este cel mai important stadiu întâlnit în toate cazurile studiate; mineralul secundar care rezultă respectă în general dispoziția în spațiu a vechiului cristal înlocuit (pseudomorfoze) fapt care dă posibilitatea ca structura gabbroidă inițială să se poată recunoaște.

Studiul microscopic al rocii alcătuită în majoritate din amfiboli (proba 38) se poate în evidență faptul că la amfibolitzarea piroxenului se eliberează silice, concretizată sub formă de granule și mici agregate mozaicate de cuarț. Deși cuarțul apare și în celelalte probe mai leucocrate acest fenomen ar fi fost mai greu de pus în evidență datorită prezenței, alături de hornblendă, a cantităților importante de plagioclaz, din care de asemenea se eliberează silice în procesele de transformare.

Judecind după faptul că frecvent în cuprinsul amfibolilor apar incluziuni de titanit, s-ar putea presupune că piroxenul inițial înlocuit avea în rețea sa titanit (probabil augit titanifer), care s-a eliberat în timpul amfibolitzării acestuia. O parte din calcin și fierul rezultat la transformarea piroxenului a putut intra în rețea a mineralelor din grupa epidotului, care apar uneori asociate strâns cu hornblenda verde. Mai rar se observă asocierea hornblendei verzi cu tremolitul.

Într-un al doilea stadiu, însuși amfibolul secundar rezultat este supus cloritzării (pennin, clinoclor și rar prochlorit) pe margini și pe clivaje,

rareori acest fenomen cuprindând întreaga masă a amfibolului (pseudo-morfoze). În eșantionul 38 se constată o cloritizare mai avansată a acestui mineral, în comparație cu celelalte trei probe analizate.

b) Feldspații plagioclazi rezultați din transformarea complexă și completă a celor primari, participă în cantități importante în probele 1, 10 și 37 (metagabbrouri tipice) și apar sporadic în proba 38. Sunt hipidiomorfi și allotriomorfi; prezintă frecvent maclări polisintetice după legea albînlui și au un conținut mediu de cca 30 % An.

Într-un prim stadiu plagioclazii inițiali au fost înlocuiți prin andezin (prezent actualmente în rocă) și granule relativ mari de epidot, zoizit și cuarț. În cel de-al doilea stadiu, andezinul trhee parțial mai ales pe clivajele și fisurile în agregate fine saussuritice, sericit și calcit; concomitent cu aceste procese, datorită presiunilor, vechile măce polisintetice ale plagioclazilor formați în primul stadiu se curbează, iar cuarțul eliberat anterior capătă extincție ondulatorie.

c) Dintre mineralele melanocrate inițiale nu se păstrează decât o parte din biotit care chiar și înaintea metamorfismului, apără probabil în cantități reduse; el este decolorat și cloritizat în bună parte, fenomen care se extinde de la periferie spre centrul indivizilor, precum și pe clivajul acestora.

d) Pe baza observațiilor calcografice s-au determinat în rocile analizate următoarele minerale metalice (în ordine descrescăndă): ilmenit, magnetit, hematit și pirită, răspândite neuniform în masa rocilor.

Ilmenitul, ce constituie un mineral primar relict, apare în general ca grăunți izolați cu contururi ușor rotunjite sau mici îngrămădiri; rareori este asociat cu magnetitul, fără însă ca să formeze concreșteri cu acesta. În toate cazurile, în jurul grăunților de ilmenit apar inele de leucoxen (titaniit) care uneori invadă aproape total fostul mineral, din care rămâne doar un mic rest punctiform. Leucoxenitizarea ilmenitului reprezintă un proces de transformare datorită metamorfismului regional suferit de rocă. Fierul în exces a intrat probabil în hematit care constituie inclusiuni punctiforme în ilmenit, aglomerîndu-se mai ales în apropierea contactului acestuia cu leucoxenul. Caleciul necesar formării leucoxenului a fost adsorbit din imediata apropiere, adică din plagioclazi și piroxeni care la rîndul lor suferă transformări profunde. Cantitățile de ilmenit inițial erau uneori apreciabile, în rocile 38 și 37 putînd atinge pînă la 10 % din greutatea rocii. În eșantionul bogat în amfiboli (38) transformarea ilmenitului în leucoxen este aproape totală.

Magnetitul, în cantități mai reduse ca ilmenitul, se dezvoltă sub formă de cristale allotriomorfe și mai rar ca indivizi idiomorfi (dodecaedri); prezintă slabe martitizări și metamorfice.

Hematitul participă în cantități cu totul reduse la alcătuirea rocilor, apărind în afara cazurilor menționate și sub formă de mici cristale aeciulare, neorientate, răspândite neuniform în rocă. Este posibil ca el să rezulte în principal din recristalizarea pulberilor feriferi ce luau naștere în timpul amfibolitzării piroxenilor.

Pirita, foarte puțin frecventă, constituie uneori microfilonașe insinuate pe fisurile rocilor; rareori formează indivizi allotriomorfi inechigra-nulari sau lipidiomorfi.

e) Apatitul și zirconul, ce reprezintă probabil minerale primare, apar în proporții foarte reduse și sunt răspândite neuniform în masa rocilor studiate și constituie indivizi granulari allotriomorfi.

În concluzie, în rocile metaeruptive analizate se surprind o serie de transformări în etape succesive ce exprimă tendința de adaptare a rocilor bazice descrise la condițiile chimice și termodinamice care au dominat în timpul proceselor de metamorfism. Sensul acestor procese de adaptare este următorul.



Relațiile (1) și (2) referindu-se pe de o parte la principalele minerale ale rocilor studiate, iar pe de altă parte cuprindînd minerale sensibile la schimbările termodinamice, reflectă cele trei etape principale mineralogenetice de natură endogenă prin care au trecut rocile magmatogene bazice descrise.



I. Etapa ortomagmatică se referă la roci gabbroide constituite din plagioclazi calco-sodici și piroxeni cărora li se adaugă cantități reduse de biotit, ilmenit, magnetit și a.

II. În etapa a doua corespunzătoare metamorfismului regional progresiv, mineralele primare menționate s-au readaptat la noile condiții termodinamice, specifice subfaciesului staurolit-cuarț (cf. I. Berecica).

Astfel, plagioclazii calcio-sodici se decalcifică parțial transformându-se în feldspat sodo-calcic (andezin), epidot, zoizit și cuarț.

Piroxenul se transformă în principal în hornblendă verde și uneori în tremolit; în decursul amfibolitzării piroxenului se formează de asemenea în cantități reduse titanit, epidot și cuarț.

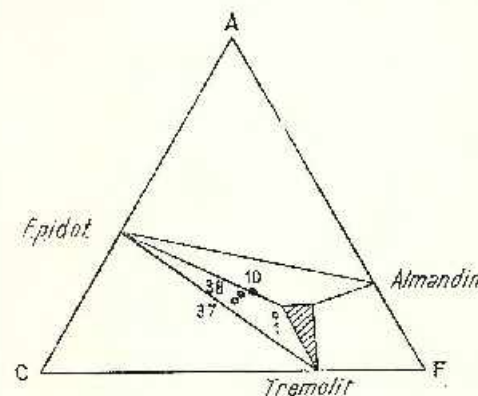
Biotitul și magnetitul [relațiile (3), (5)] au rămas probabil neschimbrate în decursul acestei etape.

O bună parte din ilmenit trece în titanit (lencoxen).

Cu ajutorul parametrilor A, C, F (tab. 9) obținuți pe baza analizelor chimice (tab. 1), rocile studiate au fost proiectate în triunghiul de echilibru al subfaciesului staurolit-cuarț (fig. 2) (Turner, Verhoogen, 1967). Probele 1, 37 și 38 se proiectează în cimpul hornblendă-tremolit-epidot, iar proba 10 exact la limita acestuia cu cimpul hornblendă-almandin-epidot; în ambele situații andezinul și cuarțul sint faze adiționale posibile,

Fig. 2. -- Diagrama ACF corespunzătoare faciesului amfibolitelor cu almandin, subfaciesul staurolit-almandin (etapa metamorfismului regional).

Diagramme ACF correspondant au facies des amphibolites à almandin, sous-faciès staurolite-almandin (étape du métamorphisme régional).



ășa cum se și constată în rocile descrise. Concordanța alcăturii mineralogice reale a rocilor studiate cu asociațiile critice teoretice ale subfaciesului staurolit-cuarț, corelată cu lipsa relictelor de piroxeni și plagioclazi inițiali arată că materialul gabbroid s-a adaptat în întregime condițiilor termodynamice din timpul metamorfismului regional.

III. Etapa retromorfă se caracterizează prin trecerea incompletă a mineralelor stadiului precedent la o asociatie mineralogică de temperatură mai scăzută, specifică subfaciesului cuart-muscovit-clorit (fig. 3). Astfel, andezinul se transformă parțial în agregate fine saussuritice, cărora li se asociază uneori sericit și calcit.

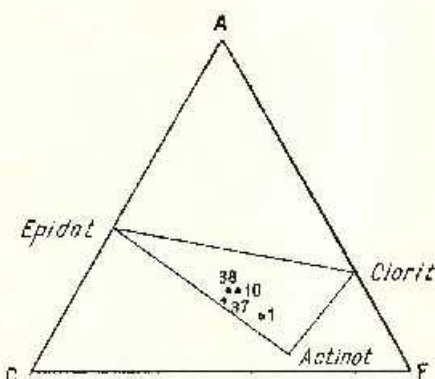


Fig. 3. Diagrama ACF corespunzătoare faciesului de schisturi verzi, subfaciesul cuart-albit-muscovit-clorit (etapa retromorfă).

Diagramme ACF correspondant au facies des schistes verts, sous-faciès quartz-albite-muscovite-chlorite (étape de rétromorphose).

Hornblenda verde se cloritizează mai ales pe fisuri, elivaje și în zonele periferice; calcitul rezultat intră în moleculele granulelor de calcit, asociate spațial cu amfibolii parțial cloritizați.

Biotitul se cloritizează parțial, se continuă leucoxenizarea ilmenitului rămas din etapa precedentă (în proba 38, în care cloritizarea amfibolului este cea mai avansată, trecerea în leucoxen a titanitului este aproape totală) iar magnetitul se martitizează.

În seria de Ielova, căreia îi aparțin și rocile bazice studiate, fenomenele de retromorfism sunt foarte frecvente, întlnindu-se în toată aria de dezvoltare a acestei formațiuni; acest fapt de observație a contribuit la denumirea adoptată pentru ea: „zona de Ielova retromorfă” (Codarcea, 1940). În apropierea liniei de șariaj a cristalinului gelic peste seria de Ielova, diaforeza fiind foarte avansată, legătura genetică a acestor fenomene cu șariajul menționat este evidentă (Codarcea, 1940).

Cit despre retromorfismul mai slab, cu răspândire regională în seria de Ielova, am putea afirma, că el aparține unui ciclu metamorfic antemezozoic. Acest ciclu metamorfic este probabil cel care a condus la metamorfozarea regională progresivă, puțin intensă (anchimetamorfism) a depozitelor devonian-carbonifer-inferioare cunoscute actualmente la Cozla (Răileanu, Rusu, 1962; Năstăseanu, Bitoianu,

1970)<sup>5</sup>. În acest caz, rocile seriei de Ilova, metamorfozate într-un ciclu tectono-magmatic mai vechi (probabil baicalian) erau supuse diaftorezci, constituind fundamentalul geosinclinalului paleozoic în care se formau depozitele devoniene și carbonifere de tip Cozla. În concluzie, am fi în prezență unui retromorfism regional hercinic.

Deci în seria de Ilova există o diaftoreză hercinică, cu răspândire regională și una alpină, legată de dislocațiile de această vîrstă. În stadiul actual de cunoaștere ele nu pot fi delimitate strict, întrucât efectul asupra rocilor în cauză a fost similar.

#### B) Caracterele petrochimice ale rocilor gabbroide metamorfozate

În vederea unei caracterizări petrochimice s-au analizat 4 roci metacruptive bazice (38, 37, 10, 1), de tipul metagabbrourilor la care

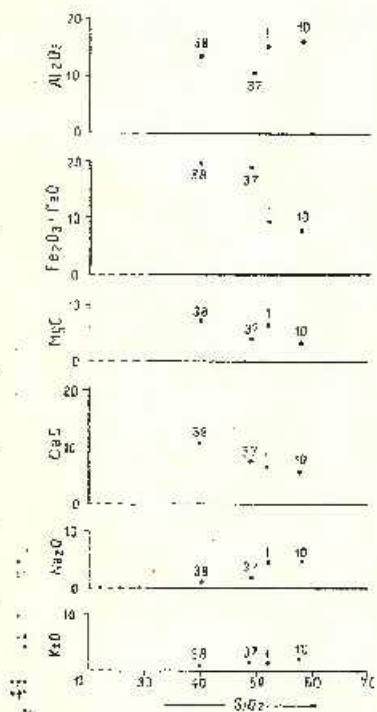


Fig. 4. — Diagrama de variație a oxidelor în funcție de SiO<sub>2</sub>.

Diagramme de la variation des oxydes en fonction de SiO<sub>2</sub>.

<sup>5</sup> Într-adevăr, cu ocazia aplicării practice a Institutului Geologic, din mai 1969, s-a observat că sub depozitele paleozoice de la Cozla și de pe Ideg, fundamental acestora, reprezentat prin seria de Ilova, era retromorfozat, putindu-se totuși recunoaște destul de clar caracterul mezometamorfic inițial al acestuia.

TABELUL 1  
Compoziția chimică a rocilor magmatogene bazice metamorficate din zonu Cumanita

Proba	SiO <sub>2</sub>	Al <sub>2</sub> O <sub>3</sub>	Fe <sub>2</sub> O <sub>3</sub>	FeO	MnO	MgO	CaO	Na <sub>2</sub> O	K <sub>2</sub> O	TiO <sub>3</sub>	P <sub>2</sub> O <sub>5</sub>	CO <sub>2</sub>	S	H <sub>2</sub> O + loss	Total
10	57,70	16,25	2,85	4,63	0,18	3,10	5,40	4,26	2,63	0,82	0,23	0,40	0,08	1,60	100,13
1	52,05	15,23	5,02	4,70	0,23	6,33	6,60	4,60	1,76	1,04	0,17	0,70	0,07	1,60	100,10
37	48,70	11,45	10,51	8,67	0,45	3,96	7,60	2,02	1,18	2,75	0,74	0,30	0,26	1,30	99,89
38	39,80	13,43	9,56	10,17	0,31	6,45	10,50	0,86	1,08	3,54	0,86	0,20	0,84	2,50	100,05

Analist: Simina Bunea

TABELUL 2  
Valorile Niggli și tipul de magnău corespunzător

Proba	gr	al	al	fm	e	al	k	mg	tt	tz	m	e/m	Tipul de magnău	Obs.
10	183,92	30,81	34,06	16,05	18,46	0,29	0,43	1,91	+10,08	0,35	0,49		Esexilitic, subtipul: essexilitic-katertic	Corectat CO <sub>2</sub>
1	134,68	23,40	44,79	17,41	14,38	0,20	0,54	2,02	-22,84	0,49	0,39		Nantrongabbroïd, subtipul: nungearitic	Corectat CO <sub>2</sub>
37	124,96	18,10	55,01	19,87	7,01	0,27	0,27	5,24	+ 3,08	0,52	0,36		Gabbroïditic, subtipul: megabiotioritic	Corectat CO <sub>2</sub>
38	85,94	17,88	55,22	23,59	8,30	0,45	0,37	5,70	-27,28	0,46	0,43		Hornblenditică, subtipul: hornblenditică	Corectat CO <sub>2</sub>



TABELUL 3  
*Componenții bazet*

Proba	Gp	Ce	Pr	Ru	Kp	Ne	Cal	Ca	Fs	Fa	Fo	Q	Total
10	0,42	1,01	0,17	0,50	9,48	23,19	10,66	1,65	2,96	5,59	6,52	37,75	99,96
1	0,28	1,76	0,17	0,73	6,20	24,80	9,55	3,52	5,28	5,70	13,12	28,65	99,79
37	1,49	0,83	0,71	2,02	4,47	11,70	11,97	4,20	11,79	10,98	8,75	30,97	99,97
38	1,79	0,60	2,32	2,62	4,11	5,00	19,04	5,14	10,72	11,88	14,30	22,45	99,97

TABELUL 4  
*Valorile L, M, Q*

Proba	L	M	Q	$\chi - \frac{3Q-2L}{M}$
10	44,05	17,57	38,38	1,57
1	41,57	29,06	29,37	0,17
37	29,12	38,93	31,95	0,96
38	29,55	46,88	23,57	0,25

TABELUL 5  
*Valorile Fo, Fa, Cs*

Proba	Fo	Fa	Cs
10	47,39	40,62	11,99
1	58,73	25,51	15,76
37	36,56	45,89	17,55
38	45,66	37,93	16,41

TABELUL 6  
*Valorile Kp, Ne, Cal*

Proba	Kp	Ne	Cal
10	21,88	53,52	24,60
1	15,29	61,16	23,55
37	15,83	41,76	42,40
38	14,60	17,76	67,64

TABELUL 7  
Norma CIPW

Proba	Minerale saline				Minerale frunice				Total						
	Pl		Q		D <sub>1</sub>		D <sub>2</sub>								
	Ab	An	Or	CaSiO <sub>3</sub>	FeSiO <sub>3</sub>	MgSiO <sub>3</sub>	OI	Pr	Cp	Ilm	Mlt	CO <sub>2</sub>	H <sub>2</sub> O + 10%		
10	35,89	17,51	15,57	7,26	3,31	3,89	7,69	—	1,08	0,46	1,52	4,06	0,40	1,60	100,24
1	38,78	15,85	10,29	—	6,29	2,97	7,60	3,43	0,12	0,03	1,98	7,31	0,70	1,60	99,63
37	17,29	18,63	6,95	13,74	6,26	3,04	9,80	—	0,48	1,55	5,17	15,31	0,30	1,30	99,82
38	7,31	29,63	6,39	2,73	7,25	3,82	16,00	—	1,56	1,86	6,69	13,92	0,20	2,50	99,89

TABELUL 8  
Catala Barth

Proba	Cationi							Anioni					
	K <sup>+</sup>	N <sub>A</sub> <sup>1+</sup>	Ca <sup>2+</sup>	Mg <sup>2+</sup>	Fe <sup>2+</sup>	Fe <sup>3+</sup>	Al <sup>3+</sup>	Ti <sup>4+</sup>	Si <sup>4+</sup>	Ti <sup>4+</sup>	O <sup>2-</sup>	S <sup>2-</sup>	O <sup>2-</sup>
10	2,11	7,61	3,34	4,27	3,56	1,95	17,72	0,55	53,41	0,17	154,95	0,10	4,94
1	2,10	8,40	6,69	8,91	3,69	3,57	16,97	0,71	49,17	0,11	154,84	0,11	5,05
37	1,48	3,39	8,03	5,78	7,13	7,79	13,27	2,00	48,07	0,59	155,28	0,47	4,25
38	1,40	1,70	11,37	9,72	8,64	7,29	16,05	2,67	40,72	0,73	149,97	1,58	8,45



TABELUL 9  
Valorile A, C, F

Proba	A	C	F	Observații
10	25,00	32,73	42,27	Corecție pentru: pirita, calcit,
1	16,99	29,51	53,50	apatit, ilmenit, sfen și mag-
37	22,18	37,75	40,07	nitetit
38	23,18	35,69	41,13	

procentul melanocratelor ( $M$ ) scade:  $M\ 38 > M\ 37 > M\ 1 > M\ 10$ . Analizele sunt redate în tabelul 1.

1. În diagrama din figura 4 se observă tendința de creștere proporțională a valorilor oxizilor ce intră mai ales în alcătuirea leucocratelor ( $\text{Al}_2\text{O}_3$ ,  $\text{Na}_2\text{O}$ ,  $\text{K}_2\text{O}$ ) pe măsura creșterii procentului de  $\text{SiO}_2$ , cuprins între 39, 80 și 52,05%;  $\text{Fe}_2\text{O}_3 + \text{FeO}$ ,  $\text{CaO}$  și  $\text{MgO}$  scad în general pe măsura măririi valorilor silicei, exprimând scăderea treptată a participării melanocratelor pe măsura creșterii acidității rocilor analizate. Se observă că, conținuturile de  $\text{Na}_2\text{O}$  sunt mai mari ca cele de  $\text{K}_2\text{O}$  (exceptând proba 38) și că primul crește ceea mai rapid, decât cel de-al doilea, pe măsură ce  $\text{SiO}_2$  se mărește.

Indicele Peacock ( $i$ ), respectiv valoarea silicei corespunzătoare intersecției curbei  $\text{CaO}$  cu curba  $\text{Na}_2\text{O} + \text{K}_2\text{O}$ , este egal cu 52, ceea ce corespunde intervalului grupei rocilor alcali-calcice ( $51 < i < 56$ ).

2. Din analizele chimice ale rocilor metaeruptive bazice s-au calculat parametrii Niggli în vederea aprecierii tipurilor de magme corespunzătoare căt și pentru obținerea diagramelor de variație ale acestor parametri. Tipurile de magmă sunt în esență gabbroide (tab. 2) justificindu-se astfel denumirea generală de metagabbrouri dată produselor rezultante în urma metamorfozării regionale a rocilor eruptive consolidate din aceste magme. De remarcat, aspectul oarecum mai aparte al rocilor 1 și 10 care au un caracter gabbroid alcalin (mugearitic și essexit-kateritic), fapt reflectat și de unele ușoare discontinuități observabile în unele diagrame.

Variația parametrilor Niggli (fig. 5) indică în principal o diferențiere magmatică calco-alcalină relativ normală, menționând inflexiunile vizibile care survin la trecerea de la rocile cu chimism gabbroid relativ normal (probele 38 și 37) la cele cu chimism gabbroid alcalin (probele 1 și 10). Toate rocile analizate se găsesc plasate la stinga punctului izofal, care, judecind după prelungirea curbelor  $fm$  și  $al$ , ar corespunde unei valori și cuprinsă între 185 și 190 și unei valori  $fm - al$  de cca 30-35.

Din analiza figurii 5 se observă că tendința de convergență a curbelor  $fm$  și  $al$  se accentuează de la proba 1 la 10 inclusiv; curbele  $c$  și  $alk$  converg ușor de la proba 38 la 37 pentru ca de acolo să se apropie mai mult și chiar să se intersecteze înaintea punctului izofal (proba 10 este relativ foarte

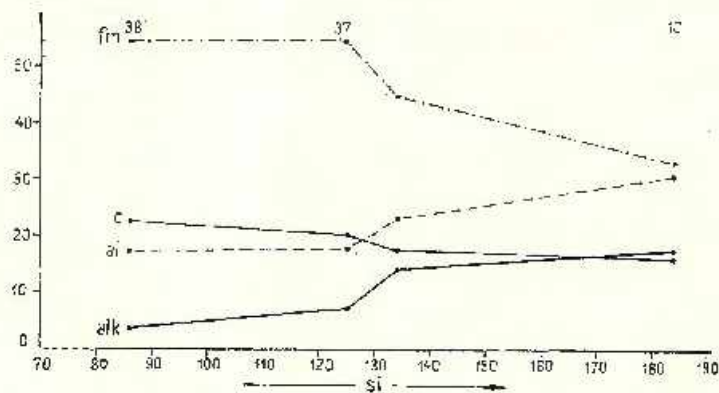


Fig. 5. — Diagramma de variație a parametrilor Niggli.

Diagramme de la variation des paramètres Niggli.

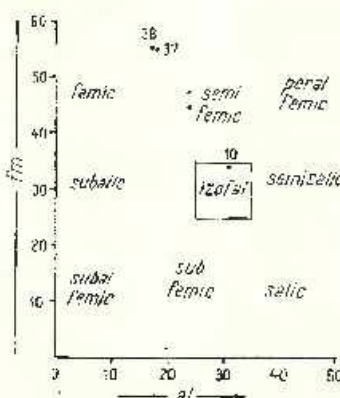


Fig. 6. — Diagramma al-fm.  
Diagramme al-fm.

apropiată de punctul izofal), acest lucru exprimind în principal scăderea treptată a calciu lui din plagioclazii inițiali și creșterea corespunzătoare a alcaliilor în acestea; remarcăm că curbele  $al$  și  $alk$ , mereu ascendente, sunt aproape riguros paralele, fapt ce exprimă dependența existentă între participarea aluminei în melanocrate și alcaliile din feldspați.

Diagrama  $al-fm$  (fig. 6) relevă aproape perfect relația de inversă proporționalitate ce există între cei doi parametri, punctele rocilor analizate

plasindu-se de-a lungul unei linii puternic inclinate spre stînga și care trece prin apropierea punctului izofal. Probele 37, 38 se proiectează aproape în același punct, puțin deasupra intervalului cîmpului femic și semifemic; proba 1 este situată la periferia cîmpului semifemic iar eșantionul 10 la marginea cîmpului izofal, fapt ce se întrevedează încă de la analiza diagramei de variație a parametrilor Niggli (fig. 5).

În diagrama  $al\text{-}alk$  (fig. 7) probele 38, 37 se plasează sub linia  $alk = \frac{1}{2} al$  (în cîmpul rocilor sărace în alcalii) fiind separate de rocile gabbroide alcaline (1 și 10) care se proiectează deasupra acestei linii și sub cea corespunzătoare relației  $alk = \frac{2}{3} al$ , adică în cîmpul rocilor intermediare.

În ansamblu și această diagramă relevă dependența de proporționalitate între aluminiu și alcalii.

Variația parametrului  $k$  în funcție de  $mg$  (fig. 8) relevă pentru probele 1, 10, 38, relația de inversă proporționalitate existentă; proba 37 se abate ca poziție față de curba ipotetică ce unește celelalte trei menționate.

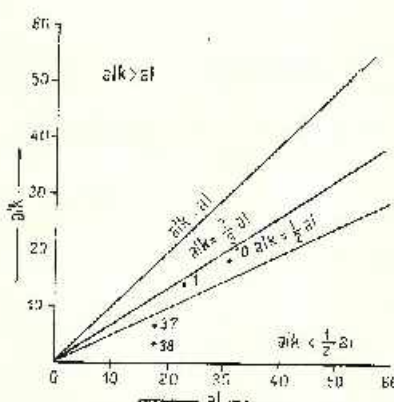


Fig. 7. — Diagrama  $al\text{-}alk$ .

Diagramme  $al\text{-}alk$ .

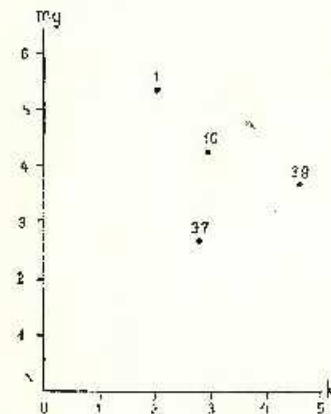


Fig. 8. — Diagrama  $k\text{-}mg$ .

Diagramme  $k\text{-}mg$ .

Utilizînd valorile raportului  $\frac{c}{fm}$  se observă că rocile 1, 37 și 38 cad în cîmpul corespunzător rocilor eruptive din triunghiul secțiunii III (fig. 9 a) a tetraedrului lui Niggli ( $al\text{-}fm\text{-}c\text{-}alk$ ); roca 10 cade de asemenea în sectorul rocilor eruptive, dar în secțiunea IV a aceluiași tetraedru (fig. 9 b).

Pe baza analizelor pe care le posedăm s-au calculat componenteii bazei pentru fiecare rocă în parte (tab. 3); ca observație generală se remarcă că componentele leucocrate ( $K_p$ ,  $N_e$ ), tind să crească după ordinea  $38 < 37 < 1 < 10$ ; în schimb majoritatea componentelor melanocrate ( $C_s$ ,  $F_s$ ,  $F_a$ ) cresc o dată cu scăderea acidității.

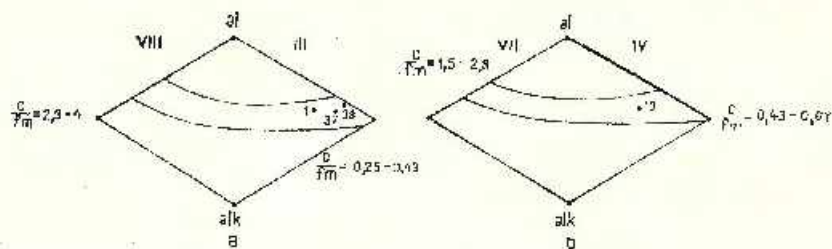


Fig. 9. — Diagramma al-cifm-alk.

Diagramme al-cifm-alk.

Prin gruparea principalelor valori ale bazei s-au obținut valorile  $L$ ,  $M$ ,  $Q$  (tab. 4), care s-au proiectat apoi într-o diagramă triunghiulară (fig. 10) și s-au calculat valorile  $\alpha$  corespunzătoare. Se observă că trei din probele analizate se plasează în domeniul rocilor slab nesaturate, delimitat

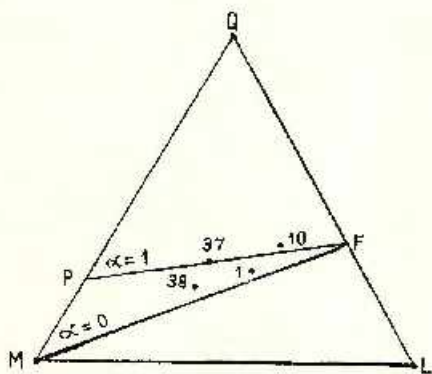


Fig. 10. — Diagramma QML.

Diagramme QML.

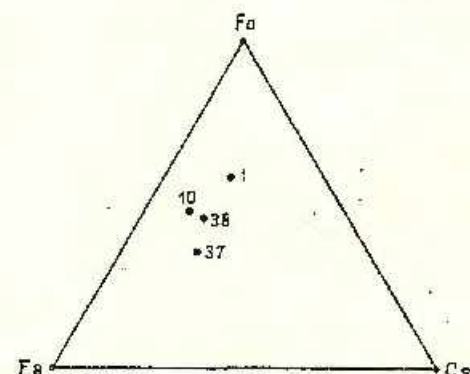


Fig. 11. — Diagramma Fo-Fa-Cs.

Diagramme Fo-Fa-Cs.

de dreptele  $MF$  ( $\alpha = 0$ ) și  $PF$  ( $\alpha = 1$ ); doar proba 10 se plasează în domeniul rocilor saturate. Din această diagramă reiese de asemenea caracterul mai leucocrat al probelor 1 și 10 care sunt mai apropiate de latura  $QL$  în comparație cu probele 37 și 38.

Pentru caracterizarea componentelor fero-magneziene s-a utilizat triunghiul *Fo-Fa-Cs* (fig. 11, tab. 5); în acesta se observă amplasarea rocilor studiate, către mijlocul laturii *Fo-Fa*, ceea ce arată că la alcătuirea mineralelor melanocrate inițiale magneziul și fierul predomină net asupra calciului (minerale fero-magneziene de tipul augitelor, relativ sărace în calciu).

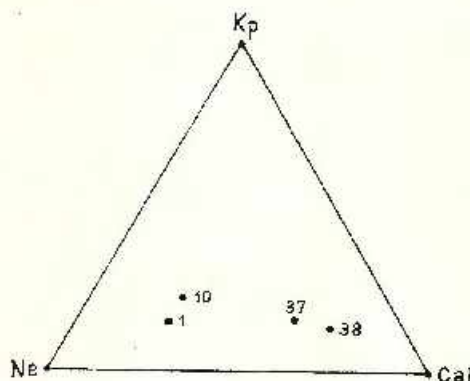


Fig. 12. — Diagrama *Kp-Ne-Cal*.

Diagramme *Kp-Ne-Cal*.

Raporturile existente între componentele constitutive ale feldspațiilor se pot observa în diagrama *Ne-Kp-Cal* (fig. 12, tab. 6). Aici se observă diferența existentă între feldspațiile rocilor 1, 10 pe de o parte și cei din eșantioanele 37 și 38 pe de altă parte; primele două cazuri se caracterizează printr-o mai mare bogătie în componenta sodică (albit), iar ultimele două cazuri corespund unor plagioclazi evident mai anortitici. Tot din această diagramă se observă predominanța calciului și sodiului în feldspațiile inițiali, adică prezența în rocile primare a plagioclazilor.

Datele analitice au fost utilizate și pentru calcularea normelor CIPW, redate în tabelul 7, care reflectă în bună parte principalele trăsături mineralogice ale rocilor inițiale, deoarece valorile obținute sunt corelabile cu observațiile microscopice și cu parametrii petrochimici discutați mai înainte. Astfel, din tabelul 7 rezultă că ponderea mineralologică principală în rocile eruptive inițiale revine plagioclazilor (peste 50% în eșantioanele 1, 10) și piroxenilor fero-magnezieni mai săraci în calciu (pentru probele 1 și 10, 14-16% din greutatea totală; 19-27% pentru probele 37 și 38). De asemenea se observă că plagioclazii sunt sensibili mai bogăți în albit în rocile metagabbroide slab alcaline (1 și 10) în comparație cu metagabbrourile relativ normale (37 și 38).

S-au calculat celulele standard (T. Barth) pentru rocile analizate, și care sunt redate în tabelul 8. Se observă că la anioni apare o cantitate relativ mai mare de OH<sup>-</sup>, care probabil s-a introdus în roci în timpul metamorfismului regional.

### Concluzii

În lucrare s-au prezentat, prelucrat și discutat pentru prima dată compozițiile chimice ale unor roci din zona mezometamorfică de Ielova.

Pe baza studiilor microscopice și petrochimice s-a demonstrat că cel puțin o parte din rocile seriei de Ielova reprezintă produse magmatogene bazice ale magmatismului inițial, confirmându-se astfel originea atribuită acestora de I. Bercea (fide Odărea et al., 1967; Năstăseanu, Bercea, 1968).

S-a precizat pentru prima dată că o parte din rocile magmatogene bazice metamorfozate erau gabrouri; ele reprezintă produsele unei diferențieri calco-alcaline, relativ normală, a unei magme bazice.

S-a arătat evoluția mineralologică complexă, practic izochimică, a rocilor gabbroide analizate, în decursul proceselor de metamorfism regional și apoi în timpul celor de retromorfism hercinic și alpin.

S-a arătat pentru prima dată că în seria de Ielova, alături de un retromorfism alpin (cunoscut anterior), este prezentă și o diaforeză hercinică, concomitentă cu metamorfismul regional incipient al formațiunilor ce aparțin Devonianului și Carboniferului inferior, de la Cozla, dispuse transgresiv peste seria de Ielova.

### BIBLIOGRAFIE

- Böckh F. (1879) Auf den südlichen Theil des Comitatus Szöreny bezügliche geologische Notizen. *Földt. Körzl.* IX, Budapest.
- Cadarcea A.I. (1937) Quatrième réunion annuelle de la Société Roumaine de Géologie à Turnu Severin. 1933, *But. Soc. Rom. Geol.* III, București.
- (1949) Vues nouvelles sur la tectonique du Banat Méridional et du plateau de Mehedinti. *An. Inst. Géol. Roum.* XX, București.
- Bercea I., Boldur C., Constantinof D., Maier O., Marinescu F.I., Marcus D., Năstăseanu S. (1967) Geological Structure of the South-western Carpathians. *Guide to Excursion 49 AC, Intern. Geol. Congr. XXII/1 Sess. Prague*, 1968, București.
- Giușcă D., Savu II., Bercea I., Kräutner II. (1969) Sequence of tectonomagmatic pre-alpine cycles on the territory of Romania. *Aeta Geol. Acad. Scient. Hung.* III, Budapest.



- Năstaseanu S., Bercia L. (1968) Notă explicativă la harta geologică sc. 1 : 200.000, Baia de Aramă, București.
- Bîrsoianu Cornelia (1970) Devonianul de la Drenova (Banat). *D. S. Inst. Geol.* LVI/4, București.
- Savu H. (1968) Notă explicativă la harta geologică sc. 1 : 200.000, Reșița, București.
- Răileanu Gr. (1952) Cercetări geologice în regiunea Svinia-Fața Mare. *Acad. R.P.R., Bul. St. Secț. Biol.-Agric. Geol.-Geogr.*, V, București.
- Rusu A. (1982) Contribuții la cunoașterea Carboniferului inferior din zona Drenova (Banat). *Acad. R.S.R. Stud. cerc. geol.* VII, 3 - 4, București.
- Savu H., Ghenca C. (1967) Notă explicativă la harta geologică sc. 1 : 200.000, Turnu Severin, București.
- Schafarzik F. r. (1912) Geologische Reambulation der Umgebung von Berszászka. *Jahresber. d. k. ung. geol. R. A. f. 1910*, Budapest.
- (1913) Über die Reambulation in der Umgebung von Berszászka und im Almás-becken im Sommer 1911. *Jahresber. d. k. ung. geol. R. A. f. 1911*, Budapest.
- Streckeisen A. (1933) Sur la tectonique des Carpates Méridionales. *Ann. Inst. Géol. Roum.* XVI, București.
- Trifulescu M., Mureșan M. (1962) Asbestul crisotilic din Banat și vestul Olteniei. *D.S. Com. Geol.* XLVII, București.
- Turner F. J., Verhoogen J. (1967) Petrologie magmatică și metamorfică. Ed. tehnică, București.
- Zlatarovă-Top Lozana, Mureșan M., Nicoară B. (1968) Studiul rocilor eruptive bazice și ultrabazice din zona Agadici (Banatul de Vest). *D. S. Com. Stat. Geol.* LIV/1, București.

## ÉTUDE DE CERTAINES ROCHES GABBROÏDES MÉTAMORPHISÉES DE LA SÉRIE DE ILOVA (ZONE CAMENTITA — BANATUL DE SW)

(Résumé)

Les roches gabbroïdes qui font l'objet de cette étude proviennent d'un point situé à environ 7 km au nord de la localité Cozla, qui se trouve sur la rive gauche du Danube (fig. 1), et elles appartiennent à la série mésométamorphique de Ilova au-dessus de laquelle, à Cozla, reposent transgressivement des dépôts faiblement métamorphisés d'âge dévonien-carbonifère inférieur.

### A) Caractères pétrographiques des roches gabbroïdes métamorphisées

Les roches étudiées sont constituées surtout d'amphiboles et de plagioclases. Les rapports quantitatifs de ces minéraux sont inversement proportionnels ce qui détermine des passages d'une roche riche en amphiboles, presqu'une hornblendite (échantillon 38), à une roche dans laquelle le plagioclase domine sur le minéral mélanoecrate (échantillon 10); les échantillons 37 et 1 (le premier plus riche en amphiboles que le second) occupent une position moyenne.



Hormis ces deux principaux composants, mentionnés ci-dessus, on y trouve aussi en quantités variables, les éléments suivants : biotite, chlorite, epidote, zoïsite, calcite, séricite, quartz, magnétite, ilménite, titanite, pyrite, apatite et zirconium.

a) Les pyroxènes initiaux ont été complètement transformés ; à présent on n'observe point de reliques de ces minéraux. Ils ont été métamorphisés à l'intermédiaire de la hornblende verte (c : ng = 18°-20° ; ng = vert foncé ; nm = vert ; np = jaune pâle).

Durant le deuxième stade, même l'amphibole secondaire résulté a été soumis à la chloritisation (pennin, clinooclite et rarement prochlorite) sur les bordures et les clivages. Ce phénomène comprend parfois toute la masse de l'amphibole (pseudomorphoses).

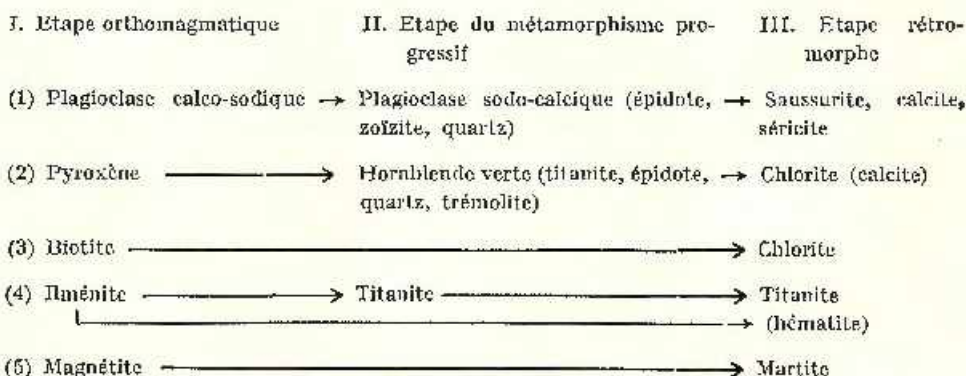
b) Les feldspaths plagioclases, résultés de la transformation complexe et complète des feldspaths primaires, sont hypodiomorphes et allotromorphes ; ils présentent très fréquemment des mélèles polysynthétiques selon la loi de l'albite et ont une teneur moyenne d'environ 30 % An.

Dans un premier stade, les plagioclases initiaux ont été remplacés par l'andésine (qui est maintenant présente dans la roche), et par des granules relativement grands d'épidote, zoïsite et quartz. Dans le second stade, l'andésine passe partiellement, surtout sur les clivages et dans les fissures, à d'agrégats fins saussuritiques, séricite et calcite.

c) L'ilménite, minéral primaire relique, et fréquemment leucoxénisé.

La magnétite présente de faibles martilisations symmétamorphiques.

On peut conclure que, dans les roches météoritiques analysées, on surprend une série de transformations en étapes successives qui expriment la tendance des roches basiques décrites de s'adapter aux conditions chimiques et thermodynamiques qui prédominaient pendant les processus de métamorphisme. Voilà le sens de ces processus d'adaptation :



I. L'étape orthomagmatique se rapporte à des roches gabbroïdes constituées de plagioclases calco-sodiques et pyroxènes auxquels des quantités réduites de biotite, ilménite, magnétite, etc. se rattachent.

II. Pendant la deuxième étape (le métamorphisme régional progressif) les minéraux fondamentaux mentionnés se sont complètement réadaptés aux nouvelles conditions thermo-dynamiques, spécifiques au sous-faciès staurolite-quartz (cf. I. Bercia) (fig. 2). Ainsi, les plagioclases calco-sodiques se sont partiellement décalcifiées, se transformant en feldspath sodo-calcique (andésine), épidote, zoïsite et quartz. Le pyroxène s'est transformé pour la plupart en hornblende verte et parfois en trémolite ; durant l'amphi-

bolitisation du pyroxène des quantités réduites de titanite, epidote et quartz se sont aussi constituées. La biolite et la magnétite (relations 3 et 5) ne se sont pas changées probablement pendant cette étape. Une bonne partie de l'ilmenite passe à titanite (leucoxène).

III. L'étape rétromorphe se caractérise par le passage incomplet des minéraux du stade précédent à une association minéralogique de plus basse température, spécifique pour le sous-faciès quartz-muscovite-chlorite (fig. 3). Ainsi, l'andésine se transforme partiellement en agrégats fins saussuritiques, auxquels la séricite et la calcite s'ajoutent parfois. La hornblende verte se chlorite dans les fissures, les clivages et les zones périphériques; le calcium résulte pénètre dans la molécule des granules de calcite, associés spatialement avec les amphiboles partiellement chloritisés. La biotite se chlorite en partie, la leucoxénisation de l'ilmenite restée de l'étape précédente continue et la magnétite se martite.

À la proximité de la ligne de charriage du cristallin gétique qui repose sur la série de Ilova, où la diaforèse était très avancée, la liaison génétique de ces phénomènes avec le charriage alpin mentionné est évidente (Godarceau, 1940).

En ce qui concerne le rétromorphisme plus faible, à diffusion régionale dans la série de Ilova, on peut affirmer qu'il appartient à un cycle métamorphique anté-alpin. Ce cycle métamorphique a probablement conduit au métamorphisme régional progressif, peu intense (antéchimétamorphisme) des dépôts dévonien-carbonifères inférieurs transgressifs (à Cozlo) sur la série de Ilova.

Au stade actuel de connaissances, on ne peut pas délimiter avec précision ces deux processus, car l'effet sur les roches en question a été similaire.

#### B) Caractères pétrochimiques des roches gabbroides métamorphisées

Les analyses des roches étudiées sont comprises dans le tableau 1.

Dans le diagramme présenté dans la figure 4 on remarque la tendance de croissance proportionnelle des valeurs des oxydes qui forment surtout les leucocrates ( $\text{Al}_2\text{O}_3$ ,  $\text{Na}_2\text{O}$ ,  $\text{K}_2\text{O}$ ) à mesure que le pourcentage de  $\text{SiO}_2$  augmente (de 39,80 à 52,05 %);  $\text{Fe}_2\text{O}_3$  -  $\text{FeO}$ ,  $\text{CaO}$  et  $\text{Mg}$  diminuent en général en rapport avec l'augmentation des valeurs de la silice.

L'indice Peacock ( $i$ ) correspond à l'intervalle du groupe des roches alcali-calciques ( $51 < i < 56$ ).

Les types de magma sont gabbroides en essence (tableau 2). Il est à remarquer l'aspect plus ou moins particulier des roches 1 et 10 qui présente un caractère gabbroïde alcalin (inugéritique et essexikatéritique), ce qui est indiqué aussi par certaines discontinuités faibles qui apparaissent dans quelques diagrammes.

La variation des paramètres Niggli (fig. 5) indique en principal une différenciation magmatique calco-alcaline relativement normale.

Dans le diagramme  $al-fm$  (fig. 6), les points des roches analysées se situent le long d'une ligne très inclinée vers la gauche, qui passe à la proximité de point isofal.

Dans le diagramme  $al-alk$  (fig. 7) les échantillons 38 et 37 se situent au-dessous de la ligne  $alk = \frac{1}{2}al$  (dans le champ des roches pauvres en alcalis), étant séparées des roches gabbroides alcalines (1 et 10) dont les projections se situent au-dessus de cette ligne et au-dessous de celle qui correspond à la relation  $alk = \frac{2}{3}al$ , donc le champ des roches intermédiaires.

En utilisant les valeurs du rapport  $\frac{c}{fm}$  on remarque que les roches étudiées se situent dans le champ des roches éruptives (fig. 9).



En groupant les principales valeurs de la base (tableau 3) on a obtenu les valeurs  $L, M, Q$  (tableau 4) qui ont été antérieurement projetées sur un diagramme triangulaire (fig. 10). On remarque que trois des échantillons étudiés sont situés dans le domaine des roches faiblement non saturées, délimité par les droites  $MF$  ( $\alpha = 0$ ) et  $PF$  ( $\alpha = 1$ ); c'est seulement l'échantillon 10 qui se situe dans le domaine des roches saturées.

Dans le triangle  $Ka-Na-Cs$  (fig. 11) on remarque l'emplacement des roches étudiées vers le milieu du côté  $Ka-Na$ , ce qui démontre que le fer et le magnésium prédominent nettement sur le calcium (minéraux fero-magnésiens du type des augites, relativement pauvres en calcium) dans la composition des minéraux mélanoacrates initiaux.

Les rapports existants entre les composants constitutifs des feldspaths sont mis en évidence par le diagramme  $Ne-Kp-Cal$  (fig. 12 et tableau 6).

On a calculé les cellules standard (T. Barth) pour les roches analysées et on les a inscrites dans le tableau 8. On remarque qu'aux anions apparaît une quantité relativement plus grande de  $OH^-$  qui probablement s'était introduite dans la roche pendant le métamorphisme régional.

GEOCHIMIE

UNELE UTILIZĂRI ALE MAȘINILOR SAM ÎN CERCETĂRILE  
GEOMATEMATICE (CU EXEMPLE DIN GEOCHIMIE)<sup>1</sup>

de

ALEXANDRU DIMITRIU, MARGARETA PEITZ<sup>2</sup>

**Abstract**

Possibilities of Using the SAM Devices for Geomathematical Research. The production capacity of the electromechanical devices SAM to sort and gradually order the values of characteristics which occupy certain zones of the punch card, has suggested the possibility of utilizing these devices for various geomathematical researches requiring a previous sorting of data. The use of these devices was extended to the classification of selections in accordance with their petrographical type, location, etc., to the establishment of empirical distribution and the non-parametrical analysis in the case of the simple correlation (Spearman-Kendall's, Blomqvist's and Matheron's methods), as well as to the testing of the likeness between two geological objects. An important saving of time is thus achieved, errors in work are eliminated whereas the punch card may be also used in other categories of works according to the accumulation of data.

Capacitatea mașinilor electromecanice SAM de a sorta cartelele perforate pe anumite valori și de a le edita ne-a sugerat ideea utilizării acestora în cercetările geomatematice care necesită ca prim pas ordonarea în mod crescător a valorilor caracteristicilor cercetate și stabilirea frecvenței lor.

Până în prezent, utilizarea mașinilor a fost extinsă la următoarele probleme: stabilirea distribuției empirice a unei caracteristici și a parametrilor săi (modulul și evantilii); evaluarea coeficientului de corelație dintre două caracteristici; testarea egalității mediilor unei caracteristici pentru două obiecte geologice (roci, zone de mineralizație etc.). Metodele

<sup>1</sup> Comunicare în ședință din 15 mai 1970.

<sup>2</sup> Institutul Geologic, Șos. Kiseleff nr. 55, București.



statistice folosite aparțin analizei neparametrice, bazate în general pe stabilirea rangurilor. Unele aspecte mai importante referitoare la ele sunt menționate în cuprinsul lucrării.

În afară de aceste aplicații, mașinile s-au dovedit a avea un mare randament la clasificarea datelor, la constituirea colectivităților care urmează să fie cercetate statistic, în funcție, de exemplu, de tipul petrografic, orizontul din zăcămînt etc.

În oricare dintre problemele amintite, mașinile SAM prezintă avantaje deosebite față de sortarea vizuală, atât prin micșorarea însemnată a timpului de lucru și eliminarea erorilor, dificil de evitat la colectivități mari de date (de ordinul sutelor), cât și prin posibilitățile superioare de organizare exhaustivă a cercetărilor.

Aplicarea mașinilor SAM necesită introducerea datelor pe cartele potrivit unei machete în care, pentru fiecare caracteristică (element chimie, mineral etc.) este prevăzută cîte o zonă formată din mai multe coloane (patru sau șase coloane). În vederea utilizării aceluiasi tablou de conexiuni — la editarea cu ajutorul tabulatorului — este indicat ca cartela să aibă același format în cercetări cît mai numeroase. Poziția și lungimea zonelor în cartelă (macheta cartelei) se stabilește la începutul cercetării și se păstrează pînă la încheierea ei. În acest mod cartelele pot fi utilizate în timp, pe măsură cu acumularea de date noi, înlesnind realizarea unor lucrări de ansamblu privind un anumit tip petrografic de rocă, minereu etc.

Înregistrarea datelor se poate face în modul preconizat de noi pentru cercetarea, de exemplu, a geochimiei minereurilor de mangan (tab. 1), și anume: în primele cinci coloane (zona I) se indică numărul probei, dind posibilitate să fie luate în evidență 99999 probe; în coloanele 6-16 (zona II) sunt figurate diferite date cu privire la localizare, compoziție petrografică etc., cărora li se dau coduri corespunzătoare; între coloanele 17-48 (zonele III-IV) sunt introduse valorile analizei chimice, mineralogice etc. Fiecarei caracteristici i se rezervă astfel cîte patru coloane ceea ce permite înregistrarea unor valori pînă la 9999 sau de tipul 999,9, 99,99. Evident, printr-o altă grupare a coloanelor în cadrul machetei se pot înregistra valori mult mai mari, în funcție de numărul de coloane prevăzut. Coloanele 6-16 și 19-80 au fost lăsate libere pentru eventualele completeri, necesare în cercetări viitoare.

O dată obținute cartelele (perforate și controlate) ele pot fi utilizate în variate scopuri. Astfel, sortarea după zona II permite clasificarea datelor avînd același cod, care poate să însemne localizare, tip petrografic

etc. Ulterior, prin imprimarea cu ajutorul tabulatorului a fiecărui pachet de cartele se obțin, sub formă de tabel, colectivitățile de date ce ne interesează în cercetările statistice. După cum, prin sortarea după celelalte zone (în macheta figurată, zonele III-X), în care sunt introduse valorile

TABELUL 1

*Macheta pentru introducerea datelor în cartele perforate pentru minereuri de mangan în vederea cercetărilor geochimice*

Coloanele	Zona	Specificația
1-5	I	nr. crt. (nr. probă)
6-16	II	Varia
17-20	III	MnO
21-24	IV	FeO
25-28	V	SiO <sub>2</sub>
29-32	VI	FeO/MnO
33-36	VII	FeO + MnO
37-40	VIII	CaO
41-44	IX	P <sub>2</sub> O <sub>5</sub>
45-48	X	S
49-80		Varia

diferitelor caracteristici ( $X_1, X_2, \dots, X_s$ ), urmată de imprimarea fiecărui pachet de cartele, obținem cîte un tabel corespunzător fiecărei caracte-  
ristici, care stă la baza determinării frecvenței valorilor individuale sau  
a valorilor grupate în clase și la determinarea rangului valorilor, necesare  
în diferite cercetări geomatematice. Prin prevederea la imprimare a unor  
spații libere convenabile, tabelele pot fi utilizate direct în prelucrările  
statistice, ele devenind astfel foi de calcul.

Mentionăm elementele de bază ale algoritmului metodelor statistice  
utilizate și cîte un exemplar luat din geochimie privind modul în care ele  
se aplică.

1. Stabilirea distribuției empirice constă, cum este bine cunoscut,  
în determinarea frecvenței cu care fiecare valoare  $x_i$  sau clasă de valori  
 $k(x_i, x_i + d)$  a unei caracteristici  $X$  este prezentă în selecția cercetată.



TABELUL 2

Stabilirea frecvenței claselor de valori ale unei caracteristici  $X$  ( $X = \text{FeO}/\text{MnO}$  în zăcămintul de mangan de la Sebeș — nivelul II) prin procedeu obișnuit („sortare din ochi”)

0,00-0,09	0,10-0,19	0,20-0,29	0,30-0,39	0,40-0,49
1	1	14	16	51
0,50-0,59	0,60-0,69	0,70-0,79	0,80-0,89	0,90-1,00
26	10	6	0	1

TABELUL 3

Calculul modulului  $\text{MnO}$ ,  $\text{Fe}_2\text{O}_3$ ,  $\text{SiO}_2$  și  $\text{FeO}/\text{MnO}$  din minereul de mangan de la Sebeș (nivelul II)

Z	I	C	MnO	$\text{Fe}_2\text{O}_3$	$\text{SiO}_2$	$\text{FeO}/\text{MnO}$
Sebeș II	$x_k$		23,00	10,00	38,00	0,40
	$n_k$		30,17	49,21	24,61	40,48
	$n_{k-1}$		26,19	8,73	12,70	12,70
	$n_{k+1}$		17,46	26,19	21,43	20,63
	$t$		4,00	2,50	4,00	0,10
	$a = n_k - n_{k-1}$		3,98	40,48	11,91	27,78
	$b = n_{k-1} + n_{k+1}$		43,65	34,92	34,13	33,33
	$2n_k$		60,34	98,42	49,22	80,96
	$c = 2n_k - b$		16,69	63,50	15,09	47,63
	$K = a/c$		0,24	0,64	0,79	0,58
	$K \times t$		0,96	1,60	3,16	0,06
$\text{Mo} = x_k + Kt$			23,96	11,60	41,16	0,46



Procedeul obișnuit de notare prin linii a numărului de valori la examinarea vizuală a tabelului de evidență a datelor este incomod și de lungă durată pentru selecții mari (tab. 2). Introducerea datelor pe cartele reprezintă, desigur, o operație în plus față de procedeul vizual, însă ponderea acesteia în lanțul de operații este mult prea mică închit, final, randamentul obținut prin mecanizare este incomparabil mai mare. De altfel, o dată obținute cartelele perforate, ele pot fi utilizate și în alte cercetări, pe care le-am amintit.

TABELUL 4

*Caculul cvalitilor ( $Q_1$ ,  $Q_2$  = mediana,  $Q_3$ )  $MnO$ ,  $Fe_2O_3$ ,  $tO_2$  și  $FeO/MnO$  din minereal de mangan de la Sebeș (nivelul II)*

Z,C	Q	$x_k$	$n_k$	$F_{k,1}$	$I$	$\frac{a=25-F_{k,1}}{n_k}$	$\frac{u \pm 50 - F_{k,1}}{n_k}$	$\frac{u \pm 75 - F_{k,1}}{n_k}$	$\frac{a}{n_k}$	$b - \frac{a}{n_k}I$	$x_k + b$
$MnO$	$Q_1$	19,00	26,19	8,73		16,27	—	—	0,62	2,48	21,48
	$Q_2$	23,00	30,17	34,92	4,00	—	15,08	—	0,50	2,00	25,00
	$Q_3$	27,00	17,46	65,00		—	—	9,91	0,57	2,28	29,28
$Fe_2O_3$	$Q_1$	10,00	49,21	10,31		14,69	—	—	0,30	0,75	10,75
	$Q_2$	10,00	49,21	10,31	2,50	—	39,69	—	0,81	2,03	12,03
	$Q_3$	12,50	26,19	59,52		—	—	15,48	0,39	1,48	13,98
$SiO_2$	$Q_1$	34,00	12,70	14,28		—	—	—	0,84	3,36	37,36
	$Q_2$	38,00	24,61	28,98	4,00	10,72	23,02	—	0,94	3,76	41,76
	$Q_3$	46,00	17,46	73,02		—	—	1,98	0,11	0,44	46,44
$FeO/MnO$	$Q_1$	0,30	12,70	12,70		—	—	—	0,97	0,10	0,40
	$Q_2$	0,40	40,48	25,40	0,10	12,30	24,60	—	0,61	0,06	0,46
	$Q_3$	0,50	20,63	65,88		—	—	9,12	0,44	0,04	0,54

Pe baza distribuției empirice se procedează apoi la estimarea precisă a modulului (tab. 3), a medianei și a celorlalte cvalitile (tab. 4). Desigur, distribuția empirică poate, de asemenea, să ajute la aproximarea mediilor aritmetice ( $\bar{x}$ ) și a dispersiei ( $S_x^2$ ) prin ponderea mijloacelor intervalelor cu frecvențele corespunzătoare.

2. Determinarea coeficientului de corelație simplă poate fi abordată prin analiza neparametrică, folosind metoda rangurilor a lui Spear-



man-Kendall (Yule, Kendall, 1969) sau metoda norului de corelație (Blomqvist, 1950; Matheron, 1962).

Ultima metodă o recomandăm pentru cercetarea selecțiilor mari, de ordinul sutelor.

Determinarea coeficientului de corelație  $r_{xy}$  prin metoda rangurilor neceșă propriu-zisă modificarea tabelului de evidență a datelor primare prin introducerea a cîte două coloane învecinate fiecărei caracteristici, în care se figurează rangurile valorilor în ordine crescîndă, respectiv rangurile corectate, corespunzător medierii rangurilor acelor valori care se repetă. În expresia coeficientului de corelație  $r_{xy}$  intră suma pătratelor diferențelor dintre rangurile corectate ( $\Sigma \Delta^2$ ), corectiile ( $T_x, T_y$ ) pentru frecvența valorilor identice ( $t_i$ ) ale caracteristicilor  $X$  și  $Y$ , fiecare în parte, și volumul de selecție ( $n$ ):

$$r_{xy} = \frac{6(\Sigma \Delta^2 + T_x + T_y)}{n(n^2 - 1)}$$

unde

$$T_{x(i)} = \frac{1}{12} \sum (t_i^2 - t_i)$$

Partea cea mai pretențioasă în aplicarea metodei o constituie stabilitarea valorilor identice, care este însă preluată de către mașinile electro-mecanice de sortat.

Un exemplu privind aplicarea metodei îl constituie cercetarea gradului de dezvoltare a mineralelor nemetalice de neoformațiune în cuprinsul zăcămintului Moldova Nonă (Iancovici, Dimitriu, Pieptea, 1969).

În ceea ce privește metoda norului de corelație, aplicarea ei este mai simplă, beneficiind în mai mare măsură de aportul mașinilor SAM. În calculul coeficientului de corelație  $r_{xy}$  se introduce numai frecvența punctelor în cele patru cadrane ale graficului de corelație, delimitate prin medianele caracteristicilor corectate, după cum rezultă din tabelul 5.

Examinarea comparativă a coeficientului de corelație evaluat în cazul mai multor perechi de caracteristici prin metoda Blomqvist, pe de o parte, și prin analiza parametrică, pe de altă parte, a arătat că estimatiile obținute sunt apropiate și, deci, se poate acorda incredere acestor metode neparametrice (tab. 6).

3. Testarea asemănării unidimensionale a două obiecte geologice (rocii, minereuri etc.) poate fi obținută prin utilizarea analizei neparametrice (metoda Wilcoxon) care, la fel ca în cazul metodelor recomandate pentru

## TABELUL 5

Frecvența valorilor în cadrantele normale de corelație (X-Y) și calculul coeficientului de corelație  $r$   
(analiza neparametrică, metoda Blomquist)

Componentii X-Y	Cadro- nul	3		2		4		1		$r = \frac{(n_3 + n_4) - (n_2 + n_4)}{n_1 + n_2 + n_3 + n_4}$
		$x_{\min} - m_x$	$y_{\min} - m_y$	$x_{\max} - m_x$	$y_{\max} - m_y$	$m_x - x_{\max}$	$m_y - y_{\max}$			
MnO-FeO	$x_i$	11,00-24,99	11,00-24,99	25,00-47,00	25,00-47,00	11,17-21,00	11,17-21,00	$r = \frac{(39 + 27) - (29 + 31)}{126} = 0,05$		
	$y_i$	2,10-11,16	11,17-21,00	2,10-11,16	11,17-21,00					
	$f_n$	39	29	31	27					
MnO-SiO <sub>2</sub>	$x_i$	11,00-24,99	11,00-24,99	25,00-47,00	25,00-47,00	41,76-62,00	41,76-62,00	$r = -0,87$		
	$y_i$	4,00-41,75	41,76-62,00	4,00-51,75	41,76-62,00					
	$f_n$	15	56	49	6					
FeO-SiO <sub>2</sub>	$x_i$	2,10-11,16	2,10-11,16	11,17-21,00	11,17-21,00	41,76-62,00	41,76-62,00	$r = -0,16$		
	$y_i$	4,00-41,75	41,76-62,00	4,00-41,75	41,76-62,00					
	$f_n$	30	40	32	23					

TABELUL 6

Valorile coeficientului de corelație dintre unii compoziți chimici ai minereului de mangan de la Sebeș II

Componenți (X-Y)	$r$ analiza neparametrică	$r$ analiza parametrică
MnO-FeO	0,05	0,03
SiO <sub>2</sub> -MnO	-0,67	-0,74
SiO <sub>2</sub> -FeO	-0,16	-0,17
SiO <sub>2</sub> -FeO/MnO	0,39	
SiO <sub>2</sub> -(FeO + MnO)	-0,74	
SiO <sub>2</sub> -CaO	-0,26	
CaO-FeO/MnO	-0,13	
CaO-(FeO + MnO)	0,13	
S-(FeO + MnO)	0,13	
P <sub>2</sub> O <sub>5</sub> -CaO	-0,02	
P <sub>2</sub> O <sub>5</sub> -(FeO + MnO)	0,23	

Notă: Valorile subliniate sunt semnificative.

( $q > 0,30$ , criteriul c)

$$c = (-\sqrt{\frac{1-q^2}{n}}) \cdot \Phi^{-1}(x) + q$$

pentru  $\Phi^{-1}(0,05) = 1,645$ ,  $n = 126$  și  $q = 0,30$ ,  $c = 0,15$ .

cercetarea corelației, nu are restricții în privința tipului de distribuție, avind totodată avantajul că este simplă, nelaborioasă.

La aplicarea acestei metode, colectivitățile de valori ale caracteristicii  $X$  în cele două obiecte (1) și (2), adică

$$x_1^{(1)}, x_2^{(1)}, x_3^{(1)}, \dots, x_k^{(1)}, \dots, x_m^{(1)}$$

$$x_1^{(2)}, x_2^{(2)}, x_3^{(2)}, \dots, x_k^{(2)}, \dots, x_n^{(2)}$$

unde

$$x_i^{(1)} < x_{i+1}^{(1)}$$

$$x_i^{(2)} < x_{i+1}^{(2)}$$

$$m < n$$

sunt reunite într-o serie, de asemenea crescătoare, fără a ține seama într-o primă etapă de apartenența caracteristicii, respectând însă condiția ca sirul de două sau mai multe valori identice ale uneia dintre caracteristici să nu fie întrerupt de valorile celeilalte caracteristici. În continuare, se stabilește rangul  $r_i$  al seriei constituite și se calculează rangul corectat,  $r'_i$ , prin medierea rangurilor valorilor identice. Mărimea statistică Wilcoxon,  $W$ ,

reprezintă suma tuturor rangurilor corectate ale caracteristicii  $X$  în obiectul (1), reprezentat prin colectivitatea de volum mai mic ( $m$ )

$$W = \sum_{i=1}^{(m)} r'_i$$

Se admite că reală ipoteza nulă  $H_0 : \bar{x}^{(1)} = \bar{x}^{(2)}$  în caz că  $W_1 < W$   $< W_2$ , unde

$$W_1 = \frac{m(m+n+1)-1}{2} - 1,96 \frac{m \cdot n(m+n+1)}{12}$$

și

$$W_2 = m(m+n+1) - W_1$$

pentru  $m$  și  $n > 25$

sau

$$W_1 = W_1(m, n)$$

$$W_2 = 2MV - W_1$$

pentru  $m$  și  $n < 25$

unde  $W_1(m, n)$  și  $2MV$  sunt date în tabele (B o l ș e v , S m i r n o v , 1965).

Aplicarea metodei este ilustrată printr-un exemplu privind testarea asemănării a două masive granitoide în privința conținutului în cobalt (tab. 7).

Referitor la exemplele prezentate, în deosebi la ultimul, atragem atenția că au fost utilizate selecții mici numai pentru a înclesni celor interesanți să aprofundeze cunoașterea metodelor.

Introducerea mașinilor SAM este desigur deosebit de utilă la aplicarea metodelor în cazul selecțiilor mari, deseori întâlnite în cercetările laboratoarelor de geomatematică.



TABELUL 7

Testarea asemănării a două masive granitoide din punct de vedere al conținutului în cobalt

Co ppm masivul (1)	Co ppm masivul (2)	Rangul inițial $r_i$	Rangul corectat $r'_i$
1		1	1,5
	1	2	1,5
2		3	3,5
2		4	3,5
	3	5	5,5
	3	6	5,5
4		7	8
4		8	8
	4	9	8
	5	10	10,5
5		11	10,5
	6	12	12
	7	13	13

$$W = \sum_{i=1}^6 r'_i = 31,0$$

NOTĂ: Din tabelele lui Bol'sev și Smirnov (1962),  $W_1(m, n) = 27$ , iar  $2MV = 84$ , inclusiv  $W_2 = 57$ . Rezultă că inegalitatea  $W_1 < W < W_2$  este satisfăcută și, deci, se acceptă ca reală ipoteza nulă  $H_0: \bar{x}^{(1)} = \bar{x}^{(2)}$  adică ipoteza că cele două masive sunt asemănătoare în privința conținutului în cobalt.

### Concluzii

1. Utilizarea mașinilor electromecanice SAM reduce considerabil timpul de ordonare și de determinare a frecvenței valorilor individuale sau a claselor de valori ale diferențelor caracteristici sporind operativitatea unor variante cercetări geomatematice (stabilirea distribuției empirice și a parametrilor distribuției, determinarea coeficientului de corelație simplă, testarea asemănării unidimensionale a două obiecte geologice).
2. Se asigură o precizie ridicată la cercetarea oricărei selecții, indiferent de volumul ei, eliminându-se caracterul subiectiv al sortărilor.
3. Înmagazinarea datelor în cartelele perforate facilitează completarea cu noi informații în timp și utilizarea lor operativă în funcție de cerințe (de exemplu, pentru studii comparative, de sinteză etc.).

## BIBLIOGRAFIE

- Blokmvist N. (1950) On a measure of dependence between two random variables. *Annals. Math. Stats.*, 21, 4.
- Bol'sev L. N., Smirnov N. V. (1985) Tabligh matematicheskoi statistiki. Nauka, Moskva.
- Ianovici V., Dimitriu Al., Andăr Anca (1969) Les paramètres géochimiques des minéraux de Roumanie. II. *Rév. Roum. Géol. Géoph. Géogr. Série Géologie*, XIII, 1, Bucureşti.
- Dimitriu Al., Pieptea Vasilea (1969) Étude des caractéristiques chimico-minéralogiques quantitatives des minéralisations du gisement de Moldova Nouă (secteur de Terezia-Covacia) et des roches environnantes. *Rév. Roum. Géol. Géoph. Géogr. Série Géologie*, XIII, 2, Bucureşti.
- Matheron G. (1962) Traité de géostatistique appliquée. I. Mémoires du Bureau de recherches géologiques et minières, 14, Paris.
- Yule G. U., Kendall M. G. (1969) Introducere în teoria statistică (trad. Ib. engleză). Ed. științifică, Bucureşti.

## CONCERNANT LES EMPLOIS DES MACHINES SAM POUR LES RECHERCHES GÉOMATHÉMATIQUES (À EXEMPLES DE GÉOCHIMIE)

### (Résumé)

La capacité des machines électromécaniques SAM de trier et d'ordonner en croissant les valeurs d'une caractéristique qui occupe une certaine zone de la carte perforée a suggéré aux auteurs la possibilité d'employer ces machines pour de diverses recherches géomathématiques qui comportent un triage préliminaire des valeurs.

On a chargé l'emploi des machines en y ajoutant la classification des sélections selon le type pétrographique, localisation etc., l'établissement de la distribution empirique et l'analyse non-paramétrique pour l'étude de la corrélation simple (méthode des rangs Spearman-Kendall, méthode du nuage de corrélation Blokmvist et Matheron) et des tests de la ressemblance de deux objets géologiques (méthode Wilcoxon).

Par cela, on réduit considérablement le temps, on élimine les erreurs et les cartes perforées peuvent être employées pour d'autres travaux aussi à mesure que les données s'accumulent.



Institutul Geologic al României

**GEOCHIMIE**

**CONTRIBUȚII PRIVIND DISTRIBUȚIA ELEMENTELOR RADIOACTIVE ÎN FORMAȚIUNILE CRISTALOFILIENE DIN CARPAȚII MERIDIONALI<sup>1</sup>**

DE

MARIOARA-MIA LEMNE<sup>2</sup>

**Abstract**

Contributions Regarding the Distribution of Radioactive Elements in Crystalline Formations from the South Carpathians. Systematical determinations of the contents in uranium, thorium and potassium in the crystalline rocks within the Getic nappe Sebeș-Lotru series, were carried out. Radiometrical data have led to the following conclusions: contents in U, Th and K mark a rise from amphibolic rocks up to gneisses with microcline, presenting clear-cut value limits between various types of rocks; paragneisses and micaschists build up a unit group from the standpoint of its radiometrical character; the microcline from gneisses with microcline may be considered as an indicator of the rise of the radioactivity. When comparing the radiometric results obtained for the Sebeș-Lotru series with those previously obtained for the Cumpăna-Cozia series, one may consider that the similar types of rocks from the both series present the same characteristics as regards their radioactivity. These results prove the possibility to apply the radiometric methods to the grouping of lithological types of rocks within the metamorphic formation.

Predilecția asocierii elementelor radioactive cu o serie de elemente rare de importanță economică cît și posibilitatea interpretării unor probleme de interes geochemical au făcut ca studierea distribuției U, Th și K în diferite tipuri de roci să se facă pe scară largă.

Deoarece informații privind distribuția elementelor radioactive în formațiunile cristalofiliene din țara noastră sunt foarte puține, studiile

<sup>1</sup> Comunicare în ședință din 24 aprilie 1970.

<sup>2</sup> Institutul Geologic, Șos. Kiseleff nr. 55, București.

începute în laboratorul de geologie nucleară din cadrul Institutului Geologic s-au axat în special pe roci eruptive (Giuşcă et al., 1967), și pe roci metamorfice (Iancovici et al., 1966, 1967; Lemne, 1970).

Rezultatele incurajatoare obținute pentru rocile cristalofiliene din seria Cumpăna-Cozia (Lemne, 1970), în ceea ce privește posibilitatea corelării acestora cu caracterul mineralogic au impus extinderea studiului și pentru formațiunile cristalofiliene ale seriei Sebeș-Lotru, care împreună cu seria Cumpăna-Cozia au cea mai mare dezvoltare în aria părții getice.

Seria Sebeș-Lotru are o mare dezvoltare în munții Sebeș, Cibinului și Lotrului și este constituită din diferite tipuri de gnais, amfibolite, micașisturi, roci carbonatice și roci eruptive. În cadrul seriei au fost identificate (Hartă geologică R.S.R. scara 1 : 200.000) gnais cu cordierit și sillimanit, gnais cuarț-feldspatice, gnais amfibolice, gnais migmatice.

Primele sunt constituite din cordierit, sillimanit, biotit, puțin cuarț și feldspați. Gnaisele cuarț-feldspatice sunt formate din cuarț, plagioclaz, biotit, muscovit și microclin. Gnaisele amfibolice se asociază de obicei amfibolitelor; gnaisele mixte, gnaisele de injecție, gnaisele oculare, alcătuiesc grupa migmatitelor metatectice și metablastice ale acestei serii. Unele dintre migmatitele metatectice se caracterizează printr-o granulație mare a neosomei, altele sunt mai compacte datorită unui grad mai mare de omogenizare. Primele se dezvoltă în zona Șugag-valea Cibinului, celealte în valea Lotrului, valea Sebeșului, valea Taia.

Migmatitele metablastice sunt caracterizate prin fenoblaste de microclin asociat cu plagioclaz. Materialul inițial are compoziție asemănătoare micașisturilor. Aceste tipuri de migmatite sunt dezvoltate în zona de la NE a depresiunii Hațeg, pe valea Sebeșului, Grădiștea, valea Cibinului și în zona de la nord de seria epimetamorfică din munții Sebeș.

Gnaisele din partea superioară a seriei Sebeș-Lotru sunt paragnaise cu biotit sau paragnaise cu muscovit și biotit, cu microclin în cantitate mică.

Amfibolitele sunt constituite din plagioclaz, hornblendă verde, almandin uneori, biotit și minerale accesori. Cele mai importante tipuri de micașisturi sunt micașisturile cu biotit, micașisturile cu disten, micașisturile cu staurolit.

Masa fundamentală a micașisturilor este formată din cuarț, muscovit și biotit.

Cnăritele cu muscovit sau biotit se intercalează în gnaisele și în micașisturile serici.

Se consideră că seria Sebeș-Lotru a fost metamorfozată în condițiile faciesului amfibolitelor cu almandin, arătind o succesiune regulată a zonelor de metamorfism: zona cu sillimanit, zona cu disten și staurolit și zona cu granat.

Colectarea probelor s-a făcut de pe văile Sebeș, Dița, Aușel, Lotru și Latorița (vezi pl.).

Concentrațiile de uraniu, thoriu și potasiu au fost obținute prin metoda spectrometrică gamma. S-a utilizat un selector cu 400 canale tip SA-40B cu un detector cu scintilație format dintr-un cristal de NaI de 45/45 mm și un fotomultiplicator montate într-un singur bloc tip S-24. Detaliile de metodică au fost prezentate în lucrări anterioare (Lemne, 1968; Lemne, 1970).

Rezultatele obținute sunt sistematizate în tabelul 1, pe principalele tipuri de roci: gnaise cu microclin abundant, paragnaise, micașisturi, roci amfibolice și pegmatite.

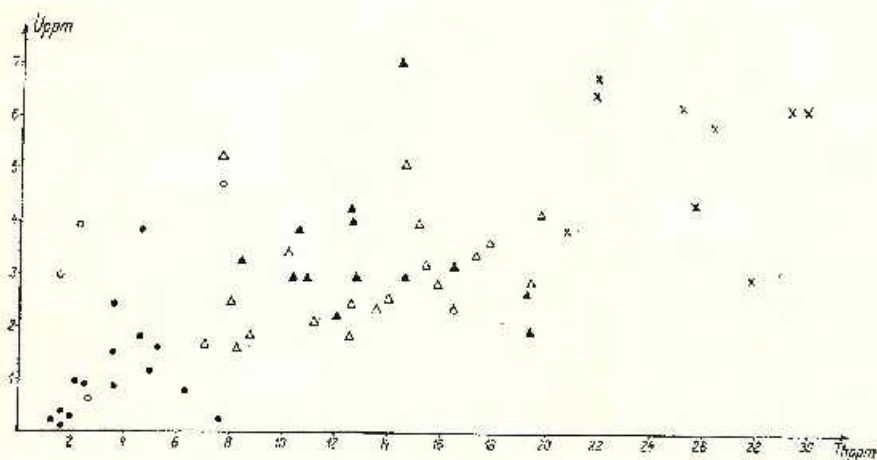


Fig. 1. — Corelarea conținuturilor de uraniu și thoriu în rocile seriei Sebeș-Lotru.

○, pegmatite; ●, roci amfibolice; △, paragneise; ▲, micașisturi; ×, gnaise cu microclin.

Corrélation des teneurs en uranium et thorium des roches de la série de Sebeș-Lotru.

○, pegmatites; ●, roches amphiboliques; △, paragneiss; ▲, micașistes; ×, gnaise à microcline.

Ca și în cazul seriei Cumpăna-Cozia (Lemne, 1970) conținuturile în uraniu, thoriu și potasiu se grupează pe tipuri de roci. O reprezentare

sugestivă este dată de corelarea conținuturilor U-Th și K-Th, prezentate în figura 2 și în figura 3.

Rocile amfibolice prezintă radioactivitatea cea mai scăzută, urmate de paragnaise și micașisturi care formează un grup comun în ceea ce privește valoarea conținuturilor în uraniu și thoriu și în fine de gnaisele cu microclin ale căror conținuturi în thoriu și uraniu sunt cele mai mari.

Se observă (fig. 1, 2, tab. 1) că și în cazul seriei Sebeș-Lotru, ca și în cazul seriei Cumpăna-Cozia (Lemne, 1970) conținutul în thoriu este

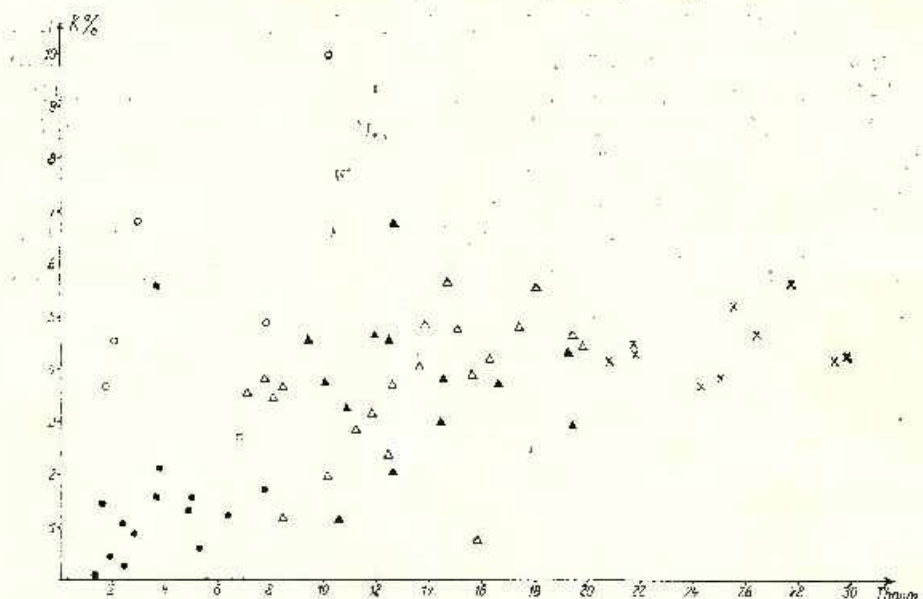


Fig. 2. Corelarea conținuturilor de thoriu și potasiu în rocile seriei Sebeș-Lotru.  
○, pegmatite; ●, roci amfibolice; △, paragnaise; ▲, micașisturi; ✕, gnaise cu microclin.

Corrélation des teneurs en thorium et potassium des roches de la série de Sebeș-Lotru.  
○, pegmatites; ●, roches amphiboliques; △, paragnaise; ▲, mica-schistes; ✕, gnaise à microcline.

mai constant pe grupe de roci, fiind deci elementul radioactiv pe care se poate separa caracterul radiometric. Uraniul, care în general prezintă o creștere de la rocile amfibolice la gnaise cu microclin, este mai dispers în sunul aceleiași grupe. Acest lucru se datorează solubilității mărite a unor compuși de uraniu și deci mobilității mai mari a uraniului, care face ca în procesul de metamorfism fixarea lui să fie neregulată.

În tabelul 2 sunt prezentate valorile medii și conținuturile limite găsite în rocile seriei Sebeș-Lotru iar în figura 3 s-a reprezentat variația conținutului mediu în elemente radioactive, pe tipuri de roci.

TABELUL 1

*Conținuturi de uraniu, thoriu, potasiu și radioactivitatea totală pentru roci din seria  
Sebeș-Lotru*

Nr. crt.	U ppm	Th ppm	K %	Th/K.10 <sup>-4</sup>	Th/U	Rad. totală în pulsuri/30 min/100 g
0	1	2	3	4	5	6
a) pegmatite						
1	4,62	7,94	4,9	1,6	1,7	196
2	3,9	2,2	4,7	0,5	0,6	133
3	—	10,5	10,1	1,0	—	106
4	1,3	—	11,9	0	0	101
5	0,02	2,8	6,9	0,4	140	72
6	2,9	1,7	3,7	0,45	0,6	98
7	13,1	6,7	2,7	2,5	0,5	345
b) gneise microclinice sau cu microclin predominant						
1	5,95	26,4	4,7	5,6	4,4	384
2	6,7	21,8	4,47	4,8	3,2	359
3	6,5	21,8	4,5	4,8	3,3	333
4	4,4	25,7	5,3	4,8	5,8	332
5	6,3	25,0	3,8	6,6	3,9	374
6	6,3	29,3	4,2	6,97	4,6	415
7	6,2	29,8	4,2	7,1	4,8	416
8	3,0	27,9	5,6	5,0	9,3	343
9	3,9	20,8	4,1	5,1	5,3	266
10	12,6	24,4	3,6	6,8	1,9	514
c) gneise cu plagioclaz						
18	2,8	15,9	0,7	22,7	5,6	204
19	1,7	8,4	1,2	7,0	5,0	116
20	3,6	17,9	5,5	3,2	5,0	268
21	5,1	14,3	5,8	2,5	2,8	272
22	3,4	17,4	4,9	3,5	5,1	254
23	2,4	13,5	4,1	3,8	5,6	195
24	2,4	12,4	3,8	3,3	5,2	184
25	1,8	12,2	2,4	5,1	6,8	160
26	4,2	11,8	3,2	3,7	2,8	210
27	2,1	11,1	2,9	3,8	5,3	161
28	2,2	16,1	4,3	3,7	7,3	216
29	1,8	8,1	3,7	2,2	5,1	128
30	2,5	13,9	4,97	2,8	5,6	206
31	4,0	15,0	4,8	3,1	3,7	247
32	2,8	19,1	4,6	4,2	6,9	260
33	2,5	8,0	3,5	2,3	3,2	145
34	1,7	7,0	3,6	1,9	4,1	121
35	5,2	7,8	3,8	2,0	1,5	200
36	3,1	15,7	3,98	3,9	5,1	228
37	4,3	20,95	4,4	4,5	4,6	292
38	3,5	10,0	2,0	5,0	2,8	174
d) micșorări						
39	3,06	16,5	3,7	4,15	5,4	232
40	2,9	14,3	3,3	3,76	4,9	211
41	2,6	19,1	4,3	4,44	7,3	250



continuare tabel 1

0	1	2	3	4	5	6
42	2,9	10,3	3,8	2,7	3,6	175
43	3,3	9,3	4,6	2,0	2,8	180
44	4,3	12,6	2,0	6,3	2,9	211
45	3,9	10,6	1,1	9,6	2,7	180
46	1,9	19,1	2,9	6,6	10,0	214
47	2,8	10,9	3,3	3,3	3,9	176
48	4,0	12,6	4,6	2,7	3,2	222
49	2,9	12,7	6,9	1,8	4,4	218
50	2,2	12,0	4,7	2,6	5,4	185
51	7,3	14,1	3,0	4,7	1,9	294
c) roci amfibolice						
52	1,65	5,4	0,7	7,7	3,3	86
53	0,9	2,7	1,0	2,7	3,0	50
54	0,13	1,4	0,3	4,7	10,7	17
55	1,1	5,0	1,6	3,1	4,5	77
56	2,5	3,8	1,6	2,4	1,5	95
57	0,7	6,3	1,3	4,8	9,0	70
58	0,8	1,3	1,1	1,2	1,6	36
59	1,9	3,9	2,2	1,8	2,0	87
60	0,3	1,0	0,5	2,0	3,3	19
61	1,9	4,6	1,3	3,5	2,4	77
62	3,8	4,7	1,3	3,6	1,2	128
63	1,5	3,7	5,7	0,6	2,5	102
64	0,12	1,4	—	—	11,6	17
65	0,7	7,8	1,8	4,3	11,4	96
66	0	0,8	1,5	0,5	∞	31

TABELUL 2

Conținuturi medii și conținuturi limite de uraniu, thoriu, polasiu, radioactivitate medie și limite pentru grupe de roci din seria Sebeș-Lotru

Tipul rocii	U ppm	Th ppm	K %	Radioactivitate Bq.p./100g canal 9
gneisice cu microclin	6,18 3-12,6	25,29 20,8-29,3	4,45 3,6-5,6	380 266-544
gneisice cu plagioclaz	3,0 1,6-5,2	13,2 7-19,8	3,7 0,7-5,8	202 116-292
micașisturi	3,38 1,9-4,3	13,4 9,3-19,1	3,7 1,1-6,9	211 175-294
roci amfibolice	1,2 0-3,8	3,6 1,0-7,8	1,5 0,1-5,7	66 17-128
pegmatite	0-11,3	1,7-10,5	2,7-11,9	



Având aceste rezultate radiometrice pentru seria Sebeș-Lotru s-a putut trece la compararea lor cu cele obținute pentru seria Cumpăna-Cozia, care sunt prezente în tabelul 3 și figura 4 și care au fost discutate pe larg într-o lucrare anterioară (Lemeze, 1970).

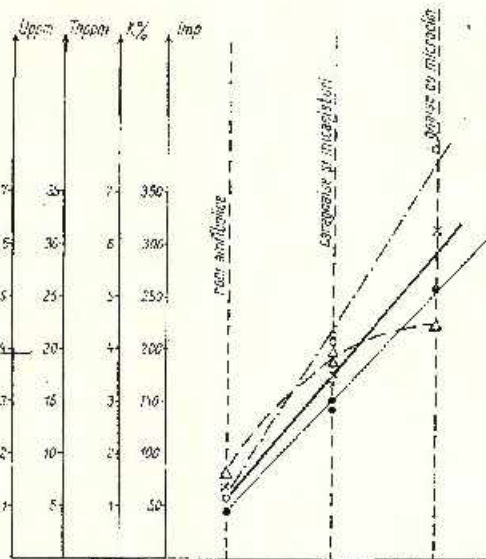


Fig. 3. — Variația conținuturilor medii în uraniu, thoriu, potasiu și variația radioactivității totale pentru grupele de roci ale seriei Sebeș-Lotru.

x, uraniu; ●, thoriu; Δ, potasiu; ○, radioactivitate totală.

Variation des teneurs moyennes en uranium, thorium, potassium et variation de la radio-activité totale en ce qui concerne les groupes de roches de la série de Sebeș-Lotru.

x, uranum; ●, thorium; Δ, potassium; ○, radio-activité totale.

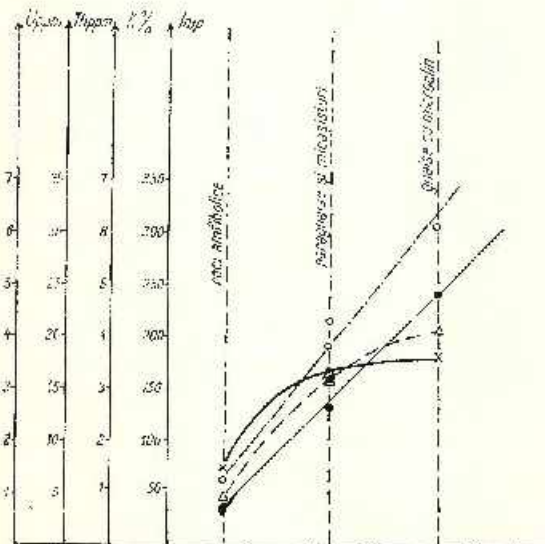


Fig. 4. — Varietăția conținuturilor medii în uraniu, thoriu, potasiu și variația radioactivității pentru grupele de roci ale seriei Cumpăna-Cozia.

x, uranu; ●, thoriu; Δ, potasiu; ○, radio-activitate totală.

Variation des teneurs moyennes en uranium, thorium, potassium et variation de la radio-activité en ce qui concerne les groupes de roches de la série de Cumpăna-Cozia.

x, urantum; ●, thorium; Δ, potassium; ○, radio-activité totale.

Comparind aceste rezultate se evidențiază pe de o parte caracterul asemănătoare și pe de altă parte o deosebire în ceea ce privește corelarea variației uraniului și potasiului pe grupe de roci.

Caracterele asemănătoare sunt date de valorile foarte apropiate, atât ale limitelor de conținuturi în elemente radioactive cât și ale mediilor acestor conținuturi.

De asemenea se poate aprecia că în ambele serii caracterul radioactiv se mărește de la roci amfibolice la gnaisele cu microclin, legat în bună parte de compozиția de bază, mineralologică a acestor roci.

TABELUL 3

*Conținuturi medii și conținuturi limite de uraniu, thoriu, și potasiu, radioactivitate medie și limite, pe grupe de roci din seria Cumpăna-Cozia*

Tipul roci	U ppm	Th ppm	K %	Radioactivitate imp./100 g canal 9
gnaise cu microclin	3,6 0,5-7,8	23,5 18,5-37	4,2 2,4-6,2	304 198-468
gnaise cu plagioclaz	3,5 0,1-8,2	12,4 5,5-21,9	3,1 0,5-6,0	191 72-293
micașisturi	3,1 0,4-5,1	15,7 11,4-21,0	3,7 1,0-5,1	223 165-265
roci amfibolice	1,5 0,3-2	3,6 0,2-7,1	1,0 0,2-3	81 22-119

Se observă însă că uraniul, în cazul seriei Cumpăna-Cozia, nu mai are o variație liniară a valorilor medii, de la roci amfibolice la gnaisele cu microclin. Forma curbei de variație a conținutului în uraniu (fig. 4) este asemănătoare curbei de variație a potasiului, prezintănd o creștere mai mică între paragnaise și gnaisele oculare în comparație cu creșterea conținutului în potasiu.

Se poate presupune că procesele, care au condus la formarea gnaiselor migmatice din Făgăraș și a gnaiselor cu microclin abundant din Sebeș și pentru care potasiul reprezintă o caracteristică importantă, nu au fost similare, au produs mobilizarea diferită a uraniului, ducind la diferențele sus amintite.

Revenind la ipoteza unui aport de substanță legat de formarea gnaiselor cu microclin din seria Cumpăna-Cozia (Lemne, 1970) se poate aprecia că deocamdată informațiile pe care le aduce lucrarea de față nu

exclud nici în cazul seriei Sebeș-Lotru posibilitatea unui aport, dar nu sunt suficiente pentru a contura procesul în sine. Ceea ce se poate afirma este că procesele care au condus la formarea gnaiseelor cu microclin din seria Sebeș-Lotru nu au fost întru totul identice, cu cele care au dus la formarea gnaiseelor cu microclin din seria Cumpăna-Cozia.

Diferența ar putea consta atât în compoziția aportului de substanță cit și în mecanismul transportului și al frecvenței cu care s-a produs.

Observațiile legate de creșterea radioactivității atât în gnaisele cu microclin din seria Sebeș-Lotru cit și în gnaisele migmatice din seria Cumpăna-Cozia au impus o discuție asupra microclinnului cunoscut în literatură ca un mineral sărac în elemente radioactive (V inogradov, 1963; Adams et al., 1959; Larsen, Gottfried, 1961).

Spre deosebire de această corelație între microclin și creșterea radioactivității în gnaisele microclinice, în pegmatitele analizate din seria Sebeș-Lotru, se constată o scădere a conținutului în elemente radioactive cu cit conținutul în potasiu este mai mare. În fine, analizele radiometrice executate numai pe ochiurile de microclin din gnaisele cu microclin abundant au demonstrat că ochiurile de microclin nu incorporează elemente radioactive.

Comportarea uraniului și thoriului în microclinul din gnaise, în gnaisele microclinice și în pegmatite, este schematizată în tabelul 4.

TABELUL 4

Tipul rocii	U <sub>ppm</sub>	Th <sub>ppm</sub>
microclin: din gnaise microclinice din pegmatite	lipsă poate prezenta valori ridicate, crește cu scăderea conținutului în K	lipsă sensibil mai mic decit în gnaise
gnaise cu microclin	crescut	crescut

ACESTE rezultate conduc la aprecierea că microclinul reprezintă în cazul de față un indicator de creștere a radioactivității și totodată indicator al unor procese genetice care au dus la creșterea radioactivității pentru gnaisele cu microclin abundant.

Se mai poate aprecia că pegmatitele din Sebeș-Lotru s-au format ulterior procesului general de metamorfism.

Dat fiind caracterul reprezentativ al probelor de roci colectate de pe o arie largă în care aflorează serii petrografice distincte, se poate aprecia că rezultatele obținute pe baza analizelor radiometrice pot fi generalizate pentru același tipuri de roci din regiunea respectivă și din cele adiacente.

Rezultatele obținute pot aduce o contribuție la lămurirea semnificației geo chimice a unor elemente radioactive în procesul de formare a unor serii de roci eruptive sau cristalofiliene.

## BIBLIOGRAFIE

- Adams J. A. S., Osmond J. K., Rogers J. W. (1959) The geochemistry of thorium and uranium. *Physics and chemistry of the Earth*. III, Pergamon Press-London.
- Giușcă D., Lemne Maria, Ionică Magdalena, Minzatu Silvia (1967) Contribuții la studiul radioactivității masivelor granitice dobrogene. *D.S. Com. Stat. Geol.* LII/2, București.
- Ianovici V., Pitulea G., Lemne Maria (1966) Contribuții la studiul zăcămintului de barit din Ostra. *Stud. cerc. geol. geof. geogr. seria geol.* 11, 2, București.
- Pitulea G., Lemne Maria (1967) Contribuții la studiul răspândirii elementelor radioactive în formațiunile cristalofiliene din Carpații Orientali. *Stud. cerc. geol. geof. geogr. seria geol.* 12, 2, București.
- Jarsen E. S., Gotfried D. (1961) Distribution of uranium in rocks and minerals of mesozoic batholiths in Western United States. *Bull. U.S. Geol. Survey* 1070-C.
- Lemne Maria - Măia (1968) Dozarea elementelor radioactive naturale folosind selecțioare de amplitudini multicanal. *Rev. Metrologia aplicată*, 15, 5, București.
- (1970) Contribuții privind distribuția elementelor radioactive în masivul Răgăraș. *D.S. Inst. Geol.* LV/1, București.
- Vinogradov A. P. (1963) Srednee soderjanie lumenescheskih elementov v glavnih tipah izverjenij gorish porod zemnoi kori. *Gheochimia*, 2, Moskva.
- \* \* \* (1968) Harta geologică a R.S.R. scara 1:200.000. Feile: Tg. Jiu, Orăștie, Baia de Aramă.

## CONTRIBUTIONS À LA DISTRIBUTION DES ÉLÉMENTS RADIOACTIFS DANS LES FORMATIONS CRISTALLOPHYLLIENNES DES CARPATES MÉRIDIONALES

(Résumé)

On a effectué des déterminations systématiques des teneurs en uranium, thorium et potassium sur des roches cristalophylliennes appartenant à la nappe gélique, série Sebeș-Lotru. Les données radiométriques ont mené aux conclusions suivantes: les teneurs en U,



Th et K augmentent à partir des roches amphiboliques vers les gneiss à microcline, présentant des limites de valeur nettes entre les différents types de roches; les paragneiss et les micaschistes forment un groupe unitaire du point de vue du caractère radiométrique; la microcline des gneiss à microcline peut être considérée comme un indice de l'augmentation de la radioactivité.

En comparant les résultats radiométriques obtenus pour la série Sebeș-Lotru à ceux antérieurement obtenus pour la série Cumpăna-Cozia, on peut apprécier que les types analogues de roches de ces deux séries présentent les mêmes caractères du point de vue de la radio-activité.

Les résultats démontrent la possibilité d'employer les méthodes radiométriques pour grouper les types lithologiques de roches des formations métamorphiques.

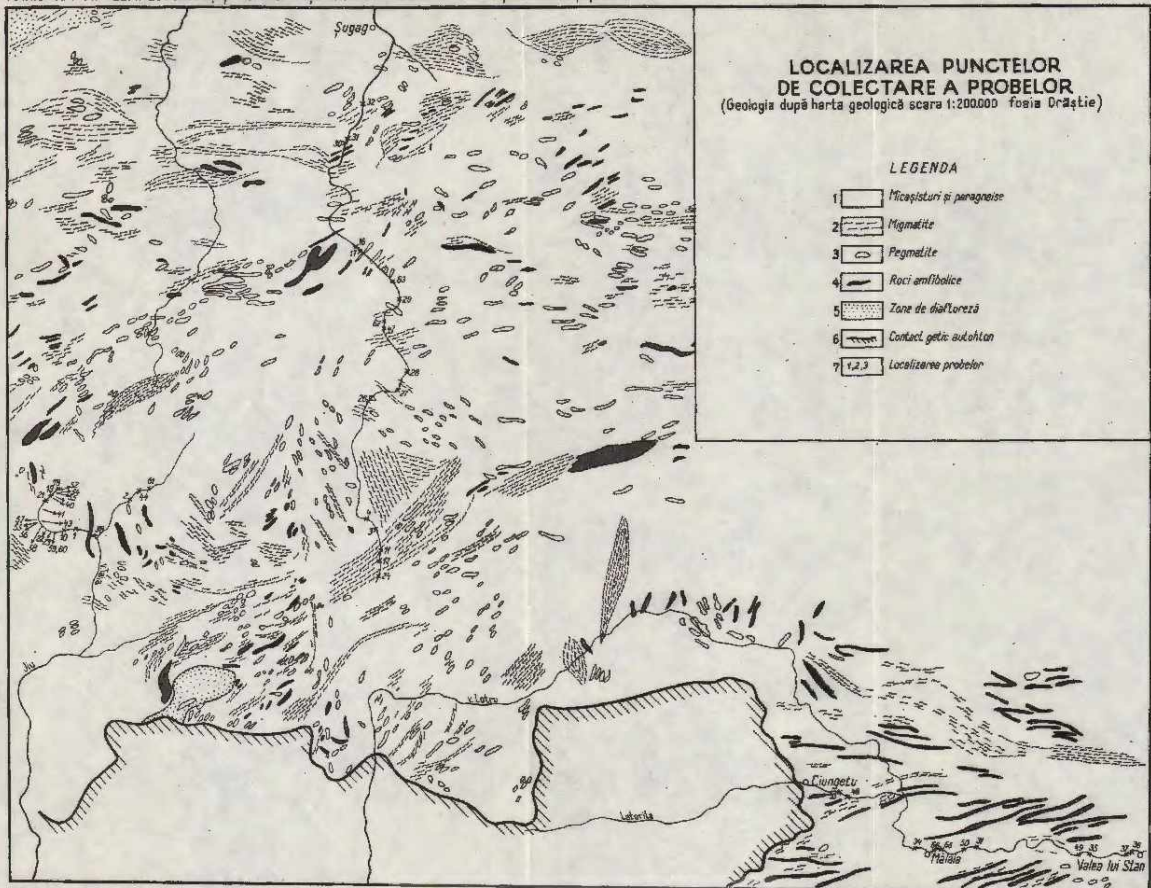
### EXPLICATION DE LA PLANCHE

Localisation des points d'où l'on a prélevé les échantillons (géologie selon la carte géologique échelle au 1/200,000<sup>e</sup>, feuille Orăștie).

1, micaschistes et paragneiss; 2, migmatites; 3, pegmatites; 4, roches amphiboliques; 5, zones à rétrométamorphisme; 6, contact génétique autochtone; 7, (1, 2, 3), localisation des échantillons.



MARIORA - MIA LEMNE. Contribuții privind distribuția elementelor radioactive în formațiunile din Carpații Meridionali



**GEOCHIMIE**

**CONSIDERAȚII PE BAZE STATISTICO-MATEMATICE ASUPRA  
UNOR ANOMALII GEOCHIMICE DE LA S DE PIRIUL NOVĂT-  
VIȘEUL DE SUS (MARAMUREȘ)<sup>1</sup>**

DE

PETRE PROKSCH<sup>2</sup>

**Abstract**

Considerations Based on Statistical Mathematics and Related to Geochemical Anomalies South of the Novăt-Vișeul de Sus Stream (Maramureș). In the district located west of the Tordioaga massif, owing to geochemical survey carried out in 1966, geochemical anomalies of a reduced intensity, and whose outline proved to be obtained only by using the methods of statistical mathematics, have been pointed out. Subsequently, due to the mining work carried out on these geochemical anomalies, important mineralizations were identified.

**Introducere.** În campania anului 1966, am executat prospecțiuni geo- chimice în bazinul Vaserului, la S de pîrîul Novăt.

Lucările geochemice au fost solicitate de către I.F.L.G.S., pentru o zonă foarte complicată tectonic, din care cauză celelalte moduri de investigare (lucrări miniere ușoare, observații geologice) nu au dat rezultate pozitive.

Prospecțiunea geochemicală a urmărit depistarea și conturarea unor anomalii geochemice care să permită astfel dirijarea cu eficiență a lucărilor miniere.

Cu această ocazie am utilizat în interpretarea rezultatelor geochemice metode de statistică matematică, metode ce au dus la rezultate

<sup>1</sup> Comunicare în ședință din 26 decembrie 1969.

<sup>2</sup> Întreprinderea Geologică de Prospecții, Str. Caransebeș nr. 1, București.



interesante. În cale ce urmărează vom arăta pe scurt cadrul și rezultatele cercetărilor noastre.

**Date geologice generale.** Suprafața prospectată geochimic se află situată pe versantul de W al masivului Toroia și la NE de localitatea Vișeu de Sus. Perimetru în suprafață de cca. 2 km<sup>2</sup> este dispus numai pe banda de șisturi cristaline ce bordează masivul eruptiv Toroia. Limita de N a perimetrlui o constituie pîrul Novăț, la E., eruptivul Toroia, la S., versantul stîng al unui affluent al pîrului Caprei (Corbului), iar la W., limita perimetrlui este alcătuită din linia de separare dintre cristalin și sedimentar.

Primele cercetări geologice cunoscute, referitoare la regiunea Toroia, au început încă din secolul XIX, fiind făcute la început de o serie de geologi străini. Lucrările ulterioare, pe lîngă faptul că prezintă hărți geologice ale regiunii, aduc și prețioase indicații de ordin economic.

Cercetările geologice cele mai amănunte referitoare la zona investigată de noi le-a făcut Oiornei et al.<sup>3</sup>, care și-a însoțit lucrările de hărți la diferite scări de detaliere (1 : 20.000, 1 : 5.000, 1 : 2.000) semnalând de asemenea importante apariții de mineralizații.

Din ansamblul acestor cercetări rezultă că la alcătuirea geologică a regiunii participă următoarele formații: roci cristaline, roci eruptive și roci sedimentare.

Rocile cristaline constituie formațiunea geologică predominantă și sunt reprezentate în general prin șisturi de tip epimetamorfic, care au fost separate în două complexe: un complex terigen în bază peste care se dispune un complex vulcanogen. Complexul terigen este constituit din cuarțite negre grafitoase, uneori însoțite de minereuri de mangan, calcare cristaline, șisturi sericito-cloritoase și șisturi sericito-grafitoase.

Complexul vulcanogen constă dintr-o alternanță de șisturi sericito-cloritoase de natură terigenă cu șisturi cloritoase tufogene bazice și metatufuri acide, de care sunt legate zăcăminte de sulfuri polimetalice (Burloaia-Catarama, Novici).

În cadrul perimetrlui prospectat geochimic apar numai șisturi cristaline de tip epimetamorfic ce aparțin complexului vulcanogen.

<sup>3</sup> P. Giornel, Gh. Popa, V. Puia, Maria Puia, E. Rîsa, A.I. Pop, I. Intorsureanu. Raport geologic asupra prospectiunilor pentru minereuri neferoase în bazinul văii Vaserului (sectoarele valea Ivășcoala-pîrul Cailor-Prislopul Cataramei). 1957. Arh. M.I.M.G. București.

Rocile eruptive sunt reprezentate prin mai multe tipuri de andezite de vîrstă neogenă.

Rocile sedimentare apar transgresiv față de cristalin și aparțin Cretacicului superior, Eoceneului sau Cuaternarului.

Din punct de vedere tectonic se constată că zona este afectată intens de numeroase falii și dislocații dispuse radial față de masa andezitică a masivului Toroiaga. Dispoziția acestor dislocații sugerează ideea că au luat naștere în Neogen, o dată cu punerea în loc a masivului Toroiaga.

**Scurtă descriere a mineralizațiilor din zonă.** Mineralizația este destul de bine cunoscută în zonă datorită lucrărilor I.F.L.G.S. Ea aparține la două tipuri distincte: tipul de impregnație — cuprifer, care este legat de prezența filoanelor de cuarț și rocilor porfirogene, alcătuit preponderent din pirită și calcopirittă și tipul compact — complex care apare în șisturile sericitoase din acoperișul zonei cu minereuri cuprilere, dispus în mod obișnuit sub formă de lentile alcătuite din galenă, blendă, pirită (Dobran<sup>4</sup>).

Această mineralizație a fost interceptată la N de sectorul nostru, la Novicior-Roșu, cit și la S, de Piriul Cailor. Din această cauză s-a pus problema dacă zăcământul se continuă și în zona perimetrului nostru. Datorită însă faptului că regiunea este intens tectonizată, investigațiile încercate anterior nu au dat rezultate pozitive.

În urma acestor considerații geologice, prospecțiunea geochemicală a fost chemată să depisteze eventuale anomalii pentru Cu, Pb, Zn, Ag, care să servească la dirijarea cu eficiență a lucrărilor I.F.L.G.S.

**Rezultatele prospecțiunii geochemice.** Înem să arătăm de la început că în prelucrarea rezultatelor prospecțiunii geochemice am utilizat (cu ajutorul lui A.I. Dimitriu de la Institutul Geologic) metode de statistică matematică.

Până în prezent, în evaluarea fondului geochemical și, deci, a anomaliei geochemice, pe lîngă alte metode mai mult sau mai puțin empirice se utiliza metoda mediei aritmetice. Astfel, pentru obținerea „fondului geochemical” se calculă o medie aritmetică a analizelor chimice ajustată (în sensul că valorile prea mari se excludeau în calcularea mediei). În ceea ce privește obținerea valorii „prag” (peste care conținuturile sunt

<sup>4</sup> V. Dobran. Raport geologic asupra lucrărilor de prospecție-explorare și a rezervelor conturate la șantierul Vișeu de Sud — regiunea Maramureș. 1962. Arh. M.I.M.G. București.

considerate anomalie) se multiplică de două-trei ori valoarea fondului geo-chimie. Acest mod de interpretare este nefundamentat statistic și ascunde una din sursele principale de erori în separarea anomaliei geo-chimice. Utilizarea acestei metode — pe care o numim „metoda tradițională” — în cazul perimetru lui prospectat de noi nu ar fi pus în evidență existența unor anomalii care să prezinte interes, ceea ce arată că pragul geo-chimic stabilit astfel este mult prea mare. Spre deosebire de aceasta, utilizarea metodelor statistice a permis separarea de anomalii geo-chimice bine conturate, care au determinat efectuarea de lucrări miniere ce au pus în evidență mineralizații polimetale importante.

Vom arăta aici, pe scurt, metodele statistice folosite; detalii se găsesc într-o comunicare prezentată de Ianovici et al., 1969.

Metodele statistice utilizate de noi sunt metode grafice, și anume: metoda histogramelor și metoda parabolei. Ambele metode se bazează pe concepția că, conținuturile chimice dintr-un perimetru în care se admite prezența unei anomalii se individualizează în două grupă (colectivități): grupa conținuturilor chimice ce aparțin fondului și grupa conținuturilor ce aparțin anomaliei. Grupa ultimă se referă evident la conținuturi mai mari față de grupa fondului. Sarcina pe care și-o asumă cele două metode este de a stabili care este acea valoare ce delimită grupa fondului de grupa anomaliei. Este vorba, deci, de determinarea cu precizie a „pragului geo-chimic”. Ambele metode constau în stabilirea frecvenței cu care apare fiecare conținut chimic în parte, sau fiecare clasă de conținuturi (Sarapov, 1968). Aceste distribuții statistice sunt apoi reprezentate în sistemul rectangular, lăsând în abscisă conținuturile în scară logaritmice (potrivit tipului lognormal de distribuție al elementelor minore în soluri — Hawkes, Webb, 1962), iar pe ordinată frecvența în scară aritmetică — metoda histogramelor sau în scară logaritmice — metoda parabolei.

Grupa de valori aparținând fondului se individualizează într-o curbă sub formă de clopot (metoda histogramelor) sau sub formă de parabolă (metoda parabolei). Pragul geo-chimic se ia acea valoare care mărginește partea superioară a curbei clopot sau valoarea terminală a parabolei. În figura 1 este redată aplicarea acestor metode în cazul Zn.

În sectorul prospectat geo-chimic, la S de pîrîul Novăț, analizele chimice asupra probelor de sol nu au indicat valori cu contrast prea mare față de fondul regional. În această situație, metodele statistice au adus un plus de finețe în separarea zonelor anomale. Astfel, în cazul Cu, prin

metoda mediei aritmetice utilizată pînă în prezent se stabilește valoarea de 12 p.p.m. Cu ca fond geochimic, deci pragul geochimic ar trebui să fie de 36 p.p.m. Cu. Metodele statistice indică însă ca prag geochimic valoarea de 30 p.p.m. Cu. După Cu, se vede diferența, nu este prea mare. Totuși chiar în aceste condiții, anomalii trasate în funcție de pragul geochimic

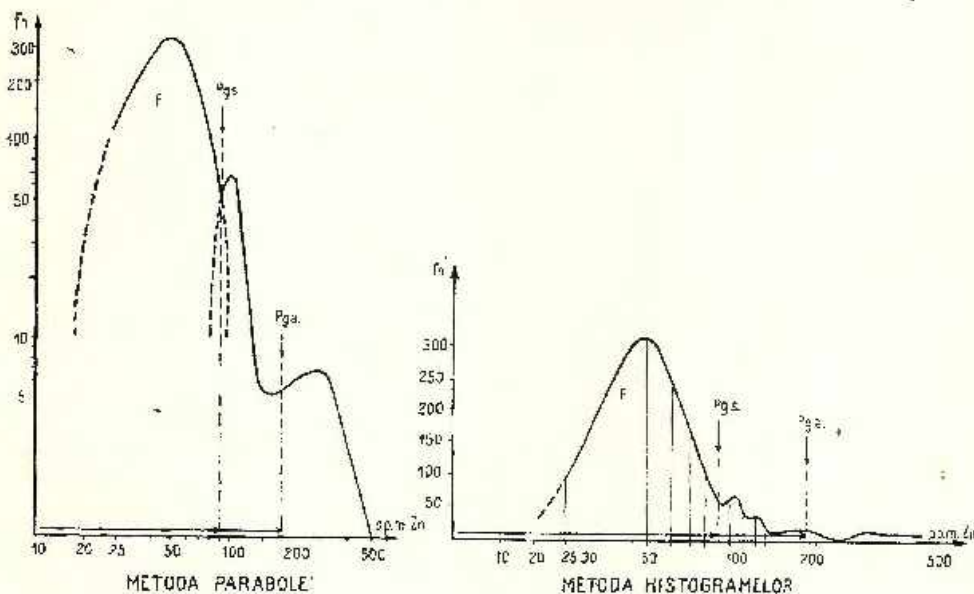


Fig. 1. — Determinarea pragului geochimic al zincului prin metoda parabolelor și metoda histogramelor.

F, fondul geochimic; Pgs, prag geochimic stabilisit statistic; Pga, prag geochimic stabilisit prin metoda mediei aritmetice.

Détermination du seuil géochimique du zinc au moyen des méthodes de la parabole et des histogrammes.

F, fond géochimique; Pgs, seuil géochimique établi à l'aide de la statistique; Pga, seuil géochimique établi à l'aide de la méthode de la moyenne arithmétique.

calculat prin ambele metode diferă ca extindere destul de mult (fig. 2). Am trasat astfel două anomalii de Cu dispuse pe un interfluviu a doi afluenți ai pîrîului Caprei. Dimensiunile lor ajung la cca 60/200 m cu un contrast destul de mic față de fondul geochimic.

În cazul Pb, problema fondului geochimic deja se schimbă. Media aritmetică indică drept valoare fond conținutul de 24 p.p.m. Pb, ceea ce înseamnă că valoarea de 72 p.p.m. Pb ar trebui să fie considerată drept prag geochimic. Utilizând acest prag nu s-ar putea contura o anomalie geochimică semnificativă. Folosind însă valoarea prag de 50 p.p.m. Pb,

determinată statistic, se conturează o anomalie geochemicală de cca 40/250 m, de direcție aproksimativ N-S, suprapusă în mare parte peste anomaliile de Cu. Faptul că anomaliile mai multor elemente se suprapun, vin să întărească ideea că sunt legate de prezența unor mineralizații.

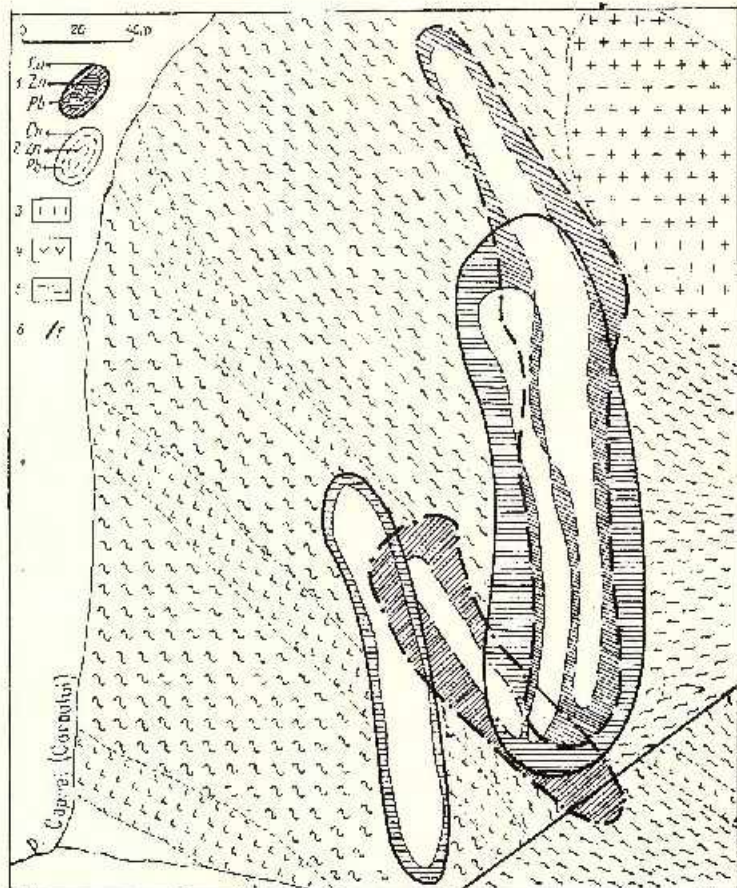


Fig. 2. — Anomalii geochimice de pe pîrul Caprei (S de pîrul Novăi).  
1, anomalii separate statistic; 2, anomalii separate prin metoda mediei aritmetice; 3, andezite  
cu hornblendă; 4, roci porfirogene; 5, găuri sericită-chlorito-euarlite; 6, fâlci.

Anomalies géochimiques rencontrées le long du ruisseau Caprei (S du ruisseau Novăi).

1, anomalies séparées par des moyennes statistiques; 2, anomalies séparées à l'aide de la méthode  
de la moyenne arithmétique; 3, andésites à hornblende; 4, roches porphyrogènes; 5, schistes  
sericitico-chlorito-quartziques; 6, failles.

În cazul Zn se constată cca mai mare discrepanță între valorile pragului geochemical calculate prin metoda mediei aritmetice și prin metode

statistice. Prin metoda mediei aritmetice, fondul geochemical pentru Zn este 59 p.p.m. Deci pragul geochemical ar fi valoarea de 177 p.p.m., pe cind statistic, drept prag geochemical a fost calculata valoarea de 90 p.p.m. Zn. Dacă am folosi pragul geochemical calculat prin metoda mediei aritmetice, zonele anomale conturate ar fi foarte mici sau chiar absente. Astfel, cîteva anomalii de mică întindere, conturate statistic în N perimetru lui, aritmetic nu ar mai apărea, deși se află în zona unor lucrări miniere (puțuri) mai vechi care au contaminat evident solul. De asemenea, anomalia de pe pîrîul Caprei și-ar pierde semnificația, intrucît un număr cu totul redus de valori ar putea fi considerate ca anomalie.

În concluzie, ținem să subliniem că deși anomalile combinate de Cu, Pb, Zn, conturate statistic, au avut intensități și dimensiuni reduse, ele au fost verificate prin lucrări miniere. O dată fiind în posesia anomalilor geochemical I.F.L.G.S. a amplasat lucrări miniere (puțuri) în cadrul anomalilor de pe pîrîul Caprei. Aceste lucrări „au interceptat mineralizații complexe și cuprifere, atât în blocuri, cît și în loc” (comunicare făcută de I.F.L.G.S.). Totodată, aceste lucrări au contribuit la verificarea ipotezei continuității mineralizațiilor pe bordura de W a masivului Toraiga, conduceind la conturarea, prin lucrări miniere, de importante mineralizații polimetalice.

Rezultatele obținute au de asemenea o importanță metodologică, punind problema reevaluării anomalilor geochemical slabă prin folosirea metodelor statistice și prin luarea în considerare a unei serii de mai mulți factori.

În primul rînd este vorba de caracterul chimic al rocilor investigate. Din practica de pînă acum se constată că, conținuturile considerate de noi anomalie în solul de pe șisturile cristaline își pierd semnificația dacă ar fi depistate în solul de pe rocile calcaroase. Aceasta din cauza faptului că rocile carbonatice prin caracterul lor alcalin sunt favorabile fixării ionilor metalici, putindu-se ajunge la situații, cînd în solul dispus pe calcare să avem conținuturi metalice mai mari decît în roca generatoare.

Un alt factor ce contribuie la modificarea aspectului geochemical al unei zone, îl constituie stadiul de maturitate al solului. În sectorul Novăț, în cadrul perimetru lui prospectat geochemical, pătura de sol este slab dezvoltată, avind o grosime de 20-80 cm. Deci, cauza contrastului redus al anomalilor geochemical depistate de noi poate fi stadiul de imaturitate al păturii de sol, cunoscindu-se faptul că, constituenții metalici se acumulează preferențial în cadrul orizontului „B” argilos — orizont ce este propriu profilelor de sol, mai mult sau mai puțin complete.

Altă cauză probabilă care influențează intensitatea anomalilor este fenomenul de ecranare al diverselor formațiuni acoperitoare. În cazul nostru este vorba de importante mase de grohotișuri andezitice care din cauza unghiului de pantă pronunțat acoperă cea mai mare parte din perimetru geochimic, ecranind și mai mult mineralizațiile aflate la adâncimi apreciabile.

Acestea sunt numai cîteva dintre cauzele care credem că, converg la diminuarea intensității unor anomalii geochimice, anomalii ce pot fi de altfel semnificative. De asemenea, se ridică problema determinării fondului și pragului geochimic pentru fiecare zonă petrografică sau chiar pentru sectoare restrinse ca suprafață, ținindu-se seama de variabilitatea chimismului rocilor (Savul et al., 1963). Menționăm că în bazinul Vaserului au mai fost executate prospecțiuni geochimice și ele au consemnat același fond geochimic scăzut (Tomescu)<sup>6</sup>. Putem considera că este vorba de un aspect regional care impune necesitatea revizuirii criteriilor utilizate pînă în prezent în evaluarea anomalilor geochimice.

**Concluzii.** Rezultatele bune confirmate prin lucrări miniere demonstrează importanța prelucrării statistice a datelor chimice, necesitatea separării anomalilor geochimice prin fundamentare statistică-matematică.

Discrepanțele importante care se evidențiază între valorile pragului geochimic, determinate prin cele două metode, demonstrează necesitatea revizuirii metodologiei folosite în prezent în interpretarea și evaluarea anomalilor geochimice.

Se impune interpretarea complexă a anomalilor geochimice de intensitate redusă în scopul depistării anomalilor semnificative.

Autorul aduce pe această cale mulțumiri lui A. L. Dimitriu pentru sprijinul acordat în aplicarea metodelor statistică-mateematice.

#### BIBLIOGRAFIE

- Beus A. A., Grigorian S. V. (1965) Application des méthodes de statistiques mathématiques dans les prospections géochimiques. Séminaire des méthodes de prospections géochimiques des minéraux utiles métallifères. Moscou.
- Hawkes H. E., Webb J. S. (1962) Geochimistry in Mineral Exploration. Harper's Geoscience Series. New York.

<sup>6</sup> Camelia Tomescu. Raport asupra prospecțiunilor geochimice din Carpații Orientali – sectorul Maramureș – Vișeu. 1969. Arh. M.I.M.G. București.

- Ianovici V., Dimitriu A.I., Ciobanu D., Proksch P. (1969) Necessitatea unei noi fundamente de prospectiuni geochimice de substanțe minerale utile. *D.S. Com. Stat. Geol.* LIV/3, București.
- Savul M., Ababoi V., Botez G., Movileanu A. (1963) Contribuții la cunoașterea distribuției elementelor minore în profilul geochimic al Carpaților Orientali. *Asoc. Geol. Carp.-Balc.* II, București.
- Sarapov I. P. (1968) Utilizarea statisticii matematice în geologie. Ed. științifică, București.

## CONSIDÉRATIONS STATISTICO-MATHÉMATIQUES CONCERNANT CERTAINES ANOMALIES GÉOCHIMIQUES AU S DU RUISSEAU NOVĂT-VIŞEUL DE SUS (MARAMUREŞ)

(Résumé)

En 1966, l'auteur a exécuté des prospections géochimiques à l'NW du massif Tordiaga dans une zone où les prospections géologiques sont entravées par l'existence d'une compliquée zone tectonique.

Les résultats de la prospection géochimique, peu significatifs pour l'interprétation „traditionnelle”, ont été interprétés à l'aide des méthodes de statistique mathématique.

On a employé des méthodes statistiques graphiques simples à savoir : la méthode des histogrammes et la méthode de la parabole. En essence, ces deux méthodes prennent comme point de départ l'idée que les teneurs chimiques d'un périmètre où l'on admet la présence d'une anomalie s'individualisent en deux groupes : le groupe des teneurs chimiques appartenant au „soubassement” et le groupe des teneurs appartenant à l'anomalie. Le second groupe présente évidemment des teneurs plus grandes que le premier. Ces deux méthodes cherchent à établir la valeur qui sépare les deux groupes. Il s'agit donc d'établir le plus précis possible le „seuil géochimique”. Les deux méthodes consistent dans l'établissement de la fréquence avec laquelle chaque teneur chimique ou chaque classe de teneurs apparaît. Ces distributions statistiques ont été à la suite représentées dans le système rectangulaire ayant pour abscisse les teneurs à l'échelle logarithmique (en concordance avec le type lognormal de distribution des éléments chimiques mineurs en sols — Hawkes, Webb, 1962); sur l'ordonnée on inscrit la fréquence à l'échelle arithmétique (la méthode des histogrammes) ou à l'échelle logarithmique (la méthode de la parabole).

Le groupe de valeurs appartenant au fond s'individualise dans une courbe sous forme de cloche — la méthode des histogrammes, ou sous forme de parabole — la méthode de la parabole. C'est la valeur qui confine à la partie supérieure de la courbe-cloche ou la valeur terminale de la parabole qu'on prend pour seuil géochimique.

Jusqu'à présent, ces paramètres géochimiques (fond, seuil, anomalie) étaient calculés, à côté d'autres méthodes plus ou moins empiriques, à l'aide de la méthode de la moyenne arithmétique. Ainsi, pour obtenir le fond géochimique on calculait une moyenne arithmétique ajustée (par l'élimination des valeurs trop grandes). La valeur „seuil” était obtenue en multipliant deux ou trois fois la moyenne arithmétique. Les teneurs qui dépassaient cette

valeur étaient prises pour anomalies. Interprétant de cette façon les résultats de la prospection géochimique on n'aurait pu mettre en évidence des anomalies géochimiques dans notre secteur.

L'emploi des paramètres géochimiques statistiquement calculés a permis de tracer des anomalies géochimiques bien individualisées, ce qui à finalement conduit à l'exécution de travaux miniers qui ont mis en évidence d'importantes minéralisations.

En même temps, l'auteur démontre qu'une série de facteurs (le chimisme des roches étudiées, le degré de maturité du sol, les minéralisations dissimulées par des écrans, etc.) contribuent à l'apparition de certaines anomalies géochimiques d'intensité et extention réduites, qui peuvent être d'ailleurs significatives.

En conclusion, on démontre que les bons résultats obtenus, confirmés par des travaux miniers, justifient la nécessité de l'interprétation et de l'évaluation des anomalies géochimiques sur bases statistico-mathématiques.

**DISTRIBUȚIA Se, Ni, Co, Cr, V, Ba, Sr și Li ÎN BIOTITELE DIN  
UNELE ȘISTURI CRISTALINE ȘI ROCI GRANITOIDE DIN  
MUNTII SEMENIC (BANAT)<sup>1</sup>**

de

HARALAMBIE SAVU, CONSTANTĂ UDRESCU, VIORICA MINDROIU\*

**Abstract**

**Distribution of Sc, Ni, Co, Cr, V, Ba, Sr and Li in Biotites within the Crystalline Schists and Granitoid Rocks of the Semenic Mountains (Banat).** This paper deals with the distribution of minor elements in biotites within the crystalline schists from the pre-Baikalian metamorphic province and within the granitoid rocks from the Semenic Mountains. Within biotites of the main metamorphic zones, the distribution of these elements is checked by the intensity of the metamorphism process, being influenced by the amount of coexisting garnet and muscovite, as well as by the variation of major elements which are substituted for minor elements in the network of these minerals. Their distribution is likewise influenced by the metamorphic differentiation process, and especially the exchange of ions which may occur during the metamorphism process between layers or bodies of rocks showing a different chemical composition. This fact is proved by the existence of monomineral zones with biotite which have formed at the contact between a talc deposit and crystalline schists bearing garnet and biotite, and zones with flogopite formed at the contact between a lens of carbonatic rocks and sillimanite-bearing gneisses. In biotites from quartziferous diorites the content in minor elements varies but in reduced limits, revealing that the rocks have derived from a homogeneous magma; their content is approximately the same both in biotites from diorites and in micas of the biotite autoliths distinguished in the latter ones.

Sisturile cristaline au fost cercetate în prezent mai ales din punct de vedere stratigrafic și petrologic, urmărindu-se pe de o parte succesiunea formării depozitelor premetamorfice și pe de alta, variația

<sup>1</sup> Communicare în ședința din 20 februarie 1970.

\* Institutul Geologic, Șos. Kiseleff nr. 55, București.



intensității metamorfismului, respectiv izogradele și zonele metaanorfice care au luat naștere în funcție de condițiile termodinamice care au controlat metamorfismul regional.

Puțini cercetători s-au ocupat, chiar la scară mondială, de compoziția elementelor minore în timpul manifestării proceselor metamorfice și pe bună dreptate arată M e h n e r t (1968) că, în comparație cu studiul rocilor magmatische, geochemia rocilor metamorfice și migmatice este la începutul dezvoltării sale.

În lucrarea de față vom urmări variația conținutului de elemente minore în biotitele din sisturile cristaline cu diferite grade de metamorfism și rocile granitoide din provincia metamorfică prebaicaliană din munții Semenicului, încercând să scoatem în evidență factorii care controlează distribuția lor în aceste minerale.

#### **Considerații asupra petrologiei provinciei metamorfice prebaicaliene**

Provincia metamorfică prebaicaliană se dezvoltă în Banat cu deosebire în munții Semenic, regiune din care au provenit probele analizate.

Teconica primară a formațiunilor cristalofoiene din această provincie metamorfică este dominată de o structură în virgație, ce se afundă de la est spre sud-vest și sud-sud-vest, formată din mai multe structuri anticlinale și sinclinale, a căror poziție în spațiu a permis descifrarea succesiunii stratigrafice și a izogradelor de metamorfism (S a v u, 1970).

Această provincie cuprinde două serii de sisturi cristaline însumind o grosime totală de aproximativ 24 km : seria mezometamorfică de Sebeș-Lotru și seria epimetamorfică de Miniş.

Seria de Sebeș-Lotru începe, în bază, cu un complex de paragnaise cu sillimanit și roci carbonatice (dolomite cristaline și calcare cu silicati), peste care se suprapun în succesiune complexul paragnaiselor cu biotit și muscovit și ale gnaiselor cuarț-feldspatic, complexul cuarțitelor, complexul micașisturilor și complexul amfibolitelor și ale formațiunii manganiferă. În partea meridională a masivului, peste seria de Sebeș-Lotru astfel constituită, se aşază concordant seria de Minиш, alcătuită din sisturi cuarțitice și ortoamfibolite cu care se asociază cîteva corperi de roci ultrabazice serpentinizate sau transformate în talc.

În cursul metamorfismului regional progresiv, manifestat în condiții termodinamice în care  $T$  a variat de la 450 la  $> 700^{\circ}\text{C}$  și  $P$  de la 4 la  $\sim 10 \text{ Kb}$ , gradientul geotermic fiind de aproximativ  $20-25^{\circ}/\text{km}$ , au luat naștere șapte zone metamorfice care se incadrează la seria de faciesuri standard disten-sillimanit în sensul stabilit de Miyashiro (1961).

Excluzind zona cu clorit care în muntii Semenic este erodată<sup>3</sup>, zonele ce se conservă încă sunt: zona cu biotit, zona cu almandin, zona cu staurolit, zona cu staurolit și disten, zona cu disten și zona cu sillimanit (fig. 1). În zonele mai profunde, cu deosebire în zona cu disten și zona cu sillimanit ce s-au format între 600-700°C (fig. 2), au avut loc fenomene de anatexie diferențială, generând diferite tipuri de migmatite venitice și numeroase corpuri de pegmatite (Savu, 1969, 1970).

Între stratele sau corpurile de roci cu compoziție chimică diferită, cum sunt rocile ultrabazice transformate în tale, rocile carbonatice și sisturile cristaline silico-aluminoase, au avut loc schimburi de substanță, determinând formarea de minerale și parageneze caracteristice.

În stadiul sincinematic, sincron cu metamorfismul acestei provincii metamorfice, au fost puse în loc și cîteva corpuri de roci granitoide — cum este eccl de la Poniascea — situate de obicei în zona axială a structurilor antidiplinale ale vîrgației.

### Distribuția elementelor minore

În scopul urmăririi distribuției elementelor minore în biotite, au fost analizate miciile din patru zone metamorfice, biotitul de la contactul zăcămîntului de talc de la Pîrvova, flogopitul de pe contactul lentilei de roci carbonatice de la Armeniș și biotitele din dioritele euarțifere de la Ponjasca.

1. *Distribuția elementelor minore în biotitele rocilor din cele patru zone metamorfice.* Pentru această cercetare au fost analizate biotitele din mica-sisturile și paragnaișele zonelor cu almandin, staurolit și disten, disten și cu sillimanit. După cum rezultă din tabelul 1 și figura 3, acestea se comportă în mod diferit.

Scandii prezintă conținuturi variabile în biotit. După cum s-a arătat anterior (Savu et al., 1971), acestea depind atât de temperatura de formare, cât și de conținutul de granat piralspitic — cum au remarcat deja Engel și Engel (1958, 1960) — și de muscovit din rocă, minerale în care  $Sc^{3+}$  (0,81 Å) înlocuiește izomorf  $Mg^{2+}$  (0,66 Å),  $Fe^{2+}$  (0,74 Å) și  $Al^{3+}$  (0,57 Å) (Rankama și Sahama, 1950). Deoarece rocile analizate conțin toate granați, în aceste condiții conținutul de Sc din biotite nu poate fi folosit ca termometru geologic. El poate fi utilizat

<sup>3</sup> Cercetările întreprinse de Savu în anul 1969 în sisturile cristaline de la vest de Bozovici, au arătat că în această regiune se păstrează încă și zona de clorit, care cuprinde sisturile epimetamorfice înscrise anterior în seria de Buceava.

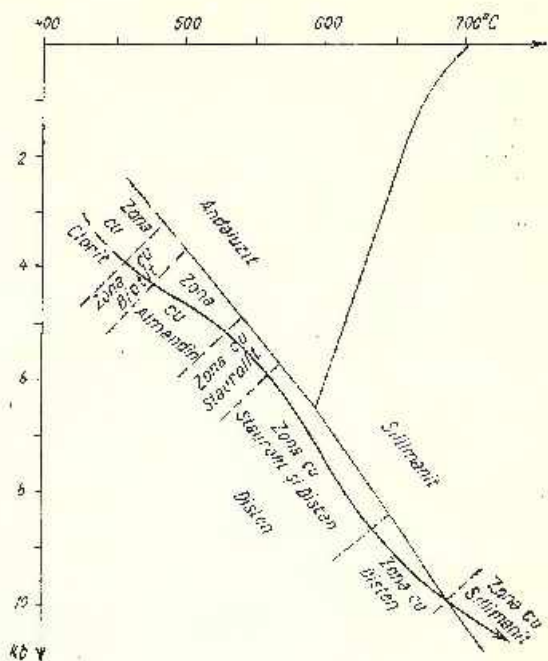


Fig. 1. — Curba gradientului PT pentru provincia metamorfică prebaicaliană din munjii Semeric (după H. Savu, 1969; 1970).

Courbe du gradient PT pour la province métamorphique prébaïkalienne des monts Semeric (selon H. Savu, 1969; 1970).

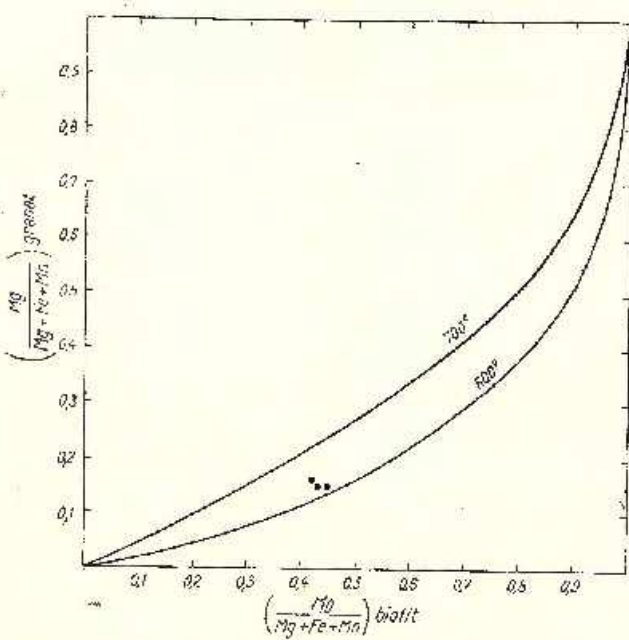


Fig. 2. — Proiecția rocilor din zonele cu staurolit și disten, disten și cu sillimanit pe diagrama construită de L. L. Percine (1967), în funcție de raportul elementelor ferromagneziene din granat și biotit.

Projection des roches de la zone à staurolite et disthène, à disthène et à sillimanite portée sur le diagramme construit selon L. L. Percine (1967), en fonction du rapport des éléments ferro-magnésiens du granat et de la biotite.

în acest scop numai în cazul în care biotitul este singurul mineral melanocrat prezent în rocă (Offtedahl, 1943).

Nichelul variază și el neregulat, prezintând conținuturi cuprinse între 136 și 170 ppm. Aceste conținuturi depind de asemenea de cantitatea de minerale melanocrate aflate în parageneză cu biotitul și de gradul

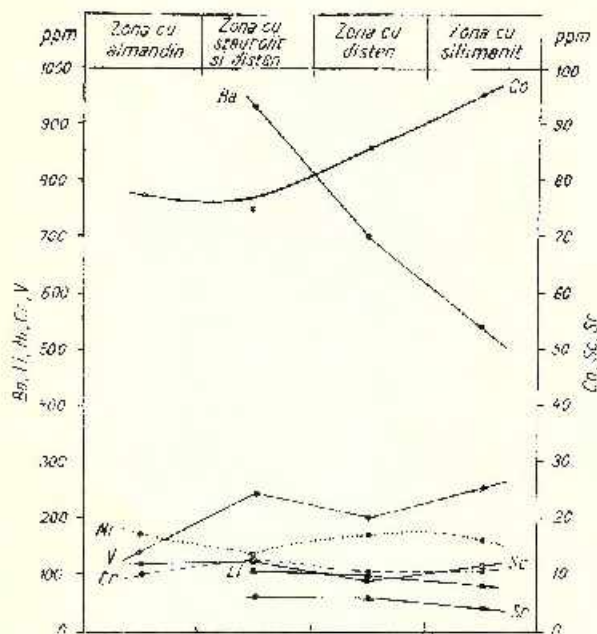


Fig. 3. — Distribuția elementelor minore în biotite din principalele zone metamorfice.

Distribution des éléments mineurs dans les biotites des principales zones métamorphiques.

TABELUL 1

*Distribuția elementelor minore (ppm) în biotite din rocile diferitelor zone metamorfice*

Nr. crl.	Zona de metamorfism, tipul de rocă, și locul de colectare	Sc	Ni	Co	Cr	V	Ba	Sr	Li
1	Zona cu almandin. Micașist cu granat și biotit. Valea Craiovei (Pirvova)	12	170	78	100	140	-	-	-
2	Zona cu staurolit și disten. Micașist cu granat, staurolit și disten. Văliug	12,5	136	75	127	245	930	6	110
3	Zona cu disten. Micașist cu granat și disten. Pirful Bibăndui	9	170	85	106	200	700	6	92
4	Zona cu sillimanit. Paragneis cu sillimani- tul. Armeniș	11,5	160	95	122	255	540	4	82

de metamorfism, în sensul că conținutul de Ni tinde să crească în biotit și să scadă în granati. În cazul de față, această tendință nu este evidentă.

O tendință de creștere clară a conținutului, cu intensitatea metamorfismului, se remarcă în cazul V și Co, și în mai mică măsură în cazul Cr.

Conținutul de V crește de la 140 ppm în zona cu almandin pînă la 255 ppm în zona cu sillimanit. Această comportare confirmă observațiile lui Kretz (1959), care a arătat că conținutul de V în biotite crește cu intensitatea metamorfismului, în timp ce în granatul coexistent scade în acest sens. O creștere accentuată cu intensitatea metamorfismului se observă în cazul conținutului de Co (fig. 3) care, pornind de la 75-78 ppm în zonele cu metamorfism mai scăzut, atinge 95 ppm în zona cu sillimanit. Deși prezintă oscilații, conținutul de Cr tinde și el să crească în sensul accentuării grafului de metamorfism, ajungînd de la 100 ppm în zona cu almandin, la 122 ppm în zona cu sillimanit; variațiile de conținut prea mari în zonele metamorifice intermediare maschează această tendință, astfel că ea apare neconcludentă.

Variatia conținutului de  $\text{Co}^{2+}$  (0,72 Å),  $\text{V}^{3+}$  (0,74 Å) și a altor elemente minore din biotite, în cursul metamorfismului este clar controlată de variația conținutului de Mg și Fe, pe care le înlocuiesc izomorf în mineralele melanocrate — biotit și granat — eventual și în musecovitul coexistent. Numeroși cercetători (Miyashiro, 1953, 1956; Velicoslavinskii, 1966; Engel și Engel, 1958, 1960) au arătat că cu creșterea metamorfismului, crește și conținutul de Fe și Mg în granati, fapt ce a fost demonstrat clar prin lucrarea de sinteză a lui Nandi (1967). Această modificare atrage după sine o concentrare a elementelor minore mai mare în granat decît în biotit. În prezent însă, asupra acestor modificări, în special cele care privesc granatul, se duc discuții între Buddington (1965, 1966) și De Waard (1965) privind importanța factorilor PT în formarea izogradelor granatilor din Adirondack.

Pentru celelalte elemente, cum sunt Cr și Ni, o astfel de variație nu rezultă clar din datele pe care le deținem. După cum remarcă Turekian și Phinney (1962), var se stabilește un echilibru în distribuția elementelor minore din mineralele coexistente în roci metamorfice, deoarece legile care guvernează distribuția acestora în rețeaua cristalină a mineralelor sunt mai multe decât aceea bazată pe raza ionică. Această concluzie ne conduce la ideea că raporturile dintre cationii Ca, Mn, Fe și Mg ce se modifică cantitativ în rețeaua mineralelor melanocrate în timpul metamorfismului, influențind în același timp raporturile dintre elementele

minore pe care le captează, ar putea差别 de la o provincie la alta, fiind o moștenire preluată de la rocile sedimentare premctamorfice. De asemenea, este probabil că modul de comportare a elementelor majore controlat de factorul presiune specific făcării provinciei metamorfice, cum remarcă Velicovskii (1965) și Savu et al. (1967), să influențeze în mod deosebit și raporturile dintre unele elemente minore din rețea minerală a mineralelor care se găsesc în diferite parageneze.

Distribuția elementelor minore în biotitele rocilor din diferite zone metamorfice este controlată de asemenea de proporția în care elementele majore Al și K participă în compoziția biotitului și muscovitului. Saixena (1966), analizând geochemia Ti în acestea mici aflate în parageneză, constată că el înlocuiește și din rețea lor și această înlocuire pare să fie controlată de cantitatea de Al din minerale. În mod asemănător, cantitatea de Al din muscovitul coexistent cu biotitul poate influența conținutul de Sc din acesta din urmă, în funcție de intensitatea metamorfismului, așa cum a fost deja semnalat (Savu et al., 1970).

Alte elemente determinate în biotitele analizate sunt Ba, Sr și Li.

Bariul prezintă conținuturi care scad puternic de la zona cu staurolit și disten spre zona cu sillimanit, deci în sensul accentuării metamorfismului (fig. 3).  $\text{Ba}^{2+}$  (1,43 Å) intră în rețea biotitului în poziția  $\text{K}^{1+}$  (1,42 Å), element pe care îl înlocuiește izomorf și în muscovit. Presupunind că conținutul global de Ba din rocile analizate a fost aproximativ egal și cum acestea sunt lipsite de alte minerale cu potasiu cum ar fi microclinul, rezultă că cu creșterea metamorfismului, Ba este captat în cantitate mai mare în rețea muscovitului. Această scădere este în concordanță și cu observația că numărul ionilor de  $\text{K}^{1+}$  din biotit scade cu accentuarea metamorfismului.

Stronțiul care înlocuiește de obicei Ca în rețea plagioclazului, în biotite se găsește în cantitate redusă, ocupând probabil poziția K.

Litiul, ca și bariul, prezintă o scădere evidentă în sensul creșterii intensității metamorfismului și anume, de la 110 ppm în biotit din zona cu staurolit și disten pînă la 82 ppm în biotit din zona cu sillimanit. Aceasta se explică prin faptul că Mg, pe care  $\text{Li}^{1+}$  (0,68 Å) îl înlocuiește izomorf în rețea biotitului, scade cu accentuarea metamorfismului.

În cazurile analizate mai sus am avut în vedere distribuția elementelor minore în cursul metamorfismului între mineralele rocilor cu diferite parageneze, dar a căror compoziție chimică este destul de apropiată. În afară de aceste condiții, mai există și alți factori care pot influența distribuția elementelor minore în biotite. Așa ar fi, de exemplu, procesele de diferen-

tiere metamorfică și mai ales, schimbările de substanță ce au loc în timpul metamorfismului între stratele de roci cu compoziție chimică diferită. Merită să fie analizate în acest sens următoarele două cazuri foarte concluzioane.

*2. Distribuția elementelor minore în acumulările de biotit de la contactul zăcămîntului de talc de la Pirnova cu șisturile cristaline.* Zăcămîntul de talc de pe valea Craiovei (Pirnova) este situat la limita dintre zona cu biotit și zona cu almandin. La contactul cu șisturile cristaline din zona cu almandin că prezintă separații biotitice care alcătuiesc un înveliș monomineral. Formarea acestor biotite a fost atribuită de Savu (1970) schimbului de ioni dintre roca ultrabazică și șisturile cristaline silico-aluminoase.

TABELUL 2

*Distribuția elementelor minore (ppm) în mineralele din rocile din zona zăcămîntului de talc de la Pirnova*

Nr. crt.	Mineralul, tipul de rocă și locul de colectare	Sc	Ni	Co	Cr	V	Ba	Sr	Li
1	Talc din zăcămîntul de pe valea Craiovei -Pirnova	<3	1600	100	1800	18	80	13	4
2	Biotit la contactul zăcămîntului de talc cu șisturile cristaline	5	725	70	270	43	850	6,5	130
3	Biotit la contactul zăcămîntului de talc cu șisturile cristaline	6	970	70	650	30	800	5	140
4	Biotit la contactul zăcămîntului de talc cu șisturile cristaline	6	220	60	6	23	1000	6	140
5	Biotit din micaștul cu biotit și granat de pe valea Craiovei-Pirnova	12	170	78	100	140	--	--	--

Pentru a urmări comportarea elementelor minore în condițiile acestor procese metasomatice sinmetamorfice, au fost analizate talcul și biotitele din zona monominerală, conținuturile lor fiind apoi comparate cu conținutul de elemente minore din biotitul zonei cu almandin (tab. 2).

În talc s-au obținut cantități scăzute de Sc, V, Ba și Li și conținuturi ridicate de Ni, Co și Cr. În ceea ce privește media acestor elemente în rocile ultrabazice, diferenții cercetători au stabilit următoarele valori (tab. 3).

Conținuturile medii de elemente minore din rocile ultrabazice cunoscute în literatură, comparate cu cele din talcul de la Pirnova, atestă

TABELUL 3

Media conținutului de elemente minore (ppm) în rocile ultrabazice

Autori	Roci	Ni	Co	Cr	V	Li	Sc	Ba	Sr
Vinogradov (1962)	rocile ultrabazice	2000	200	2000	40	0,5	5	1	10
Stueber și Goles (1967)	rocile ultrabazice	—	110	2980	—	—	15,7	—	—
	dunitice	—	119	2480	—	—	5,4	—	—
Savu et al. (1970)	peridotite	864	140	1466	101	<1,5	—	11	15
Talcul de la Pirvoaia		1600	100	1800	18	4	<3	80	13

că zăcământul de talc analizat a provenit prin transformarea unui corp de roci ultrabazice, probabil de compoziție dunitică. În sprijinul acestei concluzii vin și observațiile făcute de Efendiev et al. (1966), care

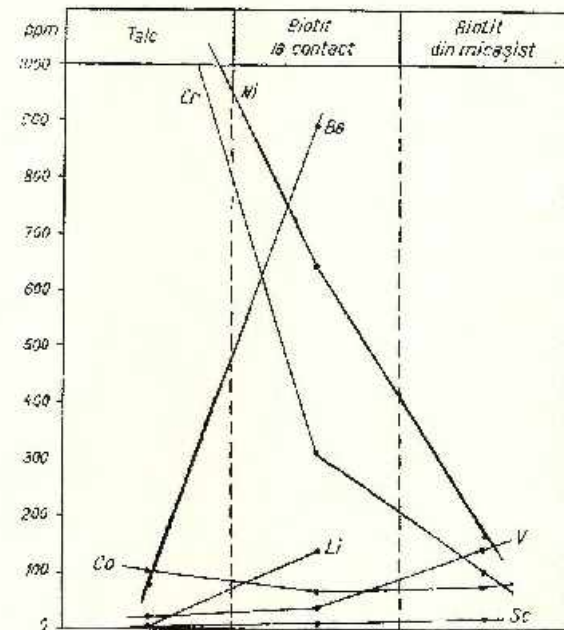


Fig. 4. — Distribuția elementelor minore în talc și biotite.

Distribution des éléments mineurs dans le talc et la biotite.

au arătat că rocile ultrabazice din Caucaz conțin 0,0015-0,0040 %  $\text{Sc}_2\text{O}_3$ . Stueber și Goles (1967) au observat că procesul de serpentinizare a rocilor ultrabazice nu influențează conținutul de elemente minore

S-a presupus însă, că procesul de transformare în talc, care este mai avansat, afectează totuși acest conținut (Savu et al., 1970).

După cum rezultă din figura 4, în timpul formării zonei monominerale la temperatura de  $470^{\circ}\text{C}$  și presiunea de 4 Kb, pe seama rocilor ultrabazice situate la contact cu șisturile cristaline cu granat și biotit, au avut loc următoarele schimburi de elemente majore și minore. Din șisturile cristaline au fost introduse în talc cantități variabile de V, Sc, Li și Ba, elemente care în aceste roci sunt mai abundente decât în talc; din zona de biotit ce se formează pe seama materialului ultrabazic, au fost îndepărtate cantități variabile de Ni, Cr și Co, elemente care sunt mai abundente în talc decât în biotite sau în șisturile cu granat și biotit. Migrația elementelor s-a făcut deci în sensul de la șisturile cu granat și biotit spre roca ultrabazică, ea să comportat ca un absorbant atât pentru Si, Al, K și  $\text{H}_2\text{O}$  necesare formării biotitelor pe seama materialului bogat în Mg, Fe, Cr, Ni și Co, cît și pentru elementele minore V, Sc, Li și Ba ce au fost atrăgute de acestea și captate în rețeaua biotitelor. Distribuția acestor elemente minore între cele trei tipuri de roci cu compoziția chimică foarte diferită se face în acest caz, proporțional cu conținutul lor inițial în fiecare rocă.

*3. Distribuția elementelor minore în flogopitul format la contactul dintre rocile carbonatice și gnaisele din zona cu sillimanit.* Pe marginile lentilei de dolomite cristaline și calcare cu silicati de la gura văii Armeniș s-au format, la contactul cu gnaisele cu sillimanit în parte migmatizate, lentile monominerale de flogopit, care au provenit printr-un proces asemănător cu cel descris mai sus și anume, schimbul metasomatic de ioni de Si, Al, K și apă, care au migrat din gnaise în rocile carbonatice în condiții termodynamice, în care temperatura a fost de aproximativ  $700^{\circ}\text{C}$ , iar presiunea de cca 10 Kb.

Rezultatele determinărilor de elemente minore din rocile carbonatice, flogopitul de la contact și din biotitul din gnaise sunt redate în tabelul 4. Se constată că în timp ce în rocile carbonatice aproape toate elementele minore, cu excepția Ba și Sr, apar în cantități extrem de mici, conținutul lor crește în flogopitul format pe seama acestora și în biotitul din gnaisele cu sillimanit.

Aceste relații sunt exprimate mai sugestiv în graficul din figura 5, din care rezultă că în timpul formării lentilelor de flogopit a avut loc o invazie de V, Ni, Cr, Co și Sc din gnaise, fiind îndepărtate cantități importante de Sr și mai reduse de Ba.

TABELUL 4

Distribuția elementelor mînore (ppm) în mineralele din rocile din zona lentilei de carbonat de la Armeniș

Nr. crt.	Mineralul, tipul de rocă și locul de colectare	Sc	Ni	Co	Cr	V	Ba	Sr	Li
1	Calcar magneziian cristalin din lenta de la gura văii Armeniș	<3	7	<5	<5	6	2500	490	—
2	Flogopit de la contactul lentilei de dolomite și calcare cu silicati cu gnaisele zonei cu sillimanit	19	48	6,5	80	160	2200	4	140
3	Flogopit de la contactul lentilei de dolomite și calcare cu silicati cu gnaisele zonei cu sillimanit	19	52	5,5	73	173	2400	4,5	185
4	Flogopit de la contactul lentilei de dolomite și calcare cu silicati cu gnaisele zonei cu sillimanit	19	53	6,5	80	180	2100	3,5	110
5	Biotit din gnaisal ca sillimanit și granat de la Armeniș	11,5	160	95	122	255	540	4	82

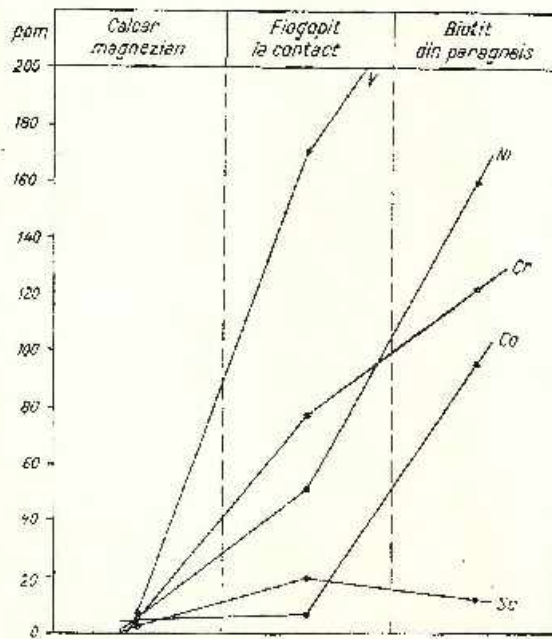


Fig. 5. — Distribuția elementelor minore în calcar, flogopit și biotit.

Distribution des éléments mineurs dans le calcaire, la phlogopite et la biotite.

În cele două exemple de schimburi metasomatice analizate mai sus, procese în care am văzut că sunt antrenate și elementele minore, am avut în vedere roci cu compoziție chimică foarte diferită. Diferența de compoziție dintre rocile comune (micașisturi, cuartite, paragnaisc și amfibolite) dintr-o provincie metamorfică oarecare nu este aşa de accentuată, dar oricât ar fi ea de mică, este clar că trebuie să ne așteptăm ca schimburi de această natură să aibă loc, intensitatea lor depinzând de intensitatea metamorfismului și, evident, de diferența de chimism. Sunt numeroase exemplele în care, în zonele de metamorfism profund din munții Semenic, Lotru și Sebeș, întâlnim intercalate între benzile de gnaise cuarțo-feldspatice și de amfibolite, sau în interiorul acestora, separații mai melanocrate sau mai leucocrate, rezultate în urma proceselor de diferențiere metamorfică și de schimburi metasomatische realizate în condițiile migrației rocilor. Aceste schimburi modifică atât compoziția chimică globală a rocilor aflate în contact, cît și raporturile dintre elementele majore și minore din compoziția acestora.

4. *Distribuția elementelor minore în biotitele din dioritele cuarțifere de la Poniasca.* Dioritele cuarțifere cu biotit formează faciesuri ale pluto-nului granitoid sinorogen de la Poniasca. Ele sunt alcătuite din cuarț, plagioclaz zonat ( $An_{48-52}$ ), biotit, mai rar hornblendă verde și minerale accesori. În dioritele cuarțifere se întâlnesc frecvent separații melanocrate, formate preponderent din biotit asociat uneori cu plagioclaz zonat și epidot.

Au fost analizate biotitele din cinci diorite cuarțifere (tab. 5). Remarcăm că conținutul de Se, care poate fi utilizat ca termometru geologic, variază între 20 și 36 ppm, indicind temperaturi de formare

TABELUL 5

*Distribuția elementelor minore (ppm) în biotitele din dioritele cuarțifere din plutonul de la Poniasca*

Nr. ert.	Tipul de rocă și locul de colectare	Sc	Ni	Co	Cr	V	Ba	Sr	Li
1	Diorit cuarțifer cu biotit. Valea Poniasca	20	77	47	160	250	4200	32	175
2	Diorit cuarțifer cu biotit. Valea Poniasca	34	125	40	255	260	3500	11,5	210
3	Diorit cuarțifer cu biotit. Valea Po- niasca	36	52	41	130	205	4400	14	250
4	Separație melanocrată biotitică în dioritele cuarțifere. Valea Poniasca	31,5	125	55	240	310	3000	14,5	230
5	Diorit cuarțifer cu biotit. Piziul Cusec	32	130	65	180	285	4000	56	190



cuprinse între  $565^{\circ}$  și  $609^{\circ}\text{C}$  (Savu et al., 1970). Dintre acestea, ultima valoare trebuie să fie considerată ca cea mai apropiată de realitate, eu toate că în comparație cu paleotemperatura de  $710^{\circ}\text{C}$  a granitelor banatice ea este mai mică cu aproximativ  $100^{\circ}\text{C}$ .

După cum a arătat Savu (1970), deosebirea de temperatură dintre intruziunile sinerogene prebaicaliene și cele posterogene alpine (banatitele) rezultă din faptul că primele pierd o cantitate importantă din energia termică în drumul lor lent spre suprafață, pe cind celelalte, fiind plutoni de fractură puși în loc mai rapid, și au menținut energia termică la un nivel foarte apropiat de acela la care a avut loc anatexia în zonele profunde ale scoarței, de unde a provenit magma litogenă. Diferența de energie termică dintre aceste două tipuri de plutoni se reflectă și în intensitatea metamorfismului de contact care, în cazul banatitelor, este foarte puternic.

Celelalte elemente minore determinante variază în limite restrinse, indicând faptul că dioritele cuarțifere și biotitele componente au cristalizat din același diferențiat al magmei granitoide litogene. Această particularitate este clar scoasă în evidență de diagrama triunghiulară din figura 6, pe care sunt proiectate biotitele în funcție de conținutul lor în Co, Ni, Cr și V. Se observă că toate biotitele analizate se grupează în cîmpuri restrinse care se suprapun în parte.

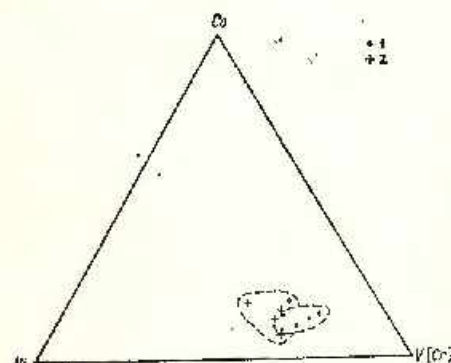


Fig. 6. — Poziția biotitelor din dioritele cuarțifere în proiecție triunghiulară, în funcție de : 1, Co-Ni-V; 2, Co-Ni-Cr.

Position des biotites dans les diorites quartzifères en projection triangulaire, en fonction de : 1, Co-Ni-V ; 2, Co-Ni-Cr.

Asemănarea în ceea ce privește conținutul de elemente minore alit în biotitele din dioritele cuarțifere, cit și în cele din separațiile melanocrate, arată pe de altă parte că acestea din urmă nu reprezintă septe sau xenoliți de roci bazice — amfibolite — incomplet transformate, cum ar putea sugera adeptii teoriei metasomatiste. Aceste separații reprezintă

autolite, formate din acumularea în magma dioritică a cristalelor de biotit, hornblendă și plagioclaz care cristalizau primele; sănt, de fapt, mineralele pe care le găsim și în restul dioritelor eucartifere și care prezintă aceleși particularități geochimice.

### Concluzii

Distribuția elementelor minore în biotitele din șisturile cristaline și rocile granitoide din munții Semenic este controlată de mai mulți factori.

În biotitele din șisturile cristaline ale principalelor zone metamorfice variația conținutului de elemente minore din biotit este controlată de intensitatea metamorfismului, fiind în același timp influențată de cantitatea de granat și de muscovit coexistent, precum și de variația elementelor majore pe care elementele minore le înlătărează în rețeaua acestor minerale.

Pe lângă factorii care controlează distribuția elementelor minore între mineralele coexistente în rocile cu aceeași compoziție chimică, această distribuție mai este influențată și de procesele de diferențiere metamorfică și mai ales de schimbările de ioni ce se produc în timpul metamorfismului între strate și corpuri de roci cu compoziție chimică foarte diferită sau în procesele de migmatizare.

În condițiile formării prin schimburi de ioni a zonei monominerale biotitice de la contactul zăcământului de talc de la Pîrvova cu șisturile cristaline cu granat și biotit, din șisturi au fost introduse în roca ultrabazică cantități apreciabile de V, Sc, Li și Ba, iar din aceasta au fost îndepărtate cantități variabile de Ni, Cr și Co.

În condițiile formării prin schimburi metasomatice a separației de flogopit de la contactul lentilei de roci carbonatice cu gnaisele cu sillimanit de la Armeniș, a avut loc o invazie de V, Ni, Cr, Co și Sc din gnaise în ea și au fost îndepărtate cantități variabile de Sr și Ba.

Schimbările metasomatice care pot avea loc — în condițiile creșterii metamorfismului și a proceselor de migmatizare — și în roci cu chimism mai puțin diferit modifică atât compoziția chimică globală a rocilor, cât și raporturile dintre elementele majore și minore.

În rocile dioritice conținutul de elemente minore variază în limite restrinse, demonstrând că aceste roci au cristalizat dintr-un diferențiat omogen al magmei granitoide litogene. Conținutul lor este aproximativ același atât în biotitele din diorite, cit și în miciile autolitele biotitice separate în acestea din urmă.

### BIBLIOGRAFIE

- Buddington A. F. (1965) The origin of three garnet isograds in Adirondack gneisses. *Mineral. Mag.*, 34, 268.
- (1966) The occurrence of garnet in the granulite - facies terrane of the Adirondack highlands. *Journ. Petrology*, 7.
- De Waard D. (1965) The occurrence of garnet in the granulite - facies terrane of the Adirondack highlands. *Journ. Petrology*, 6.
- Efendiev G. H., Abdulaev E. B., Babayev E. E. (1966) Scandii v ultraosnovnykh porodakh malevo Cavkaza (Azerbaidsjanskaia SSR). *Geochimia*, 12.
- Engel A. E. J., Engel C. G. (1958) Progressive metamorphism and granitization of the major paragneiss, north-west Adirondack mountains. Part. I, Total rock. *Bull. Geol. Soc. Amer.*, 69, New York.
- (1960) Progressive metamorphism and granitization of the major paragneiss, north-west Adirondack mountains. Part. II. Mineralogy. *Bull. Geol. Soc. Amer.*, 71, New York.
- Kretz R. (1959) Chemical study of garnet, biotite, and hornblende from gneisses of south-western Quebec, with emphasis on distribution of elements in coexisting minerals. *Journ. Geol.*, 67, 4.
- Mehnert K. R. (1968) Migmatites and the origin of granitic rocks. *Elsevier Publ.* Amsterdam.
- Miyashiro A. (1953) Calcium poor garnet in relation to metamorphism. *Geochim. et Cosmochim. Acta*, 4.
- (1956) Data on garnet-biotite equilibria in some metamorphic rocks of the Ryoke zone. *Journ. Geol. Soc. Japan*, 62.
- (1961) Evolution of metamorphic belts. *Journ. Petrology*, 2, 3.
- Nandi K. (1967) Garnets as indices of progressive regional metamorphism. *Mineral. Mag.*, 36, 277.
- Oftedahl I. (1943) Scandium in biotite as a geologic thermometer. *Norsk. Geol. Tidsskr.*, 23.
- Perciuc L. L. (1967) Biotit-granatovii geotermometr. *Dokl. Akad. Nauk SSSR*, 177, 2.
- Rankama K., Sahama T. H. G. (1960) Geochemistry. Chicago.
- Savu H. (1969) Sur les conditions thermodynamiques qui ont contrôlé la genèse des zones métamorphiques des Monts Semenic. *Acta Geol. Acad. Scient. Hung.*, 13.
- (1970) Stratigrafia și izogradele de metamorfism din provincia metamorfică prebaicaliană din Munții Semenicului. *An. Inst. Geol.*, XXXVIII, București.
- Vasiliu Cecilia, Udrescu Constanța (1967) Variația compoziției chimice a granajilor piralspitici și a biotitelor din zonele metamorfice ale cristalinului Munților Semenic. *Stud. cerc. geol. Acad. R.S.R.* 12, 1, București.
- Vasiliu Cecilia, Udrescu Constanța (1970) Geochemistry și petrologia oiolitelor din prima etapă de evoluție a magmatismului inițial alpin din masivul Drocea (Munții Apuseni). *D.S. Inst. Geol.*, LVI/1, București.
- Udrescu Constanța, Mindroiu Viorica (1971) Distribuția Se în biotitele din unele sisturi cristaline și roci granitoide din Munții Semenic (Banat). *Stud. cerc. geol. Acad. R.S.R.* 16, 1, București.
- Saxena S. K. (1966) Distribution of elements between coexisting muscovite and biotite and crystal chemical role of titanium in the micas. *N. Jb. Miner. Abh.* 105.
- Stueber A. M., Goles G. G. (1967) Abundances of Na, Mn, Cr, Se and Co in ultramafic rocks. *Geochim. et Cosmochim. Acta*, 31, 1.

- Turekian K. K., Phinney W. C. (1962) The distribution of Ni, Co, Cr, Cu, Ba and Sr between biotite-garnet pairs in a metamorphic sequence. *Amer. Mineral.*, 47.
- Velicoslavinschi D. A. (1965) Vlaniie sostava vmeschajuscheih porod i specificheskikh osobennostei metamorfizma na sostav pyralspitovih granatov. Regionalniy metamorfizm dokembriiskikh formačii SSSR. *Acad. Nauk. SSSR.*
- Vinogradov A. P. (1962) Srednie soderjania himiceschikh elementov v glavnih tipah izverjenih gornih porod zemnoi kari. *Geohimia*, 7.

## DISTRIBUTION DE Sc, Ni, Co, Cr, V, Ba, Sr ET Li DANS LES BIOTITES DE CERTAINS SCHISTES CRISTALLINS ET DES ROCHE GRANITOÏDES DES MONTS SEMENIC (BANAT)

### (Résumé)

Dans cet exposé, on présente la distribution des éléments mineurs dans les biotites des schistes cristallins à différents degrés de métamorphisme et des roches granitoïdes de la province métamorphique prébaïkalienne des monts Semenic, en appuyant sur les facteurs qui contrôlent cette distribution.

La province métamorphique des monts Semenic est constituée de deux séries cristallines formées de plusieurs complexes à une épaisseur totale de 24 km. Durant le métamorphisme régional progressif qui s'est manifesté à températures de 450° C à 700° C et à pressions de 4 à 10 Kb, le gradient géothermique étant de 20 à 25°/km, sept zones métamorphiques ont pris naissance, comme il suit : la zone à chlorite actuellement érodée, la zone à biotite, la zone à almandin, la zone à staurolite, la zone à staurolite et dysthène, la zone à dysthène, et la zone à sillimanite (fig. 1 et 2). Pendant le stade synclinométrique quelques corps de roches granitoïdes ont été mis en place.

1. Afin d'étudier la distribution des éléments mineurs dans les biotites des zones métamorphiques on a analysé les micas de la zone à almandin, de la zone à staurolite et dysthène, de la zone à dysthène et de la zone à sillimanite (tableau 1 et fig. 3).

Le scandium présente des teneurs variables, rapportées tant à la température de formation qu'à la quantité de grenat pyralspitique coexistent. C'est pourquoi sa teneur dans la biotite ne peut être employée comme indicateur de paléotempérature. Le nickel présente des variations, mais en général sa teneur tend à augmenter en même temps que l'accentuation du métamorphisme. Cette tendance d'augmentation de la teneur à partir de la zone à almandin vers celle à sillimanite est très claire pour le V et le Ca (fig. 1). La teneur en vanadium augmente de 140 ppm à 225 ppm, et celle du Co de 75 à 78 ppm jusqu'à 95 ppm. La teneur en chrome, bien qu'à nombreuses oscillations, tend elle-aussi vers une augmentation dans le sens de l'accentuation du métamorphisme.

La variation de la teneur en Co, V et en d'autres éléments mineurs de la biotite est contrôlée par la variation de la teneur en Mg et Fe, éléments majeurs qu'ils remplacent du point de vue isomorphe dans le réseau de ce minéral, parfois dans le réseau de la muscovite aussi. Le comportement de ces éléments mineurs dans les conditions de l'augmentation du métamorphisme est en rapport direct avec la variation de la teneur en Fe et Mg dans les grenats

coexistents qui se développe dans ce sens. Cette modification entraîne une plus grande concentration des éléments mineurs dans le grenat que dans la biotite.

En ce qui concerne les autres éléments mineurs, on ne remarque pas une telle variation. C'est justement pour cela que les auteurs ont supposé que les rapports entre Ca, Mn, Fe et Mg, qui se modifient quantitativement dans le réseau des minéraux mélanocrates pendant le métamorphisme déterminant en même temps les rapports des éléments mineurs, pourraient être différents d'une province métamorphique à l'autre; ce serait un caractère hérité des roches sédimentaires pré-mélanocratiques. Il est possible que le comportement des éléments majeurs contrôlé par pression, spécifique à chaque province métamorphique, exerce aussi une influence particulière sur les rapports des éléments mineurs du réseau des minéraux coexistants dans diverses paragenèses.

La distribution des éléments mineurs dans ces micas est aussi contrôlée par la proportion dans laquelle le Al et le K participent dans la muscovite coexistente. Ainsi, la quantité de Al dans la muscovite peut influencer la teneur en Sc de la biotite, dans le sens que celle-ci décroît dans le dernier minéral pendant que le métamorphisme augmente. Le baryum qui remplace du point de vue d'isomorphisme le K, diminue dans la biotite en rapport direct avec l'augmentation du métamorphisme. En supposant que la teneur globale en Ba des roches analysées a été à peu près égale et que celles-ci sont dépourvues d'autres minéraux de potassium, il résulte que dans les conditions de l'augmentation du métamorphisme cet élément est capté en grande quantité dans le réseau de la muscovite. Le Li, rapporté à l'augmentation du métamorphisme, enregistre une diminution, explicable par la baisse du nombre des ions de  $Mg^{2+}$  du réseau de la biotite.

Hormis les facteurs qui contrôlent la distribution des éléments mineurs dans les minéraux des roches à différentes paragenèses mais à composition chimique assez ressemblante, il y a aussi d'autres facteurs qui peuvent influencer le comportement de ces éléments. Il serait le cas du processus de différenciation métamorphique et surtout des échanges de substances qui ont lieu pendant le métamorphisme entre les couches de roches à composition chimique différente. Les deux exemples suivants illustrent très bien cette affirmation :

2. Le premier porte sur la distribution des éléments mineurs dans le corps à talc de Pirsova, zone monominérale biotitique formée par un échange d'ions au contact avec les schistes cristallins de la zone à almandin et dans les schistes cristallins aussi (tableau 2 et fig. 4). On a mis en évidence dans le talc des quantités réduites de Sc, V, Ba, Sr et Li et de hautes teneurs en Ni, Co et Cr qui, comparées aux résultats obtenus de l'analyse d'autres roches ultrabasiques, mènent à la conclusion que le gisement de talc a résulté de la transformation d'un petit corps dunitique. On attire l'attention sur le fait que, probablement, le processus de transformation en talc exerce aussi une certaine influence sur la teneur en éléments mineurs de la roche ultrabasique primaire.

Pendant la constitution de la zone biotitique monominérale sur le compte des roches ultrabasiques, à température de 470°C et à pression de 4 Kb, des quantités variables de V, Sc, Li et Ba appartenant aux schistes cristallins se sont introduites dans la roche ultrabasique, et des quantités variables de Ni, Cr et Co ont été écartées de l'intérieur de cette zone. La migration des éléments s'est donc faite à partir des schistes à grenat et biotite vers la roche ultrabasique, qui s'est conduite comme un absorbant tant pour Si, Al, K et  $H_2O$  nécessaires pour la formation de la biotite sur le compte de l'ultrabasile riche en Mg, Fe, Cr, Ni et Co, que pour les éléments mineurs V, Sc, Li et Ba qui ont été entraînés et captés dans le réseau du mica. La distribution des éléments mineurs dans les trois types de roches à composition chimique très différente se fait par rapport à leur teneur initiale dans chaque roche (fig. 4).

3. Dans le second cas on a considéré la distribution des éléments mineurs dans la phlogopite formée au contact des roches carbonatiques (dolomies cristallines et calcaires à silicates) avec les gneiss migmatisés de la zone à sillimanite de Armenis, formées à environ 700° C et 10 Kb. En analysant les éléments mineurs des roches carbonatiques, la phlogopite et la biotite des gneiss à sillimanite (tableau 4 et fig. 5), on constate que presque tous les éléments, à la seule exception du Ba et du Sr, se trouvent en quantités extrêmement petites ; leur teneur augmente dans la phlogopite qui s'est formée sur le compte des roches carbonatiques et de la biotite des gneiss. Il résulte qu'une invasion de V, Ni, Cr, Co et Sc des gneiss a eu lieu pendant la formation de la phlogopite et des quantités variables de Sr et Ba ont été écartées.

Dans ces deux exemples d'échanges métasomatiques d'éléments majeurs et mineurs, on a pris en considération des roches à composition chimique très différente. Quelque petite qu'elle soit la différence de composition entre les micaschistes, les paragneiss, les quartzites et les amphibolites d'une séquence métamorphique, il est évident que de tels échanges ont lieu en rapport évidemment avec l'intensité du métamorphisme. Ces échanges modifient tant la composition chimique globale des roches que les rapports entre les éléments majeurs et mineurs.

4. De toutes les roches granitoides on n'a analysé que les biotites de cinq échantillons de diorites quartzifères et de ségrégations biotitiques, roches qui forment un des faciès du pluton de Poniasca (tableau 5). La teneur en Sc qui varie de 20 à 36 ppm indique des températures de formation des diorites de 505° à 609° C. Les autres éléments mineurs varient dans des limites plus restreintes (fig. 6) et démontrent que les diorites quartzifères ont cristallisé à partir d'un même différencié du magma granitoidé d'origine lithogène. La ressemblance, du point de vue de la teneur en éléments mineurs, entre la biotite des diorites quartzifères et celles des enclaves melanocrates qui y apparaissent, prouve que ces dernières ne sont pas de sénolithes complètement digérés, mais des autolithes formés à partir des mêmes minéraux qu'on trouve aussi dans la roche-hôte, la diorite quartzifère.

RECENZII

B. R. DOE: *Lead Isotopes (Izotopii plumbului)*. Editura Springer – Verlag, Berlin – Heidelberg, New York, 1970. 137 p., 24 fig., 25 tabele, 178 referințe.

Autorul lucrării, B. R. Doe, reprezintă o personalitate bine cunoscută în domeniul geo chimiei izotopilor și a izotopilor plumbului în special. Lucrarea „Lead Isotopes” se înscrie în literatura geologică ca o valoroasă apariție în acest domeniu.

Carte este alcătuită din patru capitole: I – Introducere; II – Datarea U-Th-Pb; III – Plumbul comun; IV – Izotopii radioactivi și 20 subcapitole.

Spre deosebire de lucrarea lui R. D. Russell, R. M. Farquhar „Lead isotopes in geology” carteau lui B. R. Doe cuprinde o tratare mai complexă a problemei izotopilor plumbului.

În capitolul II – Datarea U-Th-Pb, sunt date bazele calculării vîrstei și date tehnice privind cantitățile minime de plumb ce pot fi determinate prin diverse metode. Autorul arată că asemenea ce cantități de plumb sunt necesare pentru spectrometria de masă în diversele tehnici de lucru.

În continuare sunt tratate pe rînd aspectele datării vîrstei prin metoda U-Th-Pb pentru diversele minerale: zircon, sfen, fosfati, piroxeni, epidot, minerale de uraniu și roca totală.

Pentru zircon care constituie de fapt mineralul cel mai larg utilizat în geocronologie (metoda plumb) autorul tratează modul cum trebuie interpretate datele determinărilor chimice și izotopice.

Autorul analizează pe baza datelor din literatura de specialitate discordanțele ce există între vîrstele obținute pe baza rapoartelor  $U^{235}/Pb^{208}$ ,  $U^{238}/Pb^{207}$  și  $Th^{232}/Pb^{208}$ .

În cazul altor minerale (monazit, sfen, alaniit) autorul dă o serie de exemple privind concordanța rezultatelor analitice ilustrate în diagramele Concordia. Datele sunt analizate pentru două minerale din aceeași probă monazit-zircon sau zircon-sfen.

În capitolul III – Plumbul comun, se tratează pe scurt ecuațiile de stabilire a vîrstei în cazul mineralelor de plumb (galenă). Se discută problema compozitiei izotopice a plumbului din meteorită textite precum și a probelor lunare aduse de Apollo 11. Pe baza acestora din urmă se ajunge la concluzia că Luna ar avea 4600 milioane ani.

Într-un alt subcapitol se tratează problema vîrstei Fămăntului legată de cea a izotopilor plumbului. Cele mai mari vîrste ce au fost obținute pentru galene sunt cuprinse între 3400 și 3500 milioane ani.

B. R. Doe face apoi o discuție asupra compozitiei izotopice a plumbului în roca totală pentru formațiuni de diferite vîrste geologice.

Interesantă este concluzia autorului care arată că compozitia izotopică a plumbului pentru sedimente de diverse tipuri este mai degradă în funcție de vîrstă sursă decât de tipul rocii. În termenii compozitiei izotopice a plumbului sedimentele oceanelor Atlantic, Indian, Antarctic sunt mult mai radiogenice decât cele ale oceanului Pacific.

Autorul prezintă de asemenea geneza minereurilor pe baza compoziției izotopice a plumbului stabilind pe această bază cîteva categorii: magmatogene, indirect magmatogene; de metamorfism regional; secreție laterală și singenetic-diagenetice.

Capitolul III se încheie cu date privind compoziția izotopică a plumbului în ape și atmosferă. Datele analitice au arătat astfel că compoziția izotopică a plumbului din noduli manganosi oceanici nu este mult diferită de cea a sedimentelor pelagice.

În ultimul capitol se tratează izotopi radioactivi ai plumbului, în mod deosebit  $Pb^{20}$ .

Carteaua lui B. R. D o c „Lead Isotopes” se înscrie ca o lucrare deosebit de valoroasă, utilă tuturor specialiștilor din domeniul geologic.

L. Tiepae

O. BRAITSCH: *Salt Deposits Their Origin and Composition*. Editura Springer—Verlag, Berlin—Heidelberg—New York, 297 p., 47 fig., 290 tabele.

Volumul reprezintă traducerea în limba engleză a tratatului „Entstehung und Stoffbesand der Salzlagerstätten” publicat în anul 1962. Constituie o lucrare complexă în care se găsesc sintetizate loate problemele pe care le ridică alcătuirea chimico-mineralogică a depozitelor saline cum și geniza lor în cadrul proceselor de sedimentare și metamorfism. Pornindu-se de la discutarea alcătuirii și evoluției în timp a apelor marine, se trece la examinarea diferențelor minerale care se formează prin precipitare, pentru ca apoi să se abordeze condițiile de stabilitate a mineralelor saline, funcție de diferențe sisteme ținându-se seama de solubilitatea componentelor, de controlul temperaturii și de efectul ionilor comuni; totodată se urmăresc succesiunile în procesul de cristalizare. Se trece la examinarea unor „modele fizico-chimice” pornindu-se de la evaporarea apei marine-static, isotermic la 25°C, pentru a se prezenta apoi cazuri în care apar compoziții aberante cu consecințe în procesele de precipitare, indicindu-se ecuațiile după care se pot calcula rezultatele procesului de precipitare. În tot cursul lucrării se pune accentul asupra reacțiilor în stare solidă, procese prin excepțională specificitate evoluției depozitelor saline.

Metamorfismul geotermic este prezentat în opoziție cu concepția lui Borchert (Stufenmetamorphose) formulând opinii originale bazate pe observații dar mai ales pe calcule. Metamorfismul legat de solubilitate și dinamorfismul completează discuția asupra evoluției post-sedimentare a sărurilor. Un capitol întreg este consacrat comportării elementelor disperse, mai ales a bromului și stronțiu.

O parte importantă a volumului cuprinde examinarea secvențelor naturale în depozitele saline în paralel cu modelele fizico-chimice — cloruri, sulfati, carbonați — examinându-se deopotrivă efectele diferențelor tipuri de metamorfism și evoluția elementelor disperse menționate, în acest proces. Un capitol special este ocupat apoi de rolul altor componente în cadrul depozitelor saline (borul, fierul, argila și reziduurile insolubile), pentru ca un ultim capitol să prezinte o interesantă aplicare a datelor expuse la procesele geologice, mai ales la condițiile de sedimentare, privite prin prisma participării apei marine normale sau modificata (dolomitizare etc.) raporturile cu stratificarea ritmică, indicațiile asupra pH-ului și Eh-ului apelor.

Tratatul lui Braitsch este în mod indiscutabil o sinteză deosebit de valoroasă și originală înțocmită cu o remarcabilă documentare și o considerată utilă deopotrivă geochimistului, mineralogului și geologului. O recomandăm în mod deosebit specialiștilor din diverse ramuri de activitate.

Dr. doc. Victor C. Păpușă



## C U P R I N S

	Paz.
<b>1. Ianovici V., Dimitriu A.I. Geologia matematică – o nouă ramură a științelor geologice . . . . .</b>	13
<b>MINERALOGIE</b>	
<b>2. Antonovici Suzana. Contribuții la studiul boulangeritului de la Baia Mare . . . . .</b>	21
<b>3. Antonovici Suzana, Acsintovici I. Cîteva date mineralogice și spectrografice asupra bournonitului din România . . . . .</b>	29
<b>PETROLOGIA ROCILOR MAGMATICE</b>	
<b>4. Petreus I. Studiul petrografic și mineralologic al rocilor magmatische din regiunea Măgura Poienilor-Gurguiatu (Maramureș) . . . . .</b>	43
<b>PETROLOGIA ROCILOR METAMORFICE</b>	
<b>5. Kalmár L. „Diapirismul” unor carbonatite cristaline în masivul Preluca (județul Maramureș) . . . . .</b>	65
<b>6. Kalmár L. Notă preliminară asupra stratigrafiei insușelor cristaline Preluca și Inău (județul Maramureș) . . . . .</b>	73
<b>7. Mușat A.I., Vasilescu Olimpia. Prezența unor roci carbonifere în munții Bistriței (Carpații Orientali) . . . . .</b>	79
<b>8. Savu H., Schuster A. C. Structura și petrologia șisturilor cristaline din regiunea Șineac Nouă-Holbav (munții Făgăraș) . . . . .</b>	89
<b>9. Zlatarovă-Top Lozana, Mureșan M., Pitulea Gh. Studiul unor roci gabbroide metamorfozate din seria de Ielova (zona Cameniu - Banatul de SW) . . . . .</b>	117
<b>GEOCHIMIE</b>	
<b>10. Dimitriu A.I., Peltz Margareta. Unele utilizări ale mașinilor SAM în cercetările geomatematice (cu exemple din geoхimie) . . . . .</b>	139
<b>11. Lemne Marioara-Mia. Contribuții privind distribuția elementelor radioactive în formațiunile cristalofiliene din Carpații Meridionali . . . . .</b>	151
<b>12. Proksch P. Considerații pe baze statistico-matematice asupra unor anomalii geoхimice de la Săpniul Novă-Vișeu de Sus (Maramureș) . . . . .</b>	163
<b>13. Savu H., Udrăscu Constanța, Mindroiu Viorica. Distribuția Sc, Ni, Co, Cr, V, Ba, Sr și Li în biotitele din unele șisturi cristaline și roci granitoide din munții Semenic (Banat) . . . . .</b>	173
<b>Recenzii . . . . .</b>	191



## CONTENU

(Résumé)

### MINÉRALOGIE

- |  |          |
|--|----------|
| 1. Antonovici Suzana. Contributions à l'étude de la boulangérite de Baia-Mare<br>2. Antonovici Suzana, Acsintovici I. Quelques données minéralogiques et spectrographiques sur la bournonite de Roumanie . . . . . | 28<br>39 |
|--|----------|

### PÉTROLOGIE DES ROCHES MAGMATIQUES

- |  |    |
|--|----|
| 3. Petrescu I. Étude pétrographique et minéralogique des roches magmatiques de la région de Măgura Poienilor-Gurguiatu (Maramureş) . . . . . | 63 |
|--|----|

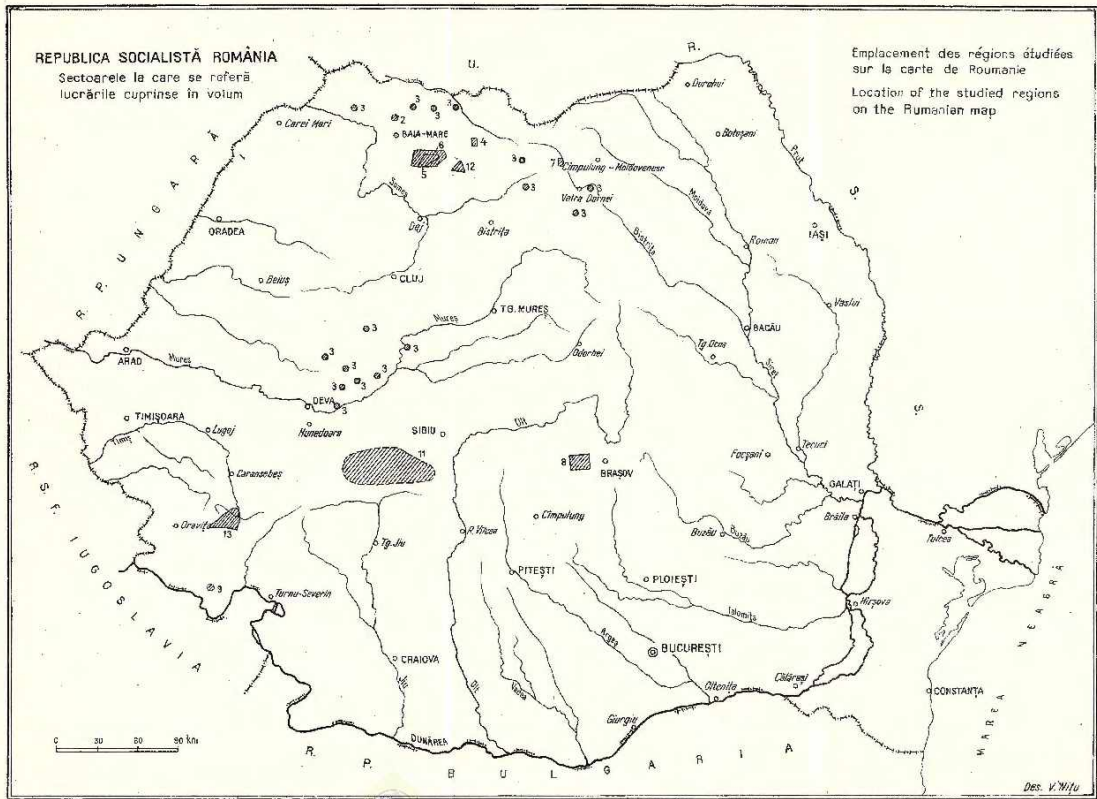
### PÉTROLOGIE DES ROCHES MÉTAMORPHIQUES

- |  |                              |
|--|------------------------------|
| 4. Kalmár I. Le „diapirisme“ de certaines roches carbonatées cristallines dans le massif Preluca (Maramureş) . . . . .<br>5. Kalmár I. Aperçu préliminaire sur la stratigraphie des fels cristallines Preluca et Inău (Maramureş) . . . . .<br>6. Mușat Al. I., Vasilescu Olimpia. Sur la présence de certaines roches carbonifères dans les monts de Bistrița (Carpates Orientales) . . . . .<br>7. Savu H., Schuster A. C. Structure et pétrologie des schistes cristallins de la région Șinea Nouă-Holbaș (monts Făgărăș) . . . . .<br>8. Zlatarovă-Top Lozana, Mureșan M., Pitulea Gh. Étude de certaines roches gabbroides métamorphisées de la série de Ielova (zone Cămenița-Banatul de SW) . . . . . | 71<br>77<br>88<br>110<br>135 |
|--|------------------------------|

### GÉOCHIMIE

- |   |                          |
|---|--------------------------|
| 9. Dimitriu Al., Peltz Margareta. Concernant les emplois des machines SAM pour les recherches géomathématiques (à exemples de géochimie) . . . . .<br>10. Lemne Marioara - Miha. Contributions à la distribution des éléments radioactifs dans les formations cristallophylliennes des Carpates Méridionales . . . . .<br>11. Proksch P. Considérations statistico-mathématiques concernant certaines anomalies géochimiques au S du ruisseau Novăț-Vigeul de Sns (Maramureş) . . . . .<br>12. Savu H., Udrescu Constanța, Mindruță Viorica. Distribution de Sc, Ni, Co, Cr, V, Ba, Sr et Li dans les biotites de certains schistes cristallins et des roches granitoides des monts Semenic (Banat) . . . . . | 149<br>160<br>171<br>188 |
|---|--------------------------|





**Redacțor:** MARGARETA PEITZ  
**Tezaurător:** P. MINALUȚĂ  
**Coresor:** ELENA BANDRABUR  
**Traduceri:** MARGARETA DĂRJEU, P. CHIUTU  
**Illustrație:** V. NITU

---

*Dat la orășel: apriile 1971. Bun de tipar: uleiografie 1971. Tiraj: 1600 ex.  
Hartă scrisă 1:1. Format 70 × 100/56 g. Colaj de tipar: 1814. Comanda:  
1256. Pentru bibliotecă indicată de clasificare: 55 (253).*

---

Intreprinderea poligrafică „Informația” str. București nr. 28-25,  
București - România



Institutul Geologic al României

gol74



Institutul Geologic al României

**Responsabilitatea asupra conținutului articolelor  
revine în exclusivitate autorilor**



Institutul Geologic al României

INSTITUT GÉOLOGIQUE

COMPTES RENDUS DES SÉANCES

TOME LVII

1969 - 1970

1. MINÉRALOGIE - PÉTROLOGIE - GÉOCHIMIE



Institutul Geologic al României